

Document public



État d'avancement du projet de cartographie 1/5 000 de la susceptibilité de présence d'amiante dans le milieu naturel sur 26 communes des secteurs de Ponte-Leccia et du centre du Cap-Corse

Rapport intermédiaire

BRGM/RP-68712-FR
Septembre 2019



UNION EUROPÉENNE

Fonds Européen de Développement Régional

Ce projet est cofinancé par
le Fonds Européen de Développement Régional



Géosciences pour une Terre durable

brgm

État d'avancement du projet de cartographie 1/5 000 de la susceptibilité de présence d'amiante dans le milieu naturel sur 26 communes des secteurs de Ponte-Leccia et du centre du Cap-Corse

Rapport intermédiaire

BRGM/ RP-68712-FR
Septembre 2019

Étude réalisée dans le cadre des opérations
d'appuis aux politiques publiques du BRGM

C. Coutin, D. Lahondère,

Ce projet est cofinancé
par
le Fonds Européen de
Développement
Régional



UNION EUROPÉENNE
Fonds Européen de Développement Régional

Vérificateur :

Nom : **F. Cagnard**

Fonction : Géologue, expert

Date : 02/09/2019

Signature :

Approbateur :

Nom : A. Rey

Fonction : Directeur Régional du
BRGM en Corse

Date : 05/09/2019

Signature :

Le système de management de la qualité et de l'environnement
est certifié par AFNOR selon les normes ISO 9001 et ISO 14001.

Contact : qualite@brgm.fr



Mots-clés : Cartographie, Susceptibilité de présence, Amiante environnemental, Minéralogie, Fibre, Serpentine, Antigorite, Chrysotile, Amphibole, Actinolite, Trémolite, Serpentinite, Métagabbro, Métabasalte.

Mots-clés géographiques : France, Corse, Haute-Corse.

En bibliographie, ce rapport sera cité de la façon suivante :

Coutin C., Lahondère D. (2019) – État d’avancement du projet de cartographie 1/5 000 de la susceptibilité de présence d’amiante dans le milieu naturel sur 26 communes des secteurs de Ponte-Leccia et du centre du Cap-Corse. BRGM/RP-68712-FR, p 198. 5 ill., 2 tab., 2 ann.

Synthèse

Dans le cadre d'un partenariat avec l'Office de l'Environnement de la Corse (OEC) et la DREAL de Corse, le BRGM a démarré fin 2017 une étude visant à reconnaître les zones naturelles amiantifères et potentiellement amiantifères situées sur vingt-six communes des secteurs :

- **Ponte Leccia** (14 communes) : Castineta, Morosaglia, Valle-di-Rostino, Castello-di-Rostino, Canavaggia, Bisinchi, Campile, Lento, Bigorno, Campitello, Volpajola, Scolca, Vignale et Murato (Murato est déjà réalisé, la cartographie sur cette commune sera mise à jour et homogénéisée avec les levés récents) ;
- **Centre du Cap Corse** (12 communes) : Pino, Barrettali, Canari, Ogliastro, Olcani, Nonza, Olmeta-di-Capocorso, Farinole, Luri, Cagnano, Pietracorbara, Sisco.

L'objectif est de localiser les secteurs les plus susceptibles d'émettre, en l'état, des fibres d'amiante et de proposer des solutions techniques pour réduire leur capacité d'émission.

Ce travail a été réalisé dans des zones d'investigation prioritaires (ZIP) dont les limites ont été définies en début d'étude et validées par le comité de pilotage du projet.

Le présent rapport constitue le rapport intermédiaire. Il a pour objectif de préciser l'état d'avancement du projet et les premiers résultats obtenus à mi-parcours.

Le rapport présente :

- le contexte général de l'étude et son déroulement prévisionnel ;
- l'état d'avancement des 4 phases de travail constituant l'étude ;
- un planning actualisé.

Sommaire

1. Introduction	7
1.1. CONTEXTE DE L'ÉTUDE.....	7
1.2. OBJECTIFS DE L'ÉTUDE.....	8
1.3. DÉROULEMENT PREVISIONNEL DE L'ÉTUDE.....	10
2. État d'avancement	11
2.1. PHASE 1 – PRÉPARATION DES DOCUMENTS, SÉLECTION DES ZONES CIBLES.....	11
2.1.1. Constitution des Zones d'Investigation Prioritaires (ZIP).....	11
2.1.2. Transmission et validation	14
2.2. PHASE 2 – LEVÉ CARTOGRAPHIQUE, PRÉLÈVEMENT ET ANALYSE DES ÉCHANTILLONS.....	14
2.2.1. État d'avancement des levés cartographiques par communes	14
2.2.2. Prélèvement et analyses des échantillons	16
2.2.3. Outils, techniques et conditions analytiques	17
2.3. PHASE 3 – SYNTHÈSE DES DONNÉES ET ÉTABLISSEMENT DES CARTES ZIP	18
2.3.1. Synthèse et compilation des données.....	18
2.3.2. Établissements des cartes.....	18
2.4. PHASE 4 – PRÉCONISATIONS POUR RÉDUIRE LES RISQUES D'ÉMISSION DE FIBRES PAR LES AFFLEUREMENTS	19
2.5. PLANNING ACTUALISÉ	19
2.6. PRÉSENTATION DÉTAILLÉE DES TRAVAUX RÉALISÉS.....	19

Liste des figures

Illustration 1 : Carte des 26 communes concernées par la cartographie amiante naturelle dans le cadre de cette convention.....	9
Illustration 2 : Méthodologie utilisée pour la définition des ZIP.....	12
Illustration 3 : Exemple de contour de ZIP, en vert, par rapport aux classes d'enjeux définies (commune de Farinole et de la carte de susceptibilité de présence d'amiante 1/50 0000 (D.Lahondère, 2010).....	13
Illustration 4 : Carte de l'état d'avancement des levés de cartographie par communes.....	15
Illustration 5 : Chronogramme du projet actualisé.....	19

Liste des tableaux

Tableau 1 : Chronogramme prévisionnel de réalisation.	10
Tableau 2 : État des prélèvements réalisés et d'avancement des analyses terminées ou en cours à la date du rapport.	16

Liste des annexes

Annexe 1 Base de données des points d'observation et des échantillons prélevés.....	21
Annexe 2 Version provisoire du rapport final, rédigée pour les communes terminées à date	43

1. Introduction

1.1. CONTEXTE DE L'ÉTUDE

Le département de la Haute-Corse présente la particularité de compter sur son territoire de nombreux affleurements de roches contenant ou susceptibles de contenir de l'amiante. Soumises à l'érosion naturelle et aux activités humaines, ces roches peuvent se désagréger et libérer dans l'air, d'une manière plus ou moins importante et rapide, les fibres d'amiante qu'elles renferment. Lorsque de l'(ou des) amiante(s) est (sont) mobilisable(s) et présent(s) dans l'air, le risque sanitaire est posé.

Plusieurs travaux et recherches ont été effectués depuis 1997, dont certains à l'initiative de la DDASS, seule ou en partenariat avec l'Office de l'environnement de la Corse (OEC). Les travaux réalisés en 2009 / 2010 par le BRGM dans le cadre d'une convention entre le MEDDTL et le BRGM, ont conduit à la réalisation de cartes de susceptibilité de présence d'amiante dans le milieu naturel reproduites à l'échelle départementale (125 000^{ème}) et cantonale (30 000^{ème}) (mais échelle de validité 50 000^{ème}).

Dans le cadre d'un partenariat avec l'OEC (Office de l'Environnement de la Corse) et l'Agence Régionale de Santé de Haute-Corse (ARS-2B), le BRGM a réalisé une cartographie à l'échelle communale des zones amiantifères et potentiellement amiantifères situées sur les territoires des communes de Murato (2007), Corte (2010) et Bustanico (2010).

Un travail similaire a ensuite été réalisé en partenariat avec l'OEC et la DREAL Corse sur huit communes de la région du Grand Bastia (2013) puis sur neuf communes du Nebbio (2016).

Il se poursuit aujourd'hui avec la réalisation des cartographies de susceptibilité de présence d'amiante environnemental 1/5 000 sur 26 communes des secteurs de Ponte-Leccia et du centre du Cap Corse, objet du présent rapport d'avancement.

Ces projets sont en adéquation avec les objectifs du Plan National Santé Environnement 3 (PNSE 3), et inclus la prise en compte des expositions environnementales liées aux affleurements naturels amiantifères, objectif piloté par la Direction Générale de la Prévention des Risques.

Il s'inscrit également dans les recommandations de l'ANSES (2010) qui préconisent l'acquisition de cartographies détaillées destinées à identifier les zones amiantifères, afin de réduire les expositions liées aux affleurements naturels d'amiante.

La prévention du risque comporte un volet d'amélioration des connaissances sanitaires et environnementales, ainsi qu'une évaluation de l'exposition aux fibres d'amiante.

La réalisation de cet objectif passe en particulier par une réduction des expositions à l'amiante présent dans l'environnement naturel, ce qui requiert la mise en œuvre d'actions appropriées et proportionnées résultant notamment de la nature des différents modes d'exposition :

- a) l'exposition « passive » : elle peut être dénommée ainsi parce qu'elle ne résulte pas nécessairement d'une action anthropique sur les zones amiantifères. L'expérience montre qu'elle peut être quasi permanente au sein d'une même agglomération, en extérieur et à l'intérieur de l'habitat ;
- b) l'exposition « active » : elle résulte d'une contrainte portée sur une zone amiantifère et s'exerce à sa proximité. Elle est souvent limitée dans l'espace et dans le temps, mais

l'action conjuguée et régulière de plusieurs contraintes peut toutefois contribuer à l'exposition passive d'une agglomération.

- c) l'exposition liée aux chantiers : elle ne se produit que si des mesures de protection des personnels ne sont pas prises ou sont inefficaces. Elle concerne avant tout les personnels, mais peut s'étendre au voisinage et conduire à une pollution environnementale durable, en particulier par les déblais amiantifères extraits ou par le défaut de confinement des découvertes en fin de chantier qui alimente l'exposition passive en zone urbaine ou périurbaine.

Il importe donc de permettre aux maires de faire prendre des dispositions de confinement destinées à réduire l'exposition passive et/ou active de la population.

À cette fin, l'amélioration de la connaissance de la susceptibilité de présence d'amiante dans le milieu naturel est essentielle et doit en conséquence être conduite dans les meilleurs délais.

1.2. OBJECTIFS DE L'ÉTUDE

L'objectif de l'étude est de fournir des éléments cartographiques précis (à l'échelle 1/5 000) concernant la susceptibilité de présence de minéraux amiantifères dans le milieu naturel et sur leurs caractéristiques minéralogiques. Seules les zones à enjeux (ZIP : Zones d'Investigation Prioritaire), définies/validées par le comité de pilotage, font l'objet d'une cartographie au 1/5 000.

Ces cartographies doivent pouvoir être prises en compte pour anticiper la présence d'amiante sur des zones où des chantiers ou des événements sont envisagés.

Ces cartographies doivent également permettre de localiser les principales zones dans lesquelles des roches amiantifères sont présentes à l'affleurement et donc susceptibles de présenter un potentiel d'émission de fibres d'amiante dans l'air. Des préconisations seront faites pour réduire le risque d'émission de fibre depuis les principales zones à l'affleurement dans les ZIP.

L'étude porte sur 26 communes (illustration 1) :

- Secteur 1 : Ponte Leccia (14 communes) : Castineta, Morosaglia, Valle-di-Rostino, Castello-di-Rostino, Canavaggia, Bisinchi, Campile, Lento, Bigorno, Campitello, Volpajola, Scolca, Vignale et Murato (la cartographie sur la commune de Murato étant déjà réalisée, une mise à jour et homogénéisée avec les levés récents sera réalisée) ;
- Secteur 2 : centre du Cap Corse (12 communes) : Pino, Barrettali, Canari, Ogliaastro, Olcani, Nonza, Olmeta-di-Capocorso, Farinole, Luri, Cagnano, Pietracorbara, Sisco.

1.3. DÉROULEMENT PREVISIONNEL DE L'ÉTUDE

L'étude globale doit se dérouler selon quatre phases, similaires pour les deux secteurs (Cap Corse et Ponte-Leccia) et détaillées ci-dessous (Tableau 1).

	2017		2018							2019							2020																					
	1	2	3	4	5	6	7	8	9	10	11	12	13	14	15	16	17	18	19	20	21	22	23	24	25	26	27	28	29	30	31	32	33	34	35	36		
Phase 1 – Préparation des documents, sélection des zones cibles																																						
Phase 2 - Levé cartographique, prélèvement et analyse des échantillons																																						
Phase 3– Synthèse des données et établissement des cartes ZIP																																						
Phase 4 - Préconisations																																						
Rapports																																						

Tableau 1 : Chronogramme prévisionnel de réalisation.

Un planning actualisé est fourni en paragraphe 2.5.

2. État d'avancement

2.1. PHASE 1 – PRÉPARATION DES DOCUMENTS, SÉLECTION DES ZONES CIBLES

Cette phase, décrite ci-dessous, est terminée à date du présent rapport. Elle s'est effectuée fin 2017, après signature de la convention.

2.1.1. Constitution des Zones d'Investigation Prioritaires (ZIP)

La première phase du projet a consisté à préparer des documents cartographiques préalables. Les limites des formations géologiques extraites de la carte géologique harmonisée à 1/50 000 du département de la Haute-Corse ont été projetées sur ces documents ainsi que sur les images issues de la base BDORTHO correspondantes aux territoires des communes étudiées.

Les zones d'investigation prioritaires (ZIP) ont été définies sous la forme d'une couche SIG de polygones géoréférencés.

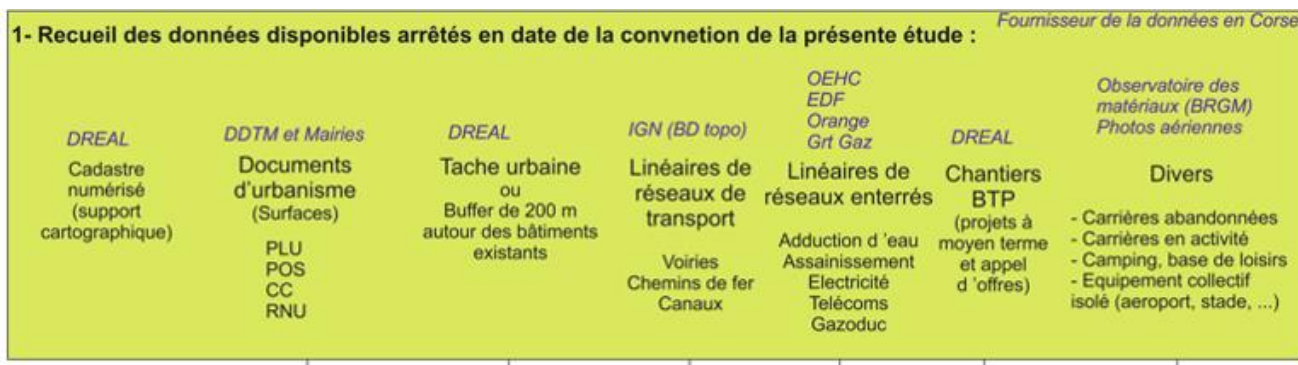
La méthodologie proposée pour la définition des ZIP suit le protocole présenté sur l'illustration 2. Elle permet de définir et de hiérarchiser les secteurs à étudier. Les données qui ont été croisées concernent :

- **les surfaces des documents d'urbanisme** (cf. III.2) telles que le Plan Local d'Urbanisme (PLU), le Plan d'occupation des sols (POS), la Carte communale (CC) ou les règles d'urbanisme par défaut (RNU) ;
- **les taches urbaines** ;
- **les linéaires de transports** (voiries, ...) qui représentent un enjeu permanent ;
- **les linéaires enterrés** (eau, électricité, gaz, télécom) qui représentent un enjeu uniquement en phase de travaux.

Ces différentes surfaces et linéaires ont été hiérarchisés sous format SIG. Ils ont été croisés avec les polygones issus de la cartographie de l'aléa amiante environnemental du département de la Haute Corse, à l'échelle 1/50 000 (Lahondère *et al.*, 2010) afin de définir des zones prioritaires (ZIP).

Définition des secteurs d'étude
pour la cartographie de la susceptibilité de présence d'amiante dans le milieu naturel au 1 / 5 000

Objectifs :
Proposer une trame méthodologique pour définir et hiérarchiser les secteurs à étudier.



2- Hiérarchisation et représentation SIG

Classe	Degré d'exposition des surfaces	Durée d'exposition	Exemples	PLU	POS	CC	RNU	Linéaire de réseau de Transport	Linéaire de réseau enterré	Chantier BTP Projeté	Divers (zone particulières non identifiées sur PLU ou POS : carrières en activité ou abandonnées, bases de loisirs, campings, installations collectives ou isolées ...)
4	Exposition permanente à des surfaces importantes de sols, potentiellement remaniées	Exposition continue dans le temps	Carrière, camping, base de loisirs, terrain de sport avec terrain nu	Nt Nc							4
3	Exposition permanente à des surfaces de sol naturel, de taille faible à moyenne, peu remaniées		Jardins ou allées de maison dans un tissu rural ou urbain périphérique, talus de route	U3 U4 AU AU1 At	INAv UC UT			3			3
2	Exposition occasionnelle à des surfaces de sol naturel, très réduites et à des surfaces limitées en phase de travaux	Exposition localement continue et discontinue (limitée à la phase chantier)	Jardins ou allées de maison dans un tissu urbain dense, chantiers urbains	U2	UB UBi	Terrain constructible - degré d'exposition à dire d'expert	Tache urbaine ou buffer de 200 m autour des bâtiments existants		2	2	2
1	Exposition occasionnelle à des surfaces limitées en phase de travaux	Exposition discontinue (limitée à la phase chantier)	Chantiers urbains	U1	UA						
0	Non constructible			Nd A	ND	∅	∅				

■ Classe d'enjeu 0 - Non constructible
 ■ Classe d'enjeu 1 - Exposition limité à phase travaux
 ■ Classe d'enjeu 2 - Exposition limité à phase travaux et quelques surfaces réduites d'exposition continue
 ■ Classe d'enjeu 3 - Exposition continu à des surfaces limité (jardins, allées, talus, travaux)
 ■ Classe d'enjeu 4 - Exposition continu à des surfaces importantes avec poussières possibles

3 - Croisement avec la cartographie de la susceptibilité de présence d'amiante dans le milieu naturel déjà connue (au 1/50 000)

4 - Prise en compte d'un « buffer » de 200 m autour des enjeux

5 - Définition des secteurs à cheval sur les zones de susceptibilité de présence d'amiante dans le milieu naturel et d'enjeux en intégrant la géométrie des surfaces, buffers et linéaires. La trame principale est obtenu par traitement SIG et sert de base pour définir les ZIP.

Illustration 2 : Méthodologie utilisée pour la définition des ZIP.

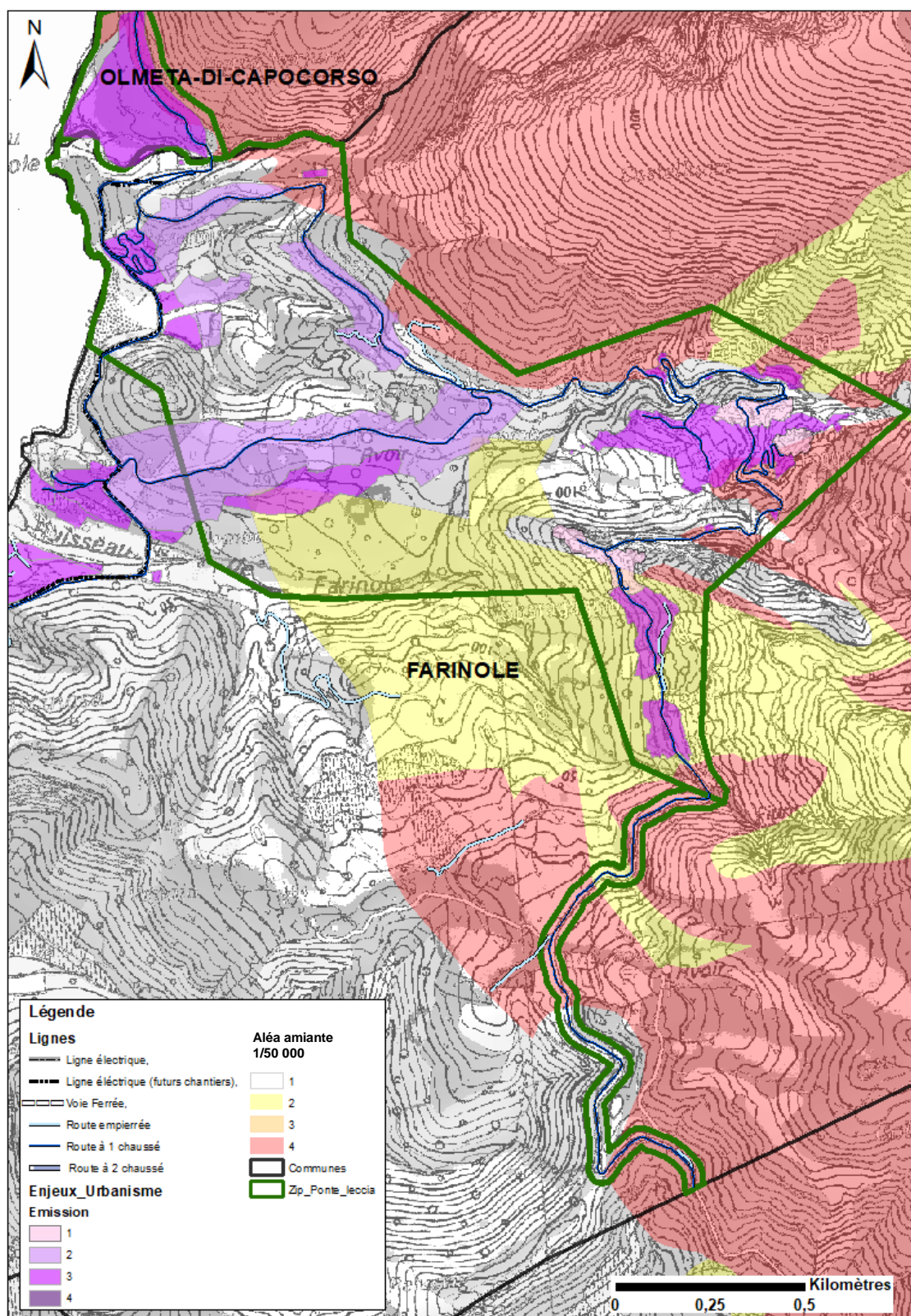


Illustration 3 : Exemple de contour de ZIP, en vert, par rapport aux classes d'enjeux définies (commune de Farinole et de la carte de susceptibilité de présence d'amiante 1/50 000 (D.Lahondère, 2010).

2.1.2. Transmission et validation

Les contours des zones d'investigations prioritaire établis par le BRGM ont été envoyés au Comité de pilotage du projet le 30 janvier 2019 par courrier électronique et validés au cours de la réunion groupe amiante Corse qui s'est tenue le 21 mars 2019 en présence de l'OEC, la DREAL, l'ARS et la DIRECCTE.

2.2. PHASE 2 – LEVÉ CARTOGRAPHIQUE, PRÉLÈVEMENT ET ANALYSE DES ÉCHANTILLONS

2.2.1. État d'avancement des levés cartographiques par communes

Cette phase a pour but de caractériser la géologie de tous les secteurs préalablement définis (ZIP et linéaires routiers) et de déterminer le niveau de susceptibilité de présence d'amiante dans ces zones. Les géologues ont identifié les zones dénudées amiantifères, prélevé des échantillons à des fins analytiques et pris des photographies des principaux affleurements reconnus. Une attention particulière a été apportée à l'étude des zones dans lesquelles affleurent des roches pour lesquelles des niveaux de susceptibilité de présence d'amiante intermédiaires (« 2 : Faible probabilité d'occurrence de minéraux amiantifères » ; « 3 : Probabilité moyenne d'occurrence de minéraux amiantifères ») ont été préalablement proposés (Lahondère et *al.*, 2010).

La phase 2 a démarré dès le début de l'année 2018 avec les levés des communes du Cap Corse.

À la date du présent rapport, les levés du secteur du Cap Corse sont terminés, ceux du secteur de Ponte-Leccia sont en cours de réalisation, huit communes ont été investiguées sur les quatorze prévues.

La cartographie de l'état d'avancement est fournie en Illustration 4.

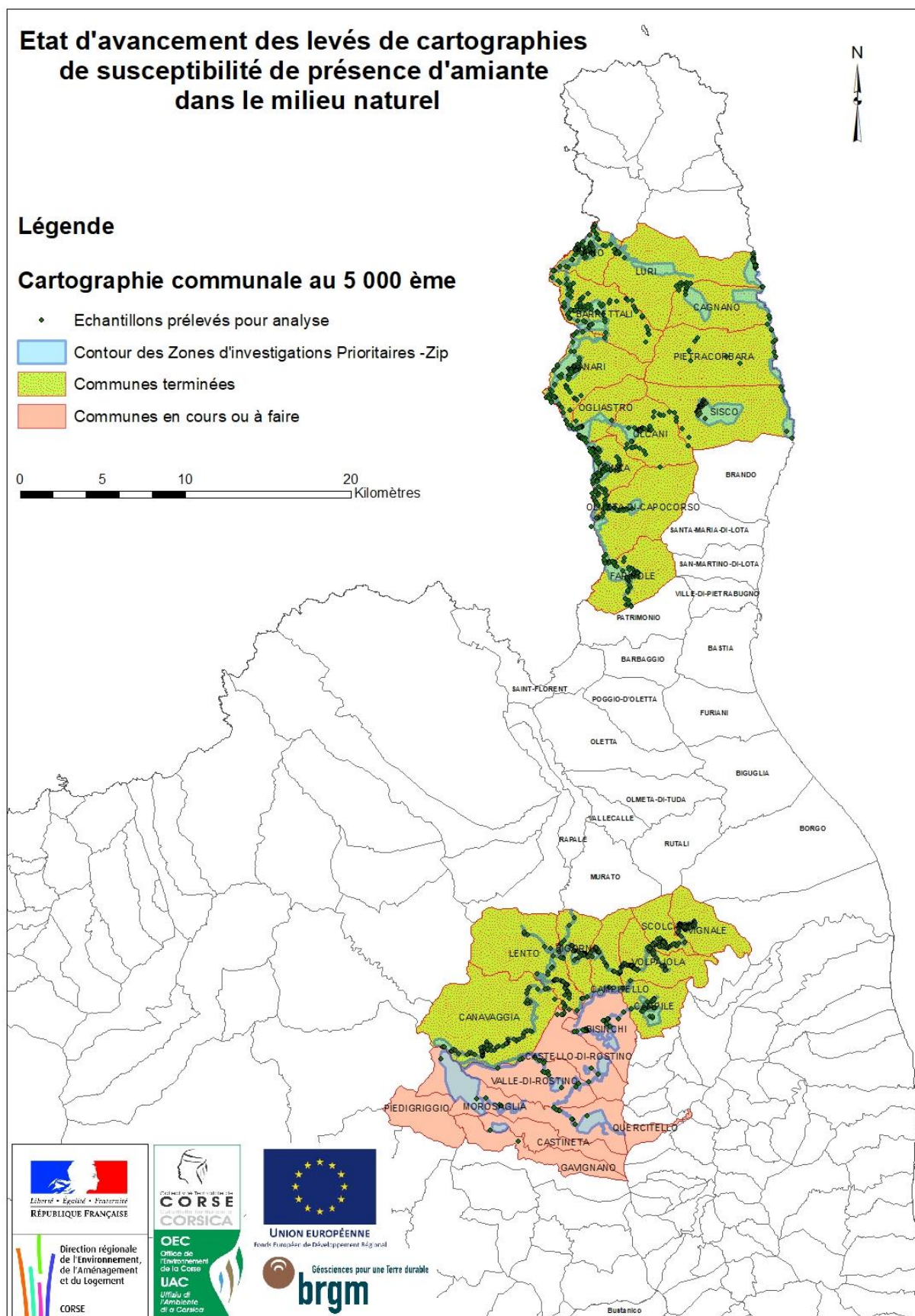


Illustration 4 : Carte de l'état d'avancement des levés de cartographie par communes.

2.2.2. Prélèvement et analyses des échantillons

Au cours des levés de terrain, chaque commune a fait l'objet de prélèvements d'échantillons, ciblés sur les occurrences amiantifères observées ou suspectées.

Les échantillons ont ensuite été envoyés au laboratoire pour être analysés dans le but de :

- déterminer la nature des roches encaissantes ;
- déterminer la nature et les caractéristiques dimensionnelles des minéraux fibreux détectés macroscopiquement ;
- valider ou non la présence de fibres d'amiante dans des terrains où leur présence est suspectée mais non visible macroscopiquement.

Secteur d'étude	Communes	Echantillons prélevés	Etat d'avancement des analyses		Nombre d'analyses réalisées			
		Nombre	En cours	Réalisées	MOLP	MSE	MEB/MET	RAMAN
CAP CORSE	BARRETTALI	22	22		5	3	16	
	CAGNANO	2	2				1	
	CANARI	21	21		6	1	13	
	FARINOLE	4	4		1	1	3	1
	LURI	3	3		1	1	2	
	NONZA	6	6		2		3	
	OGLIASTRO	11	11		5	2	7	
	OLCANI	2	2				2	
	OLMETA-DI-CAPOCORSO	3	3				3	
	PIETRACORBARA	3	3				3	
	PINO	17	17		3		13	
	SISCO	3		3				
	<i>Sous-total Cap Corse</i>	97	94	3	23	8	66	1
PONTE-LECCIA	BIGORNO	10	3	7	10		3	
	BISINCHI	5	5		5		4	
	CAMPILE	10	10		10		6	
	CAMPITELLO	5	1	4	5			
	CANAVAGGIA	18	13	5	18		3	
	CASTELLO-DI-ROSTINO	1	1		1		1	
	MOROSAGLIA	4	4		4		2	
	MURATO	22	20	2	22		19	
	SCOLCA	12	1	11	12		1	
	VALLE-DI-ROSTINO	7	7		7		5	
	VOLPAJOLA	19	1	18	19			
	LENTO	28		28	28			
	PONTE LECCIA	7		7	7			
	SALGI CASTINETA	1		1	1			
	VIGNALE	2		2	2			
<i>Sous-total Cap Corse</i>	151	66	85	151	0	44	0	
Total général	248			174	8	110	1	

Tableau 2 : État des prélèvements réalisés et d'avancement des analyses terminées ou en cours à la date du rapport.

Un tableur extrait de la base de données des points d'observations effectués à ce stade est présenté en annexe 1 de ce rapport. Il comprend la liste de tous les échantillons prélevés à ce jour ainsi que les principaux champs de la base.

Tous les échantillons prélevés ont été analysés dans les laboratoires du BRGM à Orléans. La détermination de (ou des) amiante(s) présent(s) a été réalisée par l'intermédiaire d'analyses par microscopie électronique (MEB, MET). Les matériels utilisés correspondent à un MEB JEOL JSM-6100 (HV=25 kV) couplé à un spectromètre EDS NORAN QUEST et à un MET PHILIPS CM20 (HV=200kV) couplé à un spectromètre EDS EDAX GENESIS. Certains échantillons ont également fait l'objet d'analyses par spectroscopie RAMAN, cet outil analytique étant le seul à même de contrôler l'existence éventuelle de serpentines fibreuses différentes du chrysotile (antigorite-amiante).

Enfin, plusieurs échantillons ont fait l'objet d'études par microscopie optique à lumière polarisée, éventuellement complétées par des analyses minéralogiques ponctuelles à l'aide d'une microsonde électronique.

2.2.3. Outils, techniques et conditions analytiques

Le programme analytique a consisté dans la mise en œuvre de plusieurs techniques analytiques.

Les échantillons les plus massifs ont fait l'objet de la réalisation de lames minces (LM). Ces lames minces ont été observées par microscopie optique (MOLP) et certaines d'entre elles ont été étudiées à la microsonde électronique (MSE) dans le but d'obtenir des informations ponctuelles sur la chimie et la nature exacte des minéraux présents.

Les échantillons correspondant à des fibres isolées ou à des faciès meubles potentiellement fibreux ont fait l'objet d'analyses par microscopie électronique à balayage (MEB). Pour chaque échantillon, les observations ont porté sur une fraction fibreuse ou supposée fibreuse prélevée.

a) Microsonde Électronique (MSE)

L'échantillon, sous forme de lame mince ou de section polie, est recouvert d'un dépôt conducteur de 20 nm de carbone pour les analyses à la microsonde électronique (MSE : CAMECA SXFive 5 spectromètres). Les analyses sont réalisées à 15 kV / 12 nA, avec les conditions de spectromètre suivants :

K, Ti : cristal PET

Si, Al : cristal TAP

Fe, Mn, Ni : cristal LiF

Na, Mg : cristal TAP large (LTAP)

Ca, Cr : cristal PET large (LPET)

Temps de comptage : 10 secondes sur le pic, 5 secondes sur le fond.

b) Microscopie Électronique à Balayage (MEB)

L'échantillon est dispersé manuellement sur un adhésif conducteur, puis il est recouvert d'un dépôt conducteur : (1) par évaporation de carbone pour l'observation par microscopie électronique à balayage (MEB JEOL JSM-6100) et microanalyse par spectrométrie de rayons X (EDS NORAN QUEST), à HV = 25 kV, (2) de 10 nm de carbone pour l'observation par microscopie électronique à balayage (MEB : TESCAN MIRA XMU) et microanalyse par spectrométrie de rayons X (EDS : Electron Dispersive X-ray Spectrometry : EDAX TEAM détecteur SDD résolution 126 eV @ Mn K α), à HV = 25 kV. Des images en électrons secondaires (SE) sont réalisées pour chaque échantillon à des grossissements adaptés, et des analyses EDS sont effectuées.

c) Microscopie Électronique en Transmission (MET)

L'échantillon est dispersé par ultrasons dans de l'éthanol, puis une goutte est déposée sur une grille en cuivre recouverte d'une membrane de carbone. L'échantillon est observé après séchage de la goutte, dans un MEB PHILIPS CM20 équipé d'un système de microanalyse EDAX Genesis. Les analyses sont réalisées à HV = 200 kV.

Enfin, certains échantillons ont fait l'objet d'analyses par spectroscopie RAMAN (spectromètre Raman Renishaw InVia Reflex utilisant 3 sources d'excitation laser à 514,5; 632,8 et 785 nm). Cette technique a notamment été utilisée pour identifier le(s) type(s) de serpentine présent(s).

2.3. PHASE 3 – SYNTHÈSE DES DONNÉES ET ÉTABLISSEMENT DES CARTES ZIP

2.3.1. Synthèse et compilation des données

Chaque prélèvement a fait l'objet d'une description et d'un levé GPS sur le terrain. Les informations ont été intégrées au fur et à mesure dans une base de données de stockage où elles sont complétées et corrigées.

Toutes les informations sont ensuite transférées sous Système d'Information Géographique afin de préparer l'établissement des cartes.

2.3.2. Établissements des cartes

Les informations afférentes à la géologie des ZIP, recueillies dans le cadre de la phase 2 et couplées aux résultats analytiques, conduiront le BRGM à établir, pour chacune des ZIP étudiées, une carte de susceptibilité de présence d'amiante dans le milieu naturel, restituée à l'échelle du 1/5 000.

Ces cartes de susceptibilité de présence d'amiante dans le milieu naturel seront déclinées en 3 classes selon la méthodologie développée par le BRGM en 2012 et mise à jour en 2015 et 2016 :

- Classe 1 (grise) : probabilité nulle à infinitésimale de présence de minéraux amiantifères dans le milieu naturel ;
- Classe 2 (jaune) : probabilité faible à moyenne de présence de minéraux amiantifères dans le milieu naturel ;
- Classe 3 (rouge) : probabilité forte à très forte de présence de minéraux amiantifères dans le milieu naturel.

Sur ces cartes des ZIP seront également reportés les points d'affleurements observés, les points d'amiante observés et prélèvements, ainsi que les limites des secteurs, n'ayant pas fait l'objet d'investigation du fait de leur inaccessibilité (topographie escarpée, zones de broussailles, propriétés privées et/ou clôturées, zones urbanisées, etc.). Sur ces secteurs insuffisamment documentés, l'information reportée restera celle issue de la carte de susceptibilité de présence d'amiante environnemental, à l'échelle 1/50 000.

Les limites des polygones représentant la susceptibilité de présence d'amiante dans le milieu naturel, dessinées sur les cartes des ZIP seront projetées sur les images issues de la base BDTOPO de l'IGN. Ces limites seront restituées sous la forme de couches SIG (ArcGis) en Lambert 93.

Cette étape de travail débutera à la fin des levés de terrains.

2.4. PHASE 4 – PRÉCONISATIONS POUR RÉDUIRE LES RISQUES D'ÉMISSION DE FIBRES PAR LES AFFLEUREMENTS

La phase 4 démarrera après l'établissement des cartographies de susceptibilité, conformément au planning prévisionnel et actualisé en § 2.5.

Les préconisations pour réduire les risques d'émission de fibres sur les affleurements amiantifères s'effectueront en deux temps : préconisations générales et spécifiques.

Des préconisations générales concernant la mise en œuvre de solutions techniques permettant de réduire la capacité d'émission des affleurements naturels et donc de limiter l'exposition des populations aux fibres d'amiante seront formulées. Ces préconisations s'appuieront sur des exemples concrets établis à partir de tous les typologies identifiées sur le terrain (talus de route, chemin non goudronné, carrière, etc.), une synthèse et une mise à jour des pratiques et coûts.

Des préconisations spécifiques seront établies à travers une approche pré-opérationnelle dans le rapport, sous forme de cartes communales ou seront présentés les points potentiels d'émission. Un tableau présentera les principales caractéristiques de ces points potentiels d'émission observés sur le domaine public : typologie et évaluation des dimensions (surface, longueur, hauteur, ...).

2.5. PLANNING ACTUALISÉ

	2017		2018														2019										2020												
	1	2	3	4	5	6	7	8	9	10	11	12	13	14	15	16	17	18	19	20	21	22	23	24	25	26	27	28	29	30	31	32	33	34	35	36			
Phase 1																																							
Phase 2 & 3																																							
Phase 4																																							
Phase 5																																							
Rapports																																							

Illustration 5 : Chronogramme du projet actualisé.

2.6. PRÉSENTATION DÉTAILLÉE DES TRAVAUX RÉALISÉS

Les travaux réalisés seront présentés par commune dans le rapport final d'étude qui sera livré en octobre 2020.

Il comprendra pour chacune des communes :

- la présentation des unités géologiques affleurantes dans l'emprise du territoire de la commune, telles que décrites dans la (les) carte(s) géologique(s) à 1/50 000 du secteur ;
- la présentation des zones où les levés ont été effectués ;
- la description des formations géologiques observées in situ, leur extension géographique et leur représentation cartographique à l'échelle 1/5 000 ;
- la description des occurrences amiantifères rencontrées dans ces formations ;
- les résultats des analyses effectuées en laboratoire, concernant la nature, la composition chimique et les caractéristiques dimensionnelles des fibres d'amiante observées ;
- les cartographies communales réalisées au 1/5 000 à l'intérieur des ZIP.

En annexe 2 du présent rapport est intégrée une version provisoire du rapport final de fin d'étude rédigée à ce jour pour le seul secteur du Cap Corse.

Annexe 1

Base de données des points d'observation et des échantillons prélevés

État d'avancement du projet de cartographie amiante environnementale 1/5 000

Numero BRGM	Auteur	Commune	Long WGS84	Lat WGS84	Description de l'affleurement	Lithologies	Echantillon
2BDL0001	LAHONDERE D.	SCOLCA	9,3700	42,5271	Serpentinites localement plissées et broyées, avec veines et plans fibreux abondants. Un plan fibreux d'épaisseur pluricentimétrique (5/10) est connecté à des veines plurimillimétriques à centimétriques. Fibres isolées à même le sol.	Serpentinites	oui
2BDL0002	LAHONDERE D.	SCOLCA	9,3593	42,5294	Serpentinites massives à plans verdâtres nacrés. Présence d'amas fibreux (éch. A). Ces serpentinites sont en contact failté avec des serpentinites écrasées riches en amiante (éch. B).	Serpentinites	oui
2BDL0003	LAHONDERE D.	VOLPAJOLA	9,3323	42,5152	Affleurement de serpentinites avec passées relativement peu déformées enveloppées dans des serpentinites schistosées. Des veines fibreuses amiantifères sont localisées à l'interface ainsi que dans les serpentinites schistosées.	Serpentinites	oui
2BDL0004	LAHONDERE D.	CAMPITELLO	9,3181	42,5273	Serpentinites très écrasées et amiantifères.	Serpentinites	oui
2BDL0005	LAHONDERE D.	BIGORNO	9,2917	42,5261	Serpentinites découpées par de grands plans fibreux évoluant par altération en mottes blanches microfibreuses. A proximité, présence de schistes blancs (talc ? + trémolite ?), au contact entre les serpentinites et des metabasites.	Serpentinites	oui
2BDL0006	LAHONDERE D.	OLMETA-DI-CAPOCORSO	9,3372	42,7585	Serpentinites plissées et broyées, noires, découpées par des veinules de chrysotile.	Serpentinites	oui
2BDL0007	LAHONDERE D.	OGLIASTRO	9,3376	42,8063	Contact tectonique entre des prasinites et des talcschistes, souligné par des roches vertes mylonitiques et par des talcschistes. Les talcschistes (pro parte anciennes serpentinites) possèdent des niveaux riches en fibres d'amiante.	Serpentinites	oui
2BDL0008	LAHONDERE D.	CANARI	9,3258	42,8149	Dans des métagabbros à smaragdite, observation de veines plurimillimétriques à albite + trémolite-amiante ou à trémolite-amiante seul (éch.).	Métagabbros	oui
2BDL0009	LAHONDERE D.	CANARI	9,3210	42,8263	Serpentinites très riches en amiante.	Serpentinites	oui
2BDL0010	LAHONDERE D.	CANARI	9,3153	42,8344	Métagabbros à smaragdite foliés, recoupés par des veines amiantifères peu épaisses (1 à 3 mm) perpendiculaires à la foliation et tardives. Trémolite abondante dans les noyaux pegmatitiques plissés préservés dans la foliation mylonitique.	Métagabbros	oui
2BDL0011	LAHONDERE D.	CANARI	9,3370	42,8636	Métagabbros leucocrates à passées à smaragdite, foliés. Fibres présentes dans la foliation où elles matérialisent la linéation d'allongement (éch. A). Au niveau de l'éponte d'une veine, présence d'un produit blanc microfibreux (éch. B).	Métagabbros	oui
2BDL0012	LAHONDERE D.	BARRETTALI	9,3333	42,8722	Au niveau d'un contact entre deux ensembles de métagabbros, serpentinites très schistosées à longues fibres d'amiante (jusqu'à 20 cm de longueur). Serpentinites découpées par des plans fibreux et par des veines d'amiante.	Serpentinites	oui
2BDL0013	LAHONDERE D.	CANARI	9,3230	42,8242	Serpentinites très riches en amiante.	Serpentinites	
2BDL0014	LAHONDERE D.	NONZA	9,3449	42,7759	Contact entre des glaucophanites et des serpentinites, souligné sur 5 m d'épaisseur par une mylonite verdâtre amiantifère. Les glaucophanites sont recouvertes par un enduit d'apparence terreuse presque exclusivement amiantifère.	Serpentinites - Glaucophanites	oui
2BDL0015	LAHONDERE D.	MOROSAGLIA	9,2201	42,4533	Serpentinites injectées de filons gabbroïques et basaltiques, découpées par des plans amiantés. Amas de terres blanches à microfibrilles présents à différents endroits, issus de veinules séchantes sur les serpentinites et les filons basiques.	Serpentinites	oui
2BDL0016	LAHONDERE D.	MOROSAGLIA	9,2268	42,4533	Contact entre des serpentinites et des metabasites schistosées avec présence de terres amiantifères.	Serpentinites - Glaucophanites	oui
2BDL0017	LAHONDERE D.	MOROSAGLIA	9,2362	42,4490	Contact entre des serpentinites et des metabasites schistosées avec présence de terres amiantifères.	Serpentinites - Glaucophanites	
2BDL0018	LAHONDERE D.	MOROSAGLIA	9,2374	42,4484	Plan fibreux très mince au contact entre des serpentinites et des corps gabbroïques filoniens, à talc très probable.	Serpentinites - Métagabbros	oui
2BDL0029	LAHONDERE D.	CANAVAGGIA	9,2166	42,4781	Serpentinites fracturées et altérées, avec accumulation de terres blanches sous le sol végétal	Serpentinites	oui
2BDL0030	LAHONDERE D.	CANAVAGGIA	9,2187	42,4782	Serpentinites broyées, à nodules de péridotite préservés, recoupées par un filon de diabase. De l'amiante est présent dans les serpentinites et au niveau du contact avec la diabase.	Serpentinites	oui
2BDL0031	LAHONDERE D.	CANAVAGGIA	9,2267	42,4759	Terres blanches au contact entre des serpentinites et des diabases.	Serpentinites - Metabasites	
2BDL0032	LAHONDERE D.	CANAVAGGIA	9,2323	42,4816	Terres blanches issues d'un niveau de schistes blancs (talcschistes ?) localisé au contact entre des serpentinites et un filon de gabbro.	Serpentinites - Talcschistes - Métagabbros	oui
2BDL0033	LAHONDERE D.	CANAVAGGIA	9,2419	42,4805	Petite carrière ouverte dans des serpentinites injectées de filons basiques (basalte, gabbro). Terres blanches au contact entre le sol végétal et le sommet altéré du bed-rock.	Serpentinites - Métagabbros - Metabasites	
2BDL0034	LAHONDERE D.	CANAVAGGIA	9,2526	42,4829	Serpentinites recoupées par des filons basiques avec présence de terres blanches amiantifères aux épontes (éch. A) et de fibres isolées issues de la fragmentation d'un plan à cristallisations fibreuses (éch. B).	Serpentinites	oui
2BDL0035	LAHONDERE D.	SISCO	9,4863	42,8237	Formation constituée par une alternance entre des cipolins et des schistes prasinitiques, plissée et découpée par des veines à albite sub-parallèles au plan axial des plis.	Marbres - Prasinites	
2BDL0036	LAHONDERE D.	PIETRACORBARA	9,4826	42,8501	Lame de talcschistes à trémolite et de schistes à actinolite (serpentinites mylonitiques) coincée entre deux lames de metabasites. L'altération de ces schistes se traduit par la présence de terres blanches à microfibrilles (éch. A).	Talcschistes	oui
2BDL0037	LAHONDERE D.	CAGNANO	9,4813	42,8632	Glaucophanites (metabasites) massives recoupées par des veines d'épaisseur centimétrique à pluri-centimétrique à albite.	Glaucophanites	

Numero BRGM	Auteur	Commune	Long WGS84	Lat WGS84	Description de l'affleurement	Lithologies	Echantillon
2BDL0038	LAHONDERE D.	CAGNANO	9,4811	42,8649	Contact entre des glaucophanites massives et des métasédiments souligné par une lame plurimétrique de talcschistes à trémolite (serpentinites mylonitiques). Amiante abondant.	Talcschistes	oui
2BDL0040	LAHONDERE D.	CAGNANO	9,4790	42,8604	Petit niveau de talcschiste associé à des faciès sédimentaires, coincé entre deux lames de metabasaltes. L'altération des talcschistes produit une terre blanche possiblement amiantifère.	Talcschistes - Schistes	oui
2BDL0041	LAHONDERE D.	PINO	9,3363	42,9000	Prasinites massives, foliées, découpées par des veines à albite. Amiante non observé.	Prasinites	
2BDL0042	LAHONDERE D.	BARRETTALI	9,3385	42,8908	Serpentinites à longues cristallisations fibreuses associées à des talcschistes. L'altération des talcschistes produit des terres blanches amiantifères.	Serpentinites - Talcschistes	oui
2BDL0043	LAHONDERE D.	BARRETTALI	9,3455	42,8759	Veine à cristallisations amiantifères recoupant des mégagabbros à smaragdite foliés.	Mégagabbros	
2BDL0044	LAHONDERE D.	CANARI	9,3242	42,8412	Veine à cristallisations amiantifères recoupant des mégagabbros à smaragdite foliés.	Mégagabbros	oui
2BDL0051	LAHONDERE D.	MOROSAGLIA	9,2905	42,4352	Dans une carrière : serpentinites à nombreuses mottes fibreuses en voie de désagrégation provenant de l'altération de veines (1 à 2 cm de largeur) connectées à des plans fibreux.	Serpentinites	oui
2BDL0052	LAHONDERE D.	VALLE-DI-ROSTINO	9,2937	42,4552	Lame de mégagabbros aluminomagnésiens très déformée et altérée, produisant des terres blanches à talc + actinolite/trémolite.	Mégagabbros	oui
2BDL0053	LAHONDERE D.	VALLE-DI-ROSTINO	9,2952	42,4573	Schistes très altérés produisant des terres blanches à talc + actinolite/trémolite.	Schistes - Talcschistes	oui
2BDL0059	LAHONDERE D.	CAMPITELLO	9,3233	42,5080	Serpentinites amiantifères (éch.).	Serpentinites	oui
2BDL0060	LAHONDERE D.	BIGORNO	9,3068	42,5037	Serpentinites amiantifères (éch.).	Serpentinites	oui
2BDL0073	LAHONDERE D.	CASTELLO-DI-ROSTINO	9,2841	42,4954	Mégagabbros foliés, recoupés par des veines à albite + épidote.	Mégagabbros	
2BDL0074	LAHONDERE D.	CASTELLO-DI-ROSTINO	9,2880	42,4952	Au niveau d'une passée mylonitique affectant des mégagabbros, talcschistes produisant des terres blanches par altération. Fibres identifiées dans ces terres blanches (amiante).	Mégagabbros - Talcschistes	oui
2BDL0075	LAHONDERE D.	LENTO	9,2837	42,5141	Serpentinites très écrasées associées à des terres blanches à talc + amiante.	Serpentinites	oui
2BDL0080	LAHONDERE D.	PATRIMONIO	9,3619	42,7131	Serpentinites amiantifères.	Serpentinites	oui
2BDL0085	LAHONDERE D.	NONZA	9,3412	42,7739	Serpentinites plissées et colluvions à fibres d'amiante.	Serpentinites	oui
2BDL0086	LAHONDERE D.	OGLIASTRO	9,3339	42,8125	Mégagabbros sombres (Fe-Ti ? ; éch.).	Mégagabbros	oui
2BDL0087	LAHONDERE D.	OGLIASTRO	9,3304	42,8123	Intercalation lenticulaire (1,50 m d'épaisseur maximale) de serpentinites dans des mégagabbros aluminomagnésiens, présence d'amiante en abondance.	Serpentinites	oui
2BDL0088	LAHONDERE D.	CANARI	9,3236	42,8213	Minerai d'amiante (mine de Canari) séparé de la route par un grillage à large maille.	Minerai d'amiante	
2BDL0089	LAHONDERE D.	BARRETTALI	9,3258	42,8987	Mégagabbros aluminomagnésiens foliés, recoupés par des veines à albite (+ actinolite ?).	Mégagabbros	
2BDL0104	LAHONDERE D.	NONZA	9,3436	42,7698	Arrachement de talus : amiante abondant dans un contact entre des serpentinites et des metabasaltes. Les fibres d'amiante dépassent parfois 15 cm de longueur.	Serpentinites	oui
2BDL0105	LAHONDERE D.	CANARI	9,3251	42,8168	Au niveau d'une intercalation de serpentinites dans des mégagabbros à smaragdite, présence d'amiante en abondance.	Mégagabbros	
2BDL0106	LAHONDERE D.	CANARI	9,3184	42,8305	Terres blanches à microfibrilles associées à des colluvions à éléments de serpentinites.	Colluvions	
2BDL0107	LAHONDERE D.	NONZA	9,3407	42,8007	Plan à amiante altéré en amas fibreux. Les fibres atteignent 10 cm de longueur. A proximité, veine à quartz + épidote + amiante recoupant des metabasites (éch.).	Serpentinites	oui
2BDL0108	LAHONDERE D.	NONZA	9,3386	42,8041	Contact entre des serpentinites et des metabasites (niveau amiantifère plissé), souligné par un niveau de trémolite (ou actinolite) et de schistes à talc + trémolite (ou actinolite).	Serpentinites - Talcschistes	oui
2BDL0109	LAHONDERE D.	CANAVAGGIA	9,2767	42,5097	Lame de serpentinites et de metabasites indifférenciées tectoniquement intercalée dans des métasédiments. Niveau plissé de schistes à talc + actinolite/trémolite.	Serpentinites - Talcschistes	oui
2BDL0110	LAHONDERE D.	CANAVAGGIA	9,2581	42,4864	Lame de serpentinites tectoniquement coincée entre des metabasites et des métasédiments. Amiante présent en abondance.	Serpentinites	oui
2BDL0111	LAHONDERE D.	CANAVAGGIA	9,2543	42,4835	Serpentinites amiantifères.	Serpentinites	
2BDL0117	LAHONDERE D.	VOLPAJOLA	9,3654	42,5168	Talus taillé dans des schistes : roche verte très écrasée, amiantifère (arkose basique ou intercalation basique/ultrabasique mylonitique). Ech. A = fibres isolées. Ech. B = trémolite.	Schistes	oui
2BDL0118	LAHONDERE D.	VALLE-DI-ROSTINO	9,2646	42,4734	Passée de talcschistes associée à des metabasites. Présence de terres blanches (éch.).	Prasinites - Talcschistes	oui
2BDL0119	LAHONDERE D.	VALLE-DI-ROSTINO	9,2828	42,4557	Passée de serpentinites et de talcschistes. Terres blanches. Amiante exprimé.	Serpentinites - Talcschistes	
2BDL0125	LAHONDERE D.	MOROSAGLIA	9,3001	42,4394	Talcschistes (éch.) observés au contact entre des mégagabbros et des métasédiments.	Mégagabbros - Schistes	oui
2BDL0131	LAHONDERE D.	OLMETA-DI-CAPOCORSO	9,3467	42,7425	Contact entre des serpentinites et des colluvions constitués de blocs de serpentinites.	Serpentinites	
2BDL0132	LAHONDERE D.	NONZA	9,3427	42,7710	Contact entre des serpentinites et des prasinites. Serpentinites broyées, riches en amiante.	Serpentinites - Prasinites	oui
2BDL0133	LAHONDERE D.	NONZA	9,3419	42,7721	Contact entre des serpentinites et des prasinites. Amiante abondant au contact entre les colluvions et la terre végétale. Présence d'amiante dans les colluvions (éch.).	Serpentinites - Prasinites	oui
2BDL0134	LAHONDERE D.	NONZA	9,3469	42,7960	Dalle structurale constituée de serpentinites surmontées par 1,5 m de colluvions à blocs de serpentinites. Fibres d'amiante probables dans les colluvions.	Serpentinites	oui
2BDL0135	LAHONDERE D.	NONZA	9,3469	42,8003	Serpentinites schistosées, verdâtres, riches en amiante, surmontées par une mince couche colluvionnée à éléments de roches basiques puis par un écran de terre végétale.	Serpentinites	oui

État d'avancement du projet de cartographie amiante environnementale 1/5 000

Numero BRGM	Auteur	Commune	Long WGS84	Lat WGS84	Description de l'affleurement	Lithologies	Echantillon
2BDL0136	LAHONDERE D.	NONZA	9,3432	42,8009	Talus taillé dans des serpentinites très altérées, verdâtres, schistosées, pro parte colluvionnées. Amiante très abondant.	Serpentinites	oui
2BDL0137	LAHONDERE D.	NONZA	9,3421	42,7984	Zone rocheuse littorale, constituée par des gabbros Al-Mg pegmatitiques. Présence de veines et plans à cristallisations fibreuses bleutées.	Métagabbros	oui
2BDL0138	LAHONDERE D.	NONZA	9,3433	42,8001	Serpentinites riches en amiante, intercalées dans des métagabbros alumino-magnésiens.	Serpentinites - Métagabbros	
2BDL0139	LAHONDERE D.	CANARI	9,3346	42,8590	Veine à albite + amiante pluricentimétrique (5 à 10) recoupant des métagabbros mylonitiques.	Métagabbros	oui
2BDL0140	LAHONDERE D.	CASTNETA	9,2280	42,4357	Gabbros à grands diallagés, à grain très irrégulier et bouffés pegmatitiques, associés à des passées subordonnées de serpentinites.	Serpentinites - Métagabbros	
2BDL0141	LAHONDERE D.	GAVIGNANO	9,2478	42,4284	Zone colluvionnée à blocs hétérométriques (cm3 à x m3) et matrice terreuse.	Colluvions	
2BDL0158	LAHONDERE D.	VALLE-DI-ROSTINO	9,2373	42,4690	Serpentinites broyées riches en amiante, alimentant des éboulis à amas microfibreux.	Serpentinites	oui
2BDL0159	LAHONDERE D.	VALLE-DI-ROSTINO	9,2556	42,4728	Colluvions de serpentinites, avec terres blanches amiantifères abondantes.	Colluvions (serpentinites)	oui
2BDL0160	LAHONDERE D.	VALLE-DI-ROSTINO	9,2538	42,4727	Colluvions de serpentinites, avec terres blanches amiantifères abondantes.	Colluvions (serpentinites)	
2BDL0161	LAHONDERE D.	VALLE-DI-ROSTINO	9,2722	42,4646	Lame de serpentinites, à fibres d'amiante (éch.).	Serpentinites	oui
2BDL0166	LAHONDERE D.	NONZA	9,3445	42,7993	Métagabbros alumino-magnésiens à veines bleutées fibreuses (actinolite ?).	Métagabbros	oui
2BDL0167	LAHONDERE D.	CANARI	9,3385	42,8643	Métagabbros à smaragdite recoupés par des veines fibreuses bleutées, elles-mêmes recoupées par des veines à albite + amiante.	Métagabbros	oui
2BDL0168	LAHONDERE D.	CANARI	9,3425	42,8642	Passée de métabasite à amphibole sodique intercalée dans des métagabbros foliés et broyés. Présence de talcschistes et de serpentinites au niveau des contacts.	Glaucophanites - Talcschistes	oui
2BDL0169	LAHONDERE D.	CANARI	9,3326	42,8541	Eboulis à blocs de glaucophanites et de prasinites. Terres blanches dans la matrice.	Eboulis (métabasites)	oui
2BDL0170	LAHONDERE D.	CANARI	9,3225	42,8415	Métagabbros foliés très altérés (embruns salés) recoupés par des veines à amiante (éch.).	Métagabbros	oui
2BDL0171	LAHONDERE D.	BARRETTALI	9,3585	42,8600	Serpentinites recoupées par des plans à cristallisations fibreuses. Amiante présent.	Serpentinites	oui
2BDL0172	LAHONDERE D.	BARRETTALI	9,3374	42,8762	Dans des prasinites à ocelles albitiques plissées (métabasites), veines à albite + chlorite non amiantifères. Possible niveau à trémolite.	Prasinites	oui
2BDL0173	LAHONDERE D.	PINO	9,3633	42,9102	Serpentinites très altérées et fragmentées à veines de chrysotile et amas de fibres souples.	Serpentinites	oui
2BDL0174	LAHONDERE D.	PINO	9,3650	42,9098	Serpentinites très altérées et fragmentées à veines de chrysotile et amas de fibres souples.	Serpentinites	oui
2BDL0175	LAHONDERE D.	CAGNANO	9,4776	42,8807	Affleurement constitué de métagabbros éclogitiques surmontés par des schistes à trémolite, localement asbestiforme, et par des prasinites à veines à albite + trémolite.	Métagabbros - Prasinites	oui
2BDL0176	LAHONDERE D.	PINO	9,3395	42,9039	Association de prasinites et de marbres plissés recoupée par des veines ouvertes à quartz.	Marbres - Prasinites	
2BDL0177	LAHONDERE D.	CASTELLO-DI-ROSTINO	9,2877	42,4951	Passée de métagabbro mylonitique broyée, avec passées à talc(+ actinolite ?).	Métagabbros	oui
2BDL0178	LAHONDERE D.	LENTO	9,2714	42,5183	Métagabbros foliés. Fibres d'amiante dans des veines à quartz + chlorite + albite.	Métagabbros	oui
2BDL0179	LAHONDERE D.	LENTO	9,2912	42,5255	Serpentinites riches en amiante.	Serpentinites	
2BDL0180	LAHONDERE D.	CAMPITELLO	9,3277	42,5165	Colluvions hétérométriques, monogéniques, à fragments et blocs de serpentinites.	Colluvions (serpentinites)	
2BDL0183	LAHONDERE D.	LENTO	9,2985	42,4966	Métagabbros recoupés par des veines ouvertes à quartz + albite ± actinolite. Plans écrasés à talc + trémolite.	Métagabbros - Talcschistes	oui
2BDL0184	LAHONDERE D.	CASTELLO-DI-ROSTINO	9,3059	42,4647	Dans des serpentinites à chrysotile, plans verts fibro-lamellaires à longues cristallisations fibreuses rigides en cours de séparation.	Serpentinites	oui
2BDL0185	LAHONDERE D.	CASTELLO-DI-ROSTINO	9,3103	42,4611	Serpentinites à plans fibro-lamellaires ici très altérés et associés à des fibres souples amiantifères.	Serpentinites	oui
2BDL0186	LAHONDERE D.	CASTELLO-DI-ROSTINO	9,3031	42,4574	Terres blanches amiantifères au contact entre des métasédiments et des serpentinites.	Serpentinites	oui
2BDL0197	LAHONDERE D.	CANAVAGGIA	9,2190	42,4781	Serpentinites associées à des diabases intrusives, à chrysotile (éch.).	Serpentinites	oui
2BDL0198	LAHONDERE D.	CANAVAGGIA	9,2271	42,4810	Métagabbros à clinopyroxène encore identifiable (éch.), affectés par de nombreux plans cassants. Possible actinolite dans la matrice.	Métagabbros	oui
2BDL0199	LAHONDERE D.	CANAVAGGIA	9,2645	42,4872	Lame de roches basiques : intercalation blanche avec amas à talc ? + amiante ?.	Métabasites - Métagabbros - Talcschistes	oui
2BDL0200	LAHONDERE D.	BIGORNO	9,2904	42,5332	Serpentinites à plans à longues cristallisations fibro-lamellaires rigides (éch. A). Chrysotile présent sous la forme de veinules (éch. B).	Serpentinites	oui
2BDL0443	LAHONDERE D.	BIGORNO	9,2910	42,5338	Péridotites ± serpentinisées à plans fibreux (éch. A: fibres vertes liées, éch. B: rupture et séparation mécanique des fibres, éch. C: altération des fibres séparées, effilochage).	Péridotites serpentinisées	oui
2BDL0480	LAHONDERE D.	MOROSAGLIA	9,2888	42,4379	Talus ouvert dans des serpentinites très riches en amiante.	Serpentinites	oui

Numero BRGM	Auteur	Commune	Long WGS84	Lat WGS84	Description de l'affleurement	Lithologies	Echantillon
2BDL0580	LAHONDERE D.	PIETRACORBARA	9,4836	42,8511	Loupe de glissement affectant des schistes à passées de talcschistes.	Serpentinites - Talcschistes	oui
2BDL0735	LAHONDERE D.	BRANDO	9,4906	42,7972	Contact entre des metabasites et des cipolins.	Prasinites - Calcaires marmoréens	
2BDL0753	LAHONDERE D.	CANARI	9,3290	42,8225	Mine de Canari : faille à cristallisations fibreuses.	Serpentinites	oui
2BDL0754	LAHONDERE D.	OGLIASTRO	9,3327	42,8161	Serpentinites cataclastiques amiantifères (piste d'accès à la	Serpentinites	oui
2BDL0755	LAHONDERE D.	OGLIASTRO	9,3282	42,8142	Serpentinites et métagabbros aluminé-magnésiens (piste	Serpentinites - Métagabbros	oui
2BDL0760	LAHONDERE D.	FARINOLE	9,3655	42,7304	Serpentinites plissées riches en amiante (entrée de	Serpentinites	oui
2BDL0791	LAHONDERE D.	VOLPAJOLA	9,3320	42,5148	Serpentinites.	Serpentinites	oui
2BDL0792	LAHONDERE D.	MOROSAGLIA	9,2883	42,4381	Serpentinites (Morosaglia) (éch.).	Serpentinites	oui
2BDL0872	LAHONDERE D.	BIGORNO	9,2930	42,5351	Serpentinites du col de Bigorno.	Serpentinites	oui
2BDL1000	LAHONDERE D.	FARINOLE	9,3587	42,7142	Miocène.	Calcaires	
2BDL1001	LAHONDERE D.	FARINOLE	9,3604	42,7144	Serpentinites, structuration en sigmoïdes.	Serpentinites	
2BDL1002	LAHONDERE D.	FARINOLE	9,3616	42,7142	Serpentinites.	Serpentinites	
2BDL1003	LAHONDERE D.	FARINOLE	9,3606	42,7164	Serpentinites, occurrences fibreuses sur les surfaces des	Serpentinites	
2BDL1004	LAHONDERE D.	FARINOLE	9,3606	42,7152	Serpentinites.	Serpentinites	oui
2BDL1005	LAHONDERE D.	PATRIMONIO	9,3621	42,7132	Serpentinites (éch.).	Serpentinites	oui
2BDL1210	LAHONDERE D.	OGLIASTRO	9,3586	42,8150	Serpentinites riches en amiante.	Serpentinites	oui
2BDL1372	LAHONDERE D.	CANAVAGGIA	9,2578	42,4860	Affleurements de serpentinites amiantifères.	Serpentinites	
2BDL1373	LAHONDERE D.	OLCANI	9,3728	42,8026	Schistes à trémolite.	Talcschistes	
2BDL1374	LAHONDERE D.	OLCANI	9,3688	42,8015	Affleurements de serpentinites amiantifères.	Serpentinites	
2BDL1375	LAHONDERE D.	OLCANI	9,3679	42,7993	Affleurements de serpentinites amiantifères.	Serpentinites	
2BDL1376	LAHONDERE D.	OLCANI	9,3719	42,7995	Affleurements de serpentinites amiantifères.	Serpentinites	
2BDL1377	LAHONDERE D.	OLCANI	9,3820	42,7950	Affleurements de serpentinites.	Serpentinites	
2BDL1378	LAHONDERE D.	OLCANI	9,3916	42,7878	Affleurements de serpentinites.	Serpentinites	
2BDL1452	LAHONDERE D.	OLMETA-DI-CAPOCORSO	9,3453	42,7418	Serpentinites (bord de mer), en contact avec des quartzites et des schistes à manganèse.	Serpentinites - Métaradiolarites	oui
2BDL1700	LAHONDERE D.	OGLIASTRO	9,3381	42,8065	Métagabbros ferro-titanés d'Albo recoupés par des veines fibreuses bleues (éch.). Ces métagabbros sont surmontés par des serpentinites et par des prasinites.	Méta-ferrogabbros - Serpentinites	oui
2BDL1701	LAHONDERE D.	OGLIASTRO	9,3367	42,8129	Schistes métapélitiques à rods de quartz synschisteux.	Schistes	
2BDL1702	LAHONDERE D.	OGLIASTRO	9,3364	42,8127	Contact plissé entre des schistes et des serpentinites.	Serpentinites - Schistes	
2BDL1703	LAHONDERE D.	OGLIASTRO	9,3358	42,8126	Métagabbros à intercalations de metabasites, en contact avec des serpentinites.	Métagabbros	
2BDL1704	LAHONDERE D.	OGLIASTRO	9,3354	42,8125	Contact entre des serpentinites et des métagabbros.	Métagabbros - Serpentinites	
2BDL1705	LAHONDERE D.	OGLIASTRO	9,3344	42,8123	Métagabbros avec boudinage de foliation et fibres d'actinolite synfoliales.	Métagabbros	
2BDL1706	LAHONDERE D.	OGLIASTRO	9,3328	42,8120	Métagabbros avec boudinage de foliation et fibres d'actinolite synfoliales (éch.) et veines à fibres d'amiante N035 E90.	Métagabbros	oui
2BDL1707	LAHONDERE D.	OGLIASTRO	9,3303	42,8122	Serpentinites mylonitiques verdâtres riches en amiante, intercalées dans des métagabbros.	Serpentinites	
2BDL1708	LAHONDERE D.	CANARI	9,3259	42,8164	Métagabbros foliés recoupés par des veines à fibres amiantifères (éch.).	Métagabbros	oui
2BDL1709	LAHONDERE D.	CANARI	9,3189	42,8299	Pointement de serpentinites amiantifères émergeant d'éboulis à éléments de métagabbros et de serpentinites (éch.).	Serpentinites	oui
2BDL1710	LAHONDERE D.	CANARI	9,3182	42,8301	Eboulis et colluvions à éléments de serpentinites dominants, à mottes amiantifères.	Colluvions	
2BDL1711	LAHONDERE D.	CANARI	9,3177	42,8304	Affleurement de métagabbros, en contact avec une zone d'éboulis.	Métagabbros	
2BDL1712	LAHONDERE D.	CANARI	9,3157	42,8316	Métagabbros avec fibres d'actinolite synfoliales et veines à fibres d'amiante (éch.).	Métagabbros	oui
2BDL1713	LAHONDERE D.	CANARI	9,3165	42,8334	Métagabbros découpés par des veines à fibres d'amiante, avec passée de serpentinites mylonitiques amiantifères.	Métagabbros - Serpentinites	oui
2BDL1714	LAHONDERE D.	CANARI	9,3192	42,8368	Métagabbros avec boudinage de foliation et veines à fibres d'amiante.	Métagabbros	
2BDL1715	LAHONDERE D.	CANARI	9,3354	42,8542	Métabasites prasiniques.	Prasinites	
2BDL1716	LAHONDERE D.	BARRETTALI	9,3499	42,8677	Intercalation (< 1 m) de serpentinites amiantifères (éch. B) dans les métagabbros de Giottani, à veines amiantifères (éch. A).	Métagabbros - Serpentinites	oui
2BDL1717	LAHONDERE D.	BARRETTALI	9,3455	42,8696	Intercalation (< 1 m) de serpentinites amiantifères dans les métagabbros (Giottani). Fibres synfoliales dans les métagabbros (éch.).	Métagabbros - Serpentinites	oui
2BDL1718	LAHONDERE D.	BARRETTALI	9,3441	42,8701	Métabasites prasiniques avec passée de serpentinites. Fibres présentes dans des veines à albite recoupant les prasinites (éch.).	Prasinites - Serpentinites	oui
2BDL1719	LAHONDERE D.	BARRETTALI	9,3394	42,8703	Intercalation (< 1 m) de serpentinites mylonitiques amiantifères dans les métagabbros de Giottani.	Métagabbros - Serpentinites	
2BDL1720	LAHONDERE D.	BARRETTALI	9,3342	42,8722	Contact entre des métagabbros et des serpentinites mylonitiques amiantifères (éch.).	Métagabbros - Serpentinites	oui
2BDL1721	LAHONDERE D.	BARRETTALI	9,3336	42,8722	Contact entre des serpentinites mylonitiques amiantifères et des métagabbros.	Métagabbros - Serpentinites	
2BDL1722	LAHONDERE D.	BARRETTALI	9,3323	42,8743	Affleurement de serpentinites amiantifères séparant les métagabbros de Giottani d'une lame de metabasites prasiniques (éch.).	Serpentinites	oui
2BDL1723	LAHONDERE D.	BARRETTALI	9,3332	42,8750	Intercalation de métagabbros (type Giottani) dans des metabasites, avec fibres d'actinolite synfoliales.	Métagabbros	
2BDL1724	LAHONDERE D.	BARRETTALI	9,3305	42,8783	Métabasites et (?) métagabbros avec fibres d'actinolite présentes dans des niveaux schistosés (éch.).	Métabasites	oui
2BDL1725	LAHONDERE D.	BARRETTALI	9,3304	42,8795	Métabasites avec fibres d'actinolite-amiante dans des veines albitiques (éch.).	Métabasites	oui
2BDL1726	LAHONDERE D.	BARRETTALI	9,3309	42,8806	Métabasites recoupés par des veines albitiques.	Métabasites	
2BDL1727	LAHONDERE D.	BARRETTALI	9,3337	42,8853	Métabasites avec fibres d'actinolite-amiante dans des veines albitiques (éch.).	Métabasites	oui
2BDL1728	LAHONDERE D.	BARRETTALI	9,3348	42,8891	Schistes plissés, au-dessus de Minerviu.	Schistes	
2BDL1729	LAHONDERE D.	BARRETTALI	9,3353	42,8879	Affleurement de serpentinites.	Serpentinites	
2BDL1730	LAHONDERE D.	BARRETTALI	9,3358	42,8890	Affleurement de serpentinites surmontées par des colluvions à éléments de serpentinites.	Serpentinites	

État d'avancement du projet de cartographie amiante environnementale 1/5 000

Numero BRGM	Auteur	Commune	Long WGS84	Lat WGS84	Description de l'affleurement	Lithologies	Echantillon
2BDL1731	LAHONDERE D.	BARRETTALI	9,3371	42,8868	Contact entre des serpentinites et des metabasaltes, orienté N055 W47.	Prasinities - Serpentinities	
2BDL1732	LAHONDERE D.	BARRETTALI	9,3358	42,8835	Métabasaltes recoupés par des veines albitiques.	Métabasaltes	
2BDL1733	LAHONDERE D.	BARRETTALI	9,3355	42,8769	Métabasaltes recoupés par des veines albitiques.	Métabasaltes	oui
2BDL1734	LAHONDERE D.	BARRETTALI	9,3382	42,8760	Métabasaltes recoupés par des veines albitiques, à feufrage possible d'actinolite (éch.).	Prasinities	oui
2BDL1735	LAHONDERE D.	BARRETTALI	9,3420	42,8762	Métagabbros feuilletés (type Giottani).	Métagabbros	
2BDL1736	LAHONDERE D.	BARRETTALI	9,3455	42,8760	Métagabbros à passées de serpentinites amiantifères (éch.).	Métagabbros - Serpentinities	oui
2BDL1737	LAHONDERE D.	BARRETTALI	9,3469	42,8778	Métagabbros feuilletés (type Giottani).	Métagabbros	
2BDL1738	LAHONDERE D.	BARRETTALI	9,3477	42,8779	Affleurement de metabasaltes.	Prasinities	
2BDL1739	LAHONDERE D.	BARRETTALI	9,3500	42,8784	Affleurement de metabasaltes avec veines à fibres rigides (éch. A) ou souples (éch. B).	Prasinities	oui
2BDL1740	LAHONDERE D.	BARRETTALI	9,3582	42,8772	Métagabbros à veines fibreuses (éch. B), à passées de serpentinites amiantifères (éch. A).	Métagabbros - Serpentinities	oui
2BDL1741	LAHONDERE D.	BARRETTALI	9,3593	42,8779	Métagabbros (type Giottani) très fracturés, probablement glissés.	Métagabbros	
2BDL1742	LAHONDERE D.	BARRETTALI	9,3572	42,8789	Métagabbros (type Giottani), en contact avec des éboulis.	Métagabbros	
2BDL1743	LAHONDERE D.	BARRETTALI	9,3365	42,8901	Contact entre des serpentinites amiantifères et des metabasaltes.	Prasinities - Serpentinities	
2BDL1744	LAHONDERE D.	BARRETTALI	9,3341	42,8933	Métabasaltes très clairs recoupés par des veines albitiques.	Métabasaltes	
2BDL1745	LAHONDERE D.	PINO	9,3343	42,9003	Métabasaltes très clairs, à poches albitiques.	Métabasaltes	
2BDL1746	LAHONDERE D.	PINO	9,3483	42,9042	Contact entre des schistes à niveaux de cipolins et des serpentinites froissées riches en amiante (éch.).	Serpentinities - Schistes - Calcaires marmoréens	oui
2BDL1747	LAHONDERE D.	PINO	9,3497	42,9046	Affleurements de schistes métasédimentaires.	Schistes	
2BDL1748	LAHONDERE D.	PINO	9,3534	42,9093	Affleurement de metabasaltes foliés.	Prasinities	
2BDL1749	LAHONDERE D.	PINO	9,3532	42,9103	Affleurement de metabasaltes très clairs, à niveaux brillants micacés (phengite).	Prasinities	
2BDL1750	LAHONDERE D.	PINO	9,3539	42,9115	Métabasaltes très clairs recoupés par des veines albitiques.	Prasinities	
2BDL1751	LAHONDERE D.	PINO	9,3540	42,9123	Métabasaltes très clairs, à poches albitiques (et actinolite ? ; éch.).	Prasinities	oui
2BDL1752	LAHONDERE D.	PINO	9,3543	42,9114	Métabasaltes très clairs recoupés par des veines albitiques.	Prasinities	
2BDL1753	LAHONDERE D.	PINO	9,3540	42,9103	Métabasaltes très clairs recoupés par des veines albitiques. Possible actinolite syfoliale.	Prasinities	
2BDL1754	LAHONDERE D.	PINO	9,3540	42,9087	Métabasaltes à passées bleutées (glaucofanites).	Glaucofanites - Prasinities	
2BDL1755	LAHONDERE D.	PINO	9,3544	42,9072	Métabasaltes très clairs recoupés par des veines albitiques.	Prasinities	
2BDL1756	LAHONDERE D.	PINO	9,3532	42,9073	Contact entre des prasinities et des schistes métasédimentaires.	Prasinities - Schistes	
2BDL1757	LAHONDERE D.	PINO	9,3523	42,9077	Affleurement de schistes métasédimentaires (base de mur).	Schistes	
2BDL1758	LAHONDERE D.	PINO	9,3518	42,9077	Affleurement de schistes métasédimentaires (base de mur).	Schistes	
2BDL1759	LAHONDERE D.	PINO	9,3503	42,9076	Affleurement de schistes métasédimentaires (talus de route).	Schistes	
2BDL1760	LAHONDERE D.	PINO	9,3498	42,9073	Affleurement de schistes métasédimentaires (base de mur).	Schistes	
2BDL1761	LAHONDERE D.	PINO	9,3488	42,9066	Affleurement de schistes métasédimentaires (talus de route).	Schistes	
2BDL1762	LAHONDERE D.	PINO	9,3489	42,9057	Affleurement de schistes métasédimentaires (talus de route).	Schistes	
2BDL1763	LAHONDERE D.	PINO	9,3474	42,9065	Affleurement de schistes métasédimentaires (talus de route).	Schistes	
2BDL1764	LAHONDERE D.	PINO	9,3468	42,9066	Contact entre des schistes métasédimentaires et des éboulis à éléments de metabasaltes.	Schistes	
2BDL1765	LAHONDERE D.	PINO	9,3461	42,9069	Affleurement de metabasaltes fragmentés.	Prasinities	
2BDL1766	LAHONDERE D.	PINO	9,3435	42,9077	Métabasaltes très clairs recoupés par des veines albitiques.	Prasinities	
2BDL1767	LAHONDERE D.	PINO	9,3417	42,9065	Métabasaltes très clairs recoupés par des veines albitiques.	Prasinities	
2BDL1768	LAHONDERE D.	PINO	9,3424	42,9081	Métabasaltes très clairs recoupés par des veines albitiques.	Prasinities	
2BDL1769	LAHONDERE D.	PINO	9,3444	42,9092	Colluvions à fragments hétérométriques de serpentinites.	Colluvions	
2BDL1770	LAHONDERE D.	PINO	9,3442	42,9094	Petit affleurement de serpentinites (talus de route).	Serpentinities	
2BDL1771	LAHONDERE D.	PINO	9,3433	42,9093	Affleurement déstructuré de metabasaltes (prasinities).	Prasinities	
2BDL1772	LAHONDERE D.	PINO	9,3422	42,9090	Métabasaltes très clairs recoupés par des veines albitiques.	Prasinities	
2BDL1773	LAHONDERE D.	PINO	9,3432	42,9096	Contact entre des metabasaltes et des éboulis.	Prasinities	
2BDL1774	LAHONDERE D.	PINO	9,3439	42,9099	Début d'un affleurement de serpentinites (éch.).	Serpentinities	oui
2BDL1775	LAHONDERE D.	PINO	9,3445	42,9102	Affleurement de serpentinites riches en amiante (éch.).	Serpentinities	oui
2BDL1776	LAHONDERE D.	PINO	9,3449	42,9104	Affleurement de serpentinites riches en amiante.	Serpentinities	
2BDL1777	LAHONDERE D.	PINO	9,3431	42,9103	Affleurement naturel de metabasaltes (bord de mer).	Prasinities	
2BDL1778	LAHONDERE D.	PINO	9,3433	42,9104	Contact entre des serpentinites amiantifères et des métasédiments (trois échantillons prélevés).	Serpentinities - Schistes	oui
2BDL1779	LAHONDERE D.	PINO	9,3442	42,9108	Affleurement de serpentinites riches en amiante (bord de mer).	Serpentinities	
2BDL1780	LAHONDERE D.	PINO	9,3445	42,9110	Affleurement de serpentinites riches en amiante (bord de mer).	Serpentinities	
2BDL1781	LAHONDERE D.	PINO	9,3444	42,9118	Métabasaltes clairs.	Prasinities	
2BDL1782	LAHONDERE D.	PINO	9,3455	42,9108	Affleurement de schistes métasédimentaires (base de mur).	Schistes	
2BDL1783	LAHONDERE D.	PINO	9,3460	42,9112	Affleurement de schistes métasédimentaires (base de mur).	Schistes	
2BDL1784	LAHONDERE D.	PINO	9,3462	42,9114	Schistes recouverts par des colluvions à éléments de serpentinites (éch.).	Schistes - Colluvions	oui

Numero BRGM	Auteur	Commune	Long WGS84	Lat WGS84	Description de l'affleurement	Lithologies	Echantillon
2BDL1785	LAHONDERE D.	PINO	9,3469	42,9119	Affleurement de schistes métasédimentaires (talus) avec niveau blanchâtre possiblement fibreux (éch.).	Schistes	oui
2BDL1786	LAHONDERE D.	PINO	9,3480	42,9129	Affleurement naturel de glaucophanites à épidote (bord de mer).	Glaucophanites	
2BDL1787	LAHONDERE D.	PINO	9,3462	42,9112	Affleurement de schistes métasédimentaires (talus de chemin).	Schistes	
2BDL1788	LAHONDERE D.	PINO	9,3463	42,9111	Possible affleurement de serpentinites (talus de chemin).	Serpentinites	
2BDL1789	LAHONDERE D.	PINO	9,3474	42,9112	Affleurement de serpentinites (sentier).	Serpentinites	
2BDL1790	LAHONDERE D.	PINO	9,3478	42,9107	Affleurement de schistes métasédimentaires (sentier).	Schistes	
2BDL1791	LAHONDERE D.	PINO	9,3498	42,9087	Affleurement de schistes métasédimentaires (sentier).	Schistes	
2BDL1792	LAHONDERE D.	PINO	9,3508	42,9091	Affleurement de schistes métasédimentaires (talus de route).	Schistes	
2BDL1793	LAHONDERE D.	PINO	9,3511	42,9097	Affleurement de schistes métasédimentaires (talus de route).	Schistes	
2BDL1794	LAHONDERE D.	PINO	9,3530	42,9088	Métabasaltes.	Prasinities	
2BDL1795	LAHONDERE D.	PINO	9,3582	42,9220	Affleurement de schistes métasédimentaires (talus de route).	Schistes	
2BDL1796	LAHONDERE D.	PINO	9,3571	42,9203	Intercalation de schistes prasinitiques dans des métasédiments, à actinolite probable.	Prasinities - Schistes	
2BDL1797	LAHONDERE D.	PINO	9,3565	42,9199	Contact entre des schistes et des metabasaltes à veines abiotiques synfoliales boudinées. Actinolite identifiée (éch.).	Prasinities - Schistes	oui
2BDL1798	LAHONDERE D.	PINO	9,3567	42,9185	Contact entre des schistes et des metabasaltes à veines abiotiques synfoliales boudinées.	Prasinities - Schistes	
2BDL1799	LAHONDERE D.	PINO	9,3585	42,9166	Intercalation de schistes prasinitiques dans des métasédiments.	Prasinities - Schistes	
2BDL1800	LAHONDERE D.	PINO	9,3603	42,9135	Affleurement de schistes métasédimentaires (talus de route).	Prasinities - Schistes	
2BDL1801	LAHONDERE D.	PINO	9,3595	42,9138	Possibles metabasaltes, très altérés, recouverts par des éboulis.	Métabasaltes - Colluvions	
2BDL1802	LAHONDERE D.	PINO	9,3591	42,9140	Métagabbros ultramylonitiques feuilletés et colluvions amiantifères (éch.).	Métagabbros - Colluvions	oui
2BDL1803	LAHONDERE D.	CANARI	9,3146	42,8315	Métagabbros foliés à mylonitiques, à intercalation de serpentinites amiantifères.	Métagabbros - Serpentinites	
2BDL1804	LAHONDERE D.	CANARI	9,3134	42,8311	Métagabbros foliés à mylonitiques, à intercalation de serpentinites amiantifères.	Métagabbros - Serpentinites	
2BDL1805	LAHONDERE D.	CANARI	9,3142	42,8300	Contact entre des métagabbros et des serpentinites mylonitiques amiantifères.	Métagabbros - Serpentinites	
2BDL1806	LAHONDERE D.	CANARI	9,3123	42,8301	Métagabbros plissés avec boudinage de foliation et intercalation de serpentinites mylonitiques.	Métagabbros - Serpentinites	
2BDL1807	LAHONDERE D.	CANARI	9,3137	42,8298	Métagabbros foliés à mylonitiques, à intercalation plurimétrique de serpentinites amiantifères. Deux échantillons prélevés.	Métagabbros - Serpentinites	oui
2BDL1808	LAHONDERE D.	CANARI	9,3153	42,8282	Talus en bord de mer constitué par des éboulis à énormes blocs de métagabbros et de serpentinites.	Eboulis	
2BDL1809	LAHONDERE D.	CANARI	9,3156	42,8274	Talus en bord de mer impliquant des serpentinites mylonitiques riches en amiante, déstructurées et solifluées (éch.).	Serpentinites	oui
2BDL1810	LAHONDERE D.	BARRETTALI	9,3479	42,8785	Métabasaltes observés dans un fossé de chemin. Fibres d'actinolite observées.	Prasinities	
2BDL1811	LAHONDERE D.	BARRETTALI	9,3454	42,8780	Métabasaltes observés dans un fossé de chemin. Fibres d'actinolite observées.	Prasinities	
2BDL1812	LAHONDERE D.	BARRETTALI	9,3438	42,8779	Métabasaltes observés dans un fossé de chemin. Fibres d'actinolite observées (éch.).	Prasinities	oui
2BDL1813	LAHONDERE D.	BARRETTALI	9,3423	42,8781	Métabasaltes observés dans un fossé de chemin. Fibres d'actinolite observées.	Prasinities	
2BDL1814	LAHONDERE D.	BARRETTALI	9,3405	42,8783	Contact entre des metabasaltes et des schistes métasédimentaires.	Prasinities - Schistes	
2BDL1815	LAHONDERE D.	BARRETTALI	9,3398	42,8781	Métapélites à niveaux de quartzites micacés feuilletés. Schistes à actinolite intercalés (éch.).	Schistes	oui
2BDL1816	LAHONDERE D.	BARRETTALI	9,3401	42,8785	Serpentinites écrasées, cataclastiques, imbriquées dans des métasédiments (contact plissé probable).	Serpentinites	
2BDL1817	LAHONDERE D.	BARRETTALI	9,3411	42,8794	Schistes quartzifères.	Schistes	
2BDL1818	LAHONDERE D.	BARRETTALI	9,3426	42,8793	Métabasaltes très altérés (prasinities).	Prasinities	
2BDL1819	LAHONDERE D.	BARRETTALI	9,3424	42,8799	Serpentinites amiantifères, broyées et plissées, associées à des metabasaltes.	Serpentinites	
2BDL1820	LAHONDERE D.	BARRETTALI	9,3426	42,8819	Affleurement de serpentinites.	Serpentinites	
2BDL1821	LAHONDERE D.	BARRETTALI	9,3439	42,8824	Affleurement de serpentinites.	Serpentinites	
2BDL1822	LAHONDERE D.	BARRETTALI	9,3450	42,8833	Affleurement de serpentinites.	Serpentinites	
2BDL1823	LAHONDERE D.	BARRETTALI	9,3486	42,8846	Affleurement de serpentinites.	Serpentinites	
2BDL1824	LAHONDERE D.	BARRETTALI	9,3471	42,8768	Métagabbros (type Giottani) foliés.	Métagabbros	
2BDL1825	LAHONDERE D.	BARRETTALI	9,3478	42,8773	Contact entre des metabasaltes et des métagabbros (type Giottani).	Métagabbros - Métabasaltes	
2BDL1826	LAHONDERE D.	BARRETTALI	9,3502	42,8761	Métagabbros (type Giottani) foliés.	Métagabbros	
2BDL1827	LAHONDERE D.	BARRETTALI	9,3544	42,8746	Début d'un affleurement de serpentinites.	Serpentinites	
2BDL1828	LAHONDERE D.	BARRETTALI	9,3552	42,8743	Affleurement de serpentinites.	Serpentinites	
2BDL1829	LAHONDERE D.	BARRETTALI	9,3589	42,8729	Métagabbros (type Giottani) foliés.	Métagabbros	
2BDL1830	LAHONDERE D.	BARRETTALI	9,3597	42,8701	Métagabbros (type Giottani) foliés.	Métagabbros	
2BDL1831	LAHONDERE D.	BARRETTALI	9,3598	42,8687	Métagabbros (type Giottani) foliés.	Métagabbros	
2BDL1832	LAHONDERE D.	BARRETTALI	9,3599	42,8626	Début d'un affleurement de serpentinites.	Serpentinites	
2BDL1833	LAHONDERE D.	CANARI	9,3243	42,8421	Affleurement correspondant à un contact cisailé entre des métagabbros et des metabasaltes. Amiante abondant (éch.).	Métagabbros - Métabasaltes	oui
2BDL1834	LAHONDERE D.	CANARI	9,3193	42,8447	Métagabbros (type Giottani) foliés.	Métagabbros	
2BDL1835	LAHONDERE D.	CANARI	9,3218	42,8465	Eboulis en falaise le long du littoral.	Eboulis	
2BDL1836	LAHONDERE D.	CANARI	9,3223	42,8474	Métagabbros (bord de mer) recouverts par des éboulis. Blocs énormes.	Métagabbros - Eboulis	
2BDL1837	LAHONDERE D.	CANARI	9,3300	42,8450	Talus de route entaillant des éboulis à éléments de roches basiques (prasinities) et ultrabasiques (serpentinites).	Eboulis	
2BDL1838	LAHONDERE D.	CANARI	9,3310	42,8443	Métabasaltes avec fibres d'actinolite possibles autour de nodules à épidote.	Prasinities	

État d'avancement du projet de cartographie amiante environnementale 1/5 000

Numero BRGM	Auteur	Commune	Long WGS84	Lat WGS84	Description de l'affleurement	Lithologies	Echantillon
2BDL1839	LAHONDERE D.	CANARI	9,3312	42,8438	Talus de route entaillant des éboulis à éléments de roches basiques (prasinites) dominants.	Eboulis	
2BDL1840	LAHONDERE D.	CANARI	9,3297	42,8414	Métabasaites (talus de route).	Prasinites	
2BDL1841	LAHONDERE D.	CANARI	9,3314	42,8420	Métabasaites prasinitiques (talus de route) avec corps de glaucophanite. Fibres possibles autour des glaucophanites (éch.).	Glaucophanites - Prasinites	oui
2BDL1842	LAHONDERE D.	CANARI	9,3320	42,8422	Métabasaites (talus de route).	Prasinites	
2BDL1843	LAHONDERE D.	CANARI	9,3346	42,8432	Affleurement de métabasaites plus ou moins déstructuré (talus de route).	Prasinites	
2BDL1844	LAHONDERE D.	CANARI	9,3348	42,8432	Affleurement de métabasaites plus ou moins déstructuré (talus de route).	Prasinites	
2BDL1845	LAHONDERE D.	CANARI	9,3361	42,8442	Zone correspondant (?) à un éboulis à éléments de serpentinites hétérométriques (blocs abondants dans les murs).	Eboulis	
2BDL1846	LAHONDERE D.	CANARI	9,3375	42,8441	Zone correspondant (?) à un éboulis à éléments de serpentinites hétérométriques (blocs abondants dans les murs).	Eboulis	
2BDL1847	LAHONDERE D.	CANARI	9,3379	42,8450	Zone correspondant (?) à un éboulis à éléments de prasinites et de serpentinites hétérométriques.	Eboulis	
2BDL1848	LAHONDERE D.	CANARI	9,3357	42,8438	Zone correspondant (?) à un éboulis à éléments de serpentinites hétérométriques (blocs abondants dans les murs).	Eboulis	
2BDL1849	LAHONDERE D.	CANARI	9,3371	42,8459	Affleurement de métabasaites (glaucophanites, prasinites).	Glaucophanites - Prasinites	
2BDL1850	LAHONDERE D.	CANARI	9,3377	42,8474	Affleurement de métabasaites (glaucophanites, prasinites).	Glaucophanites - Prasinites	
2BDL1851	LAHONDERE D.	CANARI	9,3384	42,8486	Métabasaites prasinitiques.	Prasinites	
2BDL1852	LAHONDERE D.	CANARI	9,3388	42,8500	Métabasaites prasinitiques surmontés par des colluvions riches en éléments de serpentinites.	Prasinites - Eboulis	
2BDL1853	LAHONDERE D.	CANARI	9,3361	42,8466	Zone d'éboulis à éléments de roches basiques (prasinites) et ultrabasiques (serpentinites).	Eboulis	
2BDL1854	LAHONDERE D.	CANARI	9,3348	42,8463	Zone d'éboulis à éléments de roches basiques (prasinites) et ultrabasiques (serpentinites).	Eboulis	
2BDL1855	LAHONDERE D.	CANARI	9,3341	42,8457	Zone d'éboulis terreux à éléments de roches basiques (prasinites) et ultrabasiques (serpentinites) (éch.).	Eboulis	oui
2BDL1856	LAHONDERE D.	CANARI	9,3333	42,8455	Métabasaites prasinitiques.	Prasinites	
2BDL1857	LAHONDERE D.	CANARI	9,3328	42,8450	Zone d'éboulis à éléments de roches basiques (prasinites) et ultrabasiques (serpentinites).	Eboulis	
2BDL1858	LAHONDERE D.	CANARI	9,3324	42,8443	Métabasaites prasinitiques.	Prasinites	
2BDL1859	LAHONDERE D.	CANARI	9,3316	42,8432	Niveau de glaucophanite boudiné au sein de prasinites.	Glaucophanites - Prasinites	
2BDL1860	LAHONDERE D.	CANARI	9,3302	42,8419	Métabasaites prasinitiques.	Prasinites	
2BDL1861	LAHONDERE D.	CANARI	9,3299	42,8398	Affleurement de métabasaites (glaucophanites, prasinites).	Prasinites	
2BDL1862	LAHONDERE D.	CANARI	9,3293	42,8388	Affleurement de métabasaites à longues fibres (actinolite ?) et niveau blanchâtre (talc ?) intercalé (éch.).	Prasinites - Talcshistes	oui
2BDL1863	LAHONDERE D.	CANARI	9,3273	42,8358	Affleurement de serpentinites.	Serpentinites	
2BDL1864	LAHONDERE D.	CANARI	9,3279	42,8356	Serpentinites et métabasaites clairs.	Serpentinites - Prasinites	
2BDL1865	LAHONDERE D.	CANARI	9,3279	42,8347	Affleurement de métabasaites (glaucophanites, prasinites).	Glaucophanites - Prasinites	
2BDL1866	LAHONDERE D.	CANARI	9,3290	42,8336	Affleurement de métabasaites (glaucophanites, prasinites).	Glaucophanites - Prasinites	
2BDL1867	LAHONDERE D.	CANARI	9,3300	42,8323	Affleurement de métabasaites (glaucophanites, prasinites).	Glaucophanites - Prasinites	
2BDL1868	LAHONDERE D.	CANARI	9,3326	42,8286	Affleurement de métabasaites (glaucophanites, prasinites). Nodules à omphacite ? (éch.).	Glaucophanites - Prasinites	oui
2BDL1869	LAHONDERE D.	CANARI	9,3338	42,8281	Schistes verdâtres, probablement à actinolite, intercalée entre des métabasaites et des métagabbros (type Giottani).	Serpentinites	
2BDL1870	LAHONDERE D.	CANARI	9,3342	42,8278	Affleurement de métagabbros (type Giottani).	Métagabbros	
2BDL1871	LAHONDERE D.	CANARI	9,3376	42,8296	Affleurement de métagabbros (type Giottani). Possibles intercalations de serpentinites mylonitiques.	Métagabbros	
2BDL1872	LAHONDERE D.	CANARI	9,3379	42,8299	Contact entre des métagabbros (type Giottani) et des serpentinites cisailées à chrysotile (éch.).	Serpentinites - Métagabbros	oui
2BDL1873	LAHONDERE D.	OGLIASTRO	9,3337	42,8080	Affleurement de serpentinites (Tour d'Albo) (éch.).	Serpentinites	oui
2BDL1874	LAHONDERE D.	OGLIASTRO	9,3338	42,8076	Serpentinites recoupées par des veines fibro-radiées pluricentimétriques (éch.).	Serpentinites	oui
2BDL1875	LAHONDERE D.	OGLIASTRO	9,3341	42,8074	Contact entre des métabasaites verts (prasinites) et des schistes plissés (bord de mer).	Prasinites - Schistes	
2BDL1876	LAHONDERE D.	BARRETTALI	9,3637	42,8787	Affleurement de métagabbros (type Giottani).	Métagabbros	
2BDL1877	LAHONDERE D.	BARRETTALI	9,3648	42,8803	Limite entre des éboulis à éléments de serpentinites et un affleurement de métagabbros (type Giottani).	Métagabbros - Eboulis	
2BDL1878	LAHONDERE D.	BARRETTALI	9,3769	42,8804	Affleurement de métagabbros (type Giottani) à veines à actinolite-amiante.	Métagabbros	
2BDL1879	LAHONDERE D.	BARRETTALI	9,3773	42,8796	Contact entre des métagabbros (type Giottani) et des serpentinites cisailées.	Serpentinites - Métagabbros	
2BDL1880	LAHONDERE D.	BARRETTALI	9,3781	42,8791	Affleurement de serpentinites amiantifères (talus et fossé de piste) (éch.).	Serpentinites	oui
2BDL1881	LAHONDERE D.	LURI	9,3811	42,8790	Affleurement de serpentinites. Occurrences fibreuses discrètes.	Serpentinites	
2BDL1882	LAHONDERE D.	LURI	9,3821	42,8758	Affleurement de serpentinites. Occurrences fibreuses discrètes (éch.).	Serpentinites	oui
2BDL1883	LAHONDERE D.	BARRETTALI	9,3828	42,8737	Lame de méta-ferrogabbros recoupée par la piste.	Méta-ferrogabbros	
2BDL1884	LAHONDERE D.	BARRETTALI	9,3837	42,8730	Contact entre des méta-ferrogabbros et des serpentinites amiantifères, plus ou moins colluvionnées/glissées.	Méta-ferrogabbros - Serpentinites	
2BDL1885	LAHONDERE D.	BARRETTALI	9,3877	42,8696	Affleurement de serpentinites (talus de piste). Surfaces fibreuses à chrysotile nombreuses.	Serpentinites	
2BDL1886	LAHONDERE D.	BARRETTALI	9,3878	42,8702	Affleurement de serpentinites (talus de piste). Surfaces fibreuses à chrysotile nombreuses (éch.).	Serpentinites	oui

Numero BRGM	Auteur	Commune	Long WGS84	Lat WGS84	Description de l'affleurement	Lithologies	Echantillon
2BDL1887	LAHONDERE D.	BARRETTALI	9,3901	42,8641	Affleurement de serpentinites (talus de piste.). Surfaces fibreuses à chrysotile nombreuses.	Serpentinites	
2BDL1888	LAHONDERE D.	BARRETTALI	9,3914	42,8623	Eboulis uniquement constitué par des éléments hétérométriques de serpentinites.	Eboulis	
2BDL1889	LAHONDERE D.	BARRETTALI	9,3908	42,8604	Serpentinites à occurrences fibro-lamellaires très longues (éch.).	Serpentinites	oui
2BDL1890	LAHONDERE D.	BARRETTALI	9,3914	42,8601	Serpentinites écrasées à plans blanchâtres probablement fibreux.	Serpentinites	
2BDL1891	LAHONDERE D.	BARRETTALI	9,3886	42,8560	Talus de sentier avec serpentinites à occurrences amiantifères (éch.).	Serpentinites	oui
2BDL1892	LAHONDERE D.	BARRETTALI	9,3697	42,8794	Affleurement de métagabbros (type Giottani) à longues fibres bleutées synfoliales (éch.).	Métagabbros	oui
2BDL1893	LAHONDERE D.	BARRETTALI	9,3340	42,8905	Limite entre des éboulis et un affleurement de prasinites. Actinolite possible associée à des veines albitiques.	Prasinites - Eboulis	oui
2BDL1894	LAHONDERE D.	BARRETTALI	9,3289	42,8920	Métabasaltites à veines fibreuses (éch. A) et surfaces fibreuses (éch. B).	Prasinites	oui
2BDL1895	LAHONDERE D.	BARRETTALI	9,3276	42,8929	Contact entre des métagabbros et des metabasaltites, masqué par des éboulis à éléments de métagabbros.	Métagabbros - Métabasaltites	
2BDL1896	LAHONDERE D.	BARRETTALI	9,3246	42,8985	Métagabbros à surfaces porteuses de longues fibres (éch. A) et veines à actinolite-amiante (éch. B).	Métagabbros	oui
2BDL1897	LAHONDERE D.	PINO	9,3295	42,9006	Affleurement de metabasaltites (glaucofanites, prasinites).	Glaucofanites - Prasinites	
2BDL1898	LAHONDERE D.	PINO	9,3392	42,9038	Intercalation métasédimentaire dans un ensemble de metabasaltites prasinitiques. Affleurement plissé.	Calcaires marmoréens - Schistes	
2BDL1899	LAHONDERE D.	PINO	9,3528	42,9085	Contact entre des metabasaltites et des métasédiments (calcaires marmoréens, schistes) (éch.).	Glaucofanites - Calcaires marmoréens - Schistes	oui
2BDL1900	LAHONDERE D.	PINO	9,3525	42,9088	Contact entre des serpentinites amiantifères (éch.) et des métasédiments.	Serpentinites - Schistes	oui
2BDL1901	LAHONDERE D.	NONZA	9,3461	42,7852	Talus de route (D 80) en falaise. Métabasaltites découpés par des veines albitiques.	Glaucofanites - Prasinites	
2BDL1902	LAHONDERE D.	NONZA	9,3476	42,7856	Talus de route (D 80) en falaise. Métabasaltites découpés par des veines albitiques.	Glaucofanites - Prasinites	
2BDL1903	LAHONDERE D.	NONZA	9,3482	42,7867	Métabasaltites ± déstructurés et glissés.	Glaucofanites - Prasinites	
2BDL1904	LAHONDERE D.	NONZA	9,3486	42,7877	Eboulis constitué par des éléments hétérométriques de metabasaltites (± serpentinites).	Eboulis	
2BDL1905	LAHONDERE D.	NONZA	9,3488	42,7880	Pointement de metabasaltites dans le talus de la D 80.	Glaucofanites - Prasinites	
2BDL1906	LAHONDERE D.	NONZA	9,3490	42,7884	Serpentinites recoupées par des veines fibreuses (chrysotile ?) (éch.).	Serpentinites	oui
2BDL1907	LAHONDERE D.	NONZA	9,3490	42,7888	Eboulis constitué par des éléments hétérométriques de serpentinites (partie inférieure) et de metabasaltites (partie supérieure).	Eboulis	
2BDL1908	LAHONDERE D.	NONZA	9,3509	42,7908	Affleurement de metabasaltites (glaucofanites) ± déstructuré et glissé.	Glaucofanites - Prasinites	
2BDL1909	LAHONDERE D.	NONZA	9,3479	42,7925	Serpentinites à occurrences fibreuses avérées. Talus ancien à priori peu émissif.	Serpentinites	
2BDL1910	LAHONDERE D.	NONZA	9,3474	42,7930	Serpentinites à nombreuses occurrences amiantifères (éch.).	Serpentinites	oui
2BDL1911	LAHONDERE D.	NONZA	9,3458	42,7969	Serpentinites recouvertes par des colluvions à éléments de serpentinites. Occurrences d'amiante abondantes.	Serpentinites	
2BDL1912	LAHONDERE D.	NONZA	9,3483	42,7987	Contact entre des serpentinites et des métagabbros.	Serpentinites - Métagabbros	
2BDL1913	LAHONDERE D.	NONZA	9,3479	42,7999	Contact entre des serpentinites et des métagabbros.	Serpentinites - Métagabbros	
2BDL1914	LAHONDERE D.	NONZA	9,3469	42,8003	Serpentinites mylonitiques verdâtres riches en amiante (éch.).	Serpentinites	oui
2BDL1915	LAHONDERE D.	NONZA	9,3433	42,8001	Contact entre des serpentinites et des métagabbros (type Giottani).	Serpentinites - Métagabbros	
2BDL1916	LAHONDERE D.	NONZA	9,3435	42,7996	Intercalation de serpentinites mylonitiques très amiantifères dans des métagabbros (éch.).	Serpentinites	oui
2BDL1917	LAHONDERE D.	NONZA	9,3429	42,7997	Contact principal entre des métagabbros (type Giottani) et des serpentinites. Occurrences d'amiante spectaculaires.	Serpentinites - Métagabbros	
2BDL1918	LAHONDERE D.	NONZA	9,3416	42,7991	Bordure littorale : Contact principal entre des métagabbros (type Giottani) et des serpentinites.	Serpentinites - Métagabbros	
2BDL1919	LAHONDERE D.	NONZA	9,3433	42,7973	Bordure littorale : Métagabbros (type Giottani) à intercalations de schistes à actinolite, découpés par des veines albitiques.	Métagabbros	
2BDL1920	LAHONDERE D.	NONZA	9,3440	42,7965	Bordure littorale : Contact principal entre des métagabbros (type Giottani) et des serpentinites.	Serpentinites - Métagabbros	
2BDL1921	LAHONDERE D.	NONZA	9,3452	42,7950	Bordure littorale : Serpentinites localement recouvertes par des éboulis à éléments de serpentinites dominants formant falaise.	Serpentinites	
2BDL1922	LAHONDERE D.	NONZA	9,3450	42,7937	Bordure littorale : Serpentinites localement recouvertes par des éboulis à éléments de serpentinites dominants formant falaise.	Serpentinites	
2BDL1923	LAHONDERE D.	NONZA	9,3465	42,7922	Bordure littorale : Serpentinites localement recouvertes par des éboulis à éléments de serpentinites dominants formant falaise.	Serpentinites	
2BDL1924	LAHONDERE D.	NONZA	9,3426	42,7860	Calcaires marmoréens plissés à lits verdâtres (quartzites micacés ?) et nodules sombres (chloritoïde ?), affleurant à la base de la falaise de metabasaltites de Nonza.	Calcaires marmoréens - Schistes	
2BDL1925	LAHONDERE D.	NONZA	9,3453	42,7870	Eboulis constitué par des éléments hétérométriques de metabasaltites (± serpentinites).	Eboulis	
2BDL1926	LAHONDERE D.	NONZA	9,3462	42,7865	Affleurement (?) de metabasaltites.	Glaucofanites - Prasinites	
2BDL1927	LAHONDERE D.	NONZA	9,3464	42,7858	Affleurement de metabasaltites (Fontaine Sainte Julie).	Glaucofanites - Prasinites	
2BDL1928	LAHONDERE D.	NONZA	9,3493	42,7874	Eboulis constitué par des éléments hétérométriques de metabasaltites (± serpentinites).	Eboulis	

Numero BRGM	Auteur	Commune	Long WGS84	Lat WGS84	Description de l'affleurement	Lithologies	Echantillon
2BDL1929	LAHONDERE D.	NONZA	9,3517	42,7879	Affleurement (?) de metabasaltes très altérés.	Glaucophanites - Prasinites	
2BDL1930	LAHONDERE D.	NONZA	9,3550	42,7880	Eboulis constitué très majoritairement par des éléments hétérométriques de serpentinites.	Eboulis	
2BDL1931	LAHONDERE D.	NONZA	9,3583	42,7877	Affleurement de serpentinites.	Serpentinites	
2BDL1932	LAHONDERE D.	NONZA	9,3604	42,7876	Affleurement de serpentinites.	Serpentinites	
2BDL1933	LAHONDERE D.	NONZA	9,3615	42,7880	Affleurement de metabasaltes.	Glaucophanites - Prasinites	
2BDL1934	LAHONDERE D.	NONZA	9,3614	42,7897	Affleurement de calcaires marmoréens.	Calcaires marmoréens	
2BDL1935	LAHONDERE D.	NONZA	9,3613	42,7904	Affleurement constitué de calcaires marmoréens et de métapélites.	Calcaires marmoréens - Schistes	
2BDL1936	LAHONDERE D.	NONZA	9,3618	42,7910	Affleurement constitué de calcaires marmoréens et de métapélites.	Calcaires marmoréens - Schistes	
2BDL1937	LAHONDERE D.	NONZA	9,3618	42,7926	Affleurement constitué de calcaires marmoréens et de métapélites.	Calcaires marmoréens - Schistes	
2BDL1938	LAHONDERE D.	NONZA	9,3615	42,7942	Affleurement (?) de serpentinites.	Serpentinites	
2BDL1939	LAHONDERE D.	NONZA	9,3604	42,7950	Affleurement de serpentinites.	Serpentinites	
2BDL1940	LAHONDERE D.	NONZA	9,3556	42,7882	Affleurement de serpentinites cataclastiques ± colluvionnées.	Serpentinites	
2BDL1941	LAHONDERE D.	NONZA	9,3526	42,7887	Affleurement de serpentinites cataclastiques ± colluvionnées.	Serpentinites	
2BDL1942	LAHONDERE D.	NONZA	9,3516	42,7893	Affleurement de serpentinites cataclastiques ± colluvionnées.	Serpentinites	
2BDL1943	LAHONDERE D.	NONZA	9,3448	42,7839	Métabasaltes (barre de Nonza).	Glaucophanites - Prasinites	
2BDL1944	LAHONDERE D.	NONZA	9,3445	42,7831	Métabasaltes (barre de Nonza).	Glaucophanites - Prasinites	
2BDL1945	LAHONDERE D.	NONZA	9,3443	42,7827	Métabasaltes (barre de Nonza).	Glaucophanites - Prasinites	
2BDL1946	LAHONDERE D.	NONZA	9,3445	42,7824	Contact entre les metabasaltes de Nonza et les serpentinites sus-jacentes.	Glaucophanites - Prasinites - Serpentinites	
2BDL1947	LAHONDERE D.	NONZA	9,3456	42,7796	Affleurement de serpentinites.	Serpentinites	
2BDL1948	LAHONDERE D.	NONZA	9,3480	42,7783	Affleurement de serpentinites.	Serpentinites	
2BDL1949	LAHONDERE D.	NONZA	9,3499	42,7779	Affleurement de serpentinites.	Serpentinites	
2BDL1950	LAHONDERE D.	NONZA	9,3505	42,7769	Affleurement de metabasaltes.	Glaucophanites - Prasinites	
2BDL1951	LAHONDERE D.	NONZA	9,3495	42,7759	Affleurement de serpentinites.	Serpentinites	
2BDL1952	LAHONDERE D.	NONZA	9,3504	42,7747	Affleurement de serpentinites.	Serpentinites	
2BDL1953	LAHONDERE D.	NONZA	9,3491	42,7726	Affleurement de serpentinites.	Serpentinites	
2BDL1954	LAHONDERE D.	NONZA	9,3492	42,7708	Affleurement de serpentinites.	Serpentinites	
2BDL1955	LAHONDERE D.	OLMETA-DI-CAPOCORSO	9,3494	42,7689	Affleurement de serpentinites.	Serpentinites	
2BDL1956	LAHONDERE D.	OLMETA-DI-CAPOCORSO	9,3506	42,7686	Affleurement de serpentinites.	Serpentinites	
2BDL1957	LAHONDERE D.	OLMETA-DI-CAPOCORSO	9,3512	42,7679	Affleurement de metabasaltes.	Glaucophanites - Prasinites	
2BDL1958	LAHONDERE D.	OLMETA-DI-CAPOCORSO	9,3526	42,7679	Contact entre des metabasaltes et des serpentinites (sous-jacentes).	Glaucophanites - Prasinites - Serpentinites	
2BDL1959	LAHONDERE D.	OLMETA-DI-CAPOCORSO	9,3555	42,7676	Affleurement de serpentinites.	Serpentinites	
2BDL1960	LAHONDERE D.	OLMETA-DI-CAPOCORSO	9,3560	42,7676	Contact entre des metabasaltes et des serpentinites (sus-jacentes).	Glaucophanites - Prasinites - Serpentinites	
2BDL1961	LAHONDERE D.	OLMETA-DI-CAPOCORSO	9,3617	42,7667	Affleurement de serpentinites.	Serpentinites	
2BDL1962	LAHONDERE D.	OLMETA-DI-CAPOCORSO	9,3644	42,7667	Contact (?) entre des serpentinites et des metabasaltes.	Glaucophanites - Prasinites - Serpentinites	
2BDL1963	LAHONDERE D.	OLMETA-DI-CAPOCORSO	9,3684	42,7664	Eboulis constitué par des éléments hétérométriques de metabasaltes et de serpentinites (éch.).	Eboulis	oui
2BDL1964	LAHONDERE D.	OLMETA-DI-CAPOCORSO	9,3645	42,7658	Limite entre des éboulis à éléments de serpentinites et de metabasaltes et des serpentinites.	Serpentinites - Eboulis	
2BDL1965	LAHONDERE D.	OLMETA-DI-CAPOCORSO	9,3625	42,7658	Affleurement de serpentinites.	Serpentinites	
2BDL1966	LAHONDERE D.	OLMETA-DI-CAPOCORSO	9,3592	42,7658	Affleurement de serpentinites ± colluvionnées. Occurrences amiantifères abondantes, en particulier dans les colluvions (éch.).	Serpentinites	oui
2BDL1967	LAHONDERE D.	OLMETA-DI-CAPOCORSO	9,3578	42,7660	Affleurement de serpentinites à occurrences fibreuses ubiquistes sur des surfaces nacrées (éch.).	Serpentinites	oui
2BDL1968	LAHONDERE D.	OLMETA-DI-CAPOCORSO	9,3570	42,7665	Limite entre des éboulis à blocs de metabasaltes et un affleurement de metabasaltes.	Glaucophanites - Prasinites	
2BDL1969	LAHONDERE D.	OLMETA-DI-CAPOCORSO	9,3503	42,7673	Affleurement de metabasaltes (barre de Nonza).	Glaucophanites - Prasinites	
2BDL1970	LAHONDERE D.	OLMETA-DI-CAPOCORSO	9,3494	42,7679	Serpentinites mylonitiques verdâtres recouvertes par des éboulis à éléments de metabasaltes prédominants.	Serpentinites	
2BDL1971	LAHONDERE D.	OLMETA-DI-CAPOCORSO	9,3482	42,7673	Affleurement de serpentinites.	Serpentinites	
2BDL1972	LAHONDERE D.	OLMETA-DI-CAPOCORSO	9,3470	42,7651	Affleurement de serpentinites.	Serpentinites	
2BDL1973	LAHONDERE D.	OLMETA-DI-CAPOCORSO	9,3435	42,7631	Affleurement de serpentinites. Veines fibreuses ubiquistes (chrysotile probable) (éch.).	Serpentinites	oui
2BDL1974	LAHONDERE D.	OLMETA-DI-CAPOCORSO	9,3424	42,7629	Affleurement de serpentinites. Veines fibreuses ubiquistes (chrysotile probable, de type "bois mort") (éch.).	Serpentinites	oui
2BDL1975	LAHONDERE D.	OLMETA-DI-CAPOCORSO	9,3416	42,7628	Affleurement de serpentinites. Veines fibreuses ubiquistes (chrysotile probable) (éch.).	Serpentinites	oui
2BDL1976	LAHONDERE D.	NONZA	9,3436	42,7697	Zone impliquant des serpentinites mylonitiques verdâtres et des metabasaltes. Occurrences fibreuses omniprésentes (éch.).	Glaucophanites - Prasinites - Serpentinites	oui
2BDL1977	LAHONDERE D.	NONZA	9,3427	42,7710	Zone impliquant des serpentinites mylonitiques verdâtres et des metabasaltes. Occurrences fibreuses omniprésentes.	Glaucophanites - Prasinites - Serpentinites	
2BDL1978	LAHONDERE D.	NONZA	9,3412	42,7740	Affleurement de serpentinites, à surfaces de corps sigmoïdes tapissées de fibres (chrysotile).	Serpentinites	
2BDL1979	LAHONDERE D.	NONZA	9,3445	42,7751	Affleurement de serpentinites très déformées, cisailées. Occurrences fibreuses omniprésentes.	Serpentinites	

Numero BRGM	Auteur	Commune	Long WGS84	Lat WGS84	Description de l'affleurement	Lithologies	Echantillon
2BDL1980	LAHONDERE D.	NONZA	9,3440	42,7762	Contact entre des metabasaltes (glauconites) et des serpentinites sus-jacentes. Occurrences fibreuses omniprésentes (éch.).	Glauconites - Prasinites - Serpentinites	oui
2BDL1981	LAHONDERE D.	NONZA	9,3432	42,7770	Contact plissé entre des metabasaltes (glauconites) et des serpentinites. Occurrences fibreuses omniprésentes.	Glauconites - Prasinites - Serpentinites	
2BDL1982	LAHONDERE D.	NONZA	9,3431	42,7779	Contact plissé entre des metabasaltes (glauconites) et des serpentinites. Occurrences fibreuses omniprésentes (éch.).	Glauconites - Prasinites - Serpentinites	oui
2BDL1983	LAHONDERE D.	NONZA	9,3403	42,7763	Bordure de littoral (ancien couvert) : Affleurement de metabasaltes.	Glauconites - Prasinites	
2BDL1984	LAHONDERE D.	NONZA	9,3411	42,7817	Affleurement de metabasaltes (barre de Nonza).	Glauconites - Prasinites	
2BDL1985	LAHONDERE D.	NONZA	9,3416	42,7831	Affleurement de metabasaltes (barre de Nonza).	Glauconites	
2BDL1986	LAHONDERE D.	OGLIASTRO	9,3366	42,8069	Affleurement de schistes (Albo).	Schistes	
2BDL1987	LAHONDERE D.	OGLIASTRO	9,3356	42,8073	Affleurement de schistes (Albo).	Schistes	
2BDL1988	LAHONDERE D.	OGLIASTRO	9,3345	42,8079	Affleurement de schistes (Albo). Possibles niveaux à détritisme ophiolitique.	Schistes	
2BDL1989	LAHONDERE D.	OGLIASTRO	9,3354	42,8067	Bordure de littoral (Albo) : Affleurement de schistes.	Schistes	
2BDL1990	LAHONDERE D.	OGLIASTRO	9,3358	42,8064	Bordure de littoral (Albo) : Contact entre des schistes et des metabasaltes (prasinites) à niveaux de schistes à actinolite.	Prasinites - Schistes	
2BDL1991	LAHONDERE D.	OGLIASTRO	9,3363	42,8059	Bordure de littoral (Albo) : Méta-ferrogabbros éclogitiques.	Méta-ferrogabbros à grenat	
2BDL1992	LAHONDERE D.	OGLIASTRO	9,3375	42,8055	Bordure de littoral (Albo) : Affleurement de serpentinites amiantifères.	Serpentinites	oui
2BDL1993	LAHONDERE D.	PIETRACORBARA	9,4571	42,8403	Affleurement de schistes.	Schistes	
2BDL1994	LAHONDERE D.	PIETRACORBARA	9,4470	42,8446	Affleurement de schistes.	Schistes	
2BDL1995	LAHONDERE D.	PIETRACORBARA	9,4206	42,8436	Affleurement de schistes.	Schistes	
2BDL1996	LAHONDERE D.	PIETRACORBARA	9,4203	42,8495	Affleurement de schistes.	Schistes	
2BDL1997	LAHONDERE D.	PIETRACORBARA	9,4247	42,8543	Affleurement de schistes.	Schistes	
2BDL1998	LAHONDERE D.	PIETRACORBARA	9,4268	42,8561	Affleurement de schistes.	Schistes	
2BDL1999	LAHONDERE D.	PIETRACORBARA	9,4835	42,8422	Intercalation comprenant des serpentinites, des metabasaltes et des schistes à actinolite (éch.) dans un ensemble de schistes.	Metabasaltes - Serpentinites - Schistes à actinolite	oui
2BDL2000	LAHONDERE D.	PIETRACORBARA	9,4827	42,8447	Metabasaltes plus ou moins écrasés (chloritoschistes ; éch.) surmontés par des schistes à niveaux de méta-quartzites.	Prasinites - Métaquartzites - Schistes	oui
2BDL2001	LAHONDERE D.	PIETRACORBARA	9,4822	42,8567	Metabasaltes plus ou moins écrasés (chloritoschistes ; éch.) surmontés par des schistes à niveaux de méta-quartzites.	Prasinites - Métaquartzites - Schistes	
2BDL2002	LAHONDERE D.	PIETRACORBARA	9,4818	42,8573	Contact entre des metabasaltes et des schistes.	Prasinites - Schistes	
2BDL2003	LAHONDERE D.	CAGNANO	9,4211	42,8798	Petit affleurement de (?) schistes.	Schistes	
2BDL2004	LAHONDERE D.	CAGNANO	9,4213	42,8820	Eboulis à éléments de metabasaltes (prasinites) dominants (± serpentinites).	Eboulis	
2BDL2005	LAHONDERE D.	CAGNANO	9,4220	42,8830	Dalle de métasédiments incluant des passées de calcaires marmoréens.	Calcaires marmoréens	
2BDL2006	LAHONDERE D.	CAGNANO	9,4225	42,8838	Affleurement de schistes.	Schistes	
2BDL2007	LAHONDERE D.	CAGNANO	9,4221	42,8838	Affleurement de metabasaltes (prasinites).	Prasinites	
2BDL2008	LAHONDERE D.	CAGNANO	9,4223	42,8850	Dalle de métasédiments incluant des passées de calcaires marmoréens.	Calcaires marmoréens	
2BDL2009	LAHONDERE D.	CAGNANO	9,4223	42,8862	Affleurement de metabasaltes (prasinites).	Prasinites	
2BDL2010	LAHONDERE D.	CAGNANO	9,4191	42,8855	Affleurement de metabasaltes (prasinites).	Prasinites	oui
2BDL2011	LAHONDERE D.	LURI	9,4184	42,8867	Affleurement de metabasaltes (glauconites, prasinites).	Glauconites - Prasinites	
2BDL2012	LAHONDERE D.	CAGNANO	9,4171	42,8860	Contact amiantifère (éch.) entre des metabasaltes et des serpentinites mylonitiques verdâtres sus-jacentes.	Glauconites - Prasinites - Serpentinites	oui
2BDL2013	LAHONDERE D.	CAGNANO	9,4170	42,8842	Serpentinites très déformées, riches en amiante (amas fibreux dans le talus et à même la piste).	Serpentinites	
2BDL2014	LAHONDERE D.	CAGNANO	9,4159	42,8824	Serpentinites à corps de métagabbros boudinés.	Serpentinites	
2BDL2015	LAHONDERE D.	LURI	9,4145	42,8850	Affleurement de serpentinites.	Serpentinites	
2BDL2016	LAHONDERE D.	CAGNANO	9,4232	42,8858	Zone de contact entre des metabasaltes et des métasédiments.	Prasinites - Métaquartzites - Schistes	
2BDL2017	LAHONDERE D.	CAGNANO	9,4252	42,8858	Affleurement de schistes.	Schistes	
2BDL2018	LAHONDERE D.	LURI	9,3777	42,9025	Grosse barre de metabasaltes. Fibres bleutées rigides observées sur les surfaces externes de nodules à albite-épidote (éch.).	Glauconites - Prasinites	oui
2BDL2019	LAHONDERE D.	PINO	9,3556	42,9099	Affleurement de metabasaltes (Pino).	Glauconites - Prasinites	
2BDL2020	LAHONDERE D.	PINO	9,3550	42,9083	Affleurement de metabasaltes (Pino).	Glauconites - Prasinites	
2BDL2021	LAHONDERE D.	PINO	9,3547	42,9059	Affleurement de metabasaltes (Pino).	Glauconites - Prasinites	
2BDL2022	LAHONDERE D.	PINO	9,3510	42,9079	Affleurement de schistes.	Schistes	
2BDL2023	LAHONDERE D.	BARRETTALI	9,3477	42,8665	Métagabbros (type Giottani) découpés par des plans fibreux et par des veines fibreuses.	Métagabbros	
2BDL2024	LAHONDERE D.	BARRETTALI	9,3483	42,8674	Métagabbros (type Giottani) découpés par des plans fibreux et par des veines fibreuses (éch.).	Métagabbros	oui
2BDL2025	LAHONDERE D.	BARRETTALI	9,3488	42,8674	Serpentinites mylonitiques verdâtres, amiantifères, associées aux métagabbros (type Giottani).	Serpentinites	
2BDL2026	LAHONDERE D.	FARINOLE	9,3584	42,7175	Contact entre les calcaires miocènes et des éboulis à blocs et fragments hétérométriques de serpentinites et de métagabbros.	Calcaires - Eboulis	
2BDL2027	LAHONDERE D.	FARINOLE	9,3605	42,7214	Sommet du substratum rocheux (serpentinites cataclastiques, ± colluvionnées).	Serpentinites	

État d'avancement du projet de cartographie amiante environnementale 1/5 000

Numero BRGM	Auteur	Commune	Long WGS84	Lat WGS84	Description de l'affleurement	Lithologies	Echantillon
2BDL2028	LAHONDERE D.	FARINOLE	9,3606	42,7224	Affleurement de serpentinites à occurrences fibreuses discrètes (chrysotile).	Serpentinites	
2BDL2029	LAHONDERE D.	FARINOLE	9,3625	42,7239	Contact entre des serpentinites mylonitiques amiantifères et des métagabbros.	Serpentinites - Métagabbros	
2BDL2030	LAHONDERE D.	FARINOLE	9,3621	42,7246	Métagabbros foliés à ultramylonitiques.	Métagabbros	
2BDL2031	LAHONDERE D.	FARINOLE	9,3616	42,7270	Métagabbros foliés à ultramylonitiques.	Métagabbros	
2BDL2032	LAHONDERE D.	FARINOLE	9,3618	42,7274	Affleurement de serpentinites à occurrences amiantifères (éch.).	Serpentinites	oui
2BDL2033	LAHONDERE D.	FARINOLE	9,3615	42,7276	Métagabbros foliés à ultramylonitiques.	Métagabbros	
2BDL2034	LAHONDERE D.	FARINOLE	9,3609	42,7280	Métagabbros foliés à ultramylonitiques.	Métagabbros	
2BDL2035	LAHONDERE D.	FARINOLE	9,3612	42,7285	Affleurement de schistes (falaise).	Schistes	
2BDL2036	LAHONDERE D.	FARINOLE	9,3610	42,7292	Affleurement de schistes (falaise).	Schistes	
2BDL2037	LAHONDERE D.	FARINOLE	9,3628	42,7292	Schistes à intercalations de schistes prasinitiques et de métaquartzites calcareux. Affleurement plissé.	Schistes	
2BDL2038	LAHONDERE D.	FARINOLE	9,3645	42,7293	Affleurement de serpentinites à occurrences amiantifères (éch.).	Serpentinites	oui
2BDL2039	LAHONDERE D.	FARINOLE	9,3654	42,7308	Contact entre des serpentinites et des métagabbros. Niveau fibreux plissé observé dans les métagabbros (éch.).	Serpentinites - Métagabbros	oui
2BDL2040	LAHONDERE D.	FARINOLE	9,3657	42,7334	Affleurement de serpentinites.	Serpentinites	
2BDL2041	LAHONDERE D.	FARINOLE	9,3645	42,7339	Affleurement de serpentinites.	Serpentinites	
2BDL2042	LAHONDERE D.	FARINOLE	9,3623	42,7347	Affleurement de serpentinites.	Serpentinites	
2BDL2043	LAHONDERE D.	FARINOLE	9,3592	42,7381	Affleurement de serpentinites.	Serpentinites	
2BDL2044	LAHONDERE D.	FARINOLE	9,3602	42,7397	Affleurement de serpentinites (ancienne mine de fer).	Serpentinites	
2BDL2045	LAHONDERE D.	FARINOLE	9,3630	42,7333	Contact entre des serpentinites à chrysotile (éch.) et des orthogneiss.	Serpentinites - Orthogneiss - Schistes phengitiques	oui
2BDL2046	LAHONDERE D.	FARINOLE	9,3581	42,7329	Micaschistes à amphibole bleue et orthogneiss.	Micaschistes - Orthogneiss	
2BDL2047	LAHONDERE D.	FARINOLE	9,3484	42,7388	Zone écrasée, cataclastique, altérée constituée de micaschistes en contact avec des métagabbros.	Micaschistes - Métagabbros	
2BDL2048	LAHONDERE D.	FARINOLE	9,3481	42,7377	Eboulis à éléments de métagabbros et de serpentinites dominants.	Eboulis	
2BDL2049	LAHONDERE D.	FARINOLE	9,3494	42,7381	Affleurement de serpentinites.	Serpentinites	
2BDL2050	LAHONDERE D.	FARINOLE	9,3509	42,7381	Micaschistes à amphibole bleue et orthogneiss.	Micaschistes - Orthogneiss	
2BDL2051	LAHONDERE D.	FARINOLE	9,3514	42,7383	Affleurement de serpentinites.	Serpentinites	
2BDL2052	LAHONDERE D.	FARINOLE	9,3527	42,7379	Affleurement de serpentinites (fosse partiellement comblée / décharge).	Serpentinites	oui
2BDL2053	LAHONDERE D.	FARINOLE	9,3520	42,7374	Micaschistes à amphibole bleue et orthogneiss.	Micaschistes - Orthogneiss	
2BDL2054	LAHONDERE D.	FARINOLE	9,3526	42,7360	Micaschistes à amphibole bleue et orthogneiss.	Micaschistes - Orthogneiss	
2BDL2055	LAHONDERE D.	FARINOLE	9,3537	42,7353	Micaschistes à amphibole bleue et orthogneiss.	Micaschistes - Orthogneiss	
2BDL2056	LAHONDERE D.	FARINOLE	9,3461	42,7387	Zone écrasée, cataclastique, altérée constituée d'orthogneiss et de glaucophanites (à grenat ?).	Orthogneiss - Glaucophanites	
2BDL2057	LAHONDERE D.	FARINOLE	9,3457	42,7387	Affleurement de serpentinites, à veines à longues fibres vertes rigides (éch.).	Serpentinites	oui
2BDL2058	LAHONDERE D.	FARINOLE	9,3453	42,7377	Affleurement de calcaires miocènes.	Calcaires	
2BDL2059	LAHONDERE D.	OLMETA-DI-CAPOCORSO	9,3448	42,7399	Affleurement de serpentinites, surmonté par des éboulis à blocs hétérométriques de metabasites et de serpentinites.	Serpentinites - Eboulis	
2BDL2078	LAHONDERE D.	LURI	9,4740	42,8910	Contact entre des metabasites et des serpentinites.	Métabasites - Serpentinites	
2BDL2079	LAHONDERE D.	LURI	9,4742	42,8917	Serpentinites recoupées par des veines vertes de serpentine (éch. A) et par des veines fibro-radiées (éch. B).	Serpentinites	oui
2BDL2080	LAHONDERE D.	LURI	9,4741	42,8921	Contact entre des metabasites et des serpentinites.	Métabasites - Serpentinites	
2BDL2081	LAHONDERE D.	LURI	9,4744	42,8929	Corps de serpentinites emballés dans des chloritoschistes à fibres probables et micas chromifères (éch.).	Serpentinites	oui
2BDL2082	LAHONDERE D.	LURI	9,4741	42,8936	Métabasites (prasinites) à passée pluricentimétrique de méta-ferrogabbro (éch.).	Prasinites	oui
2BDL2083	LAHONDERE D.	LURI	9,4737	42,8941	Métabasites à longues fibres bleutées synfoliales (actinolite ; éch.).	Prasinites	oui
2BDL2084	LAHONDERE D.	LURI	9,4731	42,8954	Contact entre des serpentinites et des métagabbros sus-jacents. Veines fibreuses ± rigides abondantes (éch.).	Métagabbros - Serpentinites	oui
2BDL2085	LAHONDERE D.	LURI	9,4729	42,8956	Passée métrique de schistes à actinolite dans un ensemble de metabasites et de métagabbros.	Métabasites - Métagabbros	
2BDL2086	LAHONDERE D.	LURI	9,4729	42,8963	Serpentinites à veines amiantifères (trémolite-amiante ?) intercalées dans des métagabbros.	Métagabbros - Serpentinites	
2BDL2087	LAHONDERE D.	LURI	9,4731	42,8974	Métagabbros (Al-Mg, Fe-Ti) associés à d'anciens filons de basaltes et/ou de microgabbros.	Métabasites - Métagabbros	
2BDL2088	LAHONDERE D.	LURI	9,4731	42,8986	Métabasites (prasinites) foliés, surmontés par des éboulis/colluvions, et intercalation de quartzite calcareux (Mn ? ; éch.).	Métabasites - Eboulis	oui
2BDL2089	LAHONDERE D.	LURI	9,4731	42,8991	Quartzites à passées noirâtres (Mn ?) et quartzites micacées surmontées par des niveaux très fins à glaucophane (éch.).	Quartzites	oui
2BDL2090	LAHONDERE D.	LURI	9,4727	42,8992	Quartzites à passées noirâtres (Mn ?) et quartzites micacées.	Quartzites	
2BDL2091	LAHONDERE D.	LURI	9,4724	42,8965	Métabasites très oxydés.	Prasinites	
2BDL2092	LAHONDERE D.	LURI	9,4726	42,8959	Colluvions / éboulis à éléments en plaquettes (prasinites, quartzites).	Eboulis	
2BDL2093	LAHONDERE D.	LURI	9,4727	42,8950	Métagabbros à passées de serpentinites amiantifères.	Métagabbros - Serpentinites	
2BDL2094	LAHONDERE D.	LURI	9,4740	42,8924	Colluvions / éboulis à éléments de metabasites et de métagabbros dominants dispersés dans une matrice terreuse rougeâtre.	Eboulis	
2BDL2194	LAHONDERE D.	CANAVAGGIA	9,2525	42,4830	Serpentinites (éch.).	Serpentinites	oui
2BDL2195	LAHONDERE D.	MOROSAGLIA	9,2794	42,4432	Métabasites en coussins. Aspect massif, avec veines à épidoite + calcite.	Métabasites	
2BDL2196	LAHONDERE D.	OLCANI	9,3712	42,8103	Métabasites prasinitiques.	Prasinites	

État d'avancement du projet de cartographie amiante environnementale 1/5 000

Numero BRGM	Auteur	Commune	Long WGS84	Lat WGS84	Description de l'affleurement	Lithologies	Echantillon
2BDL2197	LAHONDERE D.	OLCANI	9,3751	42,8099	Eboulis à très gros blocs (x m3) de metabasaltes prasinitiques.	Eboulis (metabasaltes)	
2BDL2198	LAHONDERE D.	OLCANI	9,3776	42,8083	Metabasaltes prasinitiques.	Prasinites	
2BDL2199	LAHONDERE D.	OLCANI	9,3782	42,8089	Calcaires marmoréens et métasédiments carbonatés.	Calcaires marmoréens - Schistes	
2BDL2200	LAHONDERE D.	OLCANI	9,3786	42,8089	Schistes indifférenciés.	Schistes	
2BDL2201	LAHONDERE D.	OLCANI	9,3786	42,8086	Metabasaltes à ocelles albitiques (prasinites).	Prasinites	
2BDL2202	LAHONDERE D.	OLCANI	9,3794	42,8091	Metabasaltes à ocelles albitiques (prasinites).	Prasinites	
2BDL2203	LAHONDERE D.	OLCANI	9,3797	42,8089	Metabasaltes à ocelles albitiques (prasinites).	Prasinites	
2BDL2204	LAHONDERE D.	OLCANI	9,3795	42,8080	Affleurement de corps lenticulaires (metabasaltes, mégagabbros) emballés dans des talcschistes à actinolite.	Metabasaltes - Mégagabbros - Talcschistes à actinolite	
2BDL2205	LAHONDERE D.	OLCANI	9,3807	42,8094	Metabasaltes à ocelles albitiques (prasinites).	Prasinites	
2BDL2206	LAHONDERE D.	OLCANI	9,3817	42,8094	Mégagabbros à occurrences fibreuses (trémolite probable).	Mégagabbros	
2BDL2207	LAHONDERE D.	OLCANI	9,3820	42,8088	Affleurement de corps lenticulaires (metabasaltes, mégagabbros) emballés dans des talcschistes à actinolite.	Metabasaltes - Mégagabbros - Talcschistes à actinolite	
2BDL2208	LAHONDERE D.	OLCANI	9,3827	42,8088	Affleurement de corps lenticulaires (metabasaltes, mégagabbros) emballés dans des talcschistes à actinolite et des serpentinites.	Metabasaltes - Mégagabbros - Talcschistes à actinolite - Serpentinites	
2BDL2209	LAHONDERE D.	OLCANI	9,3853	42,8085	Affleurement de corps lenticulaires (metabasaltes, mégagabbros) emballés dans des talcschistes à actinolite et des serpentinites.	Metabasaltes - Mégagabbros - Talcschistes à actinolite - Serpentinites	
2BDL2210	LAHONDERE D.	OLCANI	9,3865	42,8083	Affleurement de serpentinites et de talcschistes à actinolite, à corps lenticulaires de metabasaltes et de mégagabbros.	Metabasaltes - Mégagabbros - Talcschistes à actinolite - Serpentinites	
2BDL2211	LAHONDERE D.	OLCANI	9,3870	42,8076	Mégagabbros foliés (N065 N25 à N102 N15), avec linéation minérale (actinolite/trémolite).	Mégagabbros	
2BDL2212	LAHONDERE D.	OLCANI	9,3875	42,8080	Mégagabbros ultramylonitiques (N053 N20), avec linéation minérale (actinolite/trémolite).	Mégagabbros	
2BDL2213	LAHONDERE D.	OLCANI	9,3869	42,8099	Talcschistes à actinolite.	Talcschistes à actinolite	
2BDL2214	LAHONDERE D.	OLCANI	9,3896	42,8150	Glaucophanites à épidote foliées (N043 W18), avec linéation minérale à amphibole bleue.	Glaucophanites	
2BDL2215	LAHONDERE D.	OLCANI	9,3907	42,8179	Prasinites foliées (N007 W45).	Prasinites	
2BDL2216	LAHONDERE D.	OLCANI	9,3945	42,8160	Prasinites foliées.	Prasinites	
2BDL2217	LAHONDERE D.	OLCANI	9,3957	42,8154	Prasinites foliées (N135 S28).	Prasinites	
2BDL2218	LAHONDERE D.	OLCANI	9,3972	42,8155	Affleurement de serpentinites et de talcschistes à actinolite, à corps lenticulaires de metabasaltes et de mégagabbros.	Metabasaltes - Mégagabbros - Talcschistes à actinolite - Serpentinites	oui
2BDL2219	LAHONDERE D.	OLCANI	9,4022	42,8170	Affleurement de serpentinites et de talcschistes à actinolite, à corps lenticulaires de metabasaltes et de mégagabbros.	Metabasaltes - Mégagabbros - Talcschistes à actinolite - Serpentinites	
2BDL2220	LAHONDERE D.	SISCO	9,4053	42,8163	Prasinites foliées (N092 S16).	Prasinites	
2BDL2221	LAHONDERE D.	OLCANI	9,4068	42,8136	Mégagabbros à corps nodulaires à veines fibreuses (trémolite probable). Foliation N122 S16.	Mégagabbros	
2BDL2222	LAHONDERE D.	OLCANI	9,4065	42,8116	Mégagabbros à corps nodulaires à veines fibreuses (trémolite probable). Foliation N012 W30.	Mégagabbros	
2BDL2223	LAHONDERE D.	SISCO	9,4103	42,8074	Mégagabbros à corps nodulaires à veines fibreuses (trémolite probable). Foliation N043 W20.	Mégagabbros	oui
2BDL2224	LAHONDERE D.	SISCO	9,4147	42,8022	Mégagabbros à corps nodulaires à veines fibreuses (trémolite probable). Foliation N012 E15.	Mégagabbros	
2BDL2225	LAHONDERE D.	SISCO	9,4139	42,7980	Serpentinites noires très schistosees à corps de mégagabbros euphotides boudinés. Foliation N156 W30.	Metabasaltes - Serpentinites	
2BDL2226	LAHONDERE D.	OLCANI	9,3805	42,7970	Mégagabbros euphotides foliés (N015 W64).	Mégagabbros	
2BDL2227	LAHONDERE D.	OLCANI	9,3776	42,7985	Mégagabbros euphotides foliés (N068 W28).	Mégagabbros	
2BDL2228	LAHONDERE D.	OLCANI	9,3747	42,7996	Prasinites foliées (N165 W44).	Prasinites	
2BDL2229	LAHONDERE D.	OLCANI	9,3728	42,7994	Mégagabbros euphotides foliés.	Mégagabbros	
2BDL2230	LAHONDERE D.	OLCANI	9,3718	42,8025	Contact entre des serpentinites et des mégagabbros. Foliation N153 W35.	Metabasaltes - Serpentinites	
2BDL2231	LAHONDERE D.	FARINOLE	9,3659	42,7305	Serpentinites riches en amiante (hameau de Poggio).	Serpentinites	
2BDL2232	LAHONDERE D.	FARINOLE	9,3659	42,7311	Serpentinites riches en amiante (hameau de Poggio).	Serpentinites	
2BDL2233	LAHONDERE D.	FARINOLE	9,3661	42,7307	Mégagabbros euphotides foliés (N116 N 60) (hameau de Poggio).	Mégagabbros	
2BDL2234	LAHONDERE D.	FARINOLE	9,3662	42,7312	Serpentinites riches en amiante (hameau de Poggio).	Serpentinites	
2BDL2235	LAHONDERE D.	FARINOLE	9,3672	42,7313	Schistes indifférenciés.	Schistes	
2BDL2236	LAHONDERE D.	FARINOLE	9,3675	42,7315	Schistes à niveaux de calcaires marmoréens.	Calcaires marmoréens - Schistes	
2BDL2237	LAHONDERE D.	FARINOLE	9,3687	42,7317	Schistes phengitiques à amphibole bleue, localement d'aspect gneissique.	Schistes phengitiques	
2BDL2238	LAHONDERE D.	FARINOLE	9,3691	42,7313	Formation à niveaux clairs phengitiques (+ grenat ?) et passées verdâtres à ocelles albitiques. Foliation N073 S41.	Schistes phengitiques - Métabasites indifférenciées	
2BDL2239	LAHONDERE D.	FARINOLE	9,3688	42,7309	Schistes phengitiques à amphibole bleue, localement d'aspect gneissique. Foliation N120 S23.	Schistes phengitiques	
2BDL2240	LAHONDERE D.	FARINOLE	9,3691	42,7289	Schistes micacés à petits lits carbonatés. Foliation N153 W33.	Schistes	
2BDL2257	LAHONDERE D.	PINO	9,3684	42,9105	Serpentinites déstructurées, plus ou moins colluvionnées (éch.).	Serpentinites	oui
2BDL2258	LAHONDERE D.	LURI	9,3741	42,9049	Metabasaltes prasinitiques foliés. Foliation N135 S30.	Prasinites	
2BDL2259	LAHONDERE D.	LURI	9,3742	42,9057	Serpentinites écrasées, en contact avec des metabasaltes. Foliation N015 W37.	Serpentinites	
2BDL2260	LAHONDERE D.	PINO	9,3736	42,9058	Serpentinites amiantifères (éch.).	Serpentinites	oui
2BDL2261	LAHONDERE D.	PINO	9,3716	42,9057	Metabasaltes prasinitiques foliés. Foliation N010 W38.	Prasinites	
2BDL2262	LAHONDERE D.	PINO	9,3725	42,9052	Metabasaltes prasinitiques foliés. Foliation N012 W26. Veines à albite + actinolite (éch.).	Prasinites	oui
2BDL2263	LAHONDERE D.	PINO	9,3712	42,9074	Mégagabbros à niveaux blanchâtres écrasés, possiblement fibreux (éch.). Foliation N030 W34.	Mégagabbros	oui
2BDL2264	LAHONDERE D.	PINO	9,3709	42,9077	Mégagabbros à niveaux blanchâtres (talc ?), possiblement fibreux (éch.).	Mégagabbros	oui
2BDL2265	LAHONDERE D.	CANARI	9,3354	42,8630	Mégagabbros à smaragdite foliés, avec plans N126 N52 porteurs de fibres bleutées (éch.).	Mégagabbros	oui
BRGM/IRP-08712-FR	VALLE-DE-REMO	Rapport intermédiaire		42,8452	Serpentinites cataclastiques à mottes blanches probablement microfibreuses (éch.). Plagiogranites à proximité (éch. B).	Métatrandjhémites - Serpentinites	oui

État d'avancement du projet de cartographie amiante environnementale 1/5 000

Numero BRGM	Auteur	Commune	Long WGS84	Lat WGS84	Description de l'affleurement	Lithologies	Echantillon
2BDL2267	LAHONDERE D.	CANAVAGGIA	9,2266	42,4765	Contact entre des serpentinites et des métagabbros.	Métagabbros - Serpentinites	
2BDL2268	LAHONDERE D.	CANAVAGGIA	9,2267	42,4771	Méta-ferrogabbros peu déformés, à veines parfois fibreuses (éch.). Ech. B : méta-ferrogabbro.	Méta-ferrogabbros	oui
2BDL2269	LAHONDERE D.	CANAVAGGIA	9,2268	42,4777	Méta-ferrogabbros peu déformés, à veines parfois fibreuses.	Méta-ferrogabbros	
2BDL2270	LAHONDERE D.	CANAVAGGIA	9,2266	42,4780	Contact entre des métagabbros et des serpentinites.	Métagabbros - Serpentinites	
2BDL2271	LAHONDERE D.	CANAVAGGIA	9,2268	42,4782	Contact entre des métagabbros et des serpentinites.	Métagabbros - Serpentinites	
2BDL2272	LAHONDERE D.	CANAVAGGIA	9,2269	42,4783	Contact entre des métagabbros et des serpentinites à veines fibreuses (éch.).	Métagabbros - Serpentinites	oui
2BDL2273	LAHONDERE D.	CANAVAGGIA	9,2265	42,4784	Méta-ferrogabbros peu déformés, à plans discrets porteurs de cristallisations fibreuses.	Méta-ferrogabbros	
2BDL2274	LAHONDERE D.	CANAVAGGIA	9,2265	42,4789	Méta-ferrogabbros sombres, peu déformés (éch.).	Méta-ferrogabbros	oui
2BDL2275	LAHONDERE D.	CANAVAGGIA	9,2265	42,4795	Métagabbros indifférenciés.	Métagabbros	
2BDL2276	LAHONDERE D.	CANAVAGGIA	9,2270	42,4804	Métagabbros indifférenciés.	Métagabbros	
2BDL2277	LAHONDERE D.	CANAVAGGIA	9,2262	42,4808	Contact entre des métagabbros et des colluvions à blocs de métagabbros et de serpentinites parfois porteurs de fibres.	Colluvions (serpentinites) - Métagabbros	
2BDL2278	LAHONDERE D.	CANAVAGGIA	9,2269	42,4811	Métagabbros indifférenciés, à plans faillés (N063 S35, N080 S32).	Métagabbros	
2BDL2279	LAHONDERE D.	CANAVAGGIA	9,2281	42,4807	Métagabbros indifférenciés, à plans faillés (Faille inverse N125 S35, Strie dans le dip).	Métagabbros	
2BDL2280	LAHONDERE D.	CANAVAGGIA	9,2287	42,4804	Contact entre des métagabbros et des colluvions à blocs de métagabbros dominants.	Colluvions (métagabbros) - Métagabbros	
2BDL2281	LAHONDERE D.	CANAVAGGIA	9,2292	42,4808	Contact entre des métagabbros et des colluvions à blocs de métagabbros et de serpentinites.	Colluvions (serpentinites) - Métagabbros	
2BDL2282	LAHONDERE D.	CANAVAGGIA	9,2294	42,4810	Métagabbros indifférenciés.	Métagabbros	
2BDL2283	LAHONDERE D.	CANAVAGGIA	9,2302	42,4808	Métagabbros indifférenciés.	Métagabbros	
2BDL2284	LAHONDERE D.	CANAVAGGIA	9,2313	42,4800	Eboulis riches en fragments de serpentinites.	Eboulis (serpentinites)	oui
2BDL2285	LAHONDERE D.	CANAVAGGIA	9,2310	42,4792	Métagabbros indifférenciés.	Métagabbros	
2BDL2286	LAHONDERE D.	CANAVAGGIA	9,2310	42,4793	Contact entre des serpentinites et des métagabbros.	Métagabbros - Serpentinites	
2BFC0284	CAGNARD F.	BARRETTALI	9,3235	42,8951	Péridotites à gros pyroxènes, à gros grains + filons de gabbros et/ou microgabbros. Plusieurs générations de veines : (1) liz, (2) veinules chrysotile, (3) lattes antigorite.	Péridotites serpentinitisées	
2BFC0522	CAGNARD F.	CAMPILE	9,3541	42,4985	Métabasales foliées verdâtres +/- riches en Gln et en niveaux d'ep. Occurrence de plans à Ab perpendiculaires à S1. Présence de passées plus grenues (microgabbroïques). Basaltes type Mandriale. Asb non vue mais possible. Présence de niveaux +/-	Métabasales	oui
2BFC0523	CAGNARD F.	CAMPILE	9,3535	42,4984	Colluvions à blocs de métabasales anguleux. Asb non vue mais possible dans les blocs.	Colluvions	
2BFC0524	CAGNARD F.	CAMPILE	9,3549	42,4984	Contact Schistes - Métabasalte marqué par un nouveau d'UB cisailée, transformée en talcschiste à act **, à fibres **. Niveau blanc microfibreux dérivant de l'altération supergène du talcschiste. Asb probable, act vue.	Métabasales- Schistes- Talcschistes	oui
2BFC0525	CAGNARD F.	CAMPILE	9,3557	42,4999	Schistes prasinitiques verdâtres (métabasales schiste vert) / matériel fin (chl-act +/- ab) = métagabbro mylonitique? + niveaux riches en gln (Gln-Chl-ep), pass age alternant à l'échelle du mètre, présence de niveaux gneissiques? (compliqué !!	Prasinites	oui
2BFC0526	CAGNARD F.	CAMPILE	9,3558	42,5001	Point carto: contact Schistes - métabasales. RAS asb.	Métabasales- Schistes	
2BFC0527	CAGNARD F.	CAMPILE	9,3557	42,4993	Schistes très plissés et déformés, Asb non vue.	Schistes	
2BFC0528	CAGNARD F.	CAMPILE	9,3513	42,4980	Métabasales SV / prasinites : ici surtout chloritoschiste à ocelles d'ab + chl + colluvions à éléments de métabasales SV + chloritoschistes (basaltes +/- en place/colluvionnés sur la partie sup.). Asb non vue mais possible dans les blocs de méta	Prasinites	
2BFC0529	CAGNARD F.	CAMPILE	9,3509	42,4982	Métabasales massifs, à fentes à Ab +ep + chl + act fibreuse **. Présence de blocs avec des plans à act soyeuse + cross-fibrers dans veines à Ab. Présence de blocs x-métriques de basaltes à fentes à Ab> (+/- magnétite). Act (amiante?) vue.	Métabasales	oui
2BFC0530	CAGNARD F.	CAMPILE	9,3509	42,4955	Colluvions à blocs anguleux de métabasalte à fentes à ab (act non vue?) et rares blocs de serp. 95% basalte et 5% serp. Act non vue dans les basaltes. Par contre, serp altérées et occurrence d'amas blancs microfibreux colluvionnés.	Métabasales- Serpentinites	oui
2BFC0531	CAGNARD F.	CAMPILE	9,3545	42,4949	Point carto: contact Schistes sombres - métabasales (veine ab sub-horizontale). Pbe carto 50k. RAS asb.	Métabasales- Schistes	
2BFC0532	CAGNARD F.	CAMPILE	9,3556	42,4947	Métagabbros sombres, massifs +/- foliés (cad +/- déformés). Occurrence de gabbros non déformés, à px diallage. Occurrence de fentes sub-verticales (fort angle de S1) +/- fibreuses (act fibreuse?). Asb possible.	Métagabbros	oui
2BFC0533	CAGNARD F.	CAMPILE	9,3560	42,4949	Point carto: contact Schistes sombres - métagabbros (+/- mylonitiques) = marqué par un niveau de talcschistes à chl (+/- act?). Asb non vue mais possible.	Métagabbros	
2BFC0534	CAGNARD F.	CAMPILE	9,3460	42,4933	Fin de la présence de blocs de serpentinites dans le chemin, retour dans les métabasales. Entre 534 et 535: serpentinites massives, sombres, en blocs (à qqes plans fibro-lamellaires). Pas d'amas blancs fibreux dans le chemin. Métabasales riches en	Serpentinites- métabasales	oui

Numero BRGM	Auteur	Commune	Long WGS84	Lat WGS84	Description de l'affleurement	Lithologies	Echantillon
2BFC0535	CAGNARD F.	CAMPILE	9,3466	42,4933	A la croix, retour dans des niveaux de metabasaltes bien foliés, fin des serp. Metabasaltes bien rétrogrades (SV). Point 535 marque le contact basalte-serp. Asb non vue dans les metabasaltes.	Metabasaltes	
2BFC0536	CAGNARD F.	CAMPILE	9,3519	42,4902	Petit affleurement (talus routier) à la débouchée du chemin. Grès micacé? (métasédiment gris qzueux), carte 50k ok. Pas d'asb. Dans la descente on recroise des metabasaltes (pas de point gps), carte 50k ok.	Schistes	
2BFC0537	CAGNARD F.	CAMPILE	9,3535	42,4895	Petit affleurement (talus routier) Schistes / grès micacés (carte 50k ok). Pas d'asb. Ensuite short cut jusqu'à 538.	Schistes	
2BFC0538	CAGNARD F.	CAMPILE	9,3532	42,4905	Affleurement patiné de metabasaltes à fentes à ab + chl (act non vue). Asb non vue mais possible.	Metabasaltes	
2BFC0539	CAGNARD F.	OLMETA-DI-CAPOCORSO	9,3460	42,7636	Serpentinites très cisailées (Shear bands abondantes en Faille Normale top NE), avec des sigmoïdes**. Bcp de plans à chrysotile**	Serpentinites	
2BFC0540	CAGNARD F.	CANARI	9,3239	42,8403	Métagabbros magnésiens (euphotides) plissés, avec niveaux compétents très plissés encadrés par des niveaux schisteux sombres. Plis***, avec S1 PA et L1 25/5 (HP?). Affleurement **	Métagabbros	
2BFC0541	CAGNARD F.	CAMPILE	9,3480	42,4953	Masse de metabasaltes foliés (glaucofanites +/- rétrotransformées en SV), à niveaux de Gln et Ep boudinés et à veines à Ab ouvertes (perpendiculaires à S1). Boudinage de S1 *. Asb non vue mais possible dans les veines.	Glaucofanites- Prasinites	
2BFC0542	CAGNARD F.	CAMPILE	9,3489	42,4947	Contact schistes / colluvions à blocs de metabasaltes. Asb non vue. (Panneau Campile, affleurement moche).	Metabasaltes- Schistes	
2BFC0543	CAGNARD F.	CAMPILE	9,3385	42,4953	Metabasaltes foliés (glaucofanites peu rétrotransformées en SV), à niveaux à ab-chl-ep synfoliaux. Epidote et Gln **. Plans chloriteux // S1. Asb non vue (trop peu rétrotransformé?). Pas (peu) de veines sécantes, Gln** (peu SV).	Glaucofanites - Prasinites	oui
2BFC0544	CAGNARD F.	BISINCHI	9,3327	42,4937	Metabasaltes +/- en place mais plutôt colluvionnés, à blocs foliés et à matrice ocre. Asb non vue.	Metabasaltes	
2BFC0545	CAGNARD F.	BISINCHI	9,3284	42,4905	Point carto: contact metabasaltes-schistes bien carté. Chenilles*. Asb non vue.	Schistes- Metabasaltes	
2BFC0546	CAGNARD F.	BISINCHI	9,3208	42,4907	MétaFe-gabbros moches (bien carté mais affit moche, pour trouver asb). Asb non vue.	Métagabbros	
2BFC0547	CAGNARD F.	BISINCHI	9,3204	42,4907	Metabasites assez fines (méta-microgabbros/metabasaltes?), affit moussu + lichens, riches en Gln + ep à plans "striés" à ab/cal? +/- act? Asb non vue.	Metabasaltes	oui
2BFC0548	CAGNARD F.	BISINCHI	9,3188	42,4895	Sandwich schistes/basaltes/schistes avec des niveaux verdâtres (talcschistes se délitant en amas fins (fibreux?)). Déblais riches en blocs à fibres **. Mr Punta macetta.	Metabasaltes- Schistes	oui
2BFC0549	CAGNARD F.	BISINCHI	9,3175	42,4902	Petite masse d'UB très cataclasées et altérées (cisailées**), fines**. Occurrence de fibres dans ces serp. Asb vue.	Serpentinites	oui
2BFC0550	CAGNARD F.	BISINCHI	9,3173	42,4901	Au contact avec l'UB, occurrence de gneiss (qtzites) à gln (riebeckite?) dans la S1. Parfois + rétrotransformé et chl plutôt que Gln. L1 mal exprimée.	Gneiss- Quartzites	
2BFC0551	CAGNARD F.	BISINCHI	9,3218	42,4866	Village, petit talus naturel près de l'église dans des schistes altérés. Asb non vue.	Schistes	
2BFC0552	CAGNARD F.	BISINCHI	9,3196	42,4880	Contact Schiste-Metabasalte (Fe gabbro?) marqué par un niveau de serpentinite (talcschiste à act) + gneiss à am bleue (str plissée? Identique aux affits 549 et 550). Asb possible dans niveau talcschiste à act.	Schistes- Metabasaltes	oui
2BFC0553	CAGNARD F.	BISINCHI	9,3047	42,4853	Début coupe vers Ponte Nuevo. Schistes 285/60, asb non vue. Point carto.	Schistes	
2BFC0554	CAGNARD F.	BISINCHI	9,3040	42,4853	Niveau de serpentinites cisailées (talcschistes) à fibres? Surtout talc** (mylonites d'UB ou de gabbro?).	Serpentinites- Talcschistes	oui
2BFC0555	CAGNARD F.	BISINCHI	9,3038	42,4854	Retour dans les sch à phg, vers le pont. Asb non vue.	Schistes	
2BFC0556	CAGNARD F.	BISINCHI	9,3041	42,4862	Passée d'UB cisailées (talcschistes). Contact UB/talcschistes/boulder roches vertes. Zone très déformées, écailles métriques, chgt de litho tous les m.	Serpentinites- Talcschistes	
2BFC0557	CAGNARD F.	BISINCHI	9,3037	42,4862	Contact schistes/paragneiss (niveau d'UB d'un m de large). Paragneiss arkosique (détritisme continental + océanique?). Asb non vue (sauf petit niveau UB métrique). Paragneiss plissé ** PA verticaux.	Schistes- Métasédiments	
2BFC0558	CAGNARD F.	BISINCHI	9,3031	42,4859	Masse de roches metabasiques (metabasaltes massifs, fins). Asb non vue.	Metabasaltes	
2BFC0559	CAGNARD F.	BISINCHI	9,3026	42,4854	Petite passée de paragneiss/schistes phengitiques et d'UB (talcschiste) puis retour dans le virage à des schistes "classiques".	Schistes- Métasédiments	
2BFC0560	CAGNARD F.	BISINCHI	9,3017	42,4859	Contact "schistes classiques" / quartzite (arkose gabbroïque à mica chromifère = fuchsité). Asb non vue. A checker dans arkose.	Schistes- Quartzites	oui
2BFC0561	CAGNARD F.	BISINCHI	9,2972	42,4852	Masse de metabasaltes/métagabbros à passées de talcschistes à act possible (ub cisailées).	Metabasaltes- Talcschistes	
2BFC0562	CAGNARD F.	BISINCHI	9,2974	42,4852	Contact schistes/metabasaltes marqué par niveau d'UB ébrasées à talc*. Présence de niveaux à fuchsité.	Schistes- Metabasaltes	oui
2BFC0563	CAGNARD F.	BISINCHI	9,2953	42,4854	Métagabbros clairs prasiniques à act**. Gabbros cisailés, à act synfoliale (+veines). Présence d'act fibreuse (peut être pas asb mais plutôt frag. Clivage). S1 plissée* (plis isoclinaux).	Métagabbros	oui

État d'avancement du projet de cartographie amiante environnementale 1/5 000

Numero BRGM	Auteur	Commune	Long WGS84	Lat WGS84	Description de l'affleurement	Lithologies	Echantillon
2BFC0564	CAGNARD F.	VALLE-DI-ROSTINO	9,2655	42,4729	Niveau de talcschiste intercalé dans les metabasaltes (amas blanc microfibreux colluvionné): niveau cisailé (UB cisailée?). Talcschiste à Act? Dans un petit éboulis, veine (fente alpine) à Act soyeuse.	Métabasaltes- Talcschistes	oui
2BFC0565	CAGNARD F.	VALLE-DI-ROSTINO	9,2684	42,4711	Csc: schistes lustrés classiques, noirs à exsudats. Pas d'asb.	Schistes	
2BFC0566	CAGNARD F.	VALLE-DI-ROSTINO	9,2716	42,4705	Contact Sch.Lustrés sur metabasaltes. Métabasaltes très bréchiques (brèche chloriteuse**, présence de veines à abchl (act non vue?)). Plus loin du contact, basalte prasinitique verte* à act synS1 plissée.	Schistes- Métabasaltes	
2BFC0567	CAGNARD F.	VALLE-DI-ROSTINO	9,2713	42,4699	Niveau de serpentinites cisillées au contact des metabasaltes bréchiques (Shear zone plate). UB cataclasée, pas d'asb visible sur l'affit, pas d'amas blanc. Serp. Poisson. Rares talcschistes.	Serpentinites- Métabasaltes- Talcschistes	
2BFC0568	CAGNARD F.	VALLE-DI-ROSTINO	9,2697	42,4653	Contact derrière le pont entre UB cataclasées et broyées et Schistes Lustrés.	Serpentinites- Schistes	
2BFC0569	CAGNARD F.	VALLE-DI-ROSTINO	9,2712	42,4647	Contact Sch.Lustrés / serp cataclasées. Amas blanc microfibreux dans niveau UB cisailée.	Serpentinites- Schistes	oui
2BFC0570	CAGNARD F.	VALLE-DI-ROSTINO	9,2736	42,4648	Contact entre serpentinites cataclasées et Schistes Lustrés. Occurrence de veines de chrysotile dans les serpentinites.	Serpentinites- Schistes	oui
2BFC0571	CAGNARD F.	VALLE-DI-ROSTINO	9,2738	42,4635	Contact entre des SL et des prasinites rigolotes (métabasaltes (Fe-Gabbro?) foliés) à chl + ab. Au contact, basaltes bréchiques, présence de blocs +/- éboulés. Taffone**. Asb non vue.	Schistes- Prasinities	
2BFC0572	CAGNARD F.	VALLE-DI-ROSTINO	9,2740	42,4632	Contact schistes lustrés / metabasaltes.	Schistes- Métabasaltes	
2BFC0573	CAGNARD F.	MOROSAGLIA	9,2776	42,4438	Morceaux de roches vertes coincées dans des radiolarites.	Radiolarites- Métabasaltes	
2BFC0574	CAGNARD F.	MOROSAGLIA	9,2800	42,4432	Schistes lustrés (après le cimetière). Pas d'asb.	Schistes	
2BCC0001	COUTIN C.	SCOLCA	9,3689	42,5265	Métabasalte prasinitique, fine foliation vert-bleu, clair. L'affleurement présente des veines d'Albite et Quartz. Localement actinotes prismatiques allongées	Metabasaltes Schistes verts	oui
2BCC0002	COUTIN C.	SCOLCA	9,3695	42,5268	Contact entre les metabasaltes et les serpentinites, Zone d'altération au contact avec occurrences amiantifères blanches pulvérulantes. Minéralogie des fibres à définir	Serpentinites	oui
2BCC0003	COUTIN C.	SCOLCA	9,3722	42,5283	Contact Serpentinites -métabasaltes - Fibre sosuples observées, minéralogie à définir	Serpentinites	oui
2BCC0011	COUTIN C.	SCOLCA	9,3721	42,5281	Affleurement de metabasaltes sous les serpentinites, Faciès prasinitiques et Relique schistes bleu Glaucophane, On retrouve les reflets argentés sur toutes la surface	Metabasaltes Schistes verts	
2BCC0012	COUTIN C.	SCOLCA	9,3734	42,5285	Basaltes métamorphisés dans le faciès schistes bleus, Rubanement bleu-verts, de couleurs foncées, niveaux à Glaucophanes et Epidote, Roches massives et sombre	Metabasaltes schistes bleus	
2BCC0004	COUTIN C.	SCOLCA	9,3744	42,5282	Métabasaltes mouchetés et rubannés bleu-verts, Alternance de niveaux d'Albite-epidote, glaucophane , Reflets argentés, Faciès schistes bleus à structures schisteuses plissées et rétromorphosés	Métabasaltes schistes bleus rétromorphosés	
2BCC0013	COUTIN C.	SCOLCA	9,3749	42,5276	Quartzites rubanées et schistes lustrés à cristallisation de silice en plaquette	Quartzites, métaradiolarites, schistes	
2BCC0014	COUTIN C.	SCOLCA	9,3747	42,5280	Schistes siliceux, rubanés Radiolarites ?	Quartzites, métaradiolarites, schistes	
2BCC0015	COUTIN C.	SCOLCA	9,3744	42,5282	ANNULE ? Contact entre les metabasaltes décrits point 009 et les schistes NON METAB RETROMORPHOSE	Métabasaltes schistes bleus rétromorphosés	
2BCC0005	COUTIN C.	SCOLCA	9,3737	42,5287	Echantillonnage dans un niveau de talcschistes. Présence d'amiante à vérifier. L'encaissant est un mégagabbros blanc à (fuschiste ?), structure mylonitique marquée. Roches relativement altérées plus ou moins démantelées	Métagabbros à smaragdite	oui
2BCC0016	COUTIN C.	SCOLCA	9,3735	42,5286	Contact metabasalte schistes rubannés	Métabasaltes et schistes	
2BCC0017	COUTIN C.	VIGNALE	9,3896	42,5400	Schistes argentés fins, homogènes, à veines de quartz	Schistes fins micacés	
2BCC0018	COUTIN C.	VIGNALE	9,3758	42,5276	Schistes argentés	Schistes fins micacés	
2BCC0019	COUTIN C.	VIGNALE	9,3772	42,5288	Quartzites et schistes	Quartzites micacés, Schistes quartzeux	
2BCC0020	COUTIN C.	VIGNALE	9,3813	42,5288	Schistes à veines de quartz	Schistes fins micacés	
2BCC0021	COUTIN C.	VIGNALE	9,3813	42,5290	Remplissage quartz albite fuschite chrysocolle? dans des schistes	Schistes fins micacés	
2BCC0022	COUTIN C.	VIGNALE	9,3795	42,5324	Schistes	Schistes fins micacés	
2BCC0023	COUTIN C.	VIGNALE	9,3770	42,5343	Métagabbro blanc, nacrés à minéraux verts (smaragdite ou fuschite ?)	Métagabbro magnésien	
2BCC0024	COUTIN C.	VIGNALE	9,3829	42,5359	Schistes fins argentés fins	Schistes fins micacés	
2BCC0025	COUTIN C.	VIGNALE	9,3825	42,5359	Schistes fins argentés	Schistes fins micacés	
2BCC0026	COUTIN C.	VIGNALE	9,3823	42,5362	Schistes argentés	Schistes fins micacés	
2BCC0027	COUTIN C.	VIGNALE	9,3815	42,5370	Schistes fins argentés	Schistes fins micacés	
2BCC0028	COUTIN C.	VIGNALE	9,3812	42,5374	Schistes fins argentés	Schistes fins micacés	
2BCC0029	COUTIN C.	VIGNALE	9,3811	42,5374	Schistes et carbonates à veines de quartz et quartzites rubanés bleu-gris -violet	Schistes à bancs de carbonates	
2BCC0030	COUTIN C.	VIGNALE	9,3814	42,5377	Roches massives blanches, à lits micacés gris- Paragneiss ou quartzite massive	Quartzites micacés, Schistes quartzeux	
2BCC0031	COUTIN C.	VIGNALE	9,3814	42,5379	Schistes ou paragneiss plus fins à veines d albite	Quartzites micacés, Schistes quartzeux	
2BCC0032	COUTIN C.	VIGNALE	9,3812	42,5382	Schistes gris et blancs paragneiss	Quartzites micacés, Schistes quartzeux	
2BCC0033	COUTIN C.	VIGNALE	9,3810	42,5383	Schistes blanc-gris argentés plissés paragneiss	Schistes fins micacés	
2BCC0034	COUTIN C.	VIGNALE	9,3803	42,5387	Contact avec les metabasaltes - eboulis	Métabasaltes indifférenciés / éboulis	
2BCC0035	COUTIN C.	VIGNALE	9,3801	42,5388	Schistes argentés fins altérés	Schistes fins micacés	

Numero BRGM	Auteur	Commune	Long WGS84	Lat WGS84	Description de l'affleurement	Lithologies	Echantillon
2BCC0036	COUTIN C.	VIGNALE	9,3801	42,5388	Métabasaltes prasinitiques	Métabasaltes schistes verts	
2BCC0037	COUTIN C.	VIGNALE	9,3792	42,5393	Schistes massifs gris fins	Schistes fins micacés	
2BCC0038	COUTIN C.	VIGNALE	9,3790	42,5393	Métabasaltes éboulés	Métabasaltes indifférenciés	
2BCC0039	COUTIN C.	VIGNALE	9,3825	42,5386	Schistes argentés	Schistes fins micacés	
2BCC0040	COUTIN C.	VIGNALE	9,3840	42,5379	Schistes fins argentés plissés	Schistes fins micacés	
2BCC0041	COUTIN C.	VIGNALE	9,3847	42,5382	Schistes fins argentés et paragneiss plissé	Schistes fins micacés	
2BCC0042	COUTIN C.	VIGNALE	9,3857	42,5384	Ebouils blocs metabasalte	Métabasaltes indifférenciés / ébouils	
2BCC0043	COUTIN C.	VIGNALE	9,3862	42,5383	Schistes ou paragneiss	Quartzites micacés, Schistes quartzeux	
2BCC0044	COUTIN C.	VIGNALE	9,3869	42,5380	Schistes fins argentés à carbonates	Schistes à bancs de carbonates	
2BCC0045	COUTIN C.	VIGNALE	9,3883	42,5378	Schistes fins argentés paragneiss	Schistes fins micacés	
2BCC0046	COUTIN C.	VIGNALE	9,3890	42,5377	Schistes fins argentés paragneiss	Schistes fins micacés	
2BCC0047	COUTIN C.	VIGNALE	9,3893	42,5390	Schistes fins argentés à carbonates plissés	Schistes à bancs de carbonates	
2BCC0048	COUTIN C.	VIGNALE	9,3901	42,5390	Schistes bleus gris à carbonates Plissés	Schistes à bancs de carbonates	
2BCC0049	COUTIN C.	VIGNALE	9,3892	42,5383	Schistes bleus gris fins	Schistes fins micacés	
2BCC0050	COUTIN C.	VIGNALE	9,3896	42,5373	Schistes	Schistes fins micacés	
2BCC0051	COUTIN C.	VIGNALE	9,3874	42,5375	Schistes	Schistes fins micacés	
2BCC0052	COUTIN C.	VIGNALE	9,3865	42,5376	Schistes bleus gris à carbonates plisseés	Schistes à bancs de carbonates	
2BCC0053	COUTIN C.	VIGNALE	9,3848	42,5374	Schistes gris bleus fins	Schistes à bancs de carbonates	
2BCC0054	COUTIN C.	VIGNALE	9,3818	42,5374	Schistes	Schistes à bancs de carbonates	
2BCC0055	COUTIN C.	VIGNALE	9,3833	42,5372	Schistes bleus gris fins	Schistes à bancs de carbonates	
2BCC0056	COUTIN C.	VIGNALE	9,3848	42,5372	Schistes	Schistes à bancs de carbonates	
2BCC0057	COUTIN C.	VIGNALE	9,3849	42,5368	Schistes	Schistes à bancs de carbonates	
2BCC0058	COUTIN C.	VIGNALE	9,3862	42,5367	Schistes bleus gris et niveau quartzites	Quartzites micacés, Schistes quartzeux	
2BCC0059	COUTIN C.	VIGNALE	9,3791	42,5392	Metabasaltes schistosés et ebouils	Métabasaltes indifférenciés / ébouils	
2BCC0060	COUTIN C.	VIGNALE	9,3789	42,5388	Ebouils à blocs de metabasaltes	Ebouils à blocs de metabasaltes	oui
2BCC0060	COUTIN C.	VIGNALE	9,3787	42,5382	Contact avec serpentinites	Serpentinites	
2BCC0010	COUTIN C.	VIGNALE	9,3786	42,5379	Serpentinites feuilletées	Serpentinites	oui
2BCC0061	COUTIN C.	VIGNALE	9,3784	42,5374	Enormes blocs de gabbros à cristaux centimétriques	Ebouils de gabbros indifférenciés	
2BCC0062	COUTIN C.	VIGNALE	9,3783	42,5372	Ebouils metabasaltes	Ebouils à blocs de metabasaltes	
2BCC0063	COUTIN C.	VIGNALE	9,3782	42,5364	Murets terrasses ebouils metabasaltes	Ebouils à blocs de metabasaltes	
2BCC0064	COUTIN C.	VIGNALE	9,3777	42,5352	Ebouils à blocs de schistes	Ebouils à blocs de schistes fins micacés	
2BCC0065	COUTIN C.	VIGNALE	9,3770	42,5347	Ebouils blocs metabasaltes bleus verts mouchetés	Ebouils à blocs de metabasaltes	
2BCC0066	COUTIN C.	SCOLCA	9,3679	42,5268	Metabasaltes	Métabasaltes indifférenciés	
2BCC0067	COUTIN C.	SCOLCA	9,3678	42,5270	Colluvions ébouils	Colluvions indifférenciés	
2BCC0068	COUTIN C.	SCOLCA	9,3675	42,5281	Ebouils colluvions de metabasaltes	Ebouils de metabasaltes	
2BCC0069	COUTIN C.	SCOLCA	9,3670	42,5292	Contact avec les schistes fins argentés chlorites	Schistes fins micacés	
2BCC0070	COUTIN C.	SCOLCA	9,3668	42,5299	Schistes	Schistes fins micacés	
2BCC0071	COUTIN C.	SCOLCA	9,3664	42,5303	Schistes	Schistes fins micacés	
2BCC0072	COUTIN C.	SCOLCA	9,3659	42,5305	Schistes fins à veines syrnfoliale et sécantes	Schistes fins micacés	
2BCC0073	COUTIN C.	SCOLCA	9,3647	42,5313	Métabasaltes à foliations et fines veines sécantes	Métabasaltes indifférenciés	
2BCC0074	COUTIN C.	SCOLCA	9,3648	42,5305	Ferro-gabbro ? (Bloc en bord de route)	Méta ferro-gabbros	
2BCC0075	COUTIN C.	SCOLCA	9,3650	42,5306	Schistes	Schistes fins micacés	
2BCC0076	COUTIN C.	CAMPITELLO	9,3200	42,5240	Serpentinites feuilletées très cataclasées - orientation	Serpentinites	
2BCC0077	COUTIN C.	CAMPITELLO	9,3219	42,5213	Serpentinites massives	Serpentinites	
2BCC0078	COUTIN C.	CAMPITELLO	9,3230	42,5198	Contact entre serp massive et zone à relief doux	Serpentinites	
2BCC0079	COUTIN C.	CAMPITELLO	9,3231	42,5193	Serpentinites colluvionnées	Serpentinites	oui
2BCC0080	COUTIN C.	CAMPITELLO	9,3280	42,5165	Colluvions de serpentinites - affleurement en place juste au dessus	Serpentinites	oui
2BCC0081	COUTIN C.	CAMPITELLO	9,3303	42,5154	Serpentinites feuilletées plaquage vert antigorite	Serpentinites	
2BCC0082	COUTIN C.	VOLPAJOLA	9,3322	42,5150	Serpentinites massives barre roche	Serpentinites	
2BCC0083	COUTIN C.	VOLPAJOLA	9,3324	42,5153	Serpentinites feuilletées à veines de Chrysotile	Serpentinites	oui
2BCC0084	COUTIN C.	VOLPAJOLA	9,3323	42,5159	Serpentinites à chrysotile et/ou tremolite-amiante pulvérulents - nombreuse occurrences	Serpentinites	oui
2BCC0085	COUTIN C.	VOLPAJOLA	9,3324	42,5161	Métabasaltes mouchetés sur serpentinites et talcschistes à occurrences	Métabasaltes / Serpentinites / talcschistes	
2BCC0086	COUTIN C.	VOLPAJOLA	9,3337	42,5184	Métabasaltes massifs à actinolites prismatiques	Métabasaltes à actinotes	
2BCC0087	COUTIN C.	VOLPAJOLA	9,3339	42,5187	Colluvions serp cataclastique et blocs de metabasaltes	Colluvions à blocs de serpentinites et metabasaltes	
2BCC0088	COUTIN C.	VOLPAJOLA	9,3346	42,5187	Colluvions serp metab au dessus	Colluvions à blocs de serpentinites / metabasaltes	
2BCC0089	COUTIN C.	VOLPAJOLA	9,3347	42,5187	Contact schistes fins argentés	Schistes fins micacés	

Numero BRGM	Auteur	Commune	Long WGS84	Lat WGS84	Description de l'affleurement	Lithologies	Echantillon
2BCC0090	COUTIN C.	VOLPAJOLA	9,3354	42,5192	Contact schistes fins schistes quartzeux	Quartzites, Schistes quartzeux	
2BCC0091	COUTIN C.	VOLPAJOLA	9,3355	42,5199	Contact schistes quartzeux et colluvions UB	Quartzites, Schistes quartzeux	oui
2BCC0092	COUTIN C.	VOLPAJOLA	9,3356	42,5201	Schistes quartzeux	Quartzites, Schistes quartzeux	
2BCC0093	COUTIN C.	VOLPAJOLA	9,3367	42,5199	Talcschistes et UB ech	Talcschistes, serpentinites	oui
2BCC0094	COUTIN C.	VOLPAJOLA	9,3367	42,5199	Gneiss à lits de chlorites et quartz feld roses	Gneiss	
2BCC0095	COUTIN C.	VOLPAJOLA	9,3376	42,5192	Méta-arkose à fibres asbestiformes - Echantillon doublon avec DL ?	Méta-arkose	oui
2BCC0096	COUTIN C.	VOLPAJOLA	9,3390	42,5191	Micaschistes quarteux à lits fins carbonates	Schistes à bancs de carbonates	
2BCC0097	COUTIN C.	VOLPAJOLA	9,3402	42,5188	Contact avec serpentinites	Serpentinites	
2BCC0098	COUTIN C.	VOLPAJOLA	9,3407	42,5188	Serpentinites occ asb n55 ech	Serpentinites	
2BCC0099	COUTIN C.	VOLPAJOLA	9,3418	42,5187	Serpentinites colluvionnées ech	Colluvions à blocs de serpentinites	
2BCC0100	COUTIN C.	VOLPAJOLA	9,3418	42,5185	Contact avec ferrogabbro	Méta ferro-gabbros	
2BCC0101	COUTIN C.	VOLPAJOLA	9,3422	42,5175	Pendages dans métaferrogabbro	Méta ferro-gabbros	
2BCC0102	COUTIN C.	VOLPAJOLA	9,3429	42,5172	Contact avec micaschistes altere terreux	Schistes fins micacés	
2BCC0103	COUTIN C.	VOLPAJOLA	9,3430	42,5172	Micaschistes - de pendage	Schistes fins micacés	
2BCC0104	COUTIN C.	VOLPAJOLA	9,3435	42,5170	Contact micaschistes et talcschistes et metabasaltes N5	Schistes fins micacés/ talcschistes/métabasaltes	
2BCC0106	COUTIN C.	VOLPAJOLA	9,3454	42,5162	Métabasalte - Occurrence d'actinolite rigide et souple échantillonnées sur le chemin du stade	Métabasaltes à actinolites	oui
2BCC0105	COUTIN C.	VOLPAJOLA	9,3448	42,5159	Métabasalte - Talus SW du stade -	Métabasaltes à actinolites	oui
2BCC0107	COUTIN C.	SISCO	9,4219	42,8160	Micaschistes argentés	Schistes fins micacés	
2BCC0108	COUTIN C.	SISCO	9,4226	42,8165	Eboulis	Eboulis indifférenciés	
2BCC0109	COUTIN C.	SISCO	9,4233	42,8171	Calcschiste	Schistes à bancs de carbonates	
2BCC0110	COUTIN C.	SISCO	9,4233	42,8168	Colluvions fins et terreux à blocs de metabasaltes et schistes	Eboulis à blocs de schistes fins micacés et metabasaltes	
2BCC0111	COUTIN C.	SISCO	9,4231	42,8162	Cipolin	Cipolins et calcschistes	
2BCC0112	COUTIN C.	SISCO	9,4229	42,8151	Micaschistes argentés	Schistes fins micacés	
2BCC0113	COUTIN C.	SISCO	9,4239	42,8163	Colluvions à blocs de metabasaltes	Colluvions à blocs de metabasaltes	
2BCC0114	COUTIN C.	SISCO	9,4248	42,8184	Metabasalte prasinitique / Contact avec les schistes à bancs de carbonates.	Métabasaltes schistes verts / Schistes à bancs de carbonates	
2BCC0115	COUTIN C.	SISCO	9,4248	42,8185	Eboulis ou colluvions - zones très végétalisées- zone aveugle	Colluvions indifférenciés	
2BCC0116	COUTIN C.	SISCO	9,4243	42,8188	Cipolins blancs massifs et plissés - N10-10W	Cipolins et calcschistes	
2BCC0117	COUTIN C.	SISCO	9,4246	42,8189	Calcschiste N15-10W	Cipolins et calcschistes	
2BCC0118	COUTIN C.	SISCO	9,4251	42,8189	Contact entre les Schistes à bancs de carbonates et les metabasaltes prasinitiques - Niveau de talcschistes intercalés - échantillonnés N30-10W	Schistes à bancs de carbonates / Talcschistes /Métabasaltes	oui
2BCC0119	COUTIN C.	SISCO	9,4259	42,8187	Métabasalte à actinotes - 2 échantillons	Métabasaltes à actinolites	oui
2BCC0120	COUTIN C.	SISCO	9,4263	42,8194	Contact entre les metabasaltes et les Schistes à bancs de carbonates	Métabasaltes / Schistes à bancs de carbonates	
2BCC0121	COUTIN C.	SISCO	9,4262	42,8197	Contact entre les cipolins et une lentille de metabasalte - Niveau de talcschistes - échantillon	Cipolins et calcschistes / Talcschistes / Schistes à bancs de carbonates	oui
2BCC0122	COUTIN C.	SISCO	9,4268	42,8203	Eboulis de metabasalte	Eboulis à blocs de metabasaltes	
2BCC0123	COUTIN C.	SISCO	9,4274	42,8206	Calcschistes	Schistes à bancs de carbonates	
2BCC0124	COUTIN C.	SISCO	9,4275	42,8206	Eboulis	Eboulis indifférenciés	
2BCC0125	COUTIN C.	SISCO	9,4274	42,8219	Schistes à bancs de carbonates	Schistes à bancs de carbonates	
2BCC0126	COUTIN C.	SISCO	9,4271	42,8211	Cone d'éboulis	Eboulis indifférenciés	
2BCC0127	COUTIN C.	SISCO	9,4277	42,8205	Schistes à bancs de carbonates	Schistes à bancs de carbonates	
2BCC0128	COUTIN C.	SISCO	9,4280	42,8205	Eboulis	Eboulis indifférenciés	
2BCC0129	COUTIN C.	SISCO	9,4284	42,8207	Schistes à bancs de carbonates	Schistes à bancs de carbonates	
2BCC0130	COUTIN C.	SISCO	9,4280	42,8198	Cipolin	Cipolins et calcschistes	
2BCC0131	COUTIN C.	SISCO	9,4286	42,8201	Schistes à bancs de carbonates	Schistes à bancs de carbonates	
2BCC0132	COUTIN C.	SISCO	9,4296	42,8199	Schistes à bancs de carbonates	Schistes à bancs de carbonates	
2BCC0133	COUTIN C.	SCOLCA	9,3616	42,5319	Métabasaltes à glaucophanes et veines d'actinotes minérales saines perpendiculaires aux épontes	Métabasaltes à actinotes	
2BCC0134	COUTIN C.	SCOLCA	9,3635	42,5322	Talcschistes, zone de broyage	Talcschistes	oui
2BCC0135	COUTIN C.	SCOLCA	9,3636	42,5298	Métabasaltes cataclasés	Métabasaltes	
2BCC0136	COUTIN C.	SCOLCA	9,3653	42,5302	Micaschistes à veines de quartz et blocs de métagabbros et metabasaltes	Micaschistes	
2BCC0137	COUTIN C.	SCOLCA	9,3660	42,5304	Micaschistes mouchetés et lentilles de metabasaltes	Schistes quartzeux	
2BCC0138	COUTIN C.	SCOLCA	9,3666	42,5290	Micaschistes mouchetés	Schistes quartzeux	
2BCC0139	COUTIN C.	SCOLCA	9,3661	42,5298	Métaferrogabbros schisteux	Métaferrogabbros	
2BCC0140	COUTIN C.	SCOLCA	9,3636	42,5287	Métabasaltes	Métabasaltes	
2BCC0141	COUTIN C.	SCOLCA	9,3628	42,5287	Métabasaltes	Métabasaltes	
2BCC0142	COUTIN C.	SCOLCA	9,3626	42,5288	Micaschistes mouchetés	Schistes quartzeux	
2BCC0143	COUTIN C.	SCOLCA	9,3641	42,5281	Schistes à bancs de carbonates	Calcschistes	

Numero BRGM	Auteur	Commune	Long WGS84	Lat WGS84	Description de l'affleurement	Lithologies	Echantillon
2BCC0144	COUTIN C.	SCOLCA	9,3651	42,5281	Micaschistes mouchetés	Schistes quartzeux	
2BCC0145	COUTIN C.	SCOLCA	9,3655	42,5275	Métabasaltes	Métabasaltes	
2BCC0146	COUTIN C.	SCOLCA	9,3633	42,5278	Métabasaltes	Métabasaltes	
2BCC0147	COUTIN C.	SCOLCA	9,3643	42,5281	Schistes à bancs de carbonates	Calschistes	
2BCC0148	COUTIN C.	SCOLCA	9,3626	42,5276	Métabasaltes	Métabasaltes	
2BCC0149	COUTIN C.	SCOLCA	9,3598	42,5290	Métabasaltes altérés à veines d'actinolites minérales	Métabasaltes à actinotes	oui
2BCC0150	COUTIN C.	SCOLCA	9,3595	42,5289	Métabasaltes altérés à veines d'actinolites minérales	Métabasaltes à actinotes	oui
2BCC0151	COUTIN C.	SCOLCA	9,3584	42,5297	Contact entre les métabasaltes et les serpentinites	Métabasaltes - Serpentinites	
2BCC0152	COUTIN C.	SCOLCA	9,3586	42,5297	Serpentinites	Serpentinites	oui
2BCC0153	COUTIN C.	SCOLCA	9,3594	42,5294	Colluvions (métabasaltes, serpentinites)	Colluvions (métabasaltes, serpentinites)	oui
2BCC0154	COUTIN C.	SCOLCA	9,3594	42,5296	Contact entre les serpentinites et les colluvions à blocs de métabasaltes et métagabbros	Serpentinites - Colluvions (métabasaltes, métagabbros)	oui
2BCC0155	COUTIN C.	SCOLCA	9,3588	42,5299	Contact entre les métabasaltes et les serpentinites	Métabasaltes - Serpentinites	
2BCC0156	COUTIN C.	SCOLCA	9,3576	42,5292	Métabasaltes et métagabbros à veines d'actinotes (asbeste?)	Métabasaltes à actinotes - Métagabbros	oui
2BCC0157	COUTIN C.	VOLPAJOLA	9,3554	42,5284	Métabasaltes à veines d'actinotes	Métabasaltes à actinotes	oui
2BCC0158	COUTIN C.	VOLPAJOLA	9,3658	42,5151	Niveau de talcschistes intercalé dans des schistes à bancs de carbonates	Calschistes - Talcschistes	oui
2BCC0159	COUTIN C.	VOLPAJOLA	9,3660	42,5150	Métabasaltes à veines d'actinotes avec présence de lentilles de schistes à bancs de carbonates intercalées	Métabasaltes à actinotes	oui
2BCC0160	COUTIN C.	VOLPAJOLA	9,3654	42,5147	Niveau de talcschistes dans des métabasaltes à actinotes prismatiques. Echantillonnage A Talcschistes, B Métabasaltes	Métabasaltes à actinotes	oui
2BCC0161	COUTIN C.	VOLPAJOLA	9,3655	42,5170	Métabasaltes à actinotes	Métabasaltes à actinotes	oui
2BCC0162	COUTIN C.	VOLPAJOLA	9,3653	42,5175	Schistes à bancs de carbonates avec niveaux de talcschistes + actinotes fibreuses dans les talcschistes	Calschistes - Talcschistes	oui
2BCC0163	COUTIN C.	VOLPAJOLA	9,3636	42,5172	Contact entre schistes et métabasaltes prasinitiques	Calschistes - Métabasaltes - Prasinites	oui
2BCC0164	COUTIN C.	VOLPAJOLA	9,3600	42,5212	Métabasaltes prasinitiques	Métabasaltes schistes verts	oui
2BCC0165	COUTIN C.	VOLPAJOLA	9,3580	42,5236	Métabasaltes à actinotes minérales et fibreuses, Echantillonnages d'actinotes localement asbestiformes	Métabasaltes à actinotes	oui
2BCC0166	COUTIN C.	VOLPAJOLA	9,3573	42,5259	Métabasaltes à actinotes minérales et fibreuses	Métabasaltes à actinotes	oui
2BCC0167	COUTIN C.	VOLPAJOLA	9,3567	42,5255	Métabasaltes à actinotes minérales	Métabasaltes à actinotes	oui
2BCC0168	COUTIN C.	VOLPAJOLA	9,3578	42,5256	Métabasaltes schistes bleu à glaucophanes	Métabasaltes	
2BCC0169	COUTIN C.	VOLPAJOLA	9,3582	42,5245	Contact entre les métabasaltes et les schistes quartzeux	Métabasaltes - Schistes quartzeux	
2BCC0170	COUTIN C.	VOLPAJOLA	9,3561	42,5258	Métabasaltes altérés	Métabasaltes	
2BCC0171	COUTIN C.	VOLPAJOLA	9,3548	42,5257	Métabasaltes à actinotes minérales	Métabasaltes à actinotes	
2BCC0172	COUTIN C.	VOLPAJOLA	9,3548	42,5258	Métabasaltes à actinotes minérales	Métabasaltes à actinotes	
2BCC0173	COUTIN C.	VOLPAJOLA	9,3548	42,5258	Métabasaltes à actinotes minérales	Métabasaltes à actinotes	
2BCC0174	COUTIN C.	VOLPAJOLA	9,3555	42,5270	Métabasaltes à actinotes minérales	Métabasaltes à actinotes	
2BCC0175	COUTIN C.	VOLPAJOLA	9,3555	42,5271	Métabasaltes et enclave de serpentinites à fines veines de cryotiles	Métabasaltes - Serpentinites	
2BCC0176	COUTIN C.	CAMPITELLO	9,3166	42,5279	Métabasaltes sans actinote	Métabasaltes	
2BCC0177	COUTIN C.	CAMPITELLO	9,3160	42,5281	Micaschistes argentés	Micaschistes - Colluvions (métabasaltes)	
2BCC0178	COUTIN C.	CAMPITELLO	9,3165	42,5280	Micaschistes dans le cours d'eau	Micaschistes	
2BCC0179	COUTIN C.	CAMPITELLO	9,3130	42,5253	Micaschistes quartzeux	Schistes quartzeux	
2BCC0180	COUTIN C.	CAMPITELLO	9,3182	42,5277	Micaschistes quartzeux	Micaschistes	
2BCC0181	COUTIN C.	CAMPITELLO	9,3172	42,5289	Micaschistes quartzeux	Micaschistes - Métabasaltes	
2BCC0182	COUTIN C.	CAMPITELLO	9,3164	42,5301	Contact entre les micaschistes quartzeux et les métabasaltes	Schistes quartzeux	
2BCC0183	COUTIN C.	CAMPITELLO	9,3128	42,5282	Métabasaltes	Schistes quartzeux - Métabasaltes	
2BCC0184	COUTIN C.	CAMPITELLO	9,3137	42,5288	Métabasaltes	Métabasaltes	
2BCC0185	COUTIN C.	CAMPITELLO	9,3119	42,5274	Contact entre les orthogneiss et les micaschistes quartzeux	Schistes quartzeux - Orthogneiss	
2BCC0186	COUTIN C.	CAMPITELLO	9,3096	42,5254	Contact entre les orthogneiss et les métabasaltes	Orthogneiss - Métabasaltes	
2BCC0187	COUTIN C.	CAMPITELLO	9,3082	42,5271	Contact entre les serpentinites et les schistes à bancs de carbonates	Serpentinites - Schistes à bancs de carbonates	
2BCC0188	COUTIN C.	CAMPITELLO	9,3080	42,5272	Lentille de métabasaltes pincée dans des schistes à bancs de carbonates + fibres	Schistes à bancs de carbonates	oui
2BCC0189	COUTIN C.	CAMPITELLO	9,3075	42,5272	Contact entre les schistes à bancs de carbonates et les métabasaltes feuilletés	Schistes à bancs de carbonates - Métabasaltes	
2BCC0190	COUTIN C.	CAMPITELLO	9,3068	42,5274	Contact entre les métabasaltes feuilletés et les schistes à bancs de carbonates	Métabasaltes - Micaschistes	
2BCC0191	COUTIN C.	CAMPITELLO	9,3059	42,5275	Passage aux schistes à bancs de carbonates	Schistes à bancs de carbonates	
2BCC0192	COUTIN C.	CAMPITELLO	9,3055	42,5274	Contact entre les schistes à bancs de carbonates et les métabasaltes feuilletés	Schistes à bancs de carbonates / Métabasaltes	
2BCC0193	COUTIN C.	CAMPITELLO	9,3054	42,5274	Talcschistes fibreux dans des métabasaltes	Talcschistes	oui
2BCC0194	COUTIN C.	CAMPITELLO	9,3051	42,5274	Lentille de schistes à bancs de carbonates dans des métabasaltes	Métabasaltes	
2BCC0195	COUTIN C.	CAMPITELLO	9,3033	42,5283	Métabasaltes	Métabasaltes	
2BCC0196	COUTIN C.	BIGORNO	9,3023	42,5289	Métabasaltes	Métabasaltes	

État d'avancement du projet de cartographie amiante environnementale 1/5 000

Numero BRGM	Auteur	Commune	Long WGS84	Lat WGS84	Description de l'affleurement	Lithologies	Echantillon
2BCC0197	COUTIN C.	BIGORNO	9,3006	42,5292	Métabasales	Métabasales	
2BCC0198	COUTIN C.	BIGORNO	9,3001	42,5293	Métabasales (Vérif présence d'actinotes)	Métabasales	oui
2BCC0199	COUTIN C.	BIGORNO	9,2997	42,5294	Métabasales à actinotes minérales	Métabasales à actinotes	
2BCC0200	COUTIN C.	BIGORNO	9,2981	42,5322	Serpentinites	Serpentinites	
2BCC0201	COUTIN C.	BIGORNO	9,3095	42,5252	Niveau de serpentinites entre les orthogneiss et les metabasales. Echantillonnage de fibres dans les serpentinites	Serpentinites	oui
2BCC0202	COUTIN C.	BIGORNO	9,3065	42,5264	Lentille de métagabbros dans des schistes à bancs de carbonates	Métagabbros - Schistes à bancs de carbonates	
2BCC0204	COUTIN C.	BIGORNO	9,3050	42,5261	Talcschistes entre deux affleurements de schistes à bancs de carbonates	Schistes à bancs de carbonates - Talcschistes	oui
2BCC0205	COUTIN C.	BIGORNO	9,3026	42,5255	Métabasales à actinotes minérales (Vérif actinotes)	Métabasales à actinotes	oui
2BCC0203	COUTIN C.	BIGORNO	9,3035	42,5259	Talcschistes dans des schistes à bancs de carbonates	Talcschistes - Schistes à bancs de carbonates	oui
2BCC0206	COUTIN C.	BIGORNO	9,2999	42,5247	Talcschistes dans des metabasales	Talcschistes - Métabasales à actinotes	oui
2BCC0207	COUTIN C.	BIGORNO	9,2996	42,5243	Talcschistes dans des metabasales	Talcschistes - Métabasales à actinotes	oui
2BCC0208	COUTIN C.	BIGORNO	9,2989	42,5322	Serpentinites	Serpentinites	
2BCC0209	COUTIN C.	BIGORNO	9,2890	42,5292	Contact entre les métagabbros et les metabasales. Echantillonnages du niveau de talcschistes au contact (Vérif fibres)	Talcschistes - Métabasales - Métagabbros	
2BCC0210	COUTIN C.	BIGORNO	9,2829	42,5315	Ophicalcites	Ophicalcites	
2BCC0211	COUTIN C.	LENTO	9,2783	42,5325	Peridotites + filons de chrysotiles sains	Serpentinites - Péridotites	
2BCC0212	COUTIN C.	LENTO	9,2784	42,5328	Fin des peridotites dans les serpentinites	Serpentinites - Péridotites	
2BCC0213	COUTIN C.	LENTO	9,2666	42,5402	Métabasales à actinotes minérales	Métabasales à actinotes	oui
2BCC0214	COUTIN C.	LENTO	9,2644	42,5406	Métabasales à actinotes	Métabasales à actinotes	
2BCC0215	COUTIN C.	LENTO	9,2646	42,5413	Métabasales très schistosé à actinotes	Métabasales à actinotes	
2BCC0216	COUTIN C.	LENTO	9,2646	42,5416	Métabasales au contact avec une passée de serpentinites + occurrence fibreuse blanche pulvérulante (Chrysotile ou Actinote-Amiante ou Trémolite-Amiante ?)	Métabasales à actinotes	oui
2BCC0217	COUTIN C.	MURATO	9,2978	42,5430	Contact entre les serpentinites et les schistes gris à veines	Serpentinite - Schistes	
2BCC0218	COUTIN C.	MURATO	9,3021	42,5471	Passée d'UB et de métagabbros dans des schistes gris (micaschistes), échantillonnage des UB	Serpentinites - Métagabbros - Schistes	oui
2BCC0221	COUTIN C.	LENTO	9,2895	42,5260	Niveau de serpentinites et talcschistes dans les schistes à bancs de carbonates - niveau bréchique à ankérite et pyrite	Serpentinites - Talcschistes - Schistes à bancs de carbonates	oui
2BCC0222	COUTIN C.	LENTO	9,2842	42,5272	Matrice fibreuse dans des colluvions à serpentinites et metabasales	Colluvions (métabasales, serpentinites)	oui
2BCC0223	COUTIN C.	LENTO	9,2715	42,5184	Fibres dans les métagabbros	Métagabbros	oui
2BCC0224	COUTIN C.	LENTO	9,2786	42,5100	Niveau de talcschistes dans des metabasales feuilletés	Talcschistes - Métabasales	oui
2BCC0225	COUTIN C.	LENTO	9,2765	42,5098	Niveau de talcschistes dans les serpentinites	Talcschistes - Serpentinites	oui
2BCC0249	COUTIN C.	LENTO	9,2713	42,5098	Lentille de serpentinites et talcschistes dans les schistes à bancs de carbonates (plis)	Serpentinites - Talcschistes - Schistes à bancs de carbonates	
2BCC0226	COUTIN C.	LENTO	9,2711	42,5101	Niveau de talcschistes et serpentinites pincés dans les metabasales et métagabbros	Serpentinites - Talcschistes - Métabasales	oui
2BCC0227	COUTIN C.	LENTO	9,2635	42,5098	Métagabbros en place au milieu de colluvions	Métagabbros	
2BCC0228	COUTIN C.	LENTO	9,2651	42,5113	Niveau de serpentinites feuilletées dans les métagabbros	Serpentinite - Métagabbros	
2BCC0229	COUTIN C.	CANAVAGGIA	9,2630	42,5082	Contact entre les métagabbros et les schistes noirs argentés à veines	Métagabbros - Schistes	
2BCC0230	COUTIN C.	CANAVAGGIA	9,2637	42,5030	Niveau de talcschistes et serpentinites dans les metabasales	Serpentinites - Talcschistes - Métabasales	oui
2BCC0242	COUTIN C.	CANAVAGGIA	9,1982	42,4827	Serpentinites pincées dans des Gabbros	Serpentinites - Gabbros	oui
2BCC0243	COUTIN C.	CANAVAGGIA	9,1991	42,4827	Niveau de serpentinites cataclasées avec présences de fibres d'amiantes	Serpentinites	
2BCC0244	COUTIN C.	CANAVAGGIA	9,2041	42,4802	Filon de rhyolite (5m d'épaisseur)	Rhyolites	
2BCC0245	COUTIN C.	CANAVAGGIA	9,2044	42,4799	Filon de dolérite (2m d'épaisseur)	Dolérites	
2BCC0246	COUTIN C.	CANAVAGGIA	9,2057	42,4810	Contact entre les monzogranites et les Schistes à bancs de carbonates plissés et cataclasés	Schistes à bancs de carbonates - Monzogranites	
2BCC0247	COUTIN C.	CANAVAGGIA	9,2071	42,4806	Fibres dans des serpentinites au contact entre des schistes et des granodiorites	Schistes - Serpentinites - Granodiorites	oui
2BCC0248	COUTIN C.	CANAVAGGIA	9,2097	42,4784	Niveau de talcschistes au contact avec les conglomérats (couverture sédimentaire)	Talcschistes - Conglomérats	oui
2BCC0250	COUTIN C.	LENTO	9,2831	42,5212	Affleurement de schistes à bancs de carbonates	Schistes à bancs de carbonates	
2BCC0251	COUTIN C.	LENTO	9,2822	42,5208	Affleurement de schistes à bancs de carbonates	Schistes à bancs de carbonates	
2BCC0252	COUTIN C.	LENTO	9,2794	42,5189	Contact entre les schistes à bancs de carbonates et les serpentinites	Serpentinites - Schistes à bancs de carbonates	
2BCC0253	COUTIN C.	LENTO	9,2795	42,5187	Serpentinites	Serpentinites	oui
2BCC0254	COUTIN C.	LENTO	9,2797	42,5176	Schistes à bancs de carbonates	Schistes à bancs de carbonates	
2BCC0255	COUTIN C.	LENTO	9,2837	42,5141	Ophicalcites, réaction à l'hcI	Ophicalcites	
2BCC0256	COUTIN C.	LENTO	9,2842	42,5143	Serpentinites très broyées, cataclasées, à niveaux blancs	Serpentinites	oui
2BCC0257	COUTIN C.	LENTO	9,2849	42,5143	Serpentinites (échantillon supplémentaire pour lame mince)	Métabasales à actinotes	oui
2BCC0258	COUTIN C.	LENTO	9,2856	42,5140	Contact entre les trondhjemites et les micaschistes	Métabasales à actinotes - Micaschistes	
2BCC0259	COUTIN C.	LENTO	9,2882	42,5138	Métabasales bleus sombres. Pas d'actinotes ou de talcschistes	Métabasales	
2BCC0260	COUTIN C.	LENTO	9,2896	42,5131	Métabasales cataclasés	Métabasales	oui
2BCC0261	COUTIN C.	LENTO	9,2900	42,5129	Métabasales	Métabasales	

Numero BRGM	Auteur	Commune	Long WGS84	Lat WGS84	Description de l'affleurement	Lithologies	Echantillon
2BCC0262	COUTIN C.	LENTO	9,2917	42,5115	Serpentinites broyées avec un niveau blanc pulvérulent	Serpentinites	oui
2BCC0263	COUTIN C.	LENTO	9,2919	42,5114	Métabasaltés très altérés et cataclasés avec présence d'actinotes	Métabasaltés à actinotes	oui
2BCC0264	COUTIN C.	LENTO	9,2921	42,5114	Ophicalcites affleurant des deux cotés de la route	Ophicalcites	
2BCC0265	COUTIN C.	LENTO	9,2930	42,5112	Affleurement massif de métabasaltés	Métabasaltés	
2BCC0266	COUTIN C.	LENTO	9,2924	42,5112	Ophicalcites à apparence fibreuse	Ophicalcites	oui
2BCC0267	COUTIN C.	LENTO	9,2921	42,5104	Niveau de talcschistes et serpentinites, très cataclasés, mélangé à de la terre	Serpentinites -Talcshistes	oui
2BCC0268	COUTIN C.	LENTO	9,2913	42,5096	Métagabbros très claires à fuchsites, vérification de minéraux fibreux	Métagabbros	oui
2BCC0269	COUTIN C.	LENTO	9,2913	42,5092	Métagabbros très claires à fuchsites	Métagabbros	
2BCC0270	COUTIN C.	LENTO	9,2925	42,5076	Métagabbros très claires à fuchsites	Métagabbros	oui
2BCC0271	COUTIN C.	LENTO	9,2929	42,5072	Contact entre les schistes à bancs de carbonates et les métagabbros très claires à fuchsites + talcschistes présent au contact.	Schistes à bancs de carbonates - Métagabbros	oui
2BCC0272	COUTIN C.	LENTO	9,2937	42,5062	Lame mince des métagabbros très claires, à fuchsites	Métagabbros	oui
2BCC0273	COUTIN C.	LENTO	9,2940	42,5056	Contact entre les métagabbros très claires à fuchsites et les schistes à bancs de carbonates + talcschistes présent au contact	Métagabbros - Schistes à bancs de carbonates	oui
2BCC0275	COUTIN C.	LENTO	9,2829	42,5037	Schistes à bancs de carbonates en places sous des éboulis de métabasaltés et métagabbros	Schistes à bancs de carbonates - Métabasaltés - Métagabbros	
2BCC0276	COUTIN C.	LENTO	9,2904	42,5057	Niveau de talcschistes dans des schistes à bancs de carbonates. Niveau de talcschistes situé au dessus des schistes à bancs de carbonates. Présence de colluvions de métagabbros très claires à fuchsites au dessus.	Schistes à bancs de carbonates - Talcshistes	oui
2BCC0277	COUTIN C.	LENTO	9,2892	42,5016	Contact entre les métagabbros très claires à fuchsites et les schistes à bancs de carbonates. un niveau fin micasé présent au contact.	Métagabbros - Schistes à bancs de carbonates	oui
2BCC0278	COUTIN C.	LENTO	9,2901	42,4999	Contact entre les schistes à bancs de carbonates et les métagabbros très claires (Pas de fuchsites, métagabbros moins métamorphisés), un niveau blanc présent au contact.	Schistes à bancs de carbonates - Métagabbros	oui
2BCC0279	COUTIN C.	LENTO	9,2898	42,4992	Occurrence blanche dans un niveau de métagabbros très claires pincés dans les schistes à bancs de carbonates. Proche du contact schistes à bancs de carbonates/métagabbros	Schistes à bancs de carbonates	oui
2BCC0280	COUTIN C.	LENTO	9,2896	42,4987	Occurrence fibreuses dans les métagabbros très claires à fuchsites, proche du contact avec les Schistes à bancs de carbonates	Métagabbros	
2BCC0281	COUTIN C.	LENTO	9,2931	42,4975	Lame mince d'un métagabbros très fin, amant la crête. Présence de lits d'épidotes et de chlorites.	Métagabbros	oui
2BCC0282	COUTIN C.	LENTO	9,2891	42,4959	Occurrence fibreuse dans les métagabbros très claires à fuchsites. Présence de plusieurs occurrences de ce types dans les métagabbros	Métagabbros	oui
2BCC0283	COUTIN C.	LENTO	9,2867	42,4952	Talcshistes dans les schistes à bancs de carbonates. Présences de blocs de métagabbros	Schistes à bancs de carbonates - Talcshistes	oui
2BCC0284	COUTIN C.	LENTO	9,2935	42,5038	Métagabbros très claires à fuchsites	Métagabbros	
2BCC0285	COUTIN C.	CANAVAGGIA	9,2635	42,5033	Affleurement de métabasaltés à lits d'épidotes	Métabasaltés	
2BCC0286	COUTIN C.	CANAVAGGIA	9,2650	42,5035	Micaschistes	Micaschistes	
2BCC0288	COUTIN C.	CANAVAGGIA	9,2625	42,5032	Métabasaltés très sombres en place. Roche ultra basique?	Métabasaltés	
2BCC0289	COUTIN C.	CANAVAGGIA	9,2618	42,5032	Bloc de granodiorite	Granodiorites	
2BCC0290	COUTIN C.	CANAVAGGIA	9,2625	42,5025	Métabasalte en place	Métabasaltés	
2BCC0291	COUTIN C.	CANAVAGGIA	9,2632	42,5043	Métabasalte en place. Pas d'occurrences observée	Métabasaltés	
2BCC0292	COUTIN C.	CANAVAGGIA	9,2629	42,4876	Niveau de talcschistes amiante dans des métabasaltés altérés et cataclasés. Présence d'UB broyés	Métabasaltés	
2BCC0293	COUTIN C.	CANAVAGGIA	9,2609	42,4878	Contact entre les métabasaltés et les schistes à bancs de carbonates. Contact mylonitisé avec lentille de métabasaltés pincés dans les schistes (sans occurrence visible).	Métabasaltés - Schistes à bancs de carbonates	
2BCC0294	COUTIN C.	CANAVAGGIA	9,2585	42,4869	Niveau de talcschistes, UB et serpentinites dans les schistes à bancs de carbonates.	Schistes à bancs de carbonates	
2BCC0295	COUTIN C.	CANAVAGGIA	9,2577	42,4849	Contact entre les schistes à bancs de carbonates et les métabasaltés	Schistes à bancs de carbonates - Métabasaltés	
2BCC0296	COUTIN C.	CANAVAGGIA	9,2520	42,4833	Contact entre les serpentinites et les métagabbros. Présence d'une occurrence blanche, fibreuse et pulvérulente au contact.	Serpentinites - Métagabbros	
2BCC0297	COUTIN C.	CANAVAGGIA	9,2509	42,4838	Serpentinites en places avec présence d'occurrence blanche, fibreuse et cataclasée	Serpentinites	
2BCC0298	COUTIN C.	CANAVAGGIA	9,2506	42,4839	Serpentinites en places avec présence d'occurrences blanches, fibreuses et cataclasées.	Serpentinites	
2BCC0300	COUTIN C.	CANAVAGGIA	9,2461	42,4840	Serpentinites en places avec occurrences blanche, fibreuse et pulvérulente. Présence de colluvions de métagabbros recouvrant les serpentinites	Serpentinites	
2BCC0299	COUTIN C.	CANAVAGGIA	9,2459	42,4827	Occurrence blanche, fibreuse avec UB pincés (niveau serpentiniteux) dans les métagabbros peu déformés	Métagabbros	
2BCC0301	COUTIN C.	CANAVAGGIA	9,2456	42,4823	Occurrence blanche, fibreuse avec UB pincés (niveau serpentiniteux) dans les métagabbros. Serpentinisation encadrant des noyaux de métagabbros	Métagabbros	
2BCC0302	COUTIN C.	CANAVAGGIA	9,2452	42,4820	Petite occurrence blanche, fibreuse avec UB pincés (niveau serpentiniteux) dans les métagabbros.	Métagabbros	

Numero BRGM	Auteur	Commune	Long WGS84	Lat WGS84	Description de l'affleurement	Lithologies	Echantillon
2BCC0303	COUTIN C.	CANAVAGGIA	9,2449	42,4818	Petite occurrence blanche, fibreuse avec UB pincés (niveau serpentiniteux) dans les métagabbros.	Métagabbros	
2BCC0304	COUTIN C.	CANAVAGGIA	9,2391	42,4806	Petite occurrence blanche, fibreuse dans les colluvions de métagabbros. Colluvions de métagabbros recouvrant les serpentinites	Colluvions (métagabbros)	
2BCC0305	COUTIN C.	CANAVAGGIA	9,2380	42,4804	Petite occurrence blanche, fibreuse dans les colluvions de métagabbros. Colluvions de métagabbros recouvrant les serpentinites	Métagabbros	
2BCC0306	COUTIN C.	CANAVAGGIA	9,2358	42,4789	Petite occurrence blanche, fibreuse dans les métagabbros.	Métagabbros	
2BCC0307	COUTIN C.	CANAVAGGIA	9,2356	42,4787	Petite occurrence blanche, fibreuse dans les métagabbros.	Métagabbros	
2BCC0308	COUTIN C.	CANAVAGGIA	9,2333	42,4790	Petite occurrence blanche, fibreuse dans les colluvions de métagabbros. Colluvions de métagabbros recouvrant les serpentinites	Colluvions (métagabbros)	
2BCC0309	COUTIN C.	CANAVAGGIA	9,2338	42,4812	Passée de serpentinites dans les colluvions de métagabbros. Présence d'une occurrence fibreuse.	Colluvions (métagabbros)	
2BCC0310	COUTIN C.	CANAVAGGIA	9,2330	42,4815	Serpentinites en places avec présence d'une occurrence blanche et fibreuse.	Serpentinites	
2BCC0311	COUTIN C.	CANAVAGGIA	9,2307	42,4830	Serpentinites en places avec présence d'une occurrence blanche et fibreuse.	Serpentinites	
2BCC0312	COUTIN C.	CANAVAGGIA	9,2309	42,4835	Contact entre les serpentinites et les métagabbros.	Serpentinites - Métagabbros	
2BCC0313	COUTIN C.	CANAVAGGIA	9,2302	42,4818	Métagabbros + occurrence fibreuse	Métagabbros	
2BCC0314	COUTIN C.	CANAVAGGIA	9,2310	42,4794	Contact entre les métagabbros et les serpentinites. Présence d'une occurrence fibreuse de talschistes au contact	Serpentinites - Métagabbros	
2BCC0315	COUTIN C.	CANAVAGGIA	9,2260	42,4808	Contact entre les serpentinites et les métagabbros. Présence d'une occurrence fibreuse de talschistes au contact	Serpentinites - Métagabbros	
2BCC0316	COUTIN C.	CANAVAGGIA	9,2210	42,4772	Contact entre les métagabbros et les serpentinites. Présence d'une occurrence fibreuse de talschistes au contact	Serpentinites - Métagabbros	
2BCC0317	COUTIN C.	CANAVAGGIA	9,2169	42,4784	Contact entre les serpentinites et les conglomérats (formation de tomboni). Présence d'une occurrence fibreuse de talschistes au contact	Serpentinites - Conglomérats	
2BCC0318	COUTIN C.	CANAVAGGIA	9,2158	42,4776	Affleurement de metabasaltes et métagabbros indifférenciés formant la crête.	Métabasaltes - Métagabbros	
2BCC0320	COUTIN C.	PONTE-LECCIA	9,1963	42,4765	Limite de présence de galets alluvionnaires dans les vignes	Alluvions	
2BCC0330	COUTIN C.	PONTE-LECCIA	9,3031	42,5032	Contact plissé entre les metabasaltes et les schistes à bancs carbonates	Métabasaltes - Schistes à bancs de carbonates	
2BCC0331	COUTIN C.	PONTE-LECCIA	9,3033	42,5032	Schistes à bancs de carbonates présentant de nombreux niveaux de talschistes	Schistes à bancs de carbonates	
2BCC0332	COUTIN C.	PONTE-LECCIA	9,3233	42,5080	Serpentinites cataclasées à veines de chrysotiles	Serpentinites	
2BCC0333	COUTIN C.	PONTE-LECCIA	9,3333	42,5067	Niveau d'UB et de serpentinites + occurrence fibreuse	Serpentinites	
2BCC0334	COUTIN C.	PONTE-LECCIA	9,3392	42,5106	Métabasaltes massifs. Pas de vérification possible, à classer aléa 2/3	Métabasaltes	
2BCC0381	COUTIN C.	PINO	9,3535	42,9163	Lentille de serpentinites	Serpentinites	
2BCC0392	COUTIN C.	SISCO	9,4231	42,8138	Serpentinites	Serpentinites	
2BCC0393	COUTIN C.	SISCO	9,4245	42,8146	Micaschistes en place sous des éboulis de prasinites	Micaschistes	
2BCC0394	COUTIN C.	SISCO	9,4277	42,8119	Métabasaltes mouchetés (prasinites) avec des chlorites et épidotes	Métabasaltes prasinitiques	
2BCC0395	COUTIN C.	SISCO	9,4855	42,8254	Lentilles pincées de metabasaltes (prasinites) dans les cipolins massifs	Métabasaltes prasinitiques	
2BCC0396	COUTIN C.	SISCO	9,4874	42,8014	Schistes à bancs de carbonates sous des metabasaltes prasinitiques	Métabasaltes prasinitiques - Cipolins	

Annexe 2

Version provisoire du rapport final, rédigée pour les communes terminées à date



Reconnaissance de zones naturelles

amiantifères sur douze communes du
Cap Corse (Haute-Corse) :

Pino, Luri, Barrettali, Cagnano, Canari, Pietracorbara, Ogliastro,
Sisco, Olcani, Nonza, Olmeta di Capocorso, Farinole

Rapport final

BRGM/RP-XXXXX-FR

mois année

VERSION PROVISOIRE

VERSION PROVISOIRE

Reconnaissance de zones naturelles amiantifères sur douze communes du Cap Corse (Haute-Corse) :

Pino, Luri, Barrettali, Cagnano, Canari, Pietracorbara, Ogliastro,
Sisco, Olcani, Nonza, Olmeta di Capocorso, Farinole

Rapport final

BRGM/RP ou RC-XXXXX-FR
mois année

Étude réalisée dans le cadre des opérations (projets)
de Service public (Recherche) du BRGM 2005-XXX-XX

N. auteur

Avec la collaboration de
N. auteur

Vérificateur :

Nom : **A dactylographier**
Fonction : **XX à compléter**
Date :
Signature :

Approbateur :

Nom : **A dactylographier**
Fonction **XX à compléter** :
Date :
Signature :

Le système de management de la qualité et de l'environnement
est certifié par AFNOR selon les normes ISO 9001 et ISO 14001.
Contact : qualite@brgm.fr



Sommaire

1. Contexte de l'étude	15
1.1. INTRODUCTION	15
1.2. OBJECTIFS ET METHODOLOGIE SUIVIE	18
1.3. GEOLOGIE DES TERRITOIRES ETUDIES.....	20
1.3.1. Les formations ophiolitiques et sédimentaires liguro-piémontaises	20
1.3.2. Les formations gneissiques.....	21
1.3.3. Les formations post-nappes.....	22
1.3.4. Les formations superficielles quaternaires	23
1.3.5. Les formations anthropiques.....	23
1.4. TRAVAUX REALISES.....	23
2. Commune de Pino.....	25
2.1. DONNEES ACQUISES SUR LE TERRAIN.....	26
2.1.1. Les serpentinites.....	26
2.1.2. Les métagabbros	27
2.1.3. Les metabasaltes.....	28
2.1.4. Les quartzites micacés	29
2.1.5. Les schistes et les calcschistes.....	29
2.1.6. Les éboulis	29
2.2. DONNEES ACQUISES EN LABORATOIRE.....	30
2.2.1. Analyses par microscopie optique et microsonde électronique	30
2.2.2. Analyses par microscopie électronique à balayage.....	30
2.3. SECTEURS SENSIBLES ET PRECONISATIONS.....	42
3. Commune de Luri.....	43
3.1. DONNEES ACQUISES SUR LE TERRAIN.....	44
3.1.1. Les serpentinites.....	44
3.1.2. Les métagabbros	45
3.1.3. Les glaucophanites à grenat.....	45
3.1.4. Les metabasaltes.....	46
3.1.5. Les quartzites micacés	46
3.1.6. Les schistes et les calcschistes.....	47
3.1.7. Les cipolins.....	47
3.1.8. Les colluvions et les éboulis.....	47
3.1.9. Les alluvions récentes à actuelles.....	47

3.2. DONNEES ACQUISES EN LABORATOIRE.....	48
3.2.1. Analyses par microscopie optique et microsonde électronique	48
3.2.2. Analyses par microscopie électronique à balayage.....	48
3.3. SECTEURS SENSIBLES ET PRECONISATIONS.....	51
4. Commune de Barrettali	52
4.1. DONNEES ACQUISES SUR LE TERRAIN.....	53
4.1.1. Les serpentinites.....	53
4.1.2. Les métagabbros	54
4.1.3. Les glaucophanites à grenat	56
4.1.4. Les metabasaltes.....	56
4.1.5. Les schistes et les calcschistes.....	57
4.1.6. Les colluvions et les éboulis.....	57
4.2. DONNEES ACQUISES EN LABORATOIRE.....	58
4.2.1. Analyses par microscopie optique et microsonde électronique	58
4.2.2. Analyses par microscopie électronique à balayage.....	60
4.3. SECTEURS SENSIBLES ET PRECONISATIONS.....	73
5. Commune de Cagnano	74
5.1. DONNEES ACQUISES SUR LE TERRAIN.....	75
5.1.1. Les serpentinites.....	75
5.1.2. Les métagabbros	76
5.1.3. Les glaucophanites à grenat	76
5.1.4. Les prasinites.....	76
5.1.5. Les quartzites micacés	77
5.1.6. Les cipolins et les calcschistes.....	77
5.1.7. Les schistes et les calcschistes.....	77
5.1.8. Les éboulis	77
5.1.9. Les alluvions du ruisseau de Misinco.....	78
5.2. DONNEES ACQUISES EN LABORATOIRE.....	78
5.2.1. Analyses par microscopie optique et microsonde électronique	78
5.2.2. Analyses par microscopie électronique à balayage.....	78
5.3. SECTEURS SENSIBLES ET PRECONISATIONS.....	80
6. Commune de Canari.....	81
6.1. DONNEES ACQUISES SUR LE TERRAIN.....	82
6.1.1. Les serpentinites.....	82
6.2. DONNEES ACQUISES EN LABORATOIRE.....	83
6.2.1. Analyses par microscopie optique et microsonde électronique	83

6.2.2. Analyses par microscopie électronique à balayage.....	86
6.3. SECTEURS SENSIBLES ET PRECONISATIONS.....	99
7. Commune de Pietracorbara.....	100
7.1. DONNEES ACQUISES SUR LE TERRAIN.....	101
7.1.1. Les serpentinites.....	101
7.1.2. Les metabasaltes.....	102
7.1.3. Les formations métasédimentaires.....	102
7.2. DONNEES ACQUISES EN LABORATOIRE.....	103
7.2.1. Analyses par microscopie optique et microsonde électronique.....	103
7.2.2. Analyses par microscopie électronique à balayage.....	103
7.3. SECTEURS SENSIBLES ET PRECONISATIONS.....	106
8. Commune d'Ogliastro.....	107
8.1. DONNEES ACQUISES SUR LE TERRAIN.....	108
8.1.1. Les serpentinites.....	108
8.1.2. Les métagabbros.....	109
8.1.3. Les metabasaltes.....	110
8.1.4. Les formations sédimentaires.....	110
8.2. DONNEES ACQUISES EN LABORATOIRE.....	110
8.2.1. Analyses par microscopie optique et microsonde électronique.....	110
8.2.2. Analyses au microscope électronique à balayage.....	114
8.3. SECTEURS SENSIBLES ET PRECONISATIONS.....	122
9. Commune de Sisco.....	123
9.1. DONNEES ACQUISES SUR LE TERRAIN.....	124
9.1.1. Les serpentinites.....	124
9.1.2. Les métagabbros et les metabasaltes.....	124
9.2. DONNEES ACQUISES EN LABORATOIRE.....	124
9.2.1. 124	
9.2.2. Analyses par microscopie électronique à balayage.....	124
9.3. SECTEURS SENSIBLES ET PRECONISATIONS.....	125
10. Commune d'Olcani.....	126
10.1. DONNEES ACQUISES SUR LE TERRAIN.....	126
10.1.1. Les serpentinites.....	126
10.1.2. Les metabasaltes.....	128

10.2.	DONNEES ACQUISES EN LABORATOIRE.....	128
10.2.1.	Analyses par microscopie optique et microsonde électronique.....	128
10.2.2.	Analyses au microscope électronique à balayage	128
10.3.	SECTEURS SENSIBLES ET PRECONISATIONS.....	131
11.	Commune de Nonza	132
11.1.	DONNEES ACQUISES SUR LE TERRAIN.....	133
11.1.1.	Les serpentinites.....	133
11.1.2.	Les metabasaltes	134
11.1.3.	Les métasédiments	134
11.1.4.	Les colluvions	135
11.1.5.	Les alluvions	136
11.2.	DONNEES ACQUISES EN LABORATOIRE.....	136
11.2.1.	Analyses au microscope optique et microsonde électronique.....	136
11.2.2.	Analyses au microscope électronique à balayage	136
11.3.	SECTEURS SENSIBLES ET PRECONISATIONS.....	140
12.	Commune d'Olmata-di-Capocorso.....	141
12.1.	DONNEES ACQUISES SUR LE TERRAIN.....	141
12.1.1.	Les serpentinites.....	141
12.1.2.	Les metabasaltes	142
12.1.3.	Les colluvions et les éboulis.....	143
12.2.	DONNEES ACQUISES EN LABORATOIRE.....	143
12.2.1.	143
12.2.2.	Analyses par microscopie électronique à balayage	143
12.3.	SECTEURS SENSIBLES ET PRECONISATIONS.....	147
13.	Commune de Farinole.....	148
13.1.	DONNEES ACQUISES SUR LE TERRAIN.....	149
13.1.1.	Les serpentinites.....	149
13.1.2.	Les métagabbros	149
13.1.3.	Les métasédiments	150
13.1.4.	L'écaille de Farinole – Monte Pinatelle	150
13.1.5.	Les colluvions et les éboulis.....	151
13.2.	DONNEES ACQUISES EN LABORATOIRE.....	152
13.2.1.	152
13.2.2.	Analyses par microscopie électronique à balayage	152
13.3.	SECTEURS SENSIBLES ET PRECONISATIONS.....	157

14. Bibliographie Erreur ! Signet non défini.

Liste des figures

Figure 1 : Carte des niveaux de susceptibilité de présence d'amiante en Haute-Corse (d'après Lahondère et al., 2010).....	17
Figure 2 : (d'après Lahondère et al., 2010).....	18
Figure 3 : Tableau des formations ophiolitiques et sédimentaires liguro-piémontaises.....	21
Figure 4 : Tableau des formations du complexe des écaïlles cristallines.....	22
Figure 5 : Tableau des formations post-nappes.....	22
Figure 6 : Tableau des formations superficielles quaternaires.....	23
Figure 7 : Tableau des formations anthropiques.....	23
Figure 8 : Emprise de la commune de Pino.....	25
Figure 9 : Talus de la D 180 entaillant des serpentinites très amiantifères (site 2BDL0174).	26
Figure 10 : Affleurements de serpentinites reconnus sur la commune de Pino.....	27
Figure 11 : Exemples d'affleurements de metabasaltes (a : point 2BDL1749 ; b : point 2BDL1751 ; c : point 2BDL1754 ; d : point 2BDL1766) ; e & f : Intercalations de metabasaltes à veines synfoliales à albite + actinolite (e : point 2BDDL1796 ; f : point 2BDL1797)).	29
Figure 12 : Niveau de quartzite à épidote et exemple d'occurrence fibreuse associée (2BDL1778).	29
Figure 13 : Images MEB et exemples de spectres obtenus à partir des fibres analysées (éch. 2BDL1746).....	31
Figure 14 : Images MEB et exemples de spectres obtenus à partir des particules de l'éch. 2BDL1775.....	32
Figure 15 : Images MEB et exemples de spectres obtenus à partir des particules de l'éch. 2BDL1778-B.....	33
Figure 16 : Images MEB et exemples de spectres obtenus à partir des particules de l'éch. 2BDL1778-C.....	34
Figure 17 : Images MEB et exemples de spectres obtenus à partir des fibres de l'échantillon 2BDL1797.....	35
Figure 18 : Images MEB et exemples de spectres obtenus à partir des fibres de l'échantillon 2BDL1802.....	36
Figure 19 : Images MEB et exemples de spectres obtenus à partir des particules de l'éch. 2BDL1899-A.....	37
Figure 20 :	38
Figure 21 :	39
Figure 22 :	40
Figure 23 :	41
Figure 24 : Emprise de la commune de Luri.....	43
Figure 25 : a & b 2BDL2079 ; c & d : 2BDL2080 ; e & f : 2BDL2084.....	45
Figure 26 : a & b : 2BDL2087.....	45

Figure 27 : a & b : 2BDL2018 ; c : 2BDL2082 ; d & e : 2BDL2085	46
Figure 28 : Affleurement de quartzites (a : 2BDL2088 ; b : 2BDL2089)	47
Figure 29 : Affleurements observés dans le talus de la D 80 et correspondant à des colluvions rougeâtres à éléments de serpentinites, de metabasites ophiolitiques et de métaquartzites (a : 2BDL2092 ; b : 2BDL2094).....	47
Figure 30 : Emprise de la commune de Barrettali.....	52
Figure 31 : Affleurements de serpentinites reconnus sur la commune de Barrettali.en bas = 2BDL2025.....	54
Figure 32 : Exemples d'occurrences fibreuses associées aux métagabbros (commune de Barrettali).En bas = 2BDL2024.....	55
Figure 33 : Exemples d'occurrences fibreuses associées aux metabasites (commune de Barrettali).	57
Figure 34 : Images MEB et exemples de spectres obtenus à partir des fibres de l'échantillon 2BDL1716-A.	61
Figure 35 : Images MEB et exemples de spectres obtenus à partir des fibres de l'échantillon 2BDL1716-B.	62
Figure 36 : Images MEB et exemples de spectres obtenus à partir des fibres l'échantillon 2BDL1733.	63
Figure 37 : Images MEB et exemples de spectres obtenus à partir des particules de l'éch. 2BDL1739-A.	64
Figure 38 : Images MEB et exemples de spectres obtenus à partir des fibres de l'échantillon 2BDL1739-B.	65
Figure 39 : Images MEB et exemples de spectres obtenus à partir des fibres de l'échantillon 2BDL1886.	66
Figure 40 : Images MEB et exemples de spectres obtenus à partir des particules de l'éch. 2BDL1889.	67
Figure 41 : Images MEB et exemples de spectres obtenus à partir des particules de l'éch. 2BDL1891.	68
Figure 42 : Images MEB et exemples de spectres obtenus à partir des particules de l'échantillon 2BDL1892.	69
Figure 43 : Images MEB et exemples de spectres obtenus à partir des particules de l'éch. 2BDL1894-B.	70
Figure 44 : Images MEB et exemples de spectres obtenus à partir des particules de l'éch. 2BDL1896-A.	71
Figure 45 : Images MEB et exemples de spectres obtenus à partir des particules de l'éch. 2BDL2024.	72
Figure 46 : Emprise de la commune de Cagnano.....	74
Figure 47 : Talus amiantifères observés le long de la piste située au-dessus du hameau de Carbonnace (a & b : point 2BDL2012 ; c & d : point 2BDL2013) et en bordure de la D80 (e & f : point 2BDL038).....	76
Figure 48 : Point 2BDL2292 : Alternance de métagabbros éclogitiques (a) et détail d'une veine à albite + actinolite observée dans des niveaux rétro-morphosés (b).	76
Figure 49 : a : 77	
Figure 50 : a : 2BDL2008 ; b : 2BDL2016	77
Figure 51 : 79	

Reconnaissance de zones naturelles amiantifères (Cap Corse)

Figure 52 : Notations utilisées sur les cartes géologiques à 1/50 000 de Luri, Saint-Florent et Bastia.	81
Figure 53 : Emprise de la commune de Canari.	81
Figure 54 : Exemples d'affleurements de serpentinites et occurrences fibreuses associées.	82
Figure 55 : Images MEB et exemples de spectres obtenus à partir des fibres de l'échantillon 2BDL1708.	87
Figure 56 : Images MEB et exemples de spectres obtenus à partir des fibres de l'échantillon 2BDL1709.	88
Figure 57 : Images MEB et exemples de spectres obtenus à partir des fibres de l'échantillon 2BDL1709-B.	89
Figure 58 : Images MEB et exemples de spectres obtenus à partir des fibres de l'échantillon 2BDL1709-C.	90
Figure 59 : Images MEB et exemples de spectres obtenus à partir des fibres de l'échantillon 2BDL1709-D.	91
Figure 60 : Images MEB et exemples de spectres obtenus à partir des particules de l'échantillon 2BDL1710.	92
Figure 61 : Images MEB et exemples de spectres obtenus à partir des fibres de l'échantillon 2BDL1727.	93
Figure 62 :	94
Figure 63 : Images MEB et exemples de spectres obtenus à partir des particules de l'éch. 2BDL1807(2).	95
Figure 64 : Images MEB des particules fibreuses correspondant à l'échantillon 2BDL1807-A.	96
Figure 65 : Images MEB des particules fibreuses correspondant à l'échantillon 2BDL1833.	97
Figure 66 : Images MEB des particules fibreuses correspondant à l'échantillon 2BDL1841.	98
Figure 67 : Notations utilisées sur les cartes géologiques à 1/50 000 de Luri et de Bastia.	100
Figure 68 : Emprise de la commune de Pietracorbara.	100
Figure 69 :	101
Figure 70 : a & b : 2BDL2000.	102
Figure 71 : a & b : 2BDL1998 ; c & d : 2BDL1999.	102
Figure 72 : Images MEB et exemples de spectres obtenus à partir des particules de l'éch. 2BDL1999.	104
Figure 73 : Images MEB et exemples de spectres obtenus à partir des particules de l'éch. 2BDL2000.	105
Figure 74 : Notations utilisées sur les cartes géologiques à 1/50 000 de Saint-Florent et de Bastia.	107
Figure 75 : Emprise de la commune d'Ogliastro.	107
Figure 76 : phos du bas = 2BDL1992.	109
Figure 77 : Affleurements de métagabbros ferro-titanés du secteur d'Albo (haut : point 2BDL1700 ; bas : point 2BDL1874).	110
Figure 78 : a & b : Contact entre des prasinites (bas) et des schistes carbonatés (haut) (2BDL1990).	110
Figure 79 : Images MEB des particules fibreuses correspondant à l'échantillon 2BDL1700.	115
Figure 80 : Images MEB des particules fibreuses correspondant à l'échantillon 2BDL1706.	116

Figure 81 : Images MEB des particules fibreuses correspondant à l'échantillon 2BDL1873. ...	117
Figure 82 : Images MEB et exemples de spectres obtenus à partir des fibres de l'échantillon 2BDL1874-B.	118
Figure 83 : Images MEB et exemples de spectres obtenus à partir des particules de l'éch. 2BDL1874-D.	119
Figure 84 : Images MEB des particules fibreuses correspondant à l'échantillon 2BDL1992-A.	120
Figure 85 : Images MEB des particules fibreuses correspondant à l'échantillon 2BDL1992-B.	121
Figure 86 : a & b : Secteur de San Michele (2BDL1986) ;	122
Figure 87 : Emprise de la commune de Sisco.	123
Figure 88 : Affleurements de serpentinites amiantifères (secteur du rocher de Pruberzulu).	124
Figure 89 : Emprise de la commune d'Olcani.	126
Figure 90 : Affleurements de serpentinites amiantifères et de schistes à actinolite recoupés par la piste de Bocca San Guivanni (a & b : 2BDL2207 ; c : 2BDL2208 ; d : 2BDL2210 ; e & f : 2BDL2217).	127
Figure 91 : a & b : 2BDL2223.	128
Figure 92 : 129	
Figure 93 : 130	
Figure 94 : Emprise de la commune de Nonza.	132
Figure 95 : Exemples d'affleurements de serpentinites (a & d : point 2BDL1978 ; e & f : point 2BDL1976).	133
Figure 96 : Affleurements de metabasaltes (2BDL1946)	134
Figure 97 : a & b : Métasédiments observés au pied de la falaise de Nonza (2BDL1924) ; c & d : Métacarbonates observés dans le secteur de la Chapelle Santa Maria (2BDL1934, 2BDL1936)	135
Figure 98 : b : Colluvions observés au-dessus de schistes prasinitiques (ancien couvent).	135
Figure 99 : Alluvions à éléments de métagabbros et de serpentinites noires (ruisseau de Violu).	136
Figure 100 : Exemples de structures fibreuses échantillonnées et analysées (a : 2BDL1906 ; b : 2BDL1916)	Erreur ! Signet non défini.
Figure 101 : Images MEB des particules fibreuses correspondant à l'échantillon 2BDL1906.	137
Figure 102 : Images MEB des particules fibreuses correspondant à l'échantillon 2BDL1916.	138
Figure 103 : Images MEB et exemples de spectres obtenus à partir des fibres de l'échantillon 2BDL1976.	139
Figure 104 : a & b : Talus de la D80 (2BDL1977) ; c & d : Talus de la D80 (2BDL1981) ;	140
Figure 105 : Emprise de la commune d'Ilmeta-di-Capocorso.	141
Figure 106 : Exemples d'affleurements de serpentinites (a & b : 2BDL1966 ; c & d : 2BDL1967 ; e & f : 2BDL1974).	142
Figure 107 : a : Contact entre des serpentinites (bas) et des metabasaltes (haut) (2BDL1958) ; b : Métabasaltes du Monte Stavu ;	143
Figure 108 : 143	
Figure 109 : Images MEB et exemples de spectres obtenus à partir des fibres de l'échantillon 2BDL1967.	144

Reconnaissance de zones naturelles amiantifères (Cap Corse)

Figure 110 : Images MEB et exemples de spectres obtenus à partir des fibres de l'échantillon 2BDL1974.	145
Figure 111 : Images MEB et exemples de spectres obtenus à partir des fibres de l'échantillon 2BDL1975.	146
Figure 112 : Emprise de la commune de Farinole.	148
Figure 113 : Exemples d'affleurements de serpentinites. a : Entrée de l'ancienne mine de magnétite (2BDL2044) ; b : Ancienne carrière (2BDL2052) ; c & d : Contact entre des métagabbros et des serpentinites amiantifères et occurrence fibreuse observée (2BDL2039) ;	149
Figure 114 : a : 2BDL2036 ; b : 2BDL2037	150
Figure 115 : a : 2BDL2046 ; b : 2BDL2047 ; c : 2BDL2054 ; d à f : 2BDL2255	151
Figure 116 : a : Contact entre des éboulis à blocs de serpentinites et de métagabbros et les formations miocènes (2BDL2026) ; b : Petit affleurement de serpentinites mylonitiques surmonté par des colluvions à éléments de métagabbros et de serpentinites (2BDL2059) ; c & d : Eboulis à fragments et blocs de serpentinites amiantifères entaillé par un ruisseau (2BDL2252).	152
Figure 117 : Images MEB des particules fibreuses correspondant à l'échantillon 2BDL2052.	155

Liste des annexes

Pour que la liste des annexes soit faite en automatique dans le sommaire, insérez vos titres d'annexes au fil de votre rapport comme suit : dans l'onglet « référence » « insérer une légende ». Choisir la mention « annexe » : « Annexe 1 » vous est proposée, puis « annexe 2 » etc. Complétez le titre de votre annexe, puis appliquez le style « annexe » au paragraphe.

Pour faire votre liste en automatique : dans l'onglet « références », « Insérer une table des illustrations », choisir l'étiquette « annexe » et valider

Annexe 1 - Titre de l'annexe 1	159
Annexe 2 - Titre de l'annexe 2	Erreur ! Signet non défini.

1. Contexte de l'étude

1.1. INTRODUCTION

Le département de la Haute-Corse présente la particularité de compter sur son territoire de nombreux affleurements de roches contenant ou susceptibles de contenir de l'amiante. Soumises à l'érosion naturelle et aux activités humaines, ces roches peuvent se désagréger et libérer dans l'air, d'une manière plus ou moins importante et rapide, les fibres d'amiante qu'elles renferment. Lorsque des fibres d'amiante sont mobilisables et présentes dans l'air, le risque sanitaire est posé.

Plusieurs travaux et recherches ont été effectués depuis 1997, dont certains à l'initiative de la DDASS, seule ou en partenariat avec l'Office de l'environnement de la Corse (OEC). Les travaux réalisés en 2009/2010 par le BRGM dans le cadre d'une convention entre le MEDDTL et le BRGM, ont conduit à la réalisation de cartes de l'aléa de présence d'amiante dans l'environnement naturel reproduites à l'échelle départementale (1/125 000) et cantonale (1/30 000) (Lahondère et al., 2010).

Dans le cadre d'un partenariat avec l'OEC (Office de l'Environnement de la Corse) et l'Agence Régionale de Santé de Haute-Corse (ARS-2B), le BRGM a réalisé une cartographie à l'échelle communale des zones amiantifères et potentiellement amiantifères situées sur les territoires des communes de Murato (2007), Corte (2010) et Bustanico (2010).

Un travail similaire a ensuite été réalisé en partenariat avec l'OEC et la DREAL Corse sur huit communes de la région du Grand Bastia (Lahondère et al., 2013) puis sur neuf communes du Nebbio (Gutierrez et al., 2016).

Ce projet est en adéquation avec l'objectif du Plan National Santé Environnement 3 (PNSE 3) concernant la prise en compte des expositions environnementales liées aux affleurements naturels amiantifères, objectif piloté par la Direction générale de la prévention des risques.

Il s'inscrit également dans les recommandations de l'ANSES (2010) qui préconisent l'acquisition de cartographies détaillées destinées à identifier les zones amiantifères, afin de réduire les expositions liées aux affleurements naturels d'amiante.

La prévention du risque comporte un volet d'amélioration des connaissances sanitaires et environnementales, ainsi qu'une évaluation de l'exposition aux fibres d'amiante.

La réalisation de cet objectif passe en particulier par une réduction des expositions à l'amiante présent dans l'environnement naturel, ce qui requiert la mise en œuvre d'actions appropriées et proportionnées résultant notamment de la nature des différents modes d'exposition :

- a) L'exposition « passive » : elle peut être dénommée ainsi parce qu'elle ne résulte pas nécessairement d'une action anthropique sur les zones amiantifères. L'expérience montre qu'elle peut être quasi permanente au sein d'une même agglomération, en extérieur et à l'intérieur de l'habitat ;
- b) L'exposition « active » : elle résulte d'une contrainte portée sur une zone amiantifère et s'exerce à sa proximité. Elle est souvent limitée dans l'espace et dans le temps, mais l'action conjuguée et régulière de plusieurs contraintes peut toutefois contribuer à l'exposition passive d'une agglomération.
- c) L'exposition liée aux chantiers : elle ne se produit que si des mesures de protection des personnels ne sont pas prises ou sont inefficaces. Elle concerne avant tout les personnels, mais

peut s'étendre au voisinage et conduire à une pollution environnementale durable, en particulier par les déblais amiantifères extraits ou par le défaut de confinement des découvertes en fin de chantier qui alimente l'exposition passive en zone urbaine ou périurbaine.

Il importe donc de permettre aux maires de faire prendre des dispositions de confinement destinées à réduire l'exposition passive et/ou active de la population.

À cette fin, l'amélioration de la connaissance de l'aléa « amiante naturel » est essentielle et doit en conséquence être conduite dans les meilleurs délais.

VERSION PROVISOIRE

Reconnaissance de zones naturelles amiantifères (Cap Corse)

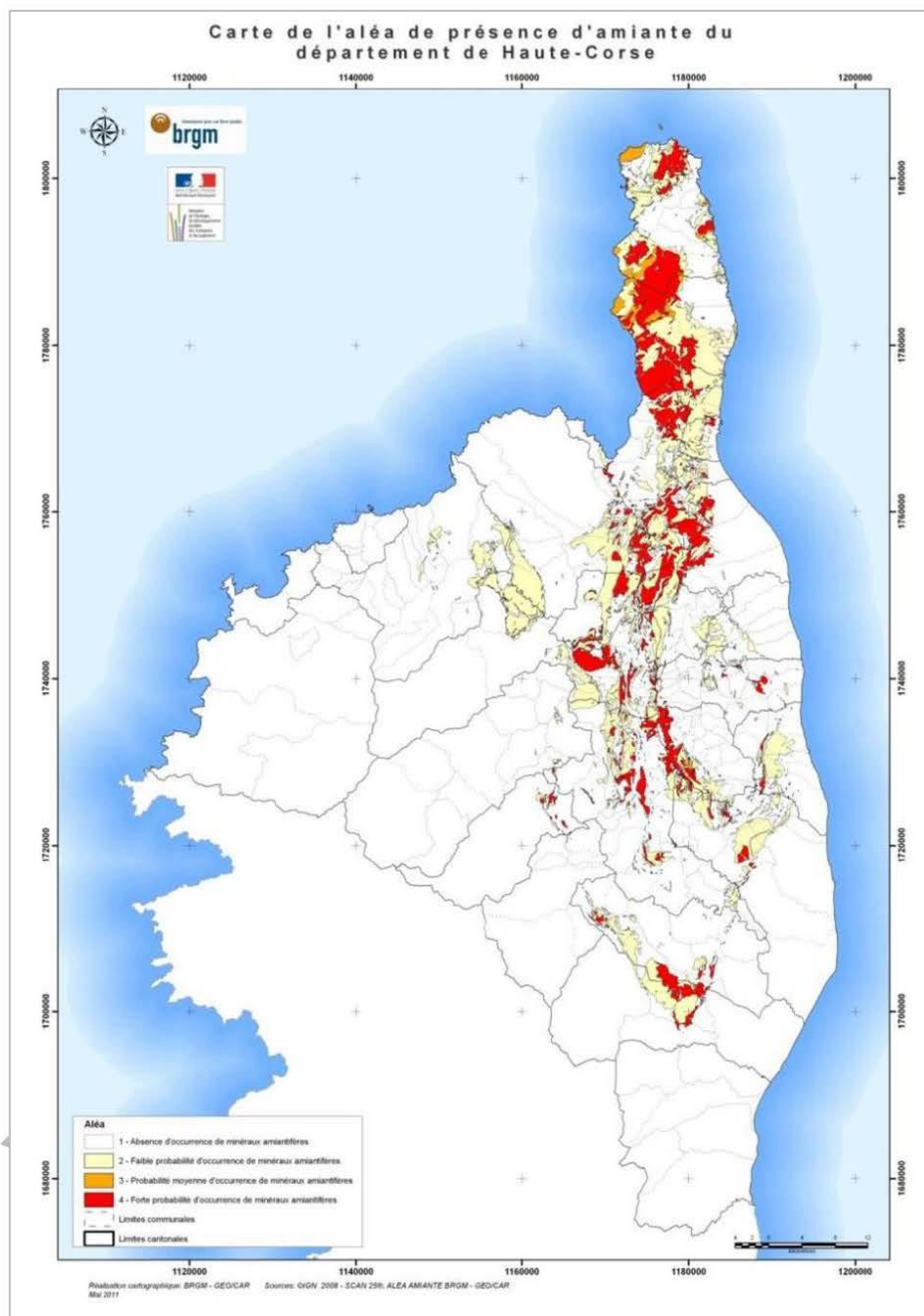


Figure 1 : Carte des niveaux de susceptibilité de présence d'amiante en Haute-Corse (d'après Lahondère et al., 2010).

1.2. OBJECTIFS ET METHODOLOGIE SUIVIE

L'étude globale porte sur 25 communes, localisées dans deux secteurs distincts :

- Secteur 1 : Ponte-Leccia (13 communes) : Castineta, Morosaglia, Valle di Rostino, Castello di Rostino, Canavaggia, Bisinchi, Campile, Lento, Bigorno, Campitello, Volpajola, Scolca, Vignale.

- Secteur 2 : Cap-Corse (12 communes) : Pino, Barrettali, Canari, Ogliastro, Olcani, Nonza, Olmeta di Capocorso, Farinole, Luri, Cagnano, Pietracorbara, Sisco.

Le présent rapport est relatif aux seules communes du secteur 2.

Nom de la commune	Numéro de la commune	Population	Superficie (en ha)	Superficie d'aléa 3 (en ha)	Superficie d'aléa 4 (en ha)	Superficies d'aléa 3 et 4 cumulées (en ha)	Tous bâtis situés à moins de X.m d'une surface d'aléa 3 ou 4		
							X = 50	X = 250	X = 1000
OLMETA-DI-CAPOCORSO	2B187	131	2 164	0	1 679	1 679	114	115	115
BARRETTALI	2B030	159	1 844	402	940	1 342	107	193	205
CANARI	2B058	330	1 695	459	715	1 174	101	188	285
LURI	2B152	727	2 775	79	785	864	6	32	264
OGLIASTRO	2B183	108	957	202	591	793	58	73	73
FARINOLE	2B109	219	1 491	0	634	634	32	101	155
NONZA	2B178	73	853	36	451	487	18	64	64
PIETRACORBARA	2B224	552	2 631	69	402	471	0	0	122
OLCANI	2B184	58	1 441	131	328	459	4	11	55
PINO	2B233	177	730	5	186	191	1	7	127
CAGNANO	2B046	200	1 487	21	140	160	0	0	91
SISCO	2B281	937	2 497	88	46	134	18	68	276
Total :			20 565	1 491	6 897	8 388	459	852	1 832

Figure 2 : (d'après Lahondère et al., 2010)

L'objectif de cette étude est de fournir des éléments cartographiques précis (à l'échelle 1/5 000) concernant la probabilité de présence d'amiante dans l'environnement naturel. Ces documents cartographiques à l'échelle 1/5 000 concernent des zones à enjeux (ZIP : Zones d'investigation prioritaire) dont le nombre et les contours ont été définis en concertation avec le comité de pilotage.

Ces cartographies à l'échelle 1/5 000 doivent permettre de préciser les niveaux de susceptibilité de présence d'amiante dans l'environnement naturel (NSPA) à prendre en considération pour anticiper et optimiser la préparation des chantiers intéressant des terrains amiantifères.

Ces cartographies doivent également conduire à la localisation des principales zones au niveau desquelles des roches amiantifères présentes à l'affleurement sont susceptibles de constituer des sources d'émission de fibres dans l'air.

Les zones à enjeux étudiées ont préalablement été définies en concertation avec le comité de pilotage. Ces zones d'investigation prioritaires (ZIP) couvrent en particulier les zones en cours d'urbanisation ou destinées à la construction. Les investigations ont également été étendues aux carrières, aux axes routiers ainsi qu'aux principaux chemins et sentiers ouverts au public.

Phase 1 : La première phase du projet a consisté à préparer les documents cartographiques préalables. Les limites des formations géologiques extraites de la carte géologique harmonisée à 1/50 000 du département de la Haute-Corse ont été projetées sur ces documents ainsi que sur les images issues de la base BDORTHO correspondantes aux territoires des douze communes étudiées.

Les zones d'investigation prioritaires (ZIP) ont été définies sous la forme d'une couche SIG de polygones géoréférencés.

La méthodologie proposée pour la définition des ZIP suit le protocole présenté sur la Figure 2. Elle permet de définir et de hiérarchiser les secteurs à étudier. Les données qui ont été croisées concernent :

- Les surfaces des documents d'urbanisme (Figure 3) telles que le Plan Local d'Urbanisme (PLU), le Plan d'occupation des sols (POS), la Carte communale (CC) ou les règles d'urbanisme par défaut (RNU) ;
- Les tâches urbaines ;
- Les linéaires de transports (voiries, ...) qui représentent un enjeu permanent ;
- Les linéaires enterrés (eau, électricité, gaz, télécom,) qui représentent un enjeu uniquement en phase de travaux.

Ces différentes surfaces et linéaires sont hiérarchisés sous format SIG. Ils seront croisés avec les polygones issus de la cartographie de l'aléa amiante environnemental départementale à l'échelle 1/50 000 afin de définir des zones prioritaires (ZIP).

Phase 2 : Cette phase a pour but de caractériser la géologie de tous les secteurs préalablement définis (ZIP et linéaires routiers) et de déterminer le niveau de susceptibilité de présence d'amiante dans ces zones. Les géologues ont identifié les zones dénudées amiantifères, prélevé des échantillons à des fins analytiques et pris des photographies des principaux affleurements reconnus. Une attention particulière a été apportée à l'étude des zones dans lesquelles affleurent des roches pour lesquelles des niveaux de susceptibilité de présence d'amiante intermédiaires (« 2 : Faible probabilité d'occurrence de minéraux amiantifères » ; « 3 : Probabilité moyenne d'occurrence de minéraux amiantifères ») ont été préalablement proposés (Lahondère et *al.*, 2010).

Tous les échantillons prélevés ont été analysés dans les laboratoires du BRGM à Orléans. La détermination de (ou des) amiante(s) présent(s) a été réalisée par l'intermédiaire d'analyses par microscopie électronique (MEB, MET). Les matériels utilisés correspondent à un MEB JEOL JSM-6100 (HV=25 kV) couplé à un spectromètre EDS NORAN QUEST et à un MET PHILIPS CM20 (HV=200kV) couplé à un spectromètre EDS EDAX GENESIS. Certains échantillons ont également fait l'objet d'analyses par spectroscopie RAMAN, cet outil analytique étant le seul à même de contrôler l'existence éventuelle de serpentines fibreuses différentes du chrysotile (antigorite-amiante).

Enfin, plusieurs échantillons ont fait l'objet d'études par microscopie optique, éventuellement complétées par des analyses minéralogiques ponctuelles à l'aide d'une microsonde électronique.

Phase 3 : L'analyse des données recueillies dans le cadre de la phase 2 et la prise en compte des résultats analytiques ont conduit à l'établissement, pour chacune des ZIP étudiées, d'une carte de susceptibilité de présence d'amiante dans l'environnement naturel, à l'échelle 1/5 000^e. Sur ces cartes ont également été reportés les points expertisés ainsi que les limites des secteurs n'ayant pas fait l'objet d'investigation du fait de leur inaccessibilité (topographie escarpée, zones de broussailles, propriétés privées et/ou clôturées, etc.). Ces secteurs correspondent donc à des zones dans lesquelles les informations sont aujourd'hui insuffisantes (zones insuffisamment documentées). Les linéaires routiers expertisés ont également fait l'objet d'une cartographie.

Les contours et les limites géologiques représentés sur ces cartes des ZIP ont été projetés sur les images correspondantes issues de la base BDTPO de l'IGN. Ces contours et limites sont également restitués sous la forme de couches SIG (ArcGis).

Deux réunions ont été organisées par l'OEC, la DREAL et par le BRGM, auxquelles ont participé les membres du comité de pilotage :

- une première réunion de lancement, dont l'objectif a été d'expliquer la démarche suivie, de valider le choix des zones à cartographier (ZIP) et de présenter un chronogramme d'intervention ;
- une deuxième réunion, organisée en fin d'étude, dont l'objectif a été de présenter l'ensemble des conclusions techniques du travail.

1.3. GEOLOGIE DES TERRITOIRES ETUDIÉS

Dans le département de la Haute-Corse, plusieurs grands domaines géologiques ont été préalablement identifiés. Ces grands domaines correspondent à : i) un domaine structuré à la fin des temps paléozoïques, largement affleurant dans la partie occidentale du département et qualifié de « domaine granitique » ou de « domaine hercynien », ii) un domaine constitué par un empilement tectonique d'unités géologiques très variées, pour certaines d'origine océanique, structuré au cours de l'orogénèse alpine et largement affleurant dans la partie orientale du département, qualifié de « domaine schisteux » ou de « domaine alpin » un domaine constitué pour l'essentiel de formations sédimentaires récentes (Néogène), non métamorphiques.

Dans l'emprise des territoires étudiés, les formations géologiques correspondent pour l'essentiel à des unités allochtones du domaine alpin. Ce domaine géologique résulte d'une histoire complexe qui s'étale sur plusieurs dizaines de millions d'années et qui a vu, dans un premier temps, l'ouverture d'un domaine océanique, associée à la mise à l'affleurement de roches ultrabasiques (péridotites ± serpentinisées) et à la formation d'une croûte ophiolitique constituée de gabbros et de basaltes. Cette phase d'accrétion a été suivie par la disparition de ces roches océaniques, entraînées au niveau de zones de subduction dans les parties profondes de la lithosphère. Une partie de ces formations océaniques a échappé à cet enfouissement et a été exhumée, venant s'accoler contre et parfois se superposer sur un domaine géologique plus ancien. Ce domaine « ancien » affleure actuellement dans les parties sud et ouest de l'île et correspond à la Corse dite « granitique » ou « hercynienne ». Les roches issues du domaine océanique affleurent dans les parties nord et nord orientale de l'île et constituent la Corse dite « schisteuse » ou « alpine ».

La Corse alpine est constituée par un empilement tectonique d'unités contenant des roches très variées. Certaines de ces unités sont constituées par d'anciens sédiments ou par d'anciens granites hercyniens, les autres par des péridotites plus ou moins serpentinisées et associées ou non à des gabbros et à des basaltes métamorphisés (Lahondère, 1996). La plupart des limites qui séparent ces unités sont tectoniques et peuvent être soulignées par des affleurements discontinus de serpentinites qui, du fait notamment de leurs caractères rhéologiques, ont joué un rôle de « lubrifiant » dans l'édification de la Corse alpine.

1.3.1. Les formations ophiolitiques et sédimentaires liguro-piémontaises

Des massifs très importants de péridotites ± serpentinisées et de serpentinites affleurent au niveau de la retombée occidentale du Cap Corse. Ces massifs appartiennent à différentes unités géologiques qui ont toutes subi une évolution tectonique et métamorphique de type HP-BT. Les serpentinites sont associées d'un point de vue cartographique à des massifs plus ou moins importants de gabbros ophiolitiques alumino-magnésiens (euphotides) ou ferro-titanés. Parmi les faciès également présents dans la zone d'étude se trouvent d'anciens basaltes ophiolitiques, métamorphisés dans les conditions du faciès des schistes verts. Toutes ces roches sont susceptibles, du fait de leur chimisme et de l'évolution tectono-métamorphique qu'elles ont subie, d'être amiantifères, c'est à dire de renfermer des minéraux silicatés fibreux (amphiboles de type actinolite et trémolite notamment, serpentine de type chrysotile). Cette probabilité est très forte pour les péridotites serpentinisées, importante pour les gabbros magnésiens et plus faible, hors contexte structural particulier, pour les termes basaltiques. Pour les unités à matériel sédimentaire ou granitique, la probabilité de la présence de minéraux amiantifères est plus faible, voire nulle en dehors d'un contexte structural particulier (zones à très forte déformation).

Complexe ophiolitique liguro-piémontais		
Complexe ophiolitique	60	Complexe ophiolitique indifférencié
	600	Filons trondhjémiques, plagiogranites
	601	Trondhjémites et basaltes indifférenciés
	602	Filons basaltiques
	603	Laves massives et brèches ophiolitiques
	604	Métabasaltes, prasinites, schistes prasinitiques
	605	Métabasaltes et métagabbros indifférenciés
	606	Méta-ferrogabbros
	607	Métagabbros euphotides, troctolites, gabbros à olivine
	608	Métagabbros indifférenciés
	609	Métagabbros chromifères
Couverture sédimentaire supra-ophiolitique	610	Péridotites ± serpentinisées (Monte Maggiore)
	611	Serpentinites, talcschistes à trémolite, chlorotoschistes à magnétite
	62	Unités sédimentaires supra-ophiolitiques indifférenciées
	620	Schistes quartzeux noirs
	621	Alternance de schistes et calcaires
	622	Calcaires massifs, calcaires et schistes
	623	Marbres, calcaires marmoréens
	624	Quartzites (métraradiolarites p.p.)
	625	Jaspes à radiolaires
	626	Ophicalcites

Figure 3 : Tableau des formations ophiolitiques et sédimentaires liguro-piémontaises.

1.3.2. Les formations gneissiques

Au niveau de la zone d'étude, des formations gneissiques affleurent au niveau et à l'Est du village de Farinole, entre le hameau de Bracolaccia et le Monte Pinatelle. Sur la carte géologique à 1/50 000e de Bastia (Lahondère et al., 1981), ces formations gneissiques sont rattachées à différentes formations correspondant en particulier :

- à des gneiss indifférenciés (notés ζ3 sur la carte) ;
- à des gneiss indifférenciés associés à des calcschistes (notés ζ3-S8 sur la carte) ;
- à des métagabbros granitisés (notés δθγ sur la carte) ;
- à des métagabbros à filons de leptynites (notés δθλ sur la carte).

Les gneiss indifférenciés (ζ3) affleurent sur le territoire de la commune de Patrimonio et, dans une moindre mesure, sur celui de la commune de Barbaggio. Il s'agit de gneiss leucocrates toujours très déformés, à débit en feuillets. Les affleurements les plus intéressants ont été reconnus sur la commune de Patrimonio, entre les secteurs de Calvello au nord (cimetière) et de Puccinasca au sud. Ces gneiss leucocrates apparaissent très clairement orthodérivés (anciens monzogranites ?) et renferment localement des passées basiques bleutées transposées dans la foliation (anciens filons ou anciennes enclaves).

Les gneiss indifférenciés associés à des calcschistes (ζ3-S8) forment plusieurs barres rocheuses englobées dans les serpentinites de la Cima di Malaspina, à cheval sur les territoires des communes de Patrimonio et de Barbaggio.

Les métagabbros granitisés (δθγ) correspondent d'après la notice de la carte géologique à 1/50 000^e de Bastia à une formation constituée de gabbros et de granites hercyniens, plus ou moins affectée par les déformations et les recristallisations associées à la tectonique alpine. Dans les contreforts sud-orientaux du massif de la Serra di Pigno, des métagabbros alumino-magnésiens amiantifères ont récemment été décrits (Lahondère et al., 2014). Les observations réalisées dans le cadre de la

présente étude ont conduit à l'identification de plusieurs faciès dans ce massif incluant des métagabbros ferro-titanés, des faciès plus ou moins déformés de nature granodioritique et leucogranitique, ces derniers localement riches en enclaves basiques, des filons basiques (dolérites s.l.) et des enclaves ultrabasiques nettement subordonnées (métapyroxénites).

Complexe des écaïlles cristallines	
Ecaïlles de Serra-di-Pigno - Olivaccio	65 Ecaïlle de Farinole - Monte-Pinatelle
	66 Ecaïlles de Serra-di-Pigno - Olivaccio indifférenciées
	660 Cipolins et quartzites
	661 Cipolins, calcschistes, gneiss albitiques
	662 Orthogneiss de Serra-di-Pigno - Olivaccio indifférenciés
	663 Orthogneiss et metabasites de Patrimonio
	664 Orthogneiss et metabasites de Barbaggio
	665 Orthogneiss et metabasites d'Olivaccio - Poggio d'Oletta
	666 Métadiorites quartziques
	667 Métagranites et métagabbros indifférenciés
	668 Métagabbros (± metabasaltes), localement schistes à trémolite
669 Métapyroxénites	
	67 Ecaïlle d'Olmata-di-Tuda
	68 Ecaïlles du Zucarello - Campitello
	69 Ecaïlle de Centuri

Figure 4 : Tableau des formations du complexe des écaïlles cristallines.

1.3.3. Les formations post-nappes

Les formations post-nappes correspondent essentiellement à des séries sédimentaires déposées après la mise en place des nappes ophiolitiques mais avant la formation des derniers reliefs alpins, dans un bassin marin peu profond. Elles sont principalement constituées de calcaires, de calcaires gréseux et de grès. À cet ensemble de formations post-nappes est également rattachée l'affleurement de lamprophyre hyperalcalin potassique de Sisco.

Dans la zone d'étude, les formations post-nappes affleurent uniquement dans la partie occidentale du territoire de la commune de Farinole (30 ; Figure 5) et au sud-ouest de la Marine de Sisco (34 ; Figure 5).

Formations post-nappes	
30	Formations miocènes de Saint-Florent
31	Formations miocènes de la plaine orientale
32	Formations miocènes de Francardo
33	Formations miocènes de Corte
34	Lamprophyre hyperalcalin potassique de Sisco
35	Formations pliocènes de la plaine orientale

Figure 5 : Tableau des formations post-nappes.

1.3.4. Les formations superficielles quaternaires

Formations superficielles (Quaternaire)	
10	Tourbières
11	Travertins
12	Dunes éoliennes, sables et grès dunaires, cordons littoraux actuels à subactuels
13	Dépôts laguno-marins argilo-sableux
14	Colluvions indifférenciés
15	Eboulis indifférenciés
16	Alluvions fluviatiles indifférenciées
17	Alluvions fluviatiles et torrentielles indifférenciées
18	Alluvions torrentielles indifférenciées
19	Colluvions et alluvions indifférenciés
20	Dépôts fluvio-glaciaires indifférenciés
21	Dépôts glaciaires indifférenciés

Figure 6 : Tableau des formations superficielles quaternaires.

Il s'agit principalement d'éboulis souvent de très grande taille, rencontrés en pied de talus, le long des talwegs à forte pente ou sous forme de dépôts démantelés résiduels sur des glaciés de pente. On observe également des colluvions de granulométrie plus fine, constituées de limons à blocs, rencontrées sur les glaciés de pente plus faibles et dans le fond de talwegs, en amont des réseaux hydrographiques.

Les alluvions correspondent aux sédiments transportés et déposés par les cours d'eau. Sur le secteur d'étude ont été préalablement différenciées :

- Les alluvions actuelles, constituées de blocs décimétriques à matrice sableuse à silteuse (avec très peu d'argile), de teinte grise non oxydée. Localement, des dépôts fins tourbeux sont présents, notamment en bordure du littoral (lorsqu'un petit cours d'eau est barré par des levées de plages).
- Les très basses terrasses alluviales, très similaires aux alluvions actuelles, se sont déposées de part et d'autre du lit majeur.
- Les basses, moyennes et hautes terrasses sont caractérisées par des séries oxydées (de couleur brun-jaune à rouge), à blocs pouvant être très gros (jusqu'à 50 cm) et à matrice sableuse ou argileuse. Les galets sont plus ou moins altérés en fonction de leur nature et de l'âge de la terrasse. Les terrasses sont présentes sur les bordures des cours d'eau ou étagées sur les reliefs.

1.3.5. Les formations anthropiques

Formations anthropiques	
1	Remblais
2	Terrils d'exploitation
3	Epandage de haldes

Figure 7 : Tableau des formations anthropiques.

1.4. TRAVAUX REALISES

Les travaux réalisés sont présentés ci-après, commune après commune.

L'ordre de présentation retenu est le suivant : Pino, Barrettali, Canari, Ogliastro, Olcani, Nonza, Olmeta di Capocorso, Farinole, Luri, Cagnano, Pietracorbara, Sisco.

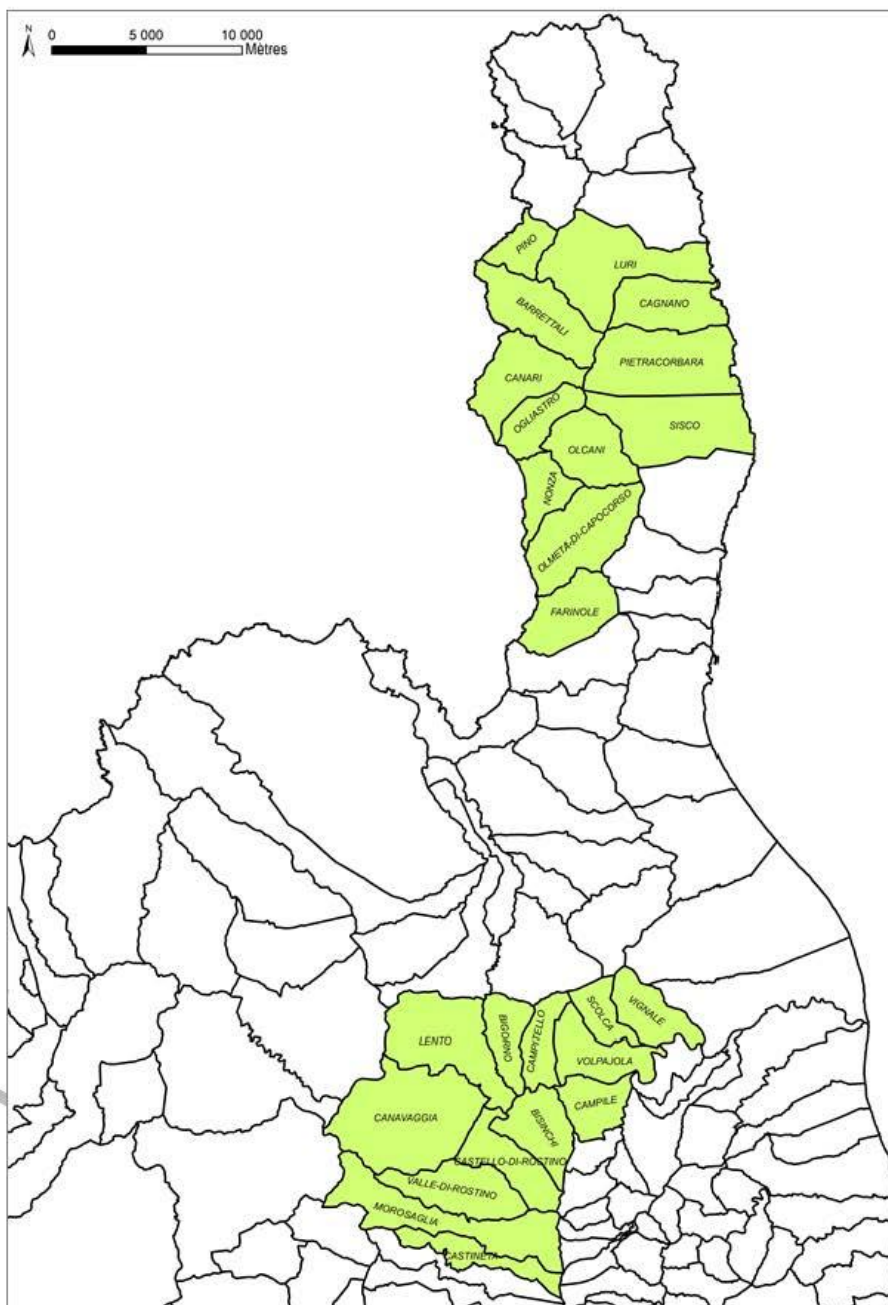


Figure 8 : Localisation des communes étudiées dans les secteurs du Cap Corse et de Ponte Leccia.

2. Commune de Pino

Plusieurs unités géologiques affleurent dans l'emprise du territoire de la commune de Pino. Ces unités correspondent (Lahondère et al., 1992) :

- à des serpentinites (notées Λ sur la carte géologique de Luri à 1/50 000) ;
- à des métagabbros (notés $\delta\theta$ sur la carte géologique de Luri à 1/50 000) ;
- à des prasinites (notées δ^{11} sur la carte géologique de Luri à 1/50 000) ;
- à des quartzites micacés (notés Xm sur la carte géologique de Luri à 1/50 000) ;
- à des schistes et à des calcschistes (notés ξ^1-S^8 sur la carte géologique de Luri à 1/50 000).

Des éboulis occupent également des surfaces relativement importantes au dessus du village de Pino.

Sur la commune de Pino, les travaux réalisés ont porté principalement sur :

- les talus de la D80 entre le ravin de Mare Morto au sud au secteur d'Algajo au nord ;
- les talus de la D33 entre Punta di Piestroni au sud et le croisement avec la D 180 ;
- les talus de la D180 entre le col de Santa Lucia à l'est et le croisement avec la D 80 à l'ouest ;
- les talus de la route d'accès à la Marine de Scalo ;
- les talus de la route d'accès aux réservoirs ;
- les talus de la route d'accès à u Cuventu (Tour de Sénèque) ;
- l'emprise de la tâche urbaine correspondant au village de Pino et à la Marine de Scalo.

Des informations ont également été acquises dans le secteur de la Tour de Sénèque.



Figure 9 : Emprise de la commune de Pino.

2.1. DONNEES ACQUISES SUR LE TERRAIN

2.1.1. Les serpentinites

D'après les données de la carte géologique à l'échelle 1/50 000 de Luri, les serpentinites affleurent principalement dans la moitié sud-orientale du territoire communal et sont recoupées par la D180, au-dessus de Pino. Ces serpentinites, très amiantifères, ont préalablement été reconnues dans le talus de la D180 (2BDL0173, 2BDL0174 ; Lahondère et al., 2010) (Figure 10). Ces serpentinites constituent une bande de terrains qui est également recoupée par le sentier qui mène à la Tour de Sénèque (2BDL2260).



Figure 10 : Talus de la D 180 entaillant des serpentinites très amiantifères (site 2BDL0174).

Dans la partie inférieure de la route qui mène à la marine de Scalo, des travaux récents d'élargissement de la chaussée ont entaillé plusieurs affleurements de serpentinites riches en occurrences fibreuses (2BDL1769, 2BDL1770, 2BDL1774 à 2BDL1776 ; Figure 11b). Ces mêmes serpentinites ont également été reconnues à l'affleurement le long de la côte, immédiatement au sud de l'ancienne tour génoise (2BDL1778 à 2BDL1780 ; Figure 11c), où elles sont recoupées par des veines fibreuses sub-verticales orientées N015, d'épaisseur plurimillimétrique à pluricentimétrique (Figure 11d). La coupe du rivage montre que ces serpentinites sont en contact avec des schistes, sous lesquels elles disparaissent, et que ces schistes - épais de quelques mètres seulement - sont surmontés par des metabasaltes.

Un nouvel affleurement de serpentinites a également été reconnu dans le talus de la D33, à la sortie sud de Pino (2BDL1746 ; Figure 11a). En ce point, les serpentinites surmontent des schistes à niveaux de calcaires marmoréens. Il apparaît probable que cet affleurement se raccorde d'un point de vue cartographique aux affleurements identifiés dans le secteur de la marine de Scalo. Les contrôles réalisés le long de la D80 n'ont toutefois pas permis de s'en assurer en raison de l'importance des éboulis à cet endroit.

Un autre affleurement de serpentinites a été identifié dans le centre du village, dans le talus de la D80 (2BDL1900) où il est en partie masqué par des constructions. Ces serpentinites surmontent également en ce point des schistes à niveaux de calcaires marmoréens, lesquels surmontent à leur tour les metabasaltes de l'écaille de Pino.

Enfin, un nouvel affleurement a été identifié dans le talus de la D80, en direction de Centuri (2BDL1802 ; Figure 11e,f). Cet affleurement peut correspondre à des serpentinites cataclastiques plus ou moins glissées et/ou à des colluvions à éléments de serpentinites. Compte-tenu de la présence de fragments hétérométriques de métagabbros et de metabasaltes, l'hypothèse des

colluvions est ici privilégiée. Cet affleurement est particulièrement riche en amas fibreux très clairement de nature amiantifère (Figure 11f).



Figure 11 : Exemples d'affleurements de serpentinites reconnus sur la commune de Pino.

2.1.2. Les métagabbros

Dans l'emprise du territoire investigué, les métagabbros ne couvrent que des surfaces très marginales. Des affleurements de métagabbros ultramylonitiques feuilletés, associés à des serpentinites, ont été identifiés dans le talus de la D80, au nord de Pino (2BDL1802). Des faciès de métagabbros très écrasés ont également été observés dans le talus de la route d'accès à u Cuventu (Tour de Sénèque) (2BDL2263).

2.1.3. Les metabasites

Les metabasites affleurent très largement dans la moitié nord-occidentale du territoire communal. Les talus de la D80 et de la D33 permettent en particulier d'observer ces metabasites dans de très bonnes conditions. Des intercalations de metabasites sont également signalées dans les schistes recoupés par la D80 au nord de Pino.

Les metabasites correspondent le plus souvent à des prasinites ou à des faciès à amphibole bleue (glaucophanites à épidote). Les observations réalisées ont conduit à l'identification de plusieurs occurrences fibreuses dans ces metabasites, ce qui conforte les données acquises sur la commune voisine de Barretali à partir de ces mêmes metabasites. Des occurrences fibreuses ont notamment été identifiées dans les metabasites recoupés par la D80 au nord de Pino (Figure 12e, f).

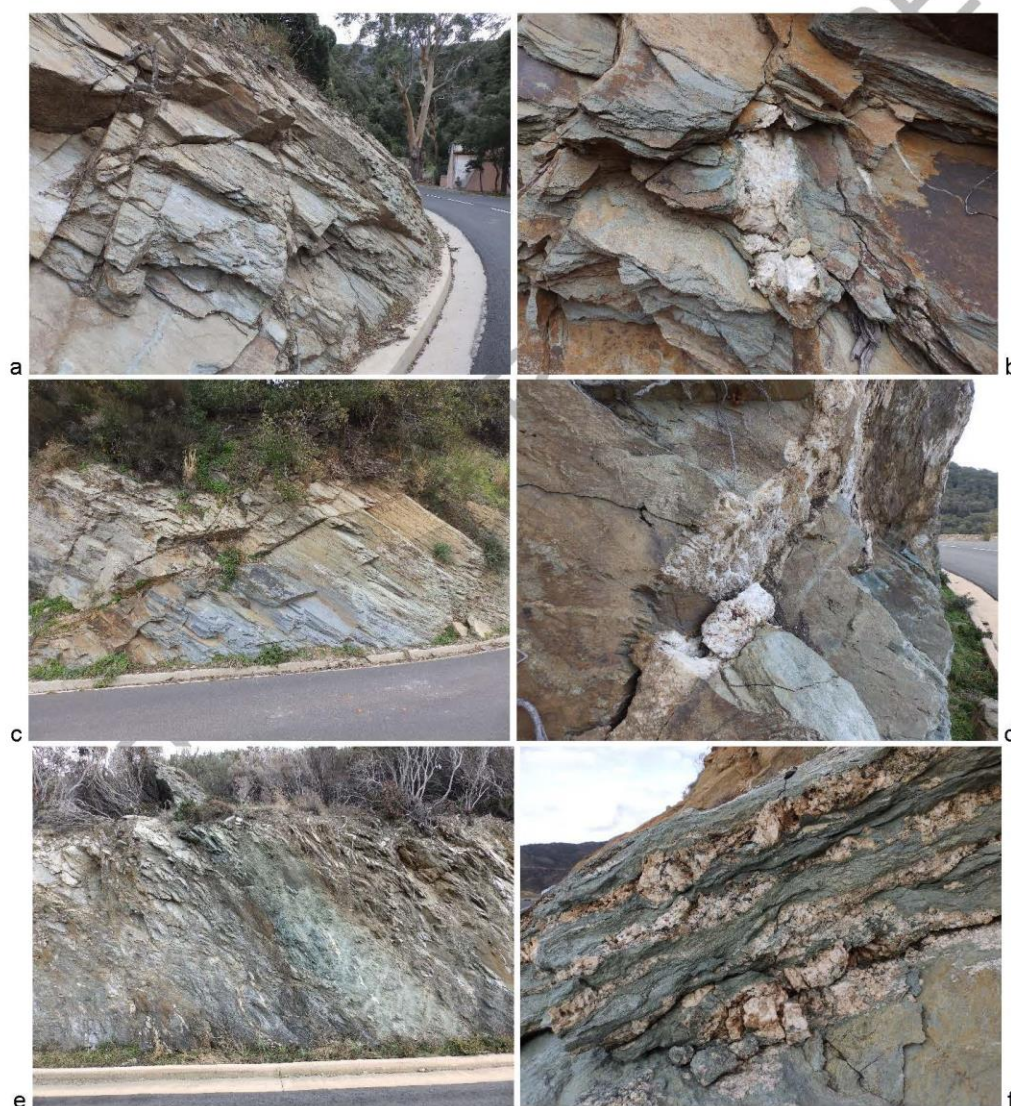


Figure 12 : Exemples d'affleurements de metabasaltes (a : point 2BDL1749 ; b : point 2BDL1751 ; c : point 2BDL1754 ; d : point 2BDL1766) ; e & f : Intercalations de metabasaltes à veines synfoliales à albite + actinolite (e : point 2BDDL1796 ; f : point 2BDL1797)).

2.1.4. Les quartzites micacés

Un niveau de quartzites micacés est signalé sur la carte géologique à l'échelle 1/50 000 de Luri, au sud-ouest de Pino. Ce niveau a été reconnu dans le cadre de cette étude, dans le talus de la D80 (2BDL ???).

Un autre affleurement a été observé le long de la plage, immédiatement au sud de la marine de Scalo. Ce niveau, peu épais (< 1 m), souligne un contact entre des serpentinites riches en amiante et des schistes (Figure 11c ; ci-dessous). Des occurrences fibreuses correspondant à des veines constituées par de longues fibres bleues sont associées à ce niveau de quartzites.



Figure 13 : Niveau de quartzite à épidote et exemple d'occurrence fibreuse associée (2BDL1778).

2.1.5. Les schistes et les calcschistes

Des schistes et des calcschistes ont été observés en plusieurs points dans l'emprise du territoire investigué. Cette formation affleure en particulier dans la ZIP de Pino et dans les talus de la D80 et de la D180.

Au sein de la ZIP de Pino, les schistes et les calcschistes surmontent les metabasaltes. Le contact entre ces deux formations est visible au niveau des points 2BDL1756 et 2BDL1764. Des affleurements de schistes et de calcschistes ont également été identifiés dans la marine de Scalo (2BDL1782 à 2BDL1785, 2BDL1787), localement recouverts par des colluvions à éléments de serpentinites.

2.1.6. Les éboulis et les colluvions

Des colluvions et des éboulis ont été observés en différents points du territoire investigué et semblent couvrir des surfaces importantes au sein même de la tâche urbaine de Pino (Figure 14). La présence régulière d'éléments de serpentinites dans ces colluvions conduit à les considérer comme des formations amiantifères.



Figure 14 : Affleurement de schistes surmonté par plusieurs mètres de colluvions terreuses à éléments de serpentinites (Marine de Scalo ; point 2BDL1784).

2.2. DONNEES ACQUISES EN LABORATOIRE

2.2.1. Analyses par microscopie optique et microsonde électronique

Échantillon 2BDL2264

Analyse en cours. L'échantillon 2BDL2264 a été prélevé dans le talus de la route d'U Cuventu (Tour de Sénèque) et correspond à une roche basique très écrasée, possiblement à talc (métagabbro mylonitique).

2.2.2. Analyses par microscopie électronique à balayage

Échantillon 2BDL1746

L'échantillon 2BDL1746 a été prélevé dans le talus de la D33, au sud de Pino, dans un niveau de serpentinites très déformées surmontant des schistes à niveaux de cipolins (Figure 11a). Il correspond à des fibres isolées prélevées directement dans le talus. Les images acquises au microscope électronique à balayage confirment le caractère uniquement fibreux de cet échantillon. Les fibres observées possèdent toutes les caractéristiques morphologiques des fibres asbestiformes. Les spectres EDS enregistrés sont cohérents avec la nature probable de ces fibres (amphiboles calciques de type trémolite ; Figure 15).

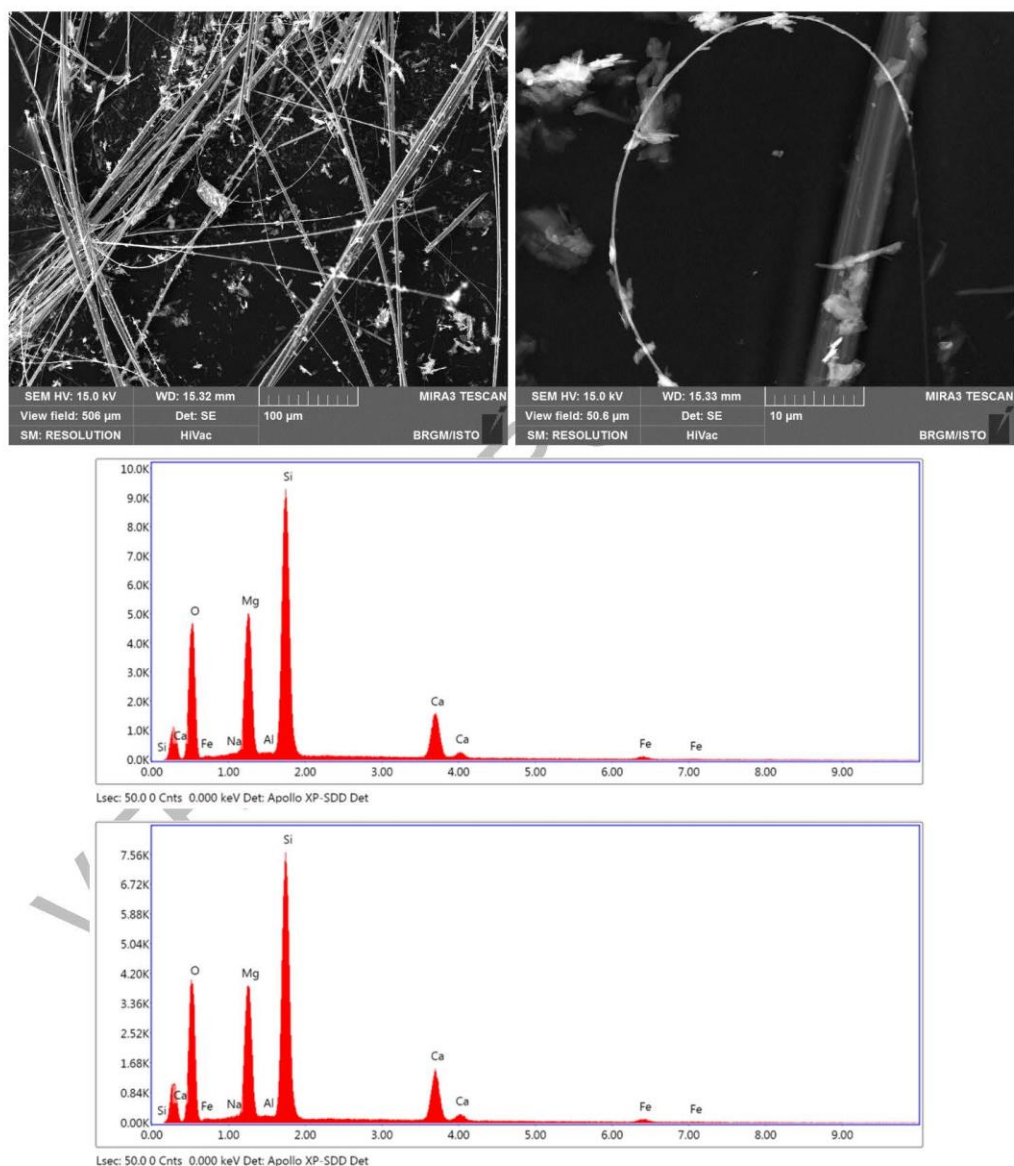


Figure 15 : Images MEB et exemples de spectres obtenus à partir des fibres analysées (éch. 2BDL1746).

Échantillon 2BDL1775

L'échantillon 2BDL1775 a été prélevé dans le talus de la route menant à la marine de Scalo (Figure 11b). Il correspond à un amas blanchâtre de particules fibriformes. Les images acquises au microscope électronique à balayage confirment le caractère hétérométrique et plus ou moins fibreux des particules constituant cet échantillon (Figure 16). Une fraction de ces particules possède les caractéristiques dimensionnelles des fibres inhalables. Les spectres EDS enregistrés sont cohérents avec la nature supposée de ces fibres (serpentine de type antigorite ; Figure 16).

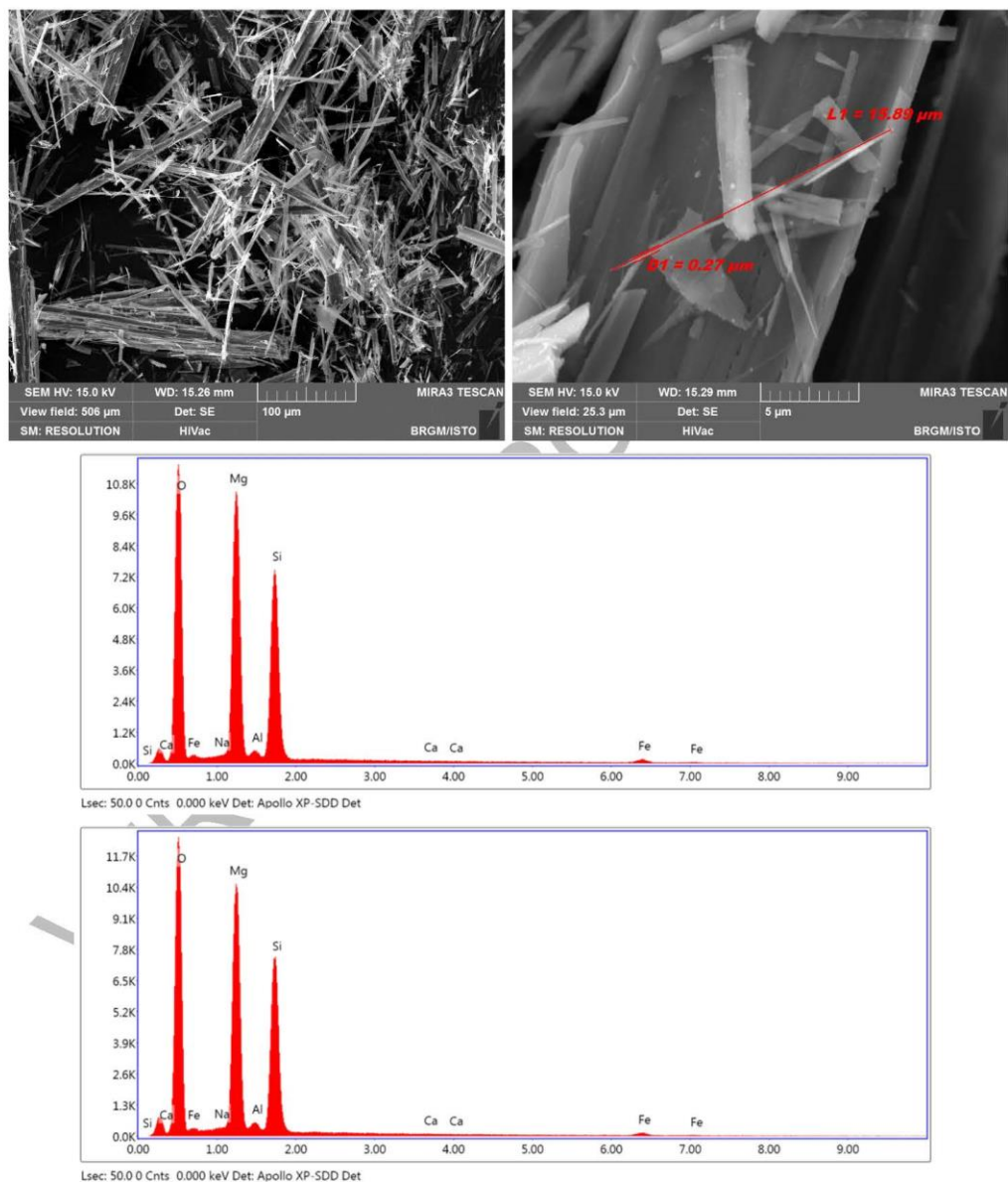


Figure 16 : Images MEB et exemples de spectres obtenus à partir des particules de l'éch. 2BDL1775.

Échantillon 2BDL1778-B

Cet échantillon a été prélevé dans un niveau de quartzites à épidote surmontant les serpentinites de la marine de Scalo. Il correspond à de longues fibres bleutées, d'aspect rigide (Figure 13). Les images acquises au microscope électronique à balayage confirment le caractère hétérométrique et plus ou moins fibreux des particules constituant cet échantillon (Figure 17). Une fraction de ces particules possède les caractéristiques dimensionnelles des fibres inhalables. Les spectres EDS enregistrés sont cohérents avec la nature probable de ces fibres (amphibole calcique de type trémolite sodique ; Figure 17).

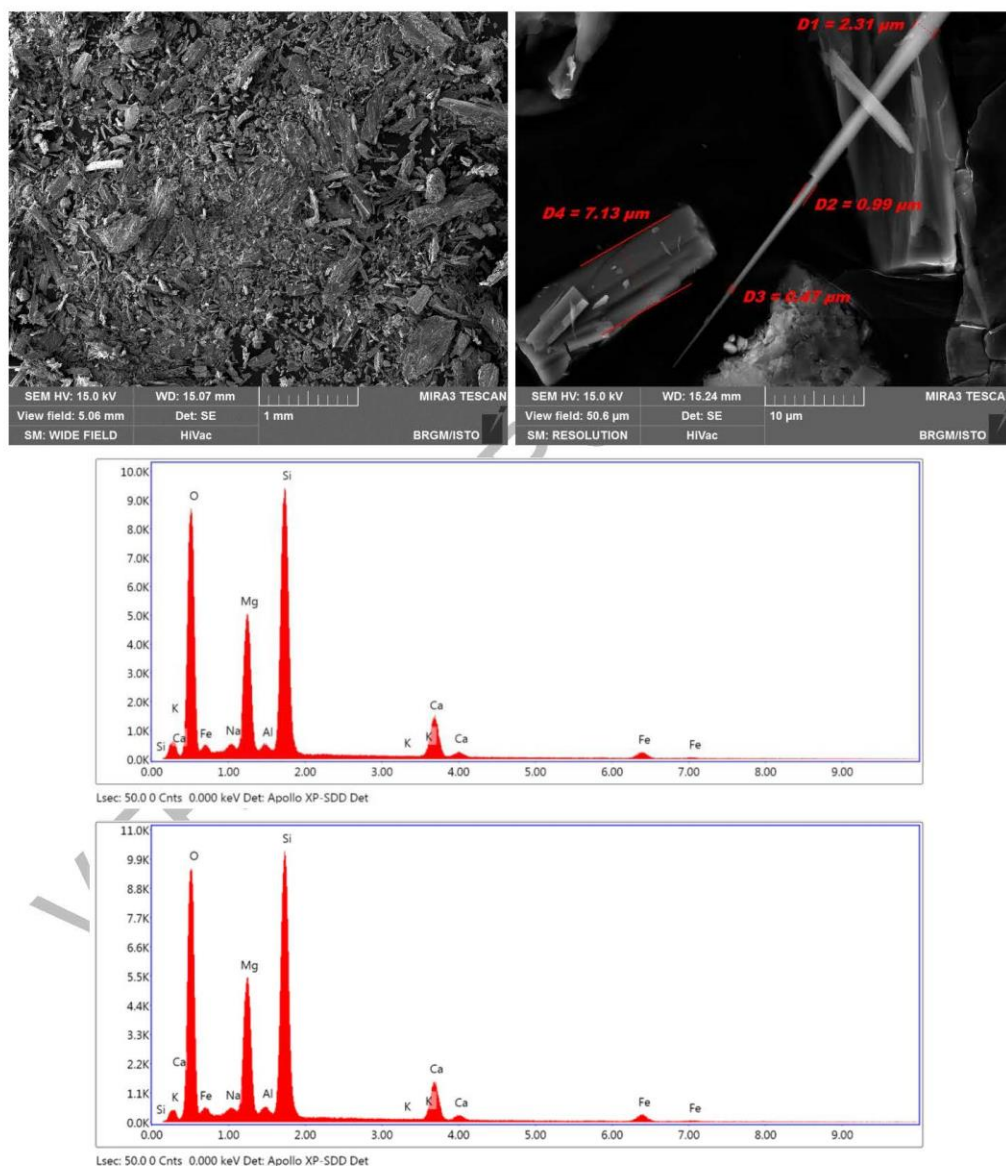


Figure 17 : Images MEB et exemples de spectres obtenus à partir des particules de l'éch.2BDL1778-B.

Échantillon 2BDL1778-C

L'échantillon 2BDL1778-C a été prélevé le long de la plage, au sud la marine de Scalo. Il correspond à des fibres prélevées dans des veines recoupant des serpentinites (Figure 11d). Les images acquises au microscope électronique à balayage confirment le caractère hétérométrique et plus ou moins fibreux des particules constituant cet échantillon (Figure 18). Une fraction de ces particules possède les caractéristiques dimensionnelles des fibres inhalables. Les spectres EDS enregistrés sont cohérents avec la nature supposée de ces fibres (serpentine de type antigorite ; Figure 18).

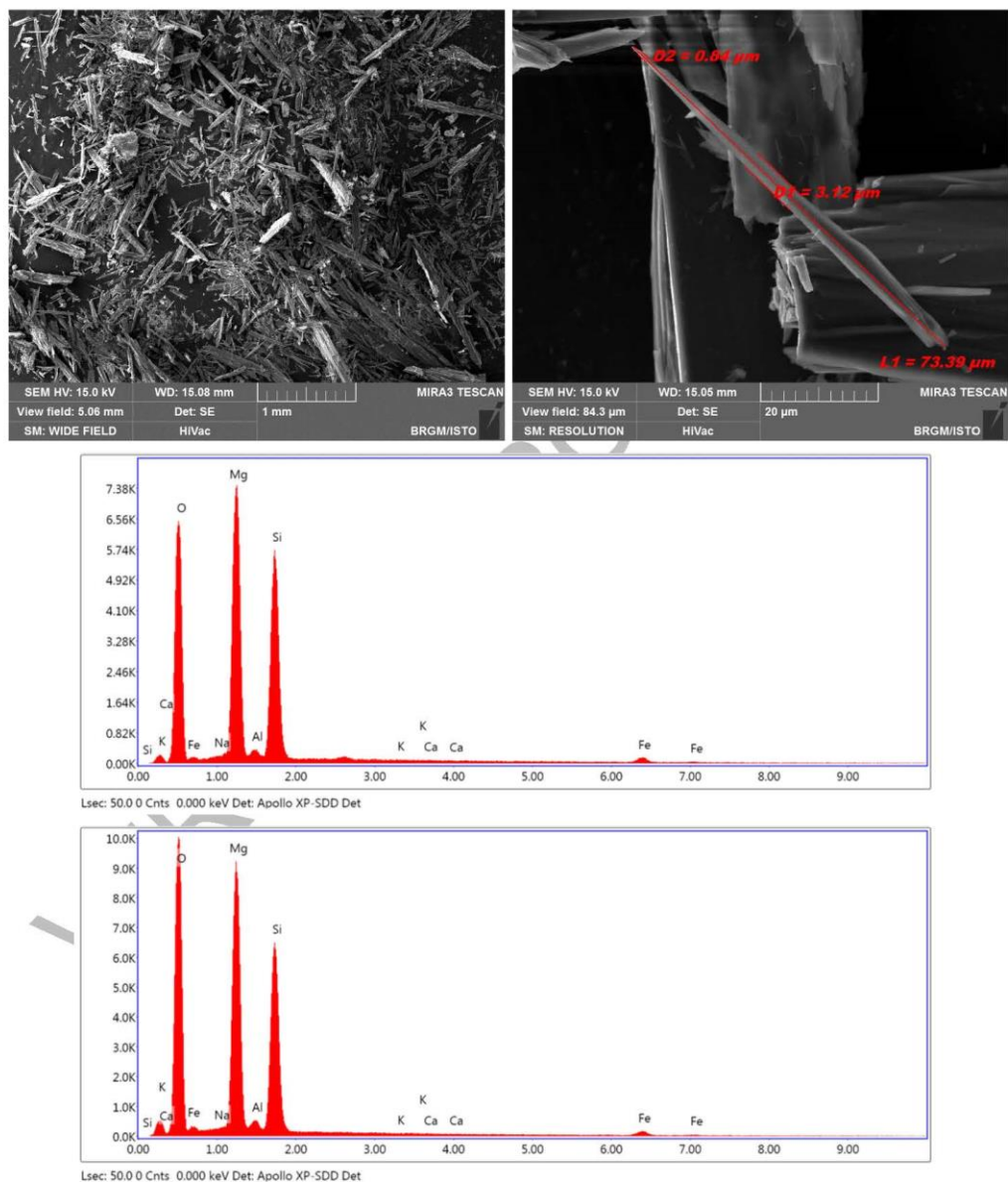
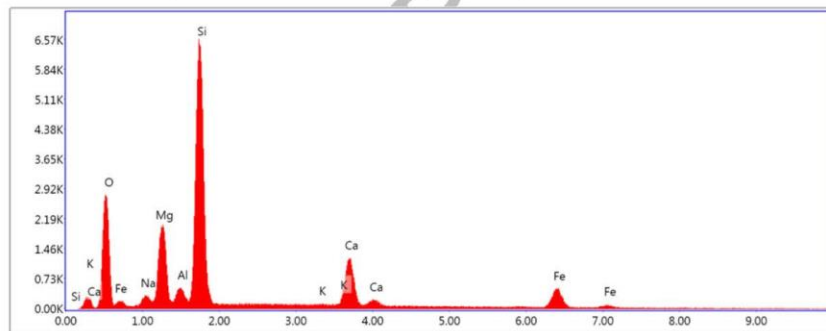
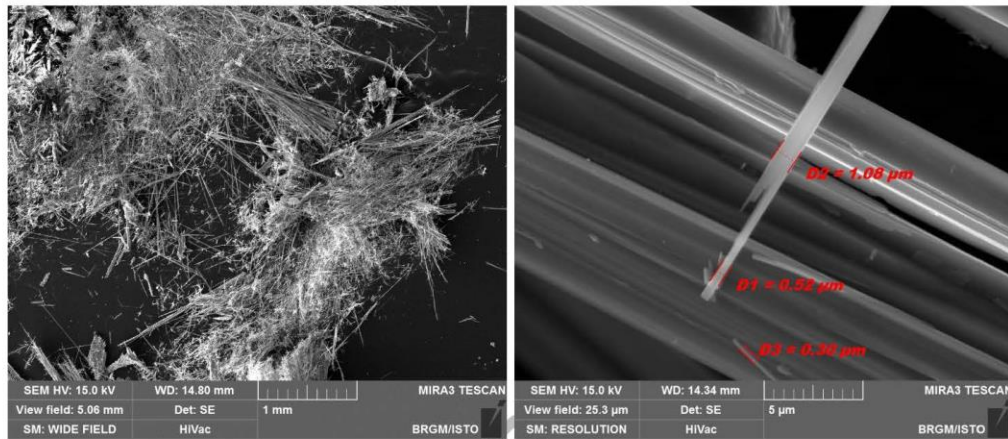


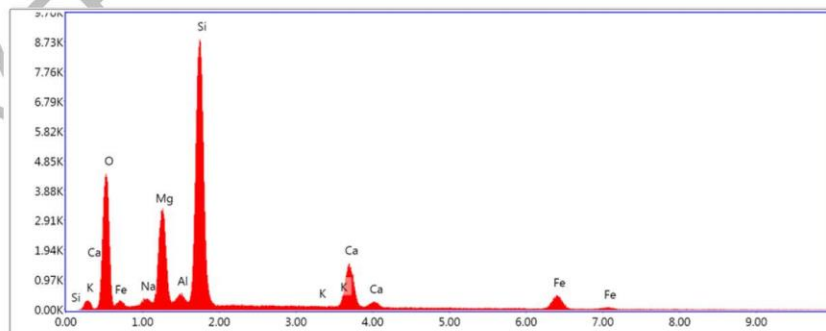
Figure 18 : Images MEB et exemples de spectres obtenus à partir des particules de l'éch. 2BDL1778-C.

Échantillon 2BDL1797

Cet échantillon a été prélevé dans une intercalation de metabasalts recoupée par la D80 au nord de Pino. Il correspond à des fibres isolées issues de veines albitiques synfoliales (Figure 12). Les images acquises au microscope électronique à balayage confirment le caractère fibreux des particules constituant cet échantillon (Figure 19). Les fibres observées sont très longues, rectilignes, à bords généralement parallèles. Une fraction importante de ces fibres possède les caractéristiques dimensionnelles des fibres OMS. Les spectres EDS enregistrés sont cohérents avec la nature probable de ces fibres (amphiboles calciques de type actinolite ; Figure 19).



Lsec: 50.0 0 Cnts 0.000 keV Det: Apollo XP-SDD Det



Lsec: 50.0 0 Cnts 0.000 keV Det: Apollo XP-SDD Det

Figure 19 : Images MEB et exemples de spectres obtenus à partir des fibres de l'échantillon 2BDL1797.

Échantillon 2BDL1802

L'échantillon 2BDL1802 a été prélevé dans le talus de la D80, au nord de Pino, au niveau d'une zone à éboulis et/ou colluvions à éléments de métagabbros et de serpentinites. Des amas de fibres blanches et souples, dissociés de leur roche-mère, sont présents dans cette zone (Figure 11e, f). Les images acquises au microscope électronique à balayage confirment le caractère fibreux de cet échantillon. Les fibres observées ont des bords subparallèles et un rapport d'allongement très élevé (Figure 20). Leur diamètre est variable mais la plupart des fibres ont un diamètre inférieur à 3 µm. Certaines fibres, très fines sont courbes et clairement asbestiformes (Figure 20). Les spectres EDS enregistrés sont cohérents avec la nature probable de ces fibres (amphiboles calciques de type trémolite ; Figure 20).

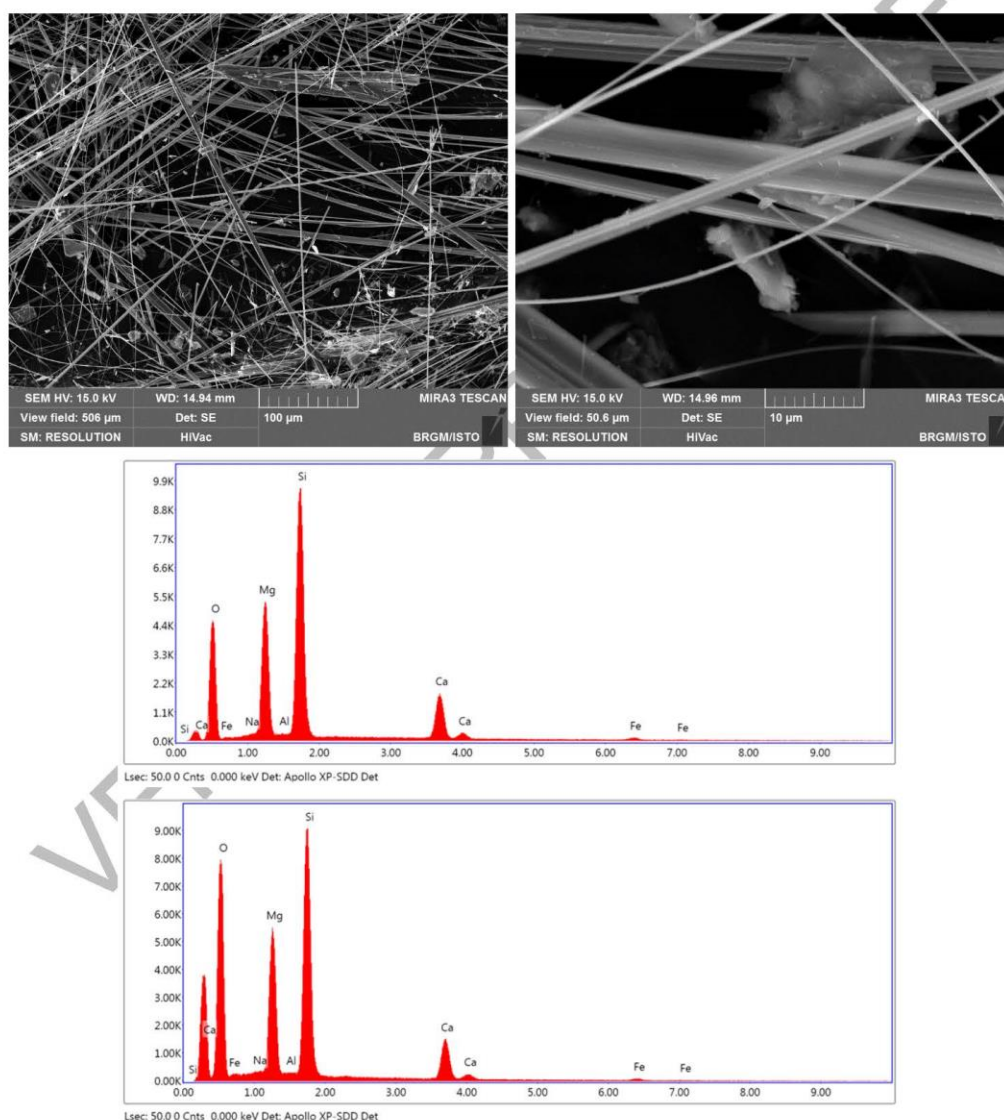


Figure 20 : Images MEB et exemples de spectres obtenus à partir des fibres de l'échantillon 2BDL1802.

Échantillon 2BDL1899-A

L'échantillon 2BDL1899-A a été prélevé dans l'agglomération de Pino, au niveau d'un contact entre des metabasaltes foliés (Foliation : N 150 W35) et un ensemble sédimentaire débutant par des horizons de marbre. L'échantillon correspond à des particules fibriformes bleutées, préalablement dissociées par les effets de l'altération. Les images acquises au microscope électronique à balayage montrent la présence de particules fibriformes hétérométriques, peu allongées et relativement épaisses ($D \gg 3 \mu\text{m}$) (Figure 21). Les spectres EDS enregistrés sont cohérents avec la nature probable de ces particules fibriformes (amphiboles sodiques de type glaucophane ; Figure 21).

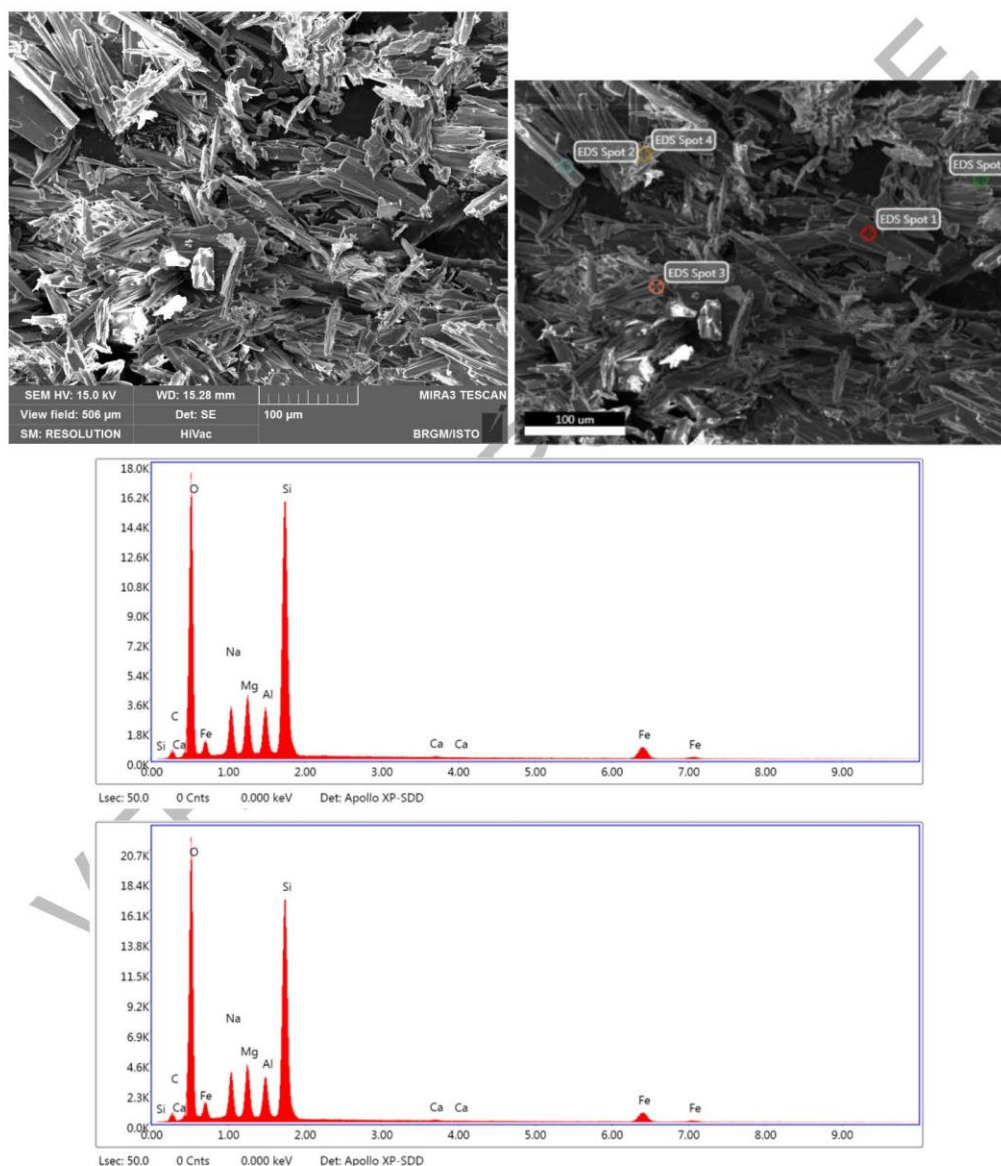


Figure 21 : Images MEB et exemples de spectres obtenus à partir des particules de l'éch. 2BDL1899-A.

Échantillon 2BDL2257

Analyse en cours.

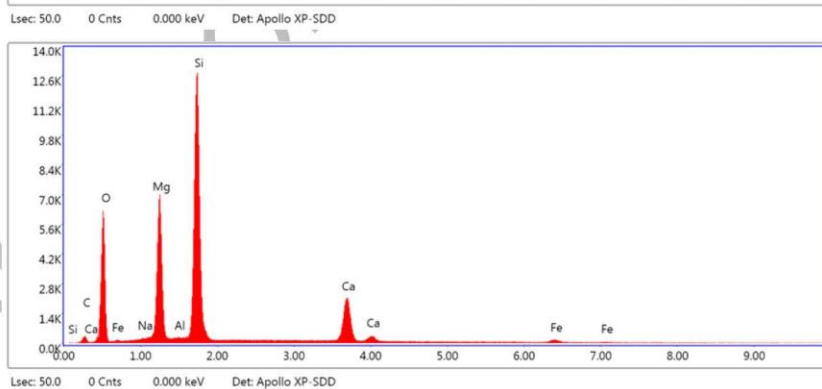
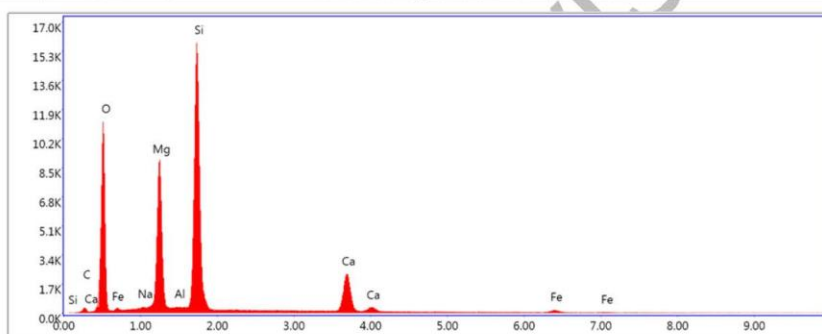
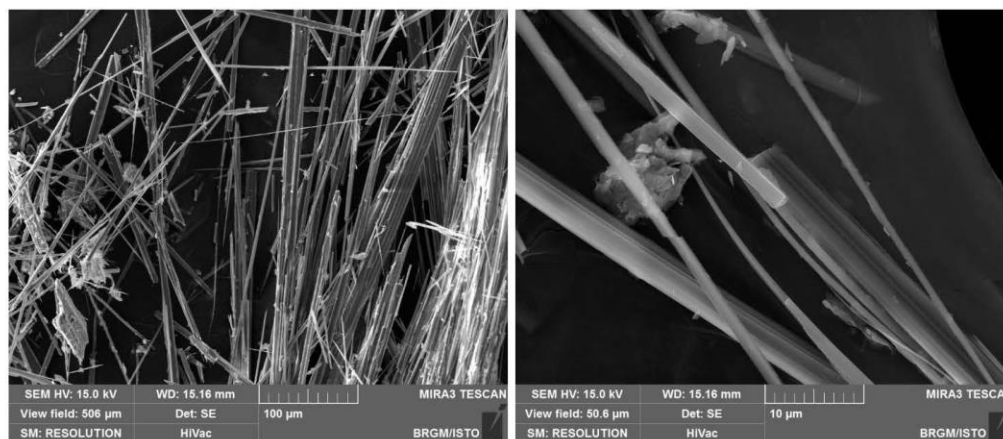
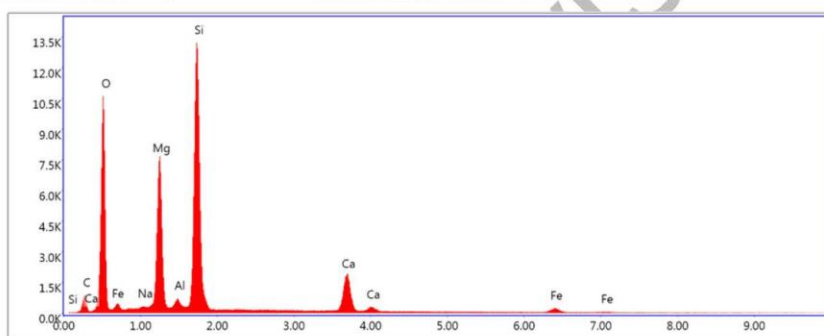
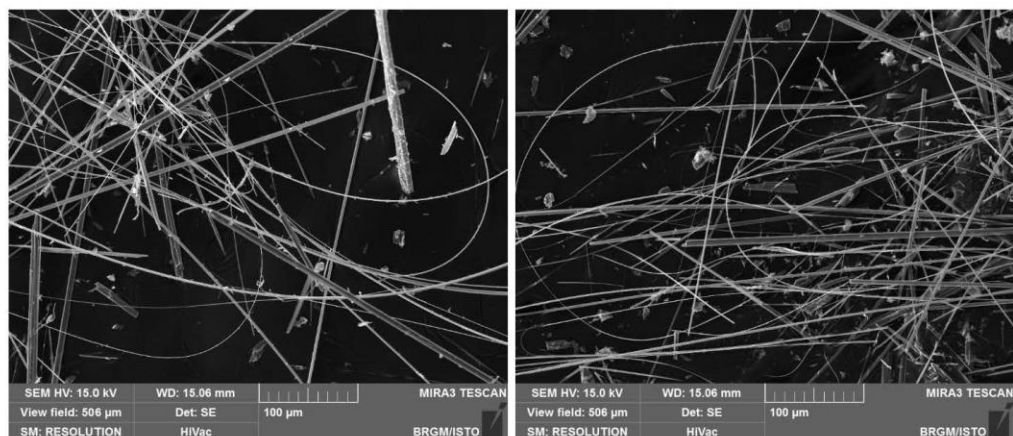


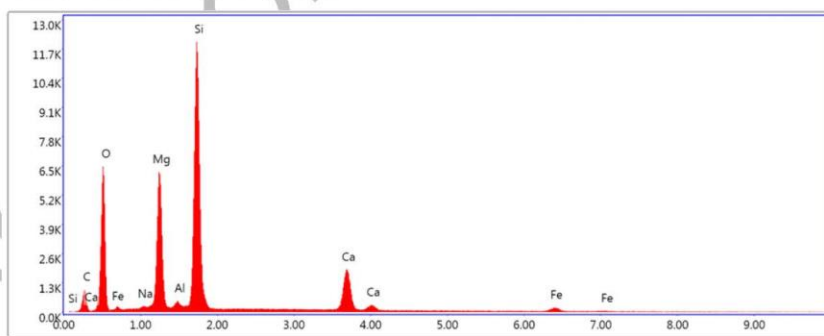
Figure 22 : Images MEB et exemples de spectres obtenus à partir des particules de l'éch. 2BDL2257.

Échantillon 2BDL2260

Analyse en cours.



Lsec: 50.0 0 Cnts 0.000 keV Det: Apollo XP-SDD



Lsec: 50.0 0 Cnts 0.000 keV Det: Apollo XP-SDD

Figure 23 : Images MEB et exemples de spectres obtenus à partir des fibres de l'éch. 2BDL2260.

Échantillon 2BDL2262

Analyse en cours.

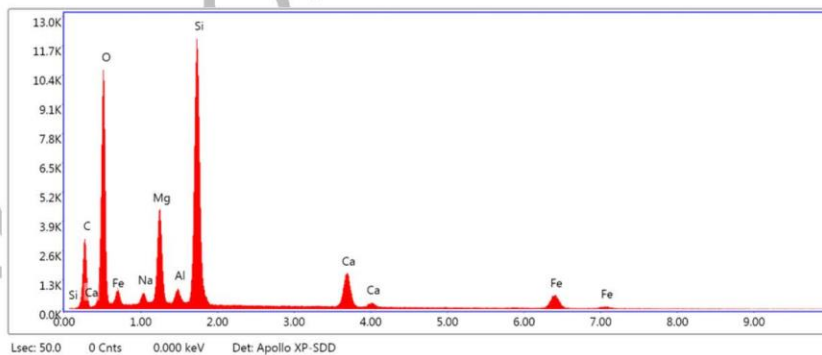
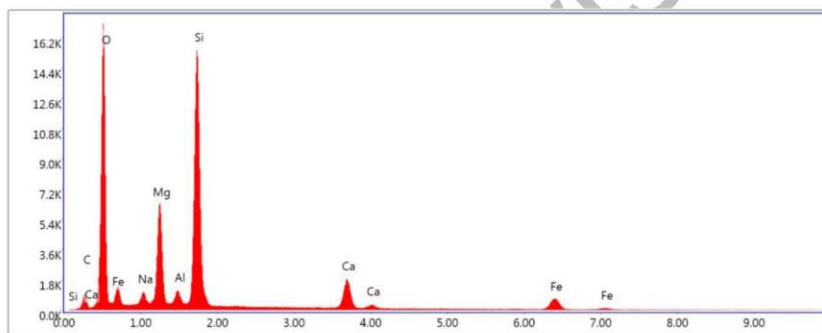
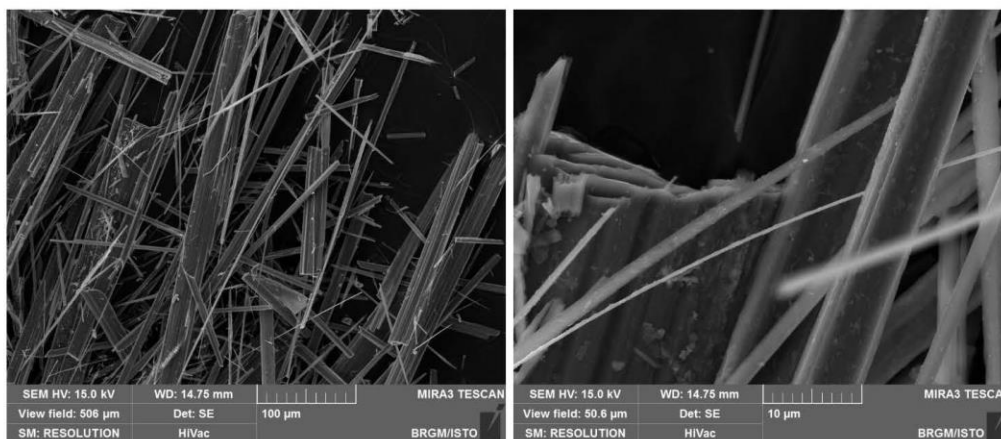


Figure 24 : Images MEB et exemples de spectres obtenus à partir des particules de l'éch. 2BDL2262.

Échantillon 2BDL2263

Analyse en cours.

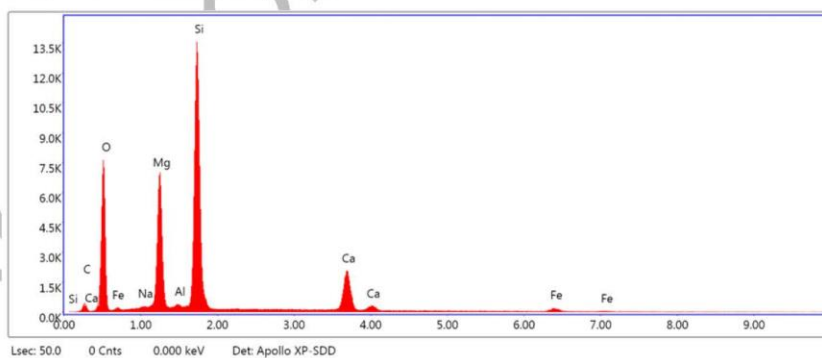
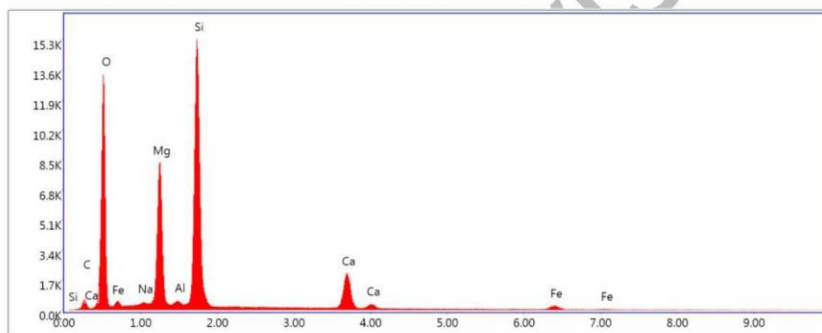
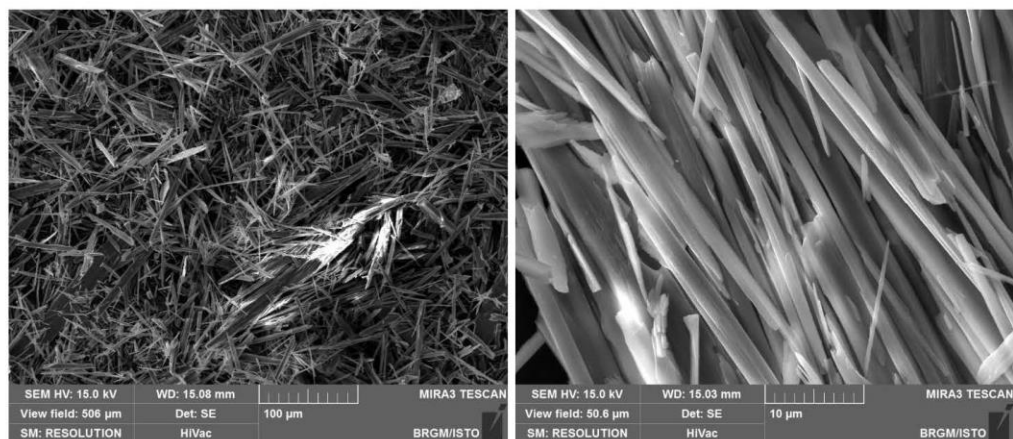


Figure 25 : Images MEB et exemples de spectres obtenus à partir des particules de l'éch. 2BDL2263.

2.3. SECTEURS SENSIBLES ET PRECONISATIONS

Ces secteurs sont en cours d'identification. À ce stade de l'étude, il convient de citer :

- Le talus de la D180, au dessus de Pino ;
- Le talus de la D80, au nord de Pino ;
- Le talus de la route d'accès à la Marine de Scalo.

En cours

VERSION PROVISOIRE

3. Commune de Luri

Plusieurs unités géologiques affleurent dans l'emprise du territoire de la commune de Luri. Ces unités correspondent (Lahondère et al., 1992) :

- à des serpentinites (notées Λ sur la carte géologique de Luri à 1/50 000) ;
- à des métagabbros (notés $\delta\theta$ sur la carte géologique de Luri à 1/50 000) ;
- à des glaucophanites à grenat (notées ψ sur la carte géologique de Luri à 1/50 000) ;
- à des prasinites (notées δ^{11} sur la carte géologique de Luri à 1/50 000) ;
- à des quartzites micacés (notés X_m sur la carte géologique de Luri à 1/50 000) ;
- à des cipolins et à des calcschistes (notés C-S³ sur la carte géologique de Luri à 1/50 000) ;
- à des schistes et à des calcschistes (notés ξ^1 -S⁸ sur la carte géologique de Luri à 1/50 000).

Des éboulis occupent également des surfaces relativement importantes.



Figure 26 : Emprise de la commune de Luri.

Dans l'emprise de la commune, les travaux réalisés à ce stade de l'étude ont porté sur :

- les talus de la D80, au sud et au nord de Santa Severa ;
- les talus de la D180 entre Santa Severa et le col de Santa Lucia ;
- les talus de la D532 ;
- les talus de la D32 entre Piazza et le col de la Serra ;
- les talus de la D332 ;
- les talus des routes d'accès aux différents hameaux (Campu, Tufo, Castello, Fieno) ;
- le sentier de randonnée entre Fieno et Pinzu a Vergine ;
- le sentier de randonnée entre Fieno et u Cuventu ;
- les emprises des principales tâches urbaines.

Des informations ont également été acquises le long de la ligne de crête reliant le col de la Serra au Monte Alticcione. Les alluvions du ruisseau de Luri ont également fait l'objet d'observations.

3.1. DONNEES ACQUISES SUR LE TERRAIN

3.1.1. Les serpentinites

Les serpentinites couvrent des surfaces très importantes dans la partie sud-ouest de la commune où elles constituent un massif très étendu autour du Monte Alticcione.

Des lames très effilées de serpentinites affleurent également le long de la côte, au sud et au nord de Santa Severa (2BDL2078 à 2BDL2081, 2BDL2083 à 2BDL2084, 2BDL2086 ; Figure 27a à f). Ces serpentinites sont plus ou moins déformées mais sont systématiquement amiantifères. Il convient de souligner que ces serpentinites n'affleurent qu'au niveau précis du trait de côte et qu'immédiatement au-dessus, dans le talus de la 80, le toit des serpentinites est le plus souvent masqué par une formation de colluvions rougeâtres d'épaisseur plurimétrique, à fragments et blocs hétérométriques de serpentinites et de metabasites ophiolitiques (Figure 27c).

Au niveau de l'ensemble du territoire communal, aucun affleurement de serpentinites n'est recoupé par un axe ouvert à la circulation de véhicules motorisés, à l'exception d'un petit tronçon de piste situé au sud de Pinzu a Vergine.





Figure 27 : Exemples d'affleurements de serpentinites et d'occurrences fibreuses observés au nord de la marine de Santa Severa (a & b : point 2BDL2079 ; c & d : point 2BDL2080 ; e & f : point 2BDL2084).

3.1.2. Les métagabbros

Sur la carte géologique à l'échelle 1/50 000 de Luri, les métagabbros ne constituent que quelques affleurements plus ou moins étendus, toujours associés aux serpentinites. Des affleurements de métagabbros sont ainsi cartographiés entre le hameau de Fieno et Pinzu a Vergine et dans le secteur du Monte Castellu, à l'ouest du col de la Serra.

Les observations faites le long de la côte, au nord de Santa Severa, ont également permis d'observer des métagabbros foliés, étroitement associés à des metabasaltes. Le toit de ces métagabbros et metabasaltes est fréquemment masqué par des dépôts superficiels correspondant à des colluvions rougeâtres à fragments et blocs hétérométriques de serpentinites et de metabasites ophiolitiques (Figure 28b).



Figure 28 : Affleurements de métagabbros observés au nord de Santa Severa (2BDL2087), localement surmontés par plusieurs mètres de colluvions et d'éboulis à éléments de métagabbros et de serpentinites.

3.1.3. Les glaucophanites à grenat

Les glaucophanites à grenat constituent plusieurs petits massifs localisés au sud-est de Pinzu a Vergine et le long de la côte, au sud et au nord de Santa Severa. Ces massifs sont déjà représentés sur la carte géologique de Luri à 1/80 000 publiée en 1967. Ils correspondent à des métaferrogabbros et à des metabasaltes éoclitiques.

3.1.4. Les metabasaltes

Dans l'emprise du territoire investigué, les metabasaltes affleurent d'une part au nord et au sud de la marine de Santa Severa et d'autre part entre la Tour de Sénèque à l'ouest et le Monte Castellu à l'est.

La barre de metabasaltes qui relie le secteur de la Tour de Sénèque au Monte Castellu a été observée en plusieurs points (2BDL2018).

Les metabasaltes qui affleurent le long du littoral ont également été observés en différents points. Ces metabasaltes sont en général très déformés. Des occurrences fibreuses ont régulièrement été observées, sous la forme de longues fibres bleutées d'actinolite. À noter également que des passées de schistes à actinolite sont régulièrement observées au sein de ces metabasaltes (Figure 29e).



Figure 29 : a & b : 2BDL2018 ; c : 2BDL2082 ; d : 2BDL2085

3.1.5. Les quartzites micacés

En cours

Reconnaissance de zones naturelles amiantifères (Cap Corse)



Figure 30 : Affleurement de quartzites (a : 2BDL2088 ; b : 2BDL2089).

3.1.6. Les schistes et les calcschistes

Ces terrains métasédimentaires couvrent des surfaces très importantes dans l'emprise du territoire communal.

3.1.7. Les cipolins

En cours

3.1.8. Les colluvions et les éboulis

En cours



Figure 31 : Affleurements observés dans le talus de la D 80 et correspondant à des colluvions rougeâtres à éléments de serpentinites, de metabasites ophiolitiques et de métaquartzites (a : 2BDL2092 ; b : 2BDL2094).

3.1.9. Les alluvions récentes à actuelles

En cours

3.2. DONNEES ACQUISES EN LABORATOIRE

3.2.1. Analyses par microscopie optique et microsonde électronique

Échantillon 2BDL2018

Cet échantillon a été prélevé dans la barre de métabasaltites recoupée par la D332, en contrebas du Col de Santa Lucia. Au niveau de ce point, des nodules pluri-décimétriques à épidote-albite sont dispersés dans une foliation N130 S 35. Des fibres bleuées sont régulièrement observées dans ces nodules, associées à des veines peu épaisses ou tapissant la surface extérieure de ces nodules. Les analyses chimiques ponctuelles obtenues à la microsonde électronique montrent que ces fibres correspondent à des fibres d'actinolite. Des analyses représentatives sont reportées dans le tableau ci-dessous (Tableau 1).

Species	DL2018											
	actinolite											
Analysis (wt %)												
SiO2	54,54	55,06	53,81	55,39	55,29	55,00	53,21	53,47	54,18	52,45	53,23	53,57
TiO2	0,05	0,01	0,07	0,00	0,03	0,00	0,00	0,01	0,06	0,00	0,12	0,07
Al2O3	2,25	1,12	2,43	1,89	1,47	1,33	2,34	2,04	2,55	3,64	3,08	1,86
Cr2O3	0,00	0,00	0,02	0,00	0,00	0,00	0,00	0,04	0,01	0,06	0,03	0,00
MnO	0,12	0,11	0,24	0,25	0,28	0,23	0,32	0,30	0,30	0,27	0,30	0,37
FeO	13,08	11,70	12,78	11,20	12,39	11,75	13,19	13,59	13,06	13,93	14,36	14,31
MgO	15,70	16,52	15,49	16,88	16,44	16,50	15,45	15,34	15,52	14,21	14,07	14,73
CaO	10,16	11,95	11,00	12,06	11,10	11,88	11,81	11,36	11,39	11,30	11,53	11,81
Na2O	1,53	0,72	1,48	0,88	1,21	0,83	0,78	1,02	1,26	1,42	1,17	0,78
K2O	0,07	0,06	0,14	0,05	0,03	0,07	0,02	0,05	0,07	0,16	0,11	0,06
Initial Total	97,49	97,24	97,44	98,59	98,24	97,59	97,13	97,22	98,40	97,43	97,99	97,56
Formula Assignments												
T (ideally 8 apfu)												
Si	7,797	7,891	7,741	7,815	7,839	7,859	7,695	7,729	7,722	7,611	7,688	7,761
Al	0,203	0,109	0,259	0,185	0,161	0,141	0,305	0,271	0,278	0,389	0,312	0,239
Ti	0,000	0,000	0,000	0,000	0,000	0,000	0,000	0,000	0,000	0,000	0,000	0,000
Fe3+	0,000	0,000	0,000	0,000	0,000	0,000	0,000	0,000	0,000	0,000	0,000	0,000
T subtotal	8,000	8,000	8,000	8,000	8,000	8,000	8,000	8,000	8,000	8,000	8,000	8,000
C (ideally 5 apfu)												
Ti	0,006	0,001	0,007	0,000	0,003	0,000	0,000	0,001	0,007	0,000	0,013	0,007
Al	0,176	0,080	0,153	0,129	0,084	0,084	0,094	0,077	0,150	0,233	0,211	0,078
Cr	0,000	0,000	0,002	0,000	0,000	0,000	0,000	0,005	0,001	0,007	0,004	0,000
Fe3+	0,258	0,095	0,168	0,103	0,229	0,114	0,210	0,237	0,174	0,134	0,098	0,159
Mn2+	0,000	0,000	0,000	0,000	0,000	0,000	0,000	0,000	0,000	0,000	0,008	0,000
Fe2+	1,216	1,294	1,350	1,219	1,208	1,287	1,365	1,375	1,369	1,552	1,637	1,575
Mg	3,345	3,530	3,320	3,549	3,475	3,516	3,331	3,306	3,298	3,075	3,029	3,181
C subtotal	5,001	5,000	5,000	5,000	4,999	5,001	5,000	5,001	4,999	5,001	5,000	5,000
B (ideally 2 apfu)												
Mn2+	0,014	0,013	0,029	0,029	0,033	0,028	0,039	0,037	0,036	0,033	0,028	0,045
Fe2+	0,090	0,014	0,018	0,000	0,032	0,004	0,021	0,031	0,013	0,005	0,000	0,000
Ca	1,557	1,836	1,695	1,822	1,687	1,818	1,830	1,759	1,739	1,757	1,784	1,833
Na	0,339	0,138	0,257	0,148	0,248	0,149	0,110	0,173	0,211	0,205	0,188	0,122
B subtotal	2,000	2,001	1,999	1,999	2,000	1,999	2,000	2,000	1,999	2,000	2,000	2,000
A (from 0 to 1 apfu)												
Ca	0	0	0	0	0	0	0	0	0	0	0	0
Na	0,085	0,061	0,155	0,093	0,084	0,081	0,107	0,113	0,137	0,193	0,140	0,098
K	0,012	0,010	0,025	0,009	0,006	0,012	0,004	0,009	0,013	0,029	0,020	0,011
A subtotal	0,097	0,071	0,180	0,102	0,090	0,093	0,111	0,122	0,150	0,222	0,160	0,109

Tableau 1 : Composition chimique et formule structurale des amphiboles de l'échantillon 2BDL2018.

3.2.2. Analyses par microscopie électronique à balayage

Échantillon 2BDL2079-A

Analyse en cours.

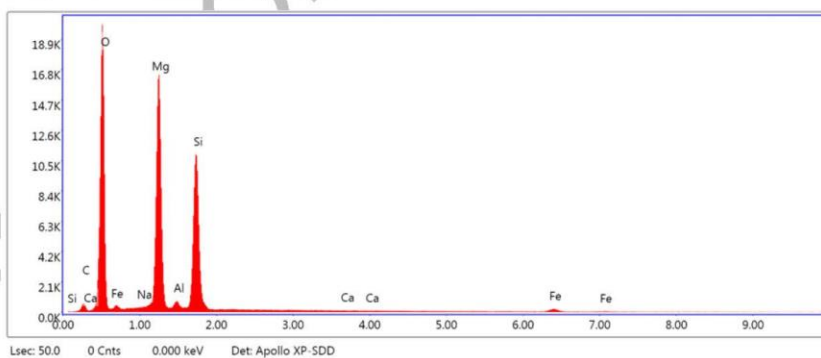
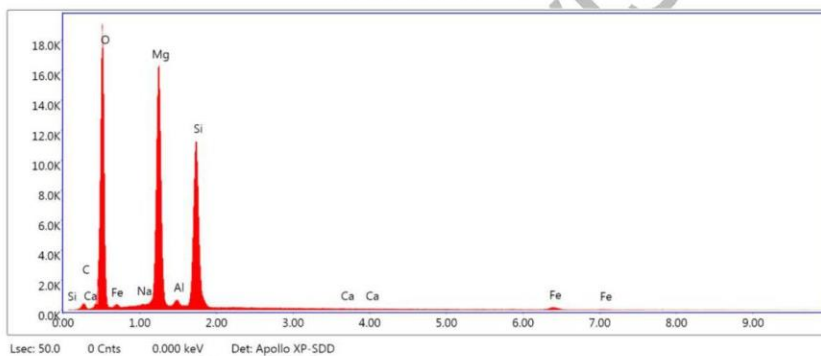
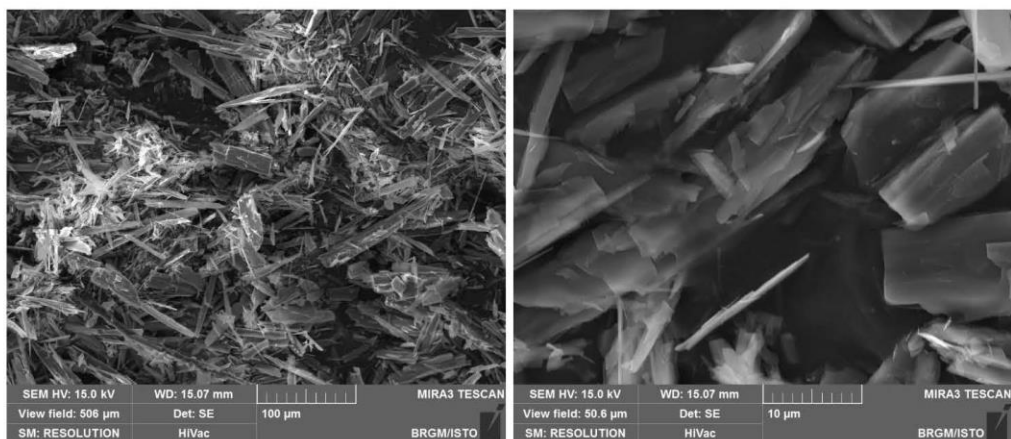


Figure 32 : Images MEB et exemples de spectres obtenus à partir des particules de l'éch. 2BDL2079A.

Échantillon 2BDL2081

Analyse en cours.

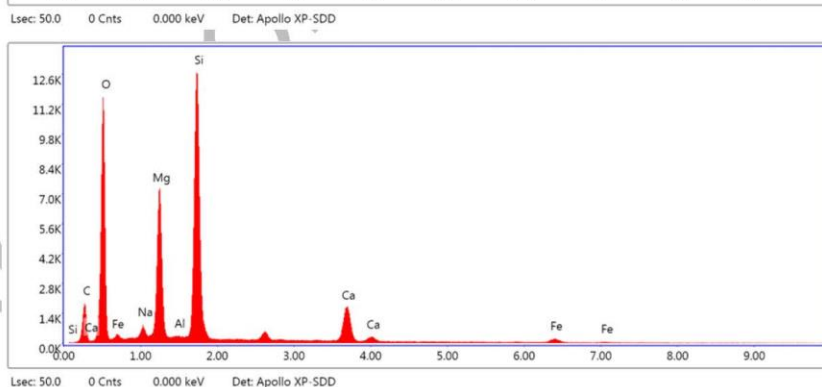
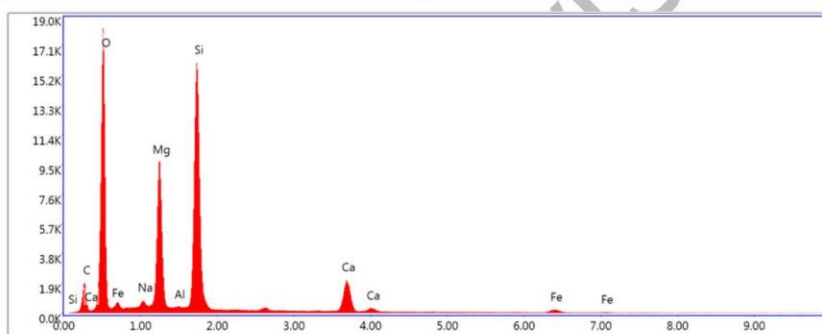
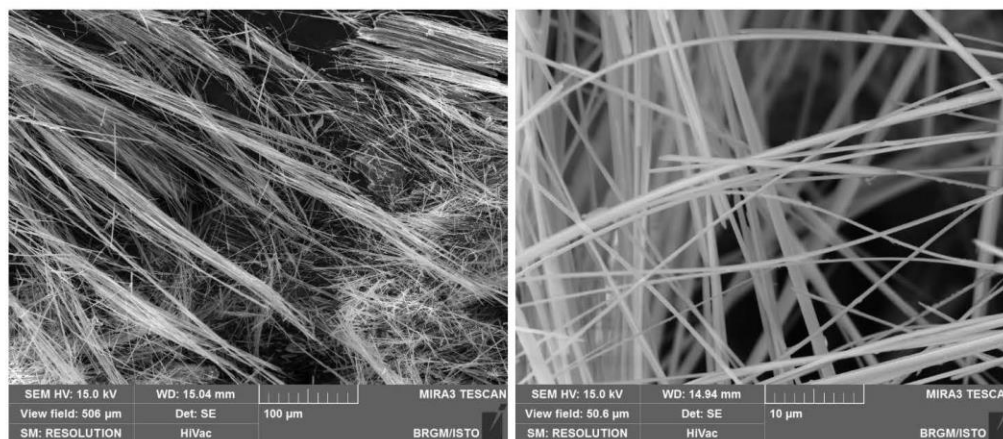


Figure 33 : Images MEB et exemples de spectres obtenus à partir des fibres de l'éch. 2BDL2081.

3.3. SECTEURS SENSIBLES ET PRECONISATIONS

En cours

VERSION PROVISOIRE

4. Commune de Barrettali

D'un point de vue géologique, plusieurs unités affleurent dans l'emprise du territoire de la commune de Barrettali. Ces unités correspondent (Lahondère et al., 1992) :

- à des serpentinites (notées Λ sur la carte géologique de Luri à 1/50 000) ;
- à des métagabbros (notés $\delta\theta$ sur la carte géologique de Luri à 1/50 000) ;
- à des prasinites (notées δ^1 sur la carte géologique de Luri à 1/50 000) ;
- à des quartzites micacés (notés X_m sur la carte géologique de Luri à 1/50 000) ;
- à des schistes et à des calcschistes (notés ξ^1-S^8 sur la carte géologique de Luri à 1/50 000).

Des éboulis occupent également des surfaces communales relativement importantes.

Les travaux réalisés ont porté sur :

- les talus de la D80, entre la Marine de Giottani au sud et le ravin de Mara Morto au nord ;
- les talus de la D33 entre le Moulin de Pendente au sud et la Punta di Piestroni au nord ;
- les talus de la D133 ;
- les talus de la D533 ;
- les talus des routes d'accès aux différents hameaux (Stazzona, Pietricaggio, l'Annonciada) ;
- la piste de Pinzu a Vergine / Bergeries de Petricaghjola ;
- la piste du Monte Grossu ;
- les emprises des principales tâches urbaines (Conchigliu, Minerviu, Pietricaggio, Giottani).

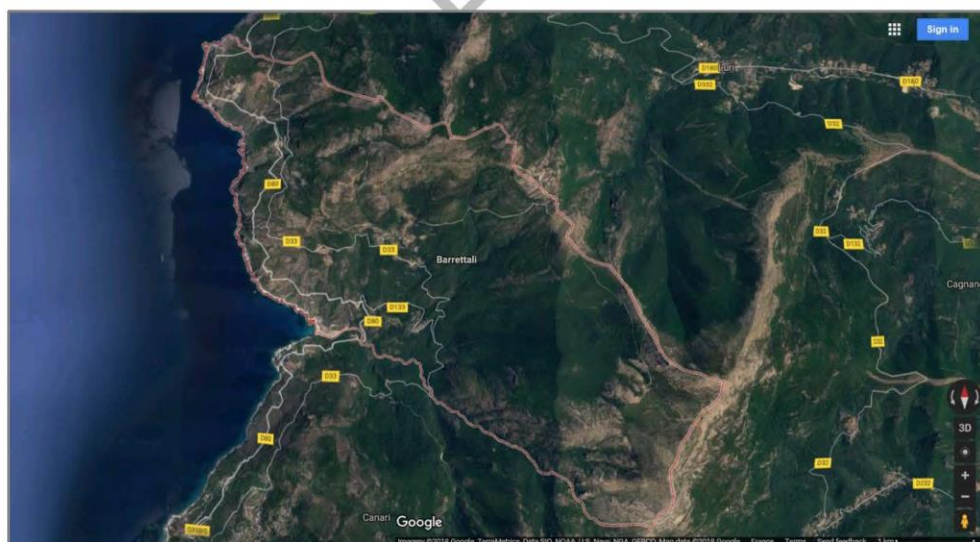


Figure 34 : Emprise de la commune de Barrettali.

4.1. DONNEES ACQUISES SUR LE TERRAIN

4.1.1. Les serpentinites

Les serpentinites couvrent des surfaces communales particulièrement importantes dans la moitié orientale de la commune (contreforts occidentaux du Monte Alticcione) et au-dessus de Barrettali et de Minerviu (contreforts occidentaux du Monte Grofiglieta).

Sur la carte géologique à l'échelle 1/50 000 de Luri, aucun affleurement de serpentinites n'est mentionné le long de la D80. Les relevés détaillés faits dans le cadre de cette étude ont cependant conduit à l'identification de plusieurs affleurements de serpentinites, très étroitement associés aux métagabbros de Giottani. Ces serpentinites sont très déformées et systématiquement amiantifères (2BDL0012, 2BDL1716) (Figure 35a à f). De telles intercalations de serpentinites amiantifères, plus ou moins épaisses et continues, ont également été identifiées plus au sud, en particulier entre la marine d'Albo et l'ancienne mine d'amiante de Canari.

Les serpentinites affleurent également largement entre le Monte Grossu et le Monte Grifiglieta. Elles ont été observées en plusieurs points (2BDL1816, 2BDL1819 à 2BDL1823) (Figure 35g, h). Des occurrences amiantifères ont été régulièrement identifiées dans ces serpentinites, en particulier sur des surfaces discrètes tapissées de fibres de chrysotile.

Un nouvel affleurement de serpentinites a également été reconnu dans le talus de la D33, entre Brachelle et Torre (2BDL1827 à 2BDL1828).





Figure 35 : Exemples d'affleurements de serpentinites (a : 2BDL1716 ; b : 2BDL1719 ; c & d : 2BDL1720 ; e & f : 2BDL2025 ; g : 2BDL1820 ; h : 2BDL1822 ; i & j : 2BDL1827).

4.1.2. Les métagabbros

Les métagabbros occupent également des surfaces communales importantes dans la moitié occidentale de la commune, en particulier entre Conchigliu et la marine de Giottani et dans le secteur de Punta di Stintinu.

Plusieurs occurrences fibreuses ont été préalablement identifiées dans ces métagabbros. Ces occurrences sont de deux types.

Reconnaissance de zones naturelles amiantifères (Cap Corse)

Le premier type d'occurrence correspond à des fibres synfoliales légèrement bleutées, d'apparence rigide. Ces fibres sont également observées dans des veines d'épaisseur pouvant atteindre plusieurs centimètres, souvent associées à des structures de boudinage de foliation (2BDL1740, 2BDL1892).

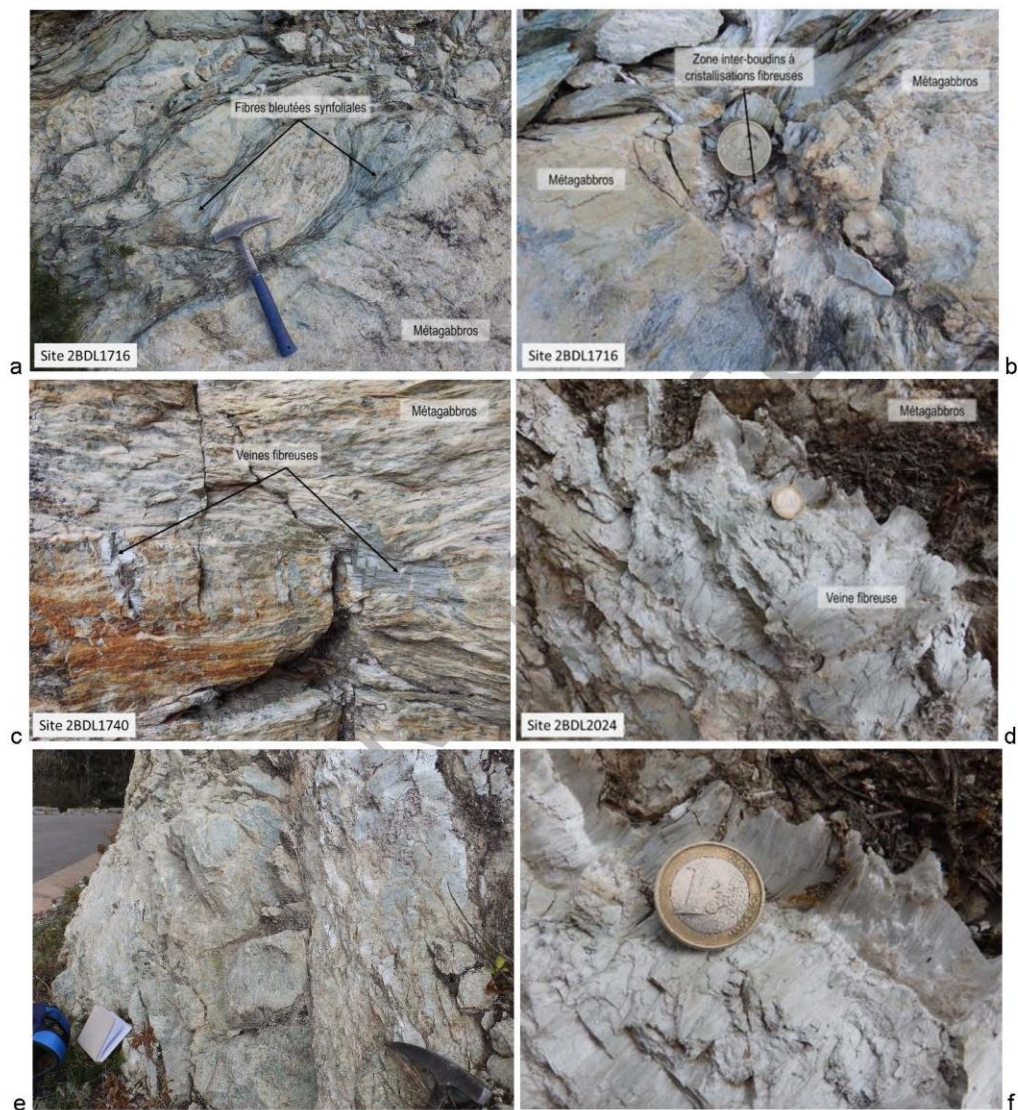


Figure 36 : Exemples d'occurrences fibreuses associées aux métagabbros (commune de Barrettali)
(a & b : 2BDL 1716 ; c : 2BDL 1740 ; d à f : 2BDL2024

4.1.3. Les glaucophanites à grenat

4.1.4. Les metabasaltes

Les metabasaltes affleurent dans la partie occidentale de la commune, dans les secteurs de Minerviu et de Petricaggio. Plusieurs occurrences fibreuses ont été reconnues dans ces metabasaltes. Ces occurrences sont de deux types.

Le premier type d'occurrence correspond à des fibres rigides synfoliales ou cristallisées dans des veines découpant des nodules à épidote. Des fibres d'apparence rigide ont également été observées sur les surfaces enveloppant ces nodules d'épidote.

Le deuxième type d'occurrence correspond à des fibres cristallisées dans des veines à albite d'épaisseur plurimillimétrique à pluricentimétrique (2BDL1725, 2BDL1727, 2BDL1733).

VERSION PROVISOIRE

Reconnaissance de zones naturelles amiantifères (Cap Corse)

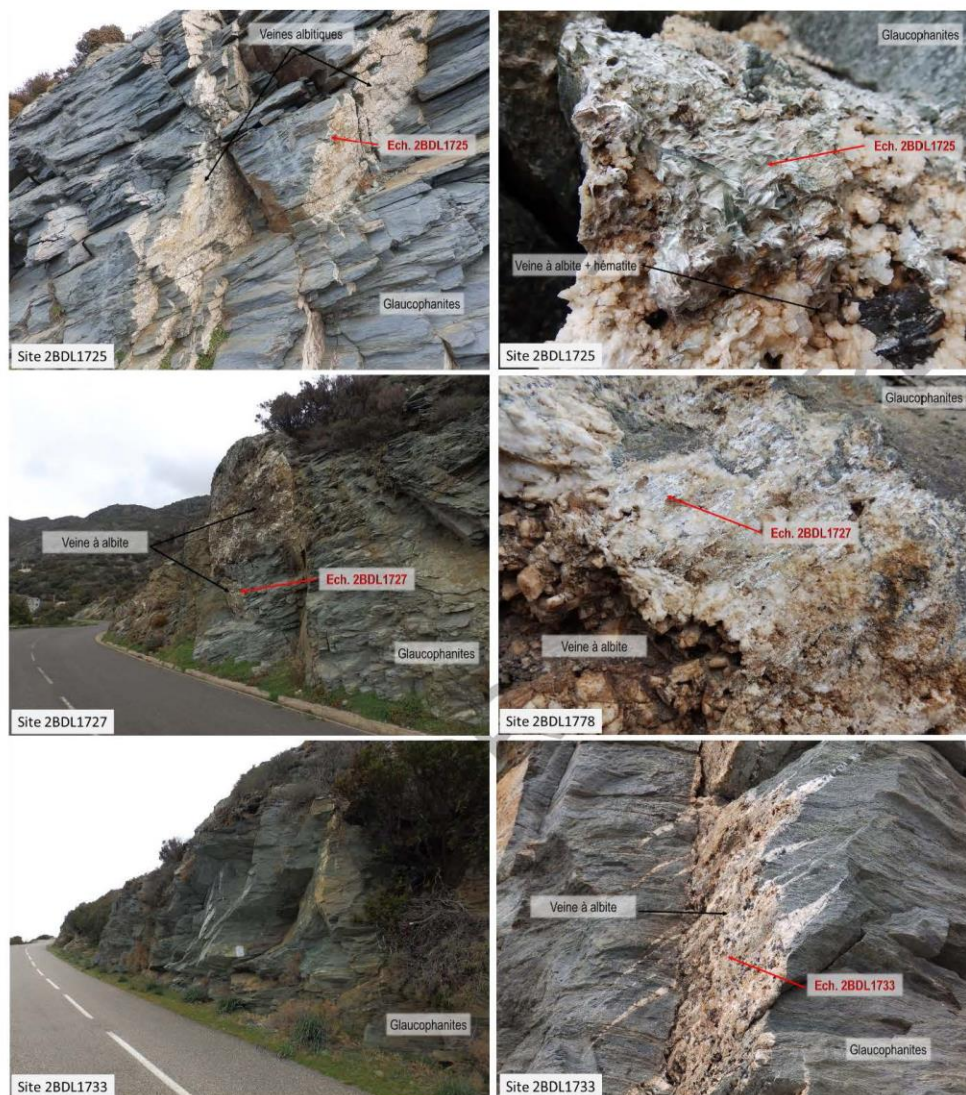


Figure 37 : Exemples d'occurrences fibreuses associées aux metabasites (commune de Barrettali).

4.1.5. Les schistes et les calcschistes

Ces formations métasédimentaires n'occupent que des surfaces marginales sur la commune de Barrettali.

En cours

4.1.6. Les colluvions et les éboulis

En cours

4.2. DONNEES ACQUISES EN LABORATOIRE

4.2.1. Analyses par microscopie optique et microsonde électronique

Échantillon 2BDL1892

En cours

Species	DL1892											
	actinolite											
Analysis (wt %)												
SiO2	57,22	57,00	56,47	56,59	56,46	56,18	56,75	56,74	56,69	55,72	56,72	56,29
TiO2	0,05	0,00	0,00	0,06	0,00	0,00	0,01	0,09	0,06	0,00	0,08	0,00
Al2O3	1,66	2,13	2,30	2,28	1,14	2,67	1,54	1,94	2,08	2,18	1,96	2,15
Cr2O3	0,01	0,00	0,00	0,00	0,00	0,01	0,00	0,03	0,00	0,00	0,07	0,00
MnO	0,17	0,12	0,21	0,06	0,19	0,30	0,31	0,25	0,25	0,25	0,24	0,05
FeO	5,44	5,85	5,70	5,76	7,10	6,35	5,37	5,55	6,10	6,60	6,04	5,95
MgO	20,22	19,82	19,85	19,85	19,15	19,40	20,86	20,13	19,92	19,54	19,94	19,89
CaO	12,15	11,91	11,88	11,79	12,56	11,71	12,15	11,99	11,84	11,68	12,04	11,89
Na2O	0,88	1,05	1,08	1,05	0,47	1,09	0,76	0,94	0,96	0,98	0,99	1,07
K2O	0,04	0,00	0,07	0,01	0,04	0,06	0,00	0,06	0,08	0,07	0,03	0,02
Initial Total	97,83	97,88	97,54	97,44	97,11	97,77	97,75	97,70	97,96	97,02	98,09	97,31
Formula Assignments												
T {ideally 8 apfu}												
Si	7,914	7,886	7,844	7,857	7,941	7,803	7,833	7,862	7,844	7,804	7,848	7,840
Al	0,086	0,114	0,156	0,143	0,059	0,197	0,167	0,138	0,156	0,196	0,152	0,160
Ti	0,000	0,000	0,000	0,000	0,000	0,000	0,000	0,000	0,000	0,000	0,000	0,000
Fe3+	0,000	0,000	0,000	0,000	0,000	0,000	0,000	0,000	0,000	0,000	0,000	0,000
T subtotal	8,000	8,000	8,000	8,000	8,000	8,000	8,000	8,000	8,000	8,000	8,000	8,000
C {ideally 5 apfu}												
Ti	0,005	0,000	0,000	0,006	0,000	0,000	0,001	0,009	0,006	0,000	0,008	0,000
Al	0,185	0,234	0,220	0,230	0,130	0,240	0,083	0,178	0,182	0,164	0,167	0,193
Cr	0,001	0,000	0,000	0,000	0,000	0,001	0,000	0,003	0,000	0,000	0,008	0,000
Fe3+	0,030	0,042	0,062	0,069	0,006	0,106	0,218	0,075	0,116	0,158	0,077	0,079
Mn2+	0,011	0,002	0,006	0,000	0,020	0,005	0,003	0,008	0,000	0,000	0,006	0,000
Fe2+	0,599	0,635	0,599	0,586	0,830	0,631	0,402	0,568	0,586	0,599	0,622	0,597
Mg	4,169	4,087	4,111	4,108	4,014	4,017	4,292	4,159	4,109	4,079	4,112	4,131
C subtotal	5,000	5,000	4,998	4,999	5,000	5,000	4,999	5,000	4,999	5,000	5,000	5,000
B {ideally 2 apfu}												
Mn2+	0,008	0,012	0,018	0,007	0,002	0,030	0,033	0,021	0,029	0,030	0,022	0,006
Fe2+	0,000	0,000	0,000	0,013	0,000	0,000	0,000	0,000	0,004	0,015	0,000	0,017
Ca	1,801	1,766	1,767	1,754	1,893	1,743	1,797	1,779	1,755	1,753	1,785	1,775
Na	0,191	0,222	0,215	0,226	0,106	0,227	0,170	0,199	0,212	0,202	0,193	0,202
B subtotal	2,000	2,000	2,000	2,000	2,001	2,000	2,000	1,999	2,000	2,000	2,000	2,000
A {from 0 to 1 apfu}												
Ca	0,000	0,000	0,000	0,000	0,000	0,000	0,000	0,000	0,000	0,000	0,000	0,000
Na	0,045	0,059	0,076	0,056	0,022	0,066	0,034	0,054	0,044	0,065	0,072	0,086
K	0,006	0,001	0,012	0,001	0,008	0,010	0,000	0,010	0,014	0,012	0,005	0,004
A subtotal	0,051	0,060	0,088	0,057	0,030	0,076	0,034	0,064	0,058	0,077	0,077	0,090

Tableau 2 : Composition chimique et formule structurale des amphiboles de l'échantillon 2BDL1892.

Reconnaissance de zones naturelles amiantifères (Cap Corse)

Échantillon 2BDL1893

Analyse en cours.

VERSION PROVISOIRE

Échantillon 2BDL1734

En cours

	S28	S28	S28
Species	actinolite	actinolite	actinolite
Analysis (wt %)			
SiO2	55,47	55,24	55,29
TiO2	0,06	0,00	0,00
Al2O3	1,23	0,92	0,98
Cr2O3	0,00	0,00	0,00
MnO	0,31	0,25	0,34
FeO	9,89	10,32	9,67
MgO	16,92	17,15	17,22
CaO	11,63	11,82	11,99
Na2O	0,76	0,64	0,59
K2O	0,04	0,07	0,02
Initial Total	96,31	96,41	96,11
Formula Assignments			
T (ideally 8 apfu)			
Si	7,955	7,933	7,951
Al	0,045	0,067	0,049
Ti	0,000	0,000	0,000
Fe3+	0,000	0,000	0,000
T subtotal	8,000	8,000	8,000
C (ideally 5 apfu)			
Ti	0,007	0,000	0,000
Al	0,163	0,090	0,117
Cr	0,000	0,000	0,000
Fe3+	0,058	0,087	0,045
Mn2+	0,028	0,000	0,029
Fe2+	1,127	1,152	1,118
Mg	3,617	3,671	3,691
C subtotal	5,000	5,000	5,000
B (ideally 2 apfu)			
Mn2+	0,010	0,030	0,013
Fe2+	0,000	0,001	0,000
Ca	1,787	1,818	1,847
Na	0,204	0,151	0,141
B subtotal	2,001	2,000	2,001
A (from 0 to 1 apfu)			
Ca	0,000	0,000	0,000
Na	0,008	0,028	0,025
K	0,006	0,012	0,004
A subtotal	0,014	0,040	0,029

Tableau 3 : Composition chimique et formule structurale des amphiboles de l'échantillon 2BDL1734.

4.2.2. Analyses par microscopie électronique à balayage

Échantillon 2BDL1716-A

Cet échantillon a été prélevé dans une veine recoupant des métagabbros aluminomagnésiens foliés à mylonitiques. Il correspond à des fibres arrachées à une paroi de la veine. Les images acquises au microscope électronique à balayage confirment le caractère fibreux de cet échantillon. Les fibres observées ont des bords subparallèles et un rapport d'allongement très élevé (Figure 38). Leur diamètre est variable et certaines fibres, subordonnées, ont un diamètre très inférieur à 3 µm. Quelques fibres parmi les plus fines sont courbes et clairement asbestiformes (Figure 38). Les spectres EDS enregistrés sont cohérents avec la nature probable de ces fibres (amphiboles calciques de type trémolite ; Figure 38).

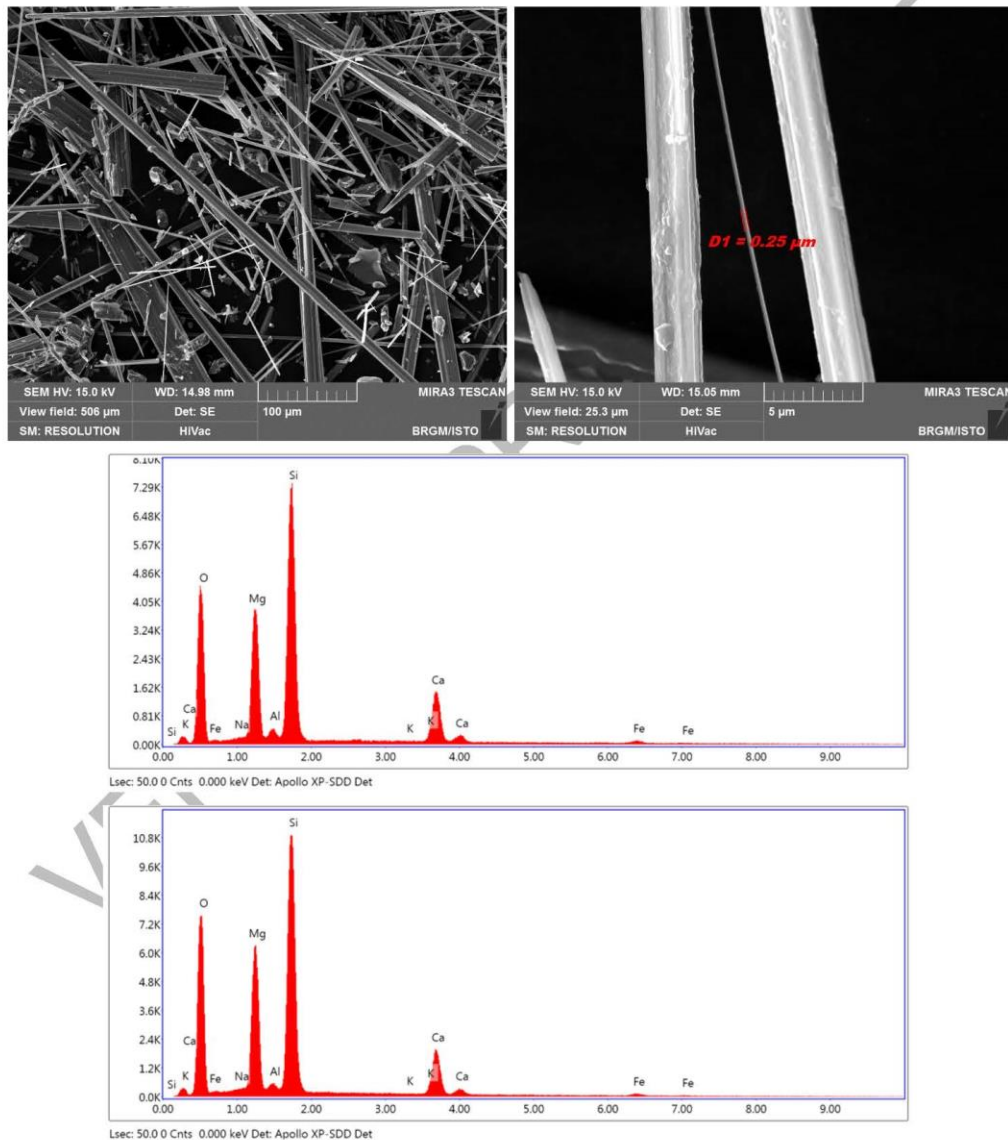


Figure 38 : Images MEB et exemples de spectres obtenus à partir des fibres de l'échantillon 2BDL1716-A.

Échantillon 2BDL1716-B

Cet échantillon provient d'une intercalation de serpentinites mylonitiques dans les métagabbros aluminomagnésiens foliés à mylonitiques de Giottani. Il correspond à des fibres prélevées dans un amas désolidarisé de sa roche-mère. Les images acquises au microscope électronique à balayage montrent que cet échantillon est constitué par des particules fibriformes rectilignes, plus ou moins allongées et épaisses (Figure 39). Une fraction subordonnée de ces particules correspond à des fibres de type OMS mais leur caractère asbestiforme n'est pas démontré. Il s'agit plus probablement de fragments de clivage. Les spectres EDS enregistrés sont cohérents avec la nature probable de ces fibres (amphiboles calciques de type trémolite ; Figure 39).

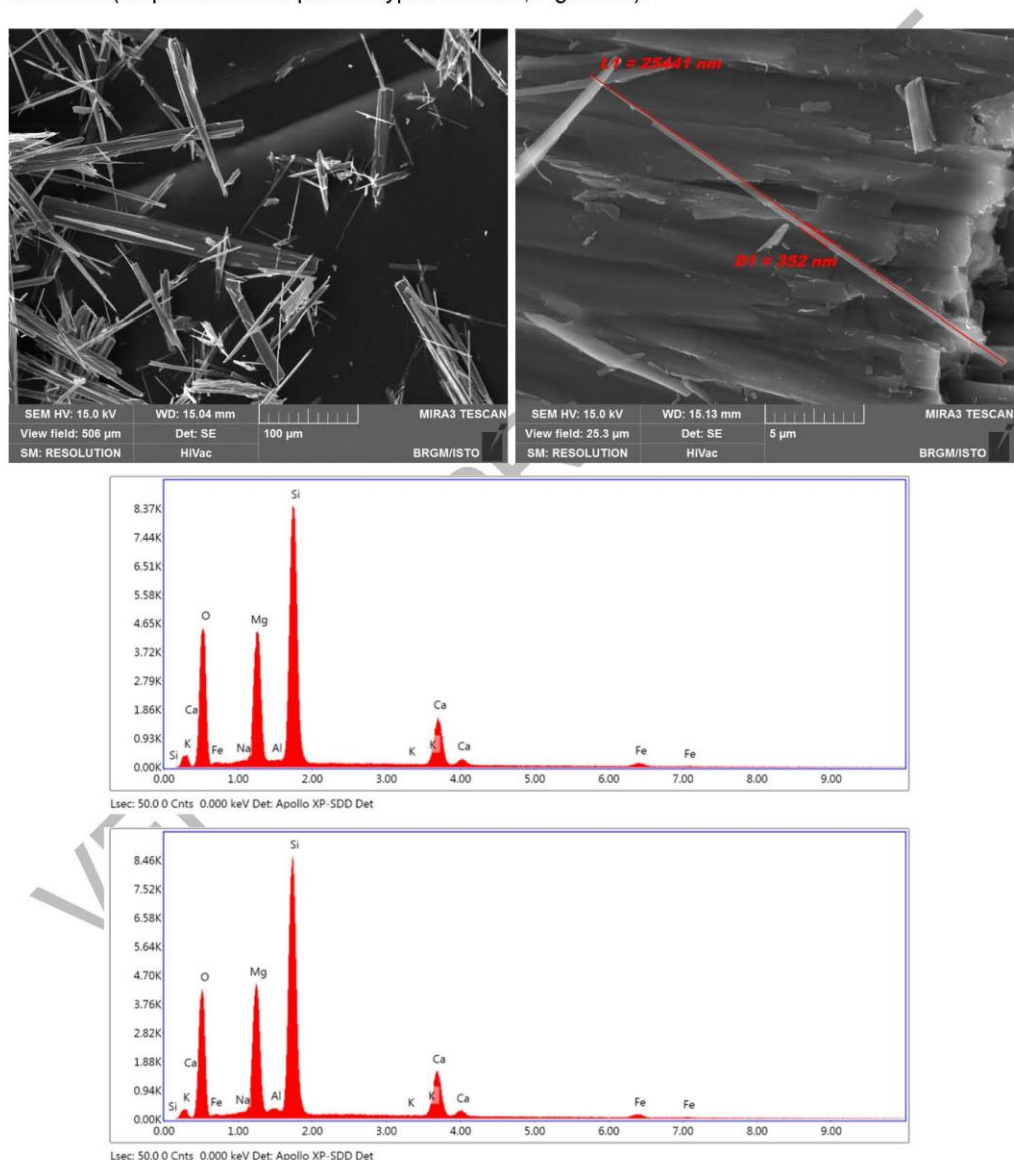


Figure 39 : Images MEB et exemples de spectres obtenus à partir des fibres de l'échantillon 2BDL1716-B.

Échantillon 2BDL1733

L'échantillon 2BDL1733 a été prélevé dans le talus de la D33, dans des metabasaltes foliés (N065 N30) recoupés par des veines albitiques (N125 S75, N140 W75, N000 W35). Il correspond à des fibres arrachées à la paroi d'une veine d'albite. Les images acquises au microscope électronique à balayage confirment le caractère fibreux de cet échantillon. Les fibres observées ont des bords subparallèles et un rapport d'allongement très élevé (Figure 40). Leur diamètre est variable mais la plupart des fibres ont un diamètre inférieur à 3 µm. Certaines fibres, très fines sont courbes et clairement asbestiformes (Figure 40). Les spectres EDS enregistrés sont cohérents avec la nature probable de ces fibres (amphiboles calciques de type actinolite ; Figure 40).

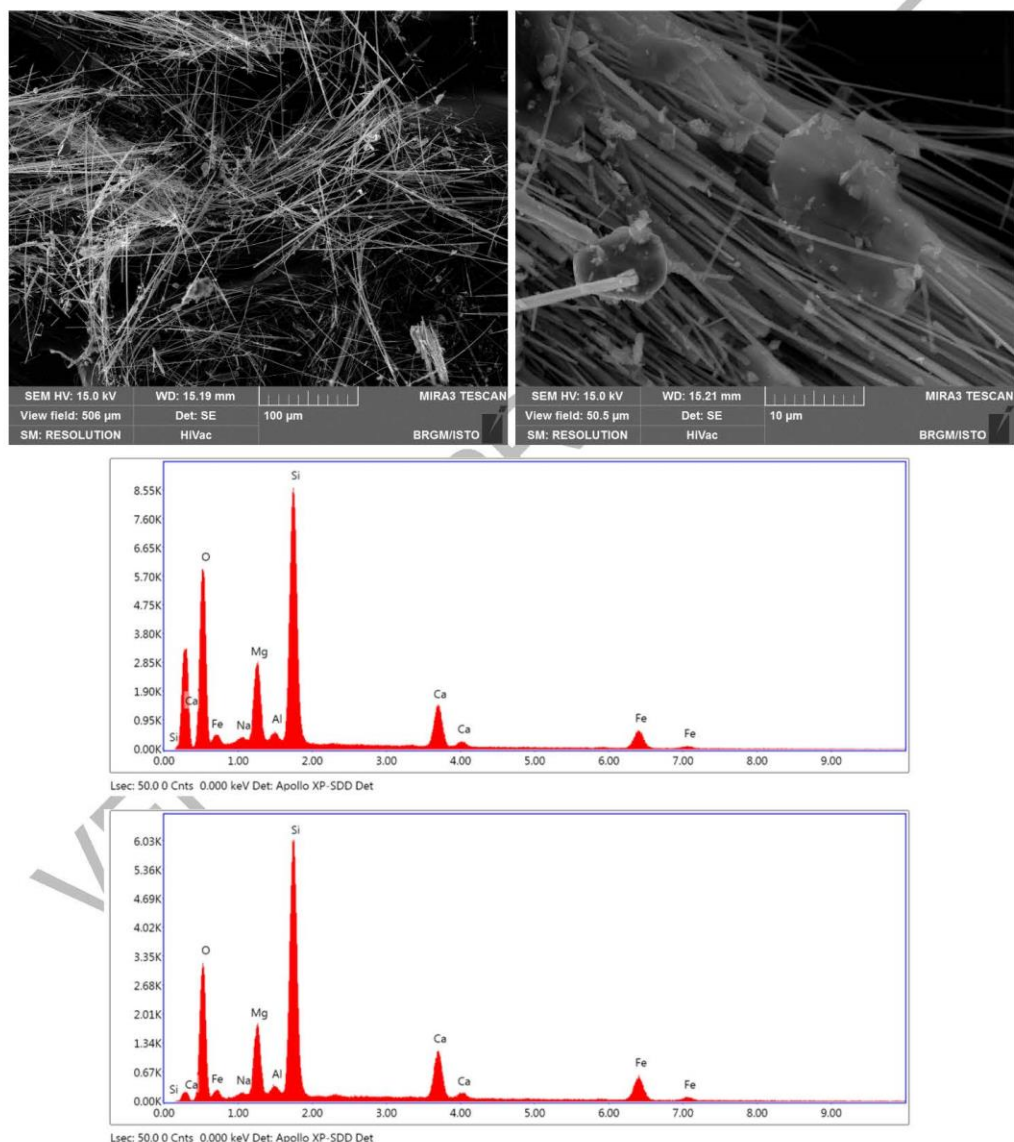


Figure 40 : Images MEB et exemples de spectres obtenus à partir des fibres l'échantillon 2BDL1733.

Échantillon 2BDL1739-A

L'échantillon 2BDL1739-A a été prélevé dans le village de Barrettali, dans des metabasaltes foliés (N015 W35) recoupés par une veine (N095 S60) scellée par de longues fibres d'apparence rigide. Les images acquises au microscope électronique à balayage montrent la présence de particules fibriformes hétérométriques, à bordures souvent subparallèles mais présentant un diamètre et un rapport d'allongement très variables d'une particule à l'autre (Figure 41). Certaines fibres, très subordonnées, sont de type OMS mais il s'agit très probablement de fragments de clivage. Les spectres EDS enregistrés sont cohérents avec la nature probable de ces fibres (amphiboles calciques de type actinolite ; Figure 41).

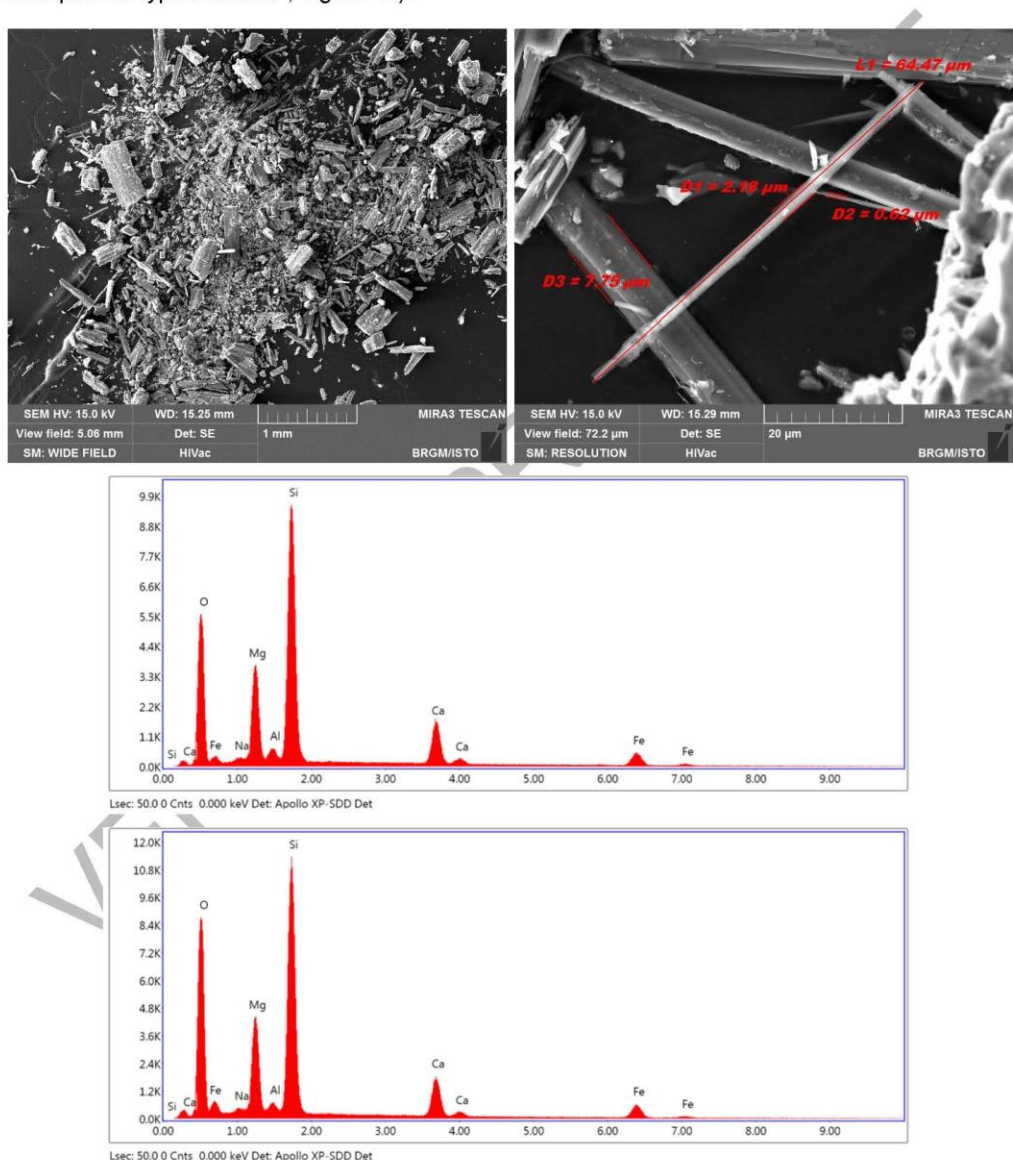


Figure 41 : Images MEB et exemples de spectres obtenus à partir des particules de l'éch. 2BDL1739-A.

Échantillon 2BDL1739-B

L'échantillon 2BDL1739-B a également été prélevé dans le village de Barrettali, dans des metabasaltes foliés (N015 W35) recoupés par une veine fibreuse orientée N085 S85. Les images acquises au microscope électronique à balayage montrent une association entre des fibres rectilignes à bords subparallèles, plus ou moins épaisses et allongées, et des fibres très fines et souples, clairement asbestiformes (Figure 42). Les spectres EDS enregistrés à partir de ces deux types de fibres sont cohérents avec la nature probable de ces fibres (amphiboles calciques de type actinolite ; Figure 42).

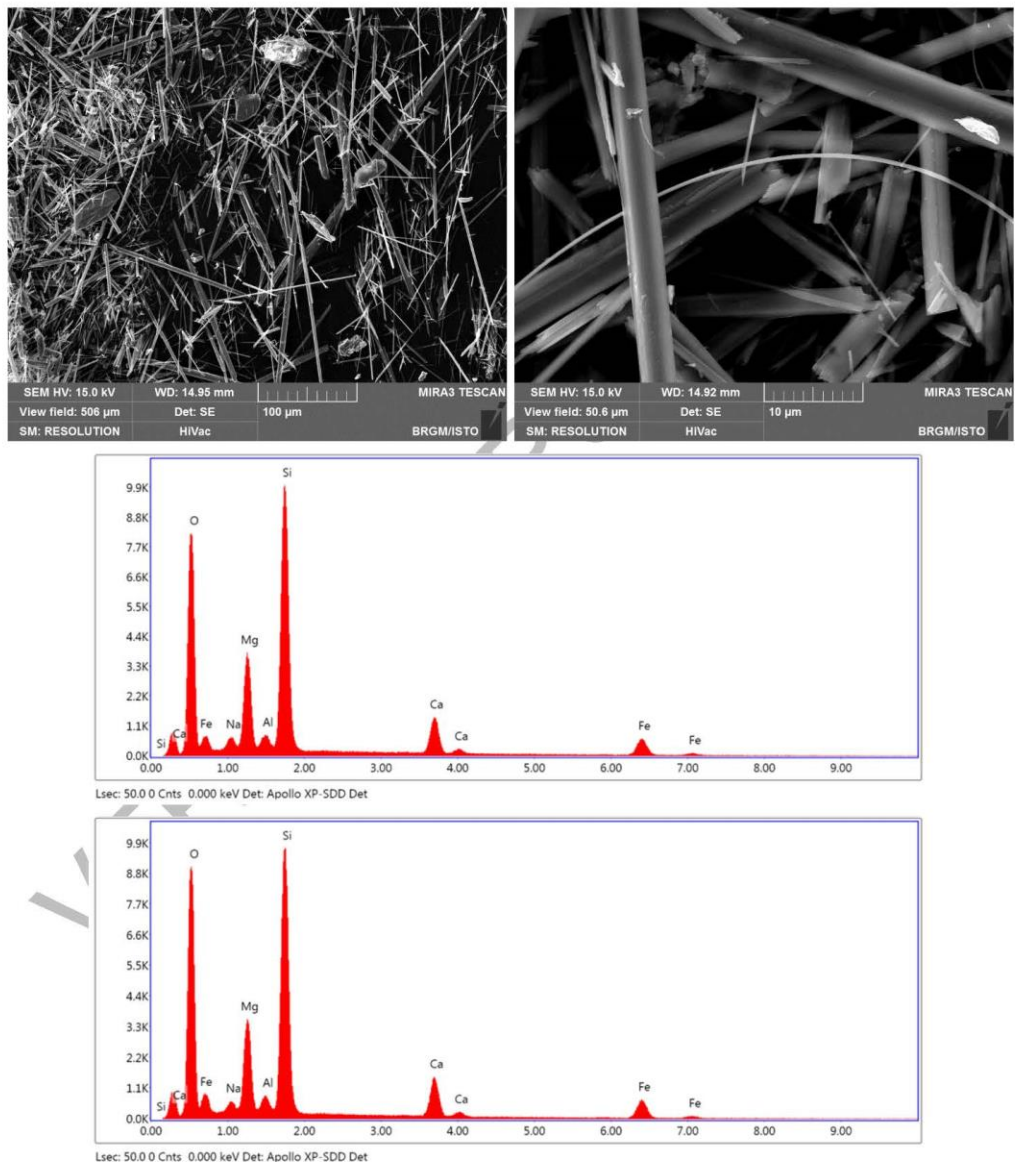


Figure 42 : Images MEB et exemples de spectres obtenus à partir des fibres de l'échantillon 2BDL1739-B.

Échantillon 2BDL1886

L'échantillon 2BDL1886 a été prélevé dans le talus de la piste menant aux bergeries de Petricaghjola, dans les serpentinites du Monte Alticcione. Il correspond à des fibres issues d'une veine peu épaisse (slip-veine). Les images acquises au microscope électronique à balayage montrent que cet échantillon est entièrement constitué par des faisceaux torsadés, formés par des fibres très fines et clairement asbestiformes (Figure 43). Les spectres EDS enregistrés sont cohérents avec la nature supposée de ces fibres (serpentine fibreuse de type chrysotile ; Figure 43).

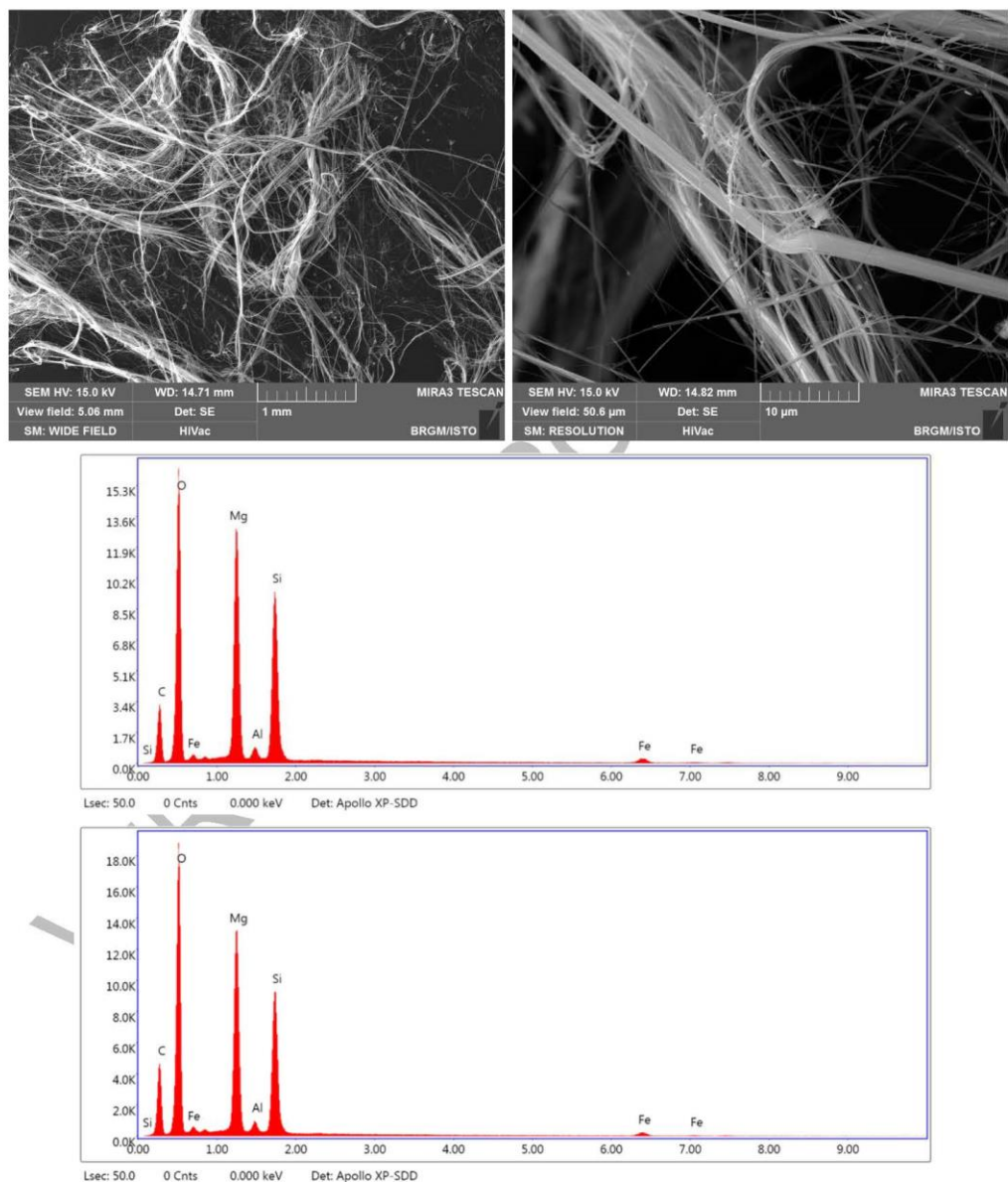


Figure 43 : Images MEB et exemples de spectres obtenus à partir des fibres de l'échantillon 2BDL1886.

Échantillon 2BDL1889

L'échantillon 2BDL1889 a également été prélevé dans le talus de la piste menant aux bergeries de Petricaghjola, dans des serpentinites noires du Monte Alticcione. Il correspond à de longues fibres issues d'une veine peu épaisse (slip-veine). Les images acquises au microscope électronique à balayage montrent que cet échantillon est constitué par une association entre des particules fibriformes de serpentine (Figure 44a, c) et d'amphibole (Figure 44b, d). Les spectres EDS enregistrés sont cohérents avec la nature supposée de ces particules (serpentine de type antigorite et amphibole de type actinolite magnésienne à trémolite; Figure 44).

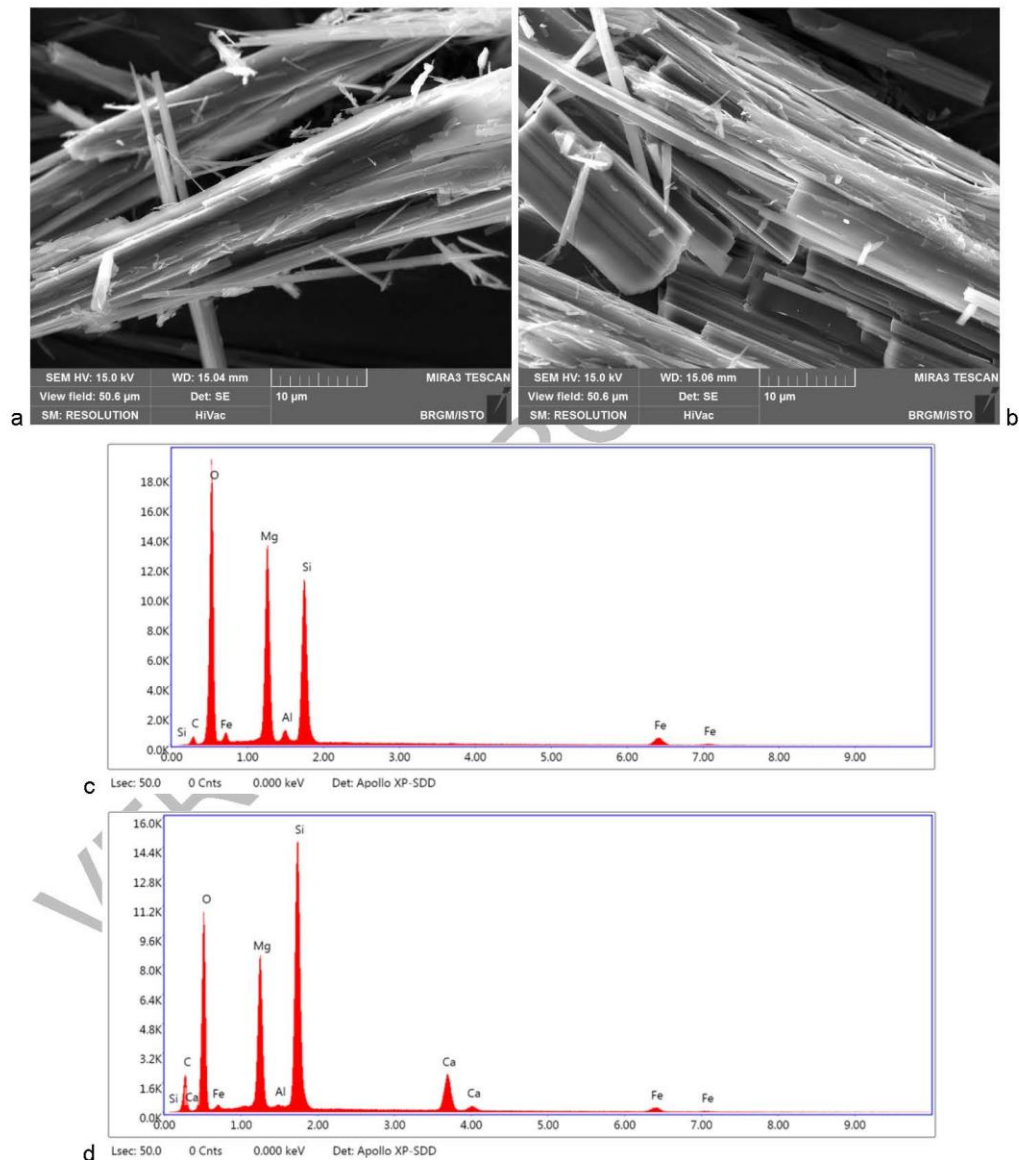


Figure 44 : Images MEB et exemples de spectres obtenus à partir des particules de l'éch. 2BDL1889.

Échantillon 2BDL1891

L'échantillon 2BDL1891 a été prélevé au sud des bergeries de Petricaghjola, le long du sentier de Bocca di a Serra, dans des serpentinites plus ou moins colluvionnées. Il correspond à un amas de fibres désolidarisé de sa roche-mère. Les images acquises au microscope électronique à balayage montrent que cet échantillon est constitué par une association entre des particules fibriformes de serpentine (Figure 45a, c) et des fibres d'amphibole asbestiformes (Figure 45b, d). Les spectres EDS enregistrés sont cohérents avec la nature supposée de ces particules (serpentine de type actinolite et amphibole de type actinolite magnésienne à trémolite; Figure 45).

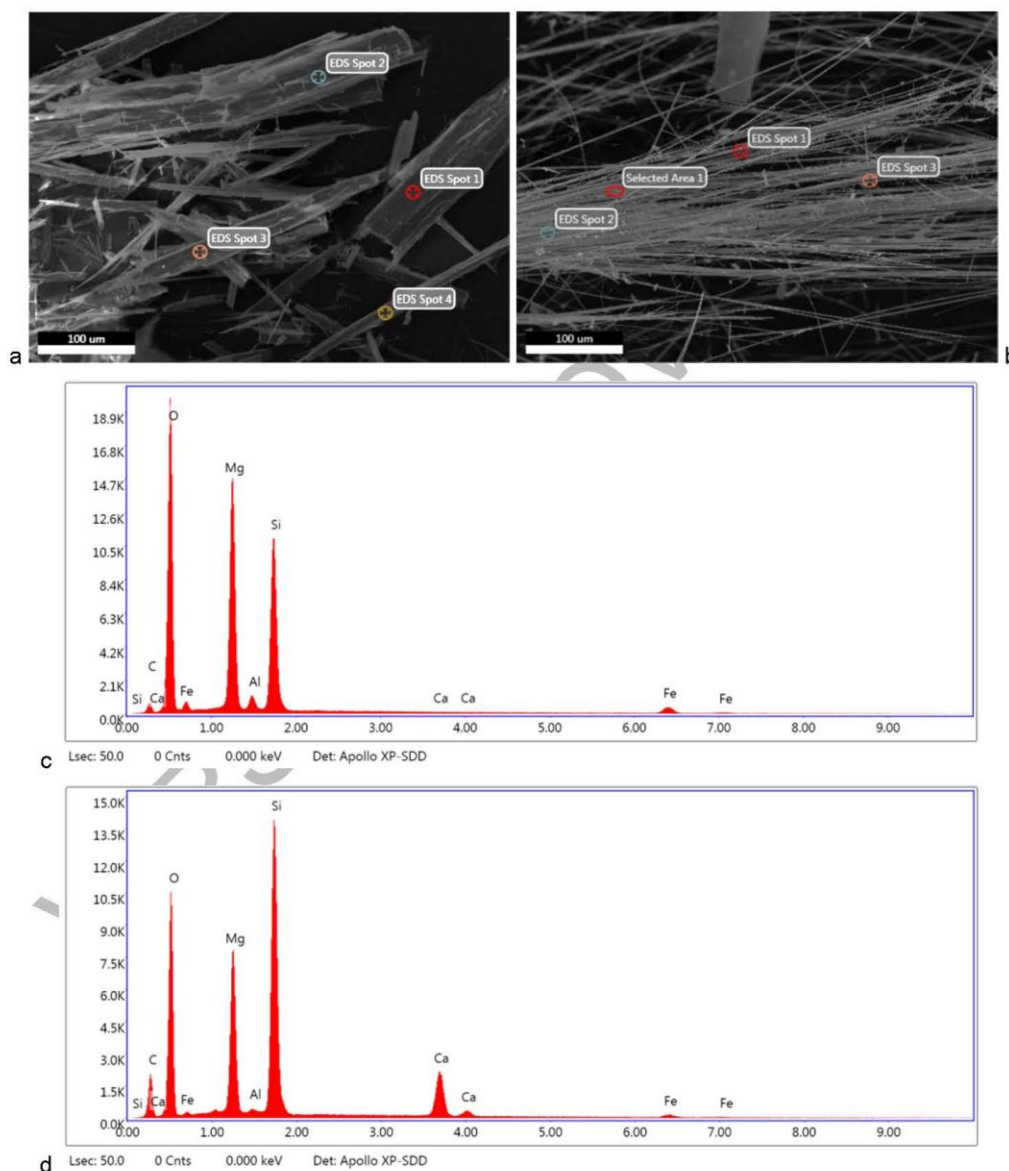


Figure 45 : Images MEB et exemples de spectres obtenus à partir des particules de l'éch. 2BDL1891.

Échantillon 2BDL1892

Cet échantillon a été prélevé dans la piste reliant le village de Barrettali à Pinzu à Vergine, dans des métagabbros aluminomagnésiens foliés à mylonitiques (N005 W10). Il correspond à de longues fibres bleutées synfoliales. Les images acquises au microscope électronique à balayage montrent que cet échantillon est constitué par des particules fibriformes rectilignes, plus ou moins allongées et épaisses (Figure 46). Une fraction subordonnée de ces particules correspond à des fibres de type OMS mais leur caractère asbestiforme n'est pas démontré. Il s'agit plus probablement de fragments de clivage. Les spectres EDS enregistrés sont cohérents avec la nature supposée de ces fibres (amphiboles calciques de type trémolite ou actinolite magnésienne ; Figure 46).

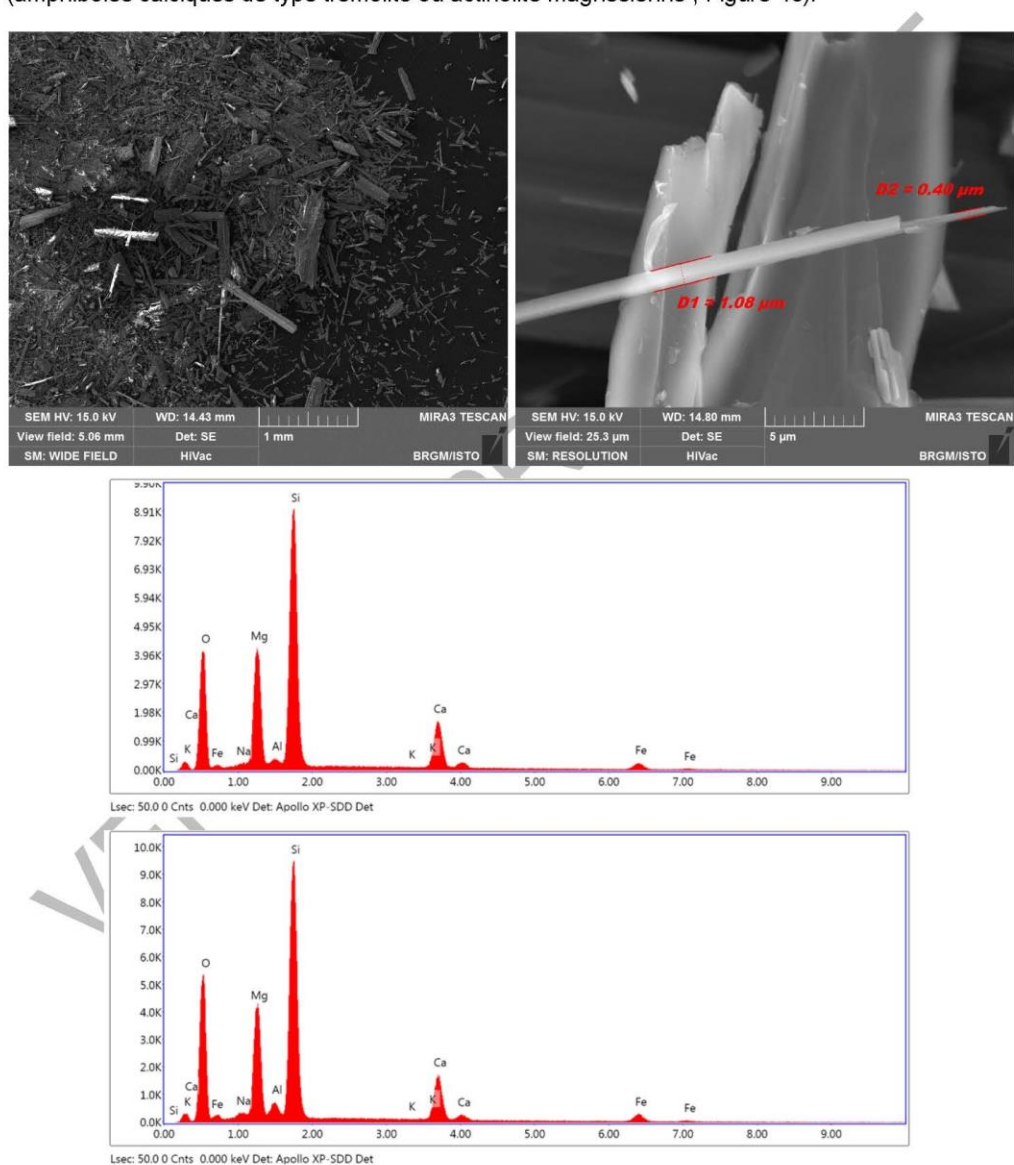


Figure 46 : Images MEB et exemples de spectres obtenus à partir des particules de l'échantillon 2BDL1892.

Échantillon 2BDL1894-B

L'échantillon 2BDL1894-B a été prélevé dans le talus de la D80, au nord de Minerviu, dans des métabasaites foliés (Foliation : N065 N25) recoupés par des veines à albite + actinolite orientées N075 S45. Il correspond à des fibres extraites de l'une de ces veines. Les images acquises au microscope électronique à balayage montrent que cet échantillon est majoritairement constitué par des particules fibriformes rectilignes, plus ou moins allongées et épaisses (Figure 47). Une fraction importante des particules correspond à des fibres de type OMS. Quelques fibres souples sont également observées. Les spectres EDS enregistrés sont cohérents avec la nature supposée de ces fibres (amphiboles calciques de type actinolite ; Figure 47).

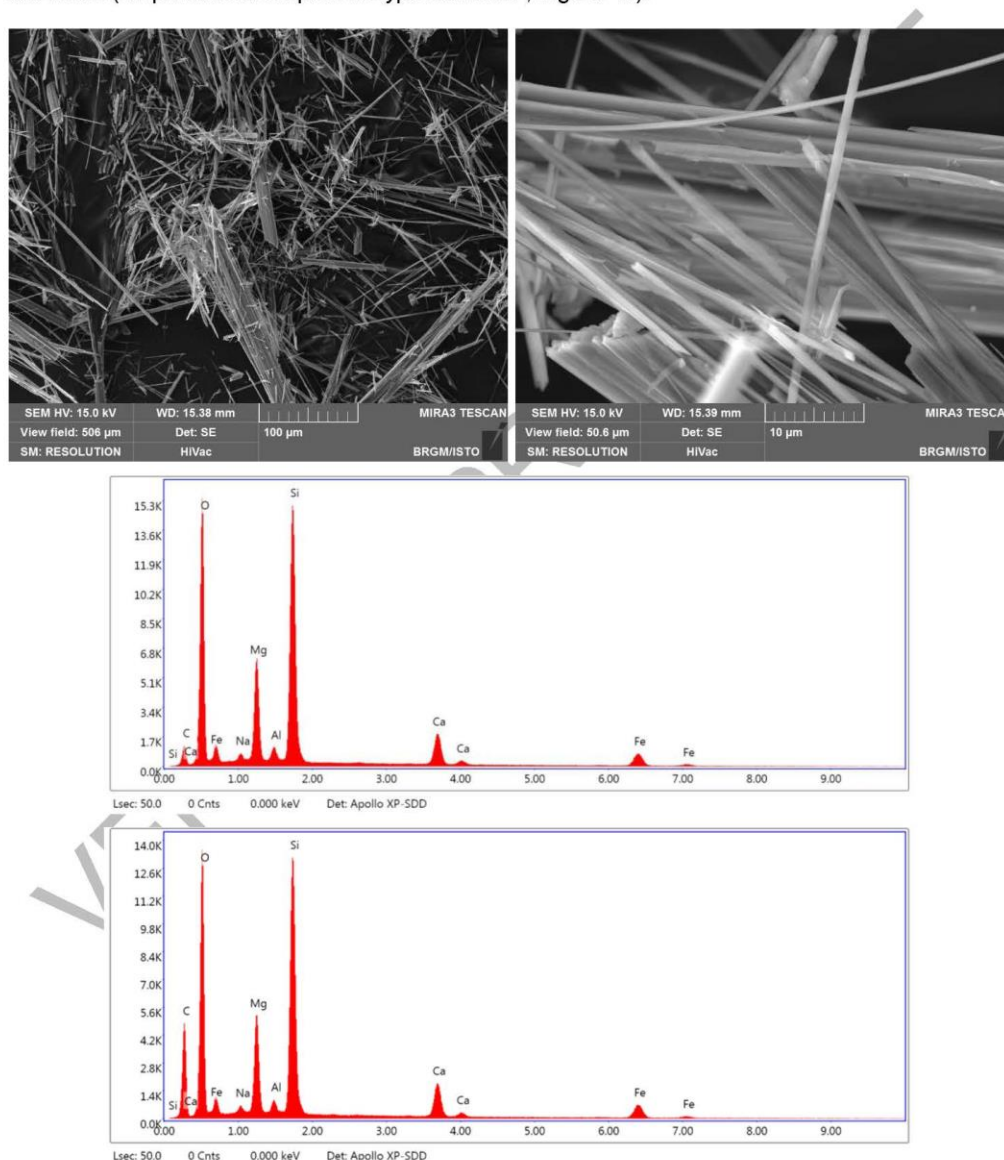


Figure 47 : Images MEB et exemples de spectres obtenus à partir des particules de l'éch. 2BDL1894-B.

Échantillon 2BDL1896-A

Cet échantillon a été prélevé dans le talus de la D80, au nord de Minerviu, dans des métagabbros aluminomagnésiens foliés à mylonitiques (N045 W50). Il correspond à de longues fibres bleutées prélevées sur un plan de mouvement parallèle aux plans de la foliation. Les images acquises au microscope électronique à balayage montrent que cet échantillon est très majoritairement constitué par des particules fibriformes à bords non parallèles, plus ou moins allongées et épaisses (Figure 48). Il s'agit plus probablement de fragments de clivage générés lors de la préparation de l'échantillon. Les spectres EDS enregistrés sont cohérents avec la nature probable de ces fibres (amphiboles calciques de type trémolite ou actinolite magnésienne ; Figure 48).

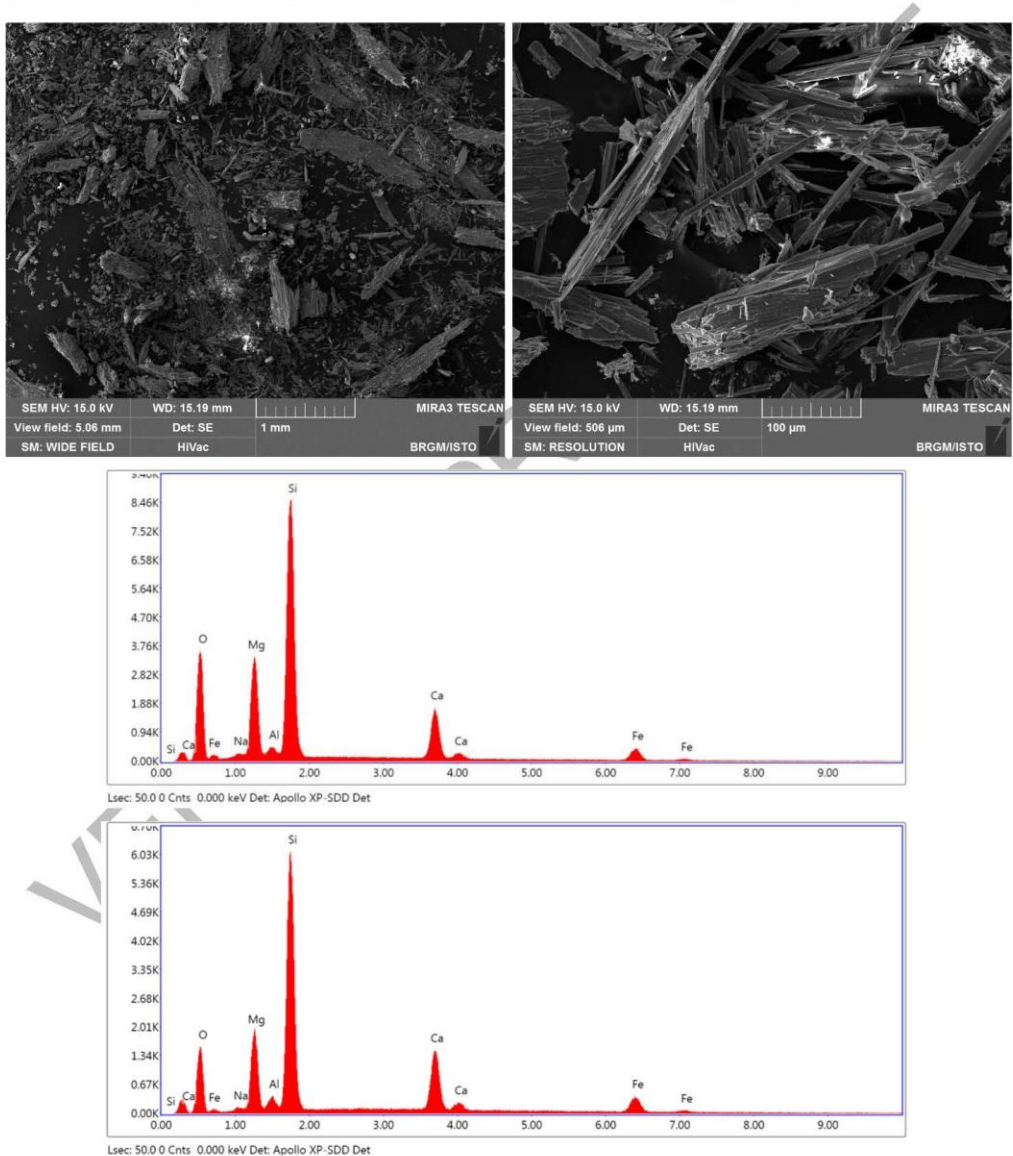


Figure 48 : Images MEB et exemples de spectres obtenus à partir des particules de l'éch. 2BDL1896-A.

Échantillon 2BDL2024

Cet échantillon a été prélevé dans le talus de la D80, au niveau de la marine de Giottani, dans des métagabbros aluminos-magnésiens foliés à mylonitiques. Il correspond à de longues fibres blanches issues d'une veine orientée N110 N90. Les images acquises au microscope électronique à balayage montrent que cet échantillon est très majoritairement constitué par des particules fibriformes à bords généralement subparallèles, plus ou moins allongées et épaisses (Figure 49). Il s'agit probablement de fragments de clivage générés lors de la préparation de l'échantillon. Les spectres EDS enregistrés sont cohérents avec la nature probable de ces fibres (amphiboles calciques de type trémolite ; Figure 49).

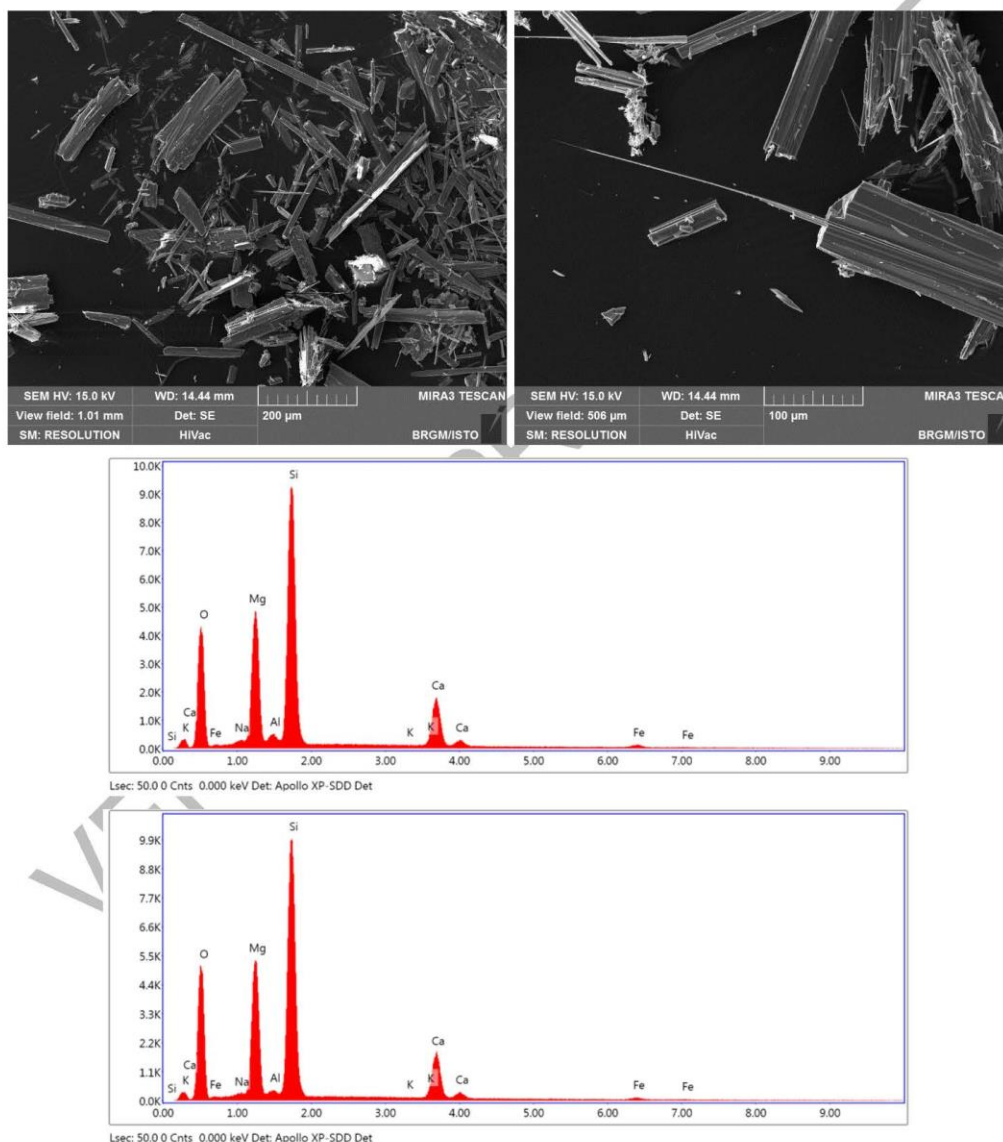


Figure 49 : Images MEB et exemples de spectres obtenus à partir des particules de l'éch. 2BDL2024.

4.3. SECTEURS SENSIBLES ET PRECONISATIONS

En cours

VERSION PROVISOIRE

5. Commune de Cagnano

D'un point de vue géologique, plusieurs unitésaffleurent dans l'emprise du territoire de la commune de Cagnano. Ces unités correspondent (Lahondère et al., 1992) :

- à des serpentinites (notées Λ sur la carte géologique de Luri à 1/50 000) ;
- à des métagabbros (notés $\delta\theta$ sur la carte géologique de Luri à 1/50 000) ;
- à des glaucophanites à grenat (notées ψ sur la carte géologique de Luri à 1/50 000) ;
- à des prasinites (notées δ^{11} sur la carte géologique de Luri à 1/50 000) ;
- à des quartzites micacés (notés X_m sur la carte géologique de Luri à 1/50 000) ;
- à des cipolins et à des calcschistes (notés $C-S^B$ sur la carte géologique de Luri à 1/50 000) ;
- à des schistes et à des calcschistes (notés ξ^1-S^B sur la carte géologique de Luri à 1/50 000).

Des éboulis occupent également des surfaces relativement importantes, en particulier dans la partie occidentale de la commune.

Les travaux réalisés ont porté sur :

- les talus de la D80, depuis la Tour de Losse au sud jusqu'au nord de Porticciolo ;
- les talus de la D32 entre la Bocca di San Rocco au sud et le col de la Serra au nord ;
- les talus de la D132 ;
- les talus de la D432 ;
- les talus des routes d'accès aux différents hameaux (Adamo, Ghilloni Suprana) ;
- les emprises des principales tâches urbaines (Porticciolo, Suare, Piazza, Carbonacce).

Des informations ont également été acquises le long de la ligne de crête reliant le col de la Serra au Monte Alticcione et dans les alluvions du ruisseau de Misinco.

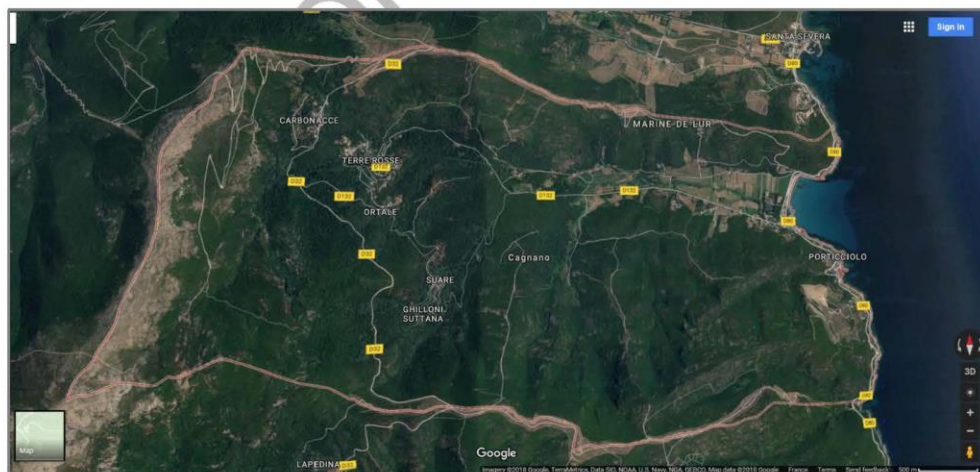


Figure 50 : Emprise de la commune de Cagnano.

5.1. DONNEES ACQUISES SUR LE TERRAIN

5.1.1. Les serpentinites

Les serpentinites affleurent principalement dans la partie occidentale de la commune (massif du Monte Alticcione). Un affleurement de serpentinites est également signalé le long de la côte, au sud de Porticciolo (Lahondère et al., 1992).

Les serpentinites affleurant dans la partie occidentale de la commune ont été observées dans de bonnes conditions dans le talus de la piste qui rejoint la forêt communale de Cagnano (2BDL2012, 2BDL2013). Ces serpentinites sont en contact avec les metabasaltes du Monte Castellu, sur lesquels elles reposent. Elles sont très déformées et riches en occurrences amiantifères (Figure 51a à d).

L'affleurement de serpentinites recoupé par la D80 au sud de Porticciolo (2BDL038) a préalablement été reconnu (Lahondère et al., 2010 ; Figure 51e, f). Le caractère amiantifère de ces serpentinites est avéré. Cet affleurement se connecte à un affleurement de serpentinites situé plus au sud, sur la commune de Pietracorbara, et particulièrement riche en occurrences amiantifères (2BDL036 ; Figure 73) (Lahondère et al., 2010 ; Cagnard et al., 2015).

Les observations réalisées dans le cadre de la présente étude confirment la nature amiantifère de tous les affleurements de serpentinites.





Figure 51 : Talus amiantifères observés le long de la piste située au-dessus du hameau de Carbonnacce (a & b : point 2BDL2012 ; c & d : point 2BDL2013) et en bordure de la D80 (e & f : point 2BDL038).

5.1.2. Les métagabbros

Les affleurements de métagabbros sont tous localisés dans la partie occidentale de la commune où ils sont cartographiquement associés aux serpentinites du massif du Monte Alticcione.

5.1.3. Les glaucophanites à grenat

Un seul affleurement a été reconnu. Il est localisé en bordure de mer, au nord de la marine de Porticcio. Cet affleurement (2BDL2292) correspond à des métagabbros alumino-magnésiens et à des métagabbros ferro-titanés écolitiques (Figure 52a). Des fibres d'actinolite potentiellement asbestiformes ont été observées dans des niveaux verdâtres affectés par des recristallisations dans le faciès schiste vert, à veines albitiques synfoliales (Figure 52b).



Figure 52 : Point 2BDL2292 : Alternance de métagabbros écolitiques (a) et détail d'une veine à albite + actinolite observée dans des niveaux rétro-morphosés (b).

5.1.4. Les prasinites

Les affleurements de prasinites sont localisés dans la partie occidentale de la commune ainsi que dans la partie orientale, en bordure de côte.

À l'ouest, les prasinites constituent une barre rocheuse sur les contreforts orientaux de la ligne de crête reliant le Monte Castellu au nord au Monte Rosso au sud. Des occurrences fibreuses (actinolite) ont été identifiées dans ces mêmes metabasaltes, sur la commune voisine de Luri.

À l'est, les prasinites forment plusieurs affleurements importants au sud de Porticcio.



a

Figure 53 : a :

5.1.5. Les quartzites micacés

En cours

5.1.6. Les cipolins et les calcschistes

En cours



a

b

Figure 54 : a : 2BDL2008 ; b : 2BDL2016

5.1.7. Les schistes et les calcschistes

En cours

5.1.8. Les éboulis

En cours

5.1.9. Les alluvions du ruisseau de Misinco

En cours

5.2. DONNEES ACQUISES EN LABORATOIRE

5.2.1. Analyses par microscopie optique et microsonde électronique

En cours

5.2.2. Analyses par microscopie électronique à balayage

VERSION PROVISOIRE

Échantillon 2BDL2012

Analyse en cours.

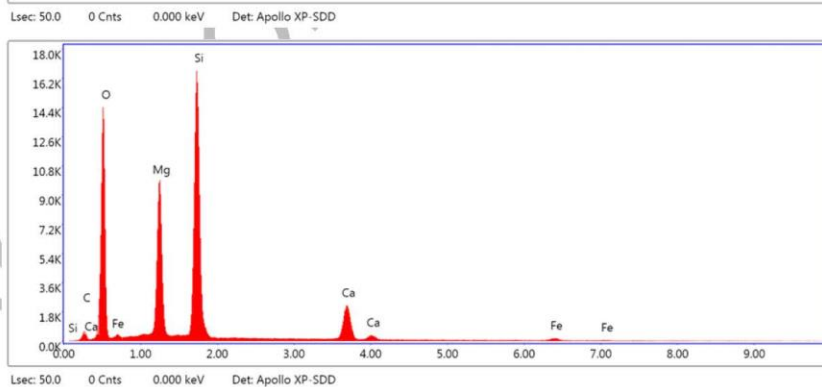
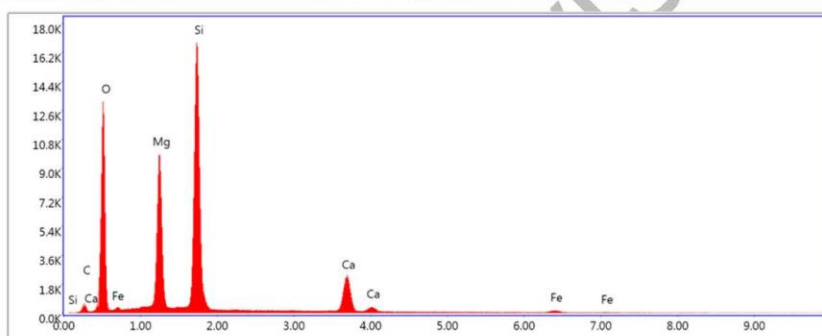
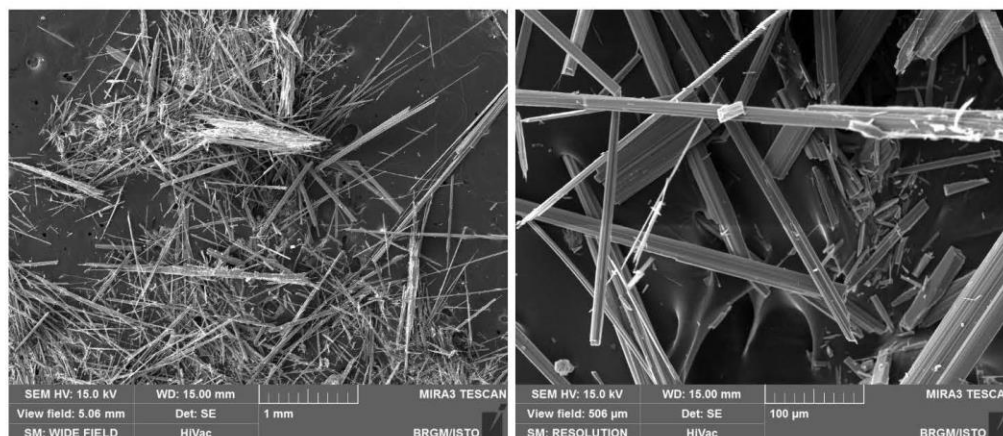


Figure 55 : Images MEB et exemples de spectres obtenus à partir des particules de l'éch. 2BDL2012.

5.3. SECTEURS SENSIBLES ET PRECONISATIONS

Chemin de lumière (2BDL2012 à 2BDL2013).

En cours

VERSION PROVISOIRE

6. Commune de Canari

Le territoire de la commune de Canari est à cheval sur trois cartes géologiques à 1/50 000 : Luri, Saint-Florent et Bastia. D'un point de vue géologique, plusieurs unités affleurent dans l'emprise du territoire de la commune de Canari. Ces unités correspondent à des serpentinites, à des métagabbros, à des prasinites (métabasaltites), à des glaucophanites (ou prasinites) à grenat et à des schistes et calcschistes (Figure 56). Les faciès de métagabbros à smaragdite sont notés ψS sur la carte de Saint-Florent et $\delta\theta sm$ sur la carte de Bastia (Figure 56). Des éboulis occupent également des surfaces relativement importantes, en particulier dans les secteurs de Canari et de Vignale.

Carte géologique à 1/50 000		Serpentinites	Métagabbros	Prasinites Métabasaltites	Glaucophanites à grenat Prasinites à grenat	Schistes et calcschistes	Eboulis
Luri	1102	\wedge	$\delta\theta$	δ^{11}	ψ	ξ^1-S^8	E
Saint-Florent	1103	\wedge	$\theta S ; \psi S$	$\Sigma S ; \psi jo$	-	-	E-C
Bastia	1104	\wedge	$\delta\theta ; \delta\theta sm$	ζ^{11}	$\zeta^{11}g$	$S^8-\xi 1$	E

Figure 56 : Notations utilisées sur les cartes géologiques à 1/50 000 de Luri, Saint-Florent et Bastia.

Sur la commune de Canari, les travaux réalisés ont porté sur :

- les talus de la D80, depuis Punta Bianca jusqu'à la marine de Giottani au nord ;
- les talus de la D33 entre Canelle et le moulin di Pendente ;
- les talus de la D33 bis ;
- la voie d'accès à la marine de Scala ;
- le sentier de randonnée reliant Canari à la Bocca di a Serra ;
- le sentier de randonnée reliant Canari à Ogliaastro ;
- les emprises des principales tâches urbaines (Canari, Vignale, Marinca).

L'emprise de l'ancienne mine d'amiante de Canari n'a pas donné lieu à des investigations spécifiques dans le cadre de cette étude.

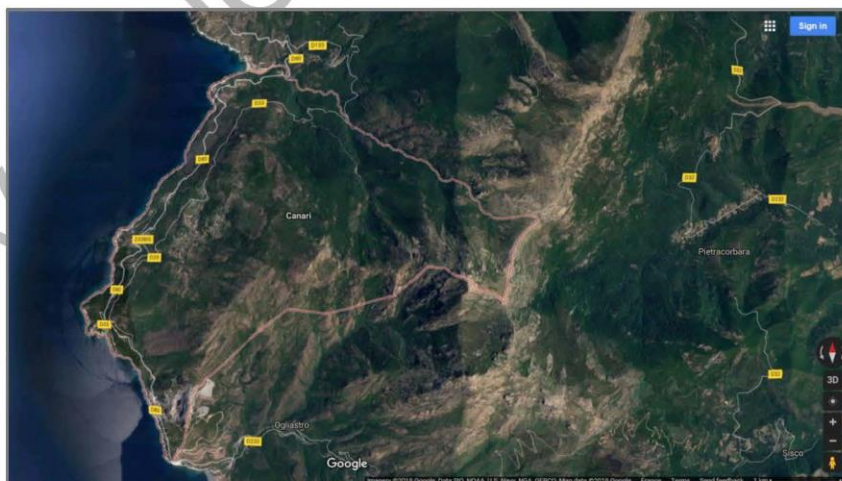


Figure 57 : Emprise de la commune de Canari

6.1. DONNEES ACQUISES SUR LE TERRAIN

6.1.1. Les serpentinites

Sur les cartes géologiques à 1/50 000 de Luri et de Saint-Florent, aucun affleurement de serpentinites n'est représenté au nord d'Abro, le long de la D80. Les relevés détaillés faits dans le cadre de cette étude ont permis d'identifier plusieurs affleurements de serpentinites, très étroitement associés aux métagabbros de Giottani. Ces serpentinites sont très déformées et systématiquement amiantifères (ex : 2BDL0012). De telles intercalations de serpentinites amiantifères, plus ou moins épaisses et continues, ont également été identifiées plus au sud, entre la marine d'Albo et l'ancienne mine d'amiante de Canari (2BDL1803, 2BDL1806, 2BDL1807) (Figure 58).

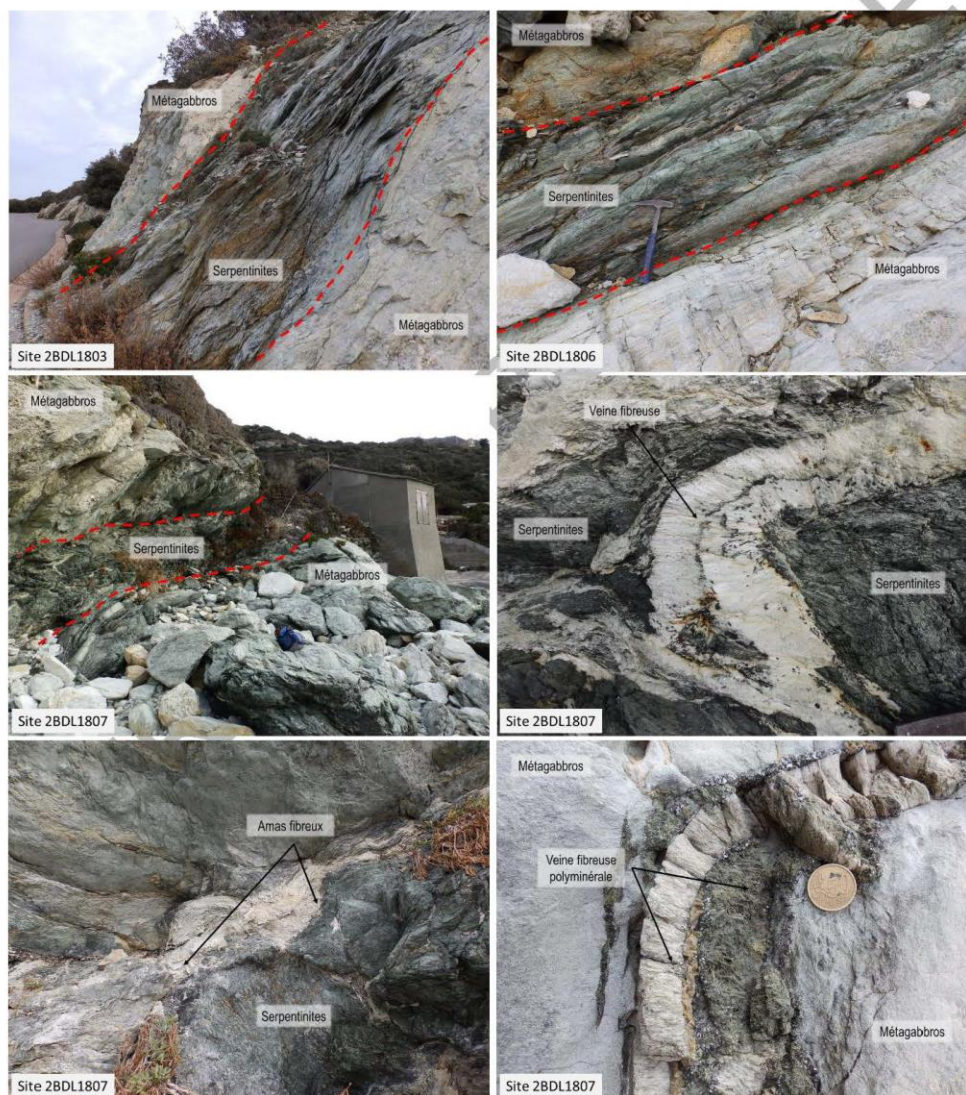


Figure 58 : Exemples d'affleurements de serpentinites et occurrences fibreuses associées.

6.2. DONNEES ACQUISES EN LABORATOIRE

6.2.1. Analyses par microscopie optique et microsonde électronique

Échantillon 2BDL1724

Analyse en cours.

DL1724												
Species	actinolite											
Analysis (wt %)												
SiO2	54,75	54,73	54,73	55,56	55,33	54,22	55,20	54,99	55,42	55,24	54,66	54,69
TiO2	0,00	0,00	0,03	0,00	0,00	0,11	0,00	0,00	0,00	0,00	0,00	0,00
Al2O3	1,58	1,27	1,04	0,89	0,92	1,11	1,19	1,08	1,16	0,86	1,24	1,14
Cr2O3	0,00	0,00	0,03	0,00	0,04	0,00	0,00	0,02	0,01	0,00	0,00	0,00
MnO	0,38	0,27	0,18	0,27	0,44	0,60	0,29	0,23	0,17	0,25	0,29	0,29
FeO	13,05	13,02	12,61	12,39	12,04	15,53	13,06	12,56	12,66	11,59	12,07	13,20
MgO	15,67	15,57	15,98	16,14	16,39	14,11	15,92	16,03	16,01	16,52	16,40	16,15
CaO	11,41	11,62	11,63	11,93	11,81	11,00	11,47	11,70	11,78	12,33	12,20	11,72
Na2O	1,04	0,88	0,75	0,64	0,63	1,19	0,89	0,75	0,81	0,53	0,59	0,69
K2O	0,08	0,08	0,06	0,00	0,03	0,04	0,13	0,07	0,02	0,00	0,03	0,04
Initial Total	97,96	97,43	97,03	97,82	97,63	97,90	98,13	97,42	98,03	97,31	97,48	97,92
Formula Assignments												
T (ideally 8 apfu)												
Si	7,833	7,877	7,878	7,926	7,909	7,855	7,877	7,883	7,903	7,919	7,837	7,827
Al	0,167	0,123	0,122	0,074	0,091	0,145	0,123	0,117	0,097	0,081	0,163	0,173
Ti	0,000	0,000	0,000	0,000	0,000	0,000	0,000	0,000	0,000	0,000	0,000	0,000
Fe3+	0,000	0,000	0,000	0,000	0,000	0,000	0,000	0,000	0,000	0,000	0,000	0,000
T subtotal	8,000	8,000	8,000	8,000	8,000	8,000	8,000	8,000	8,000	8,000	8,000	8,000
C (ideally 5 apfu)												
Ti	0,000	0,000	0,003	0,000	0,000	0,012	0,000	0,000	0,000	0,000	0,000	0,000
Al	0,100	0,093	0,054	0,076	0,064	0,044	0,076	0,065	0,097	0,064	0,047	0,019
Cr	0,000	0,000	0,003	0,000	0,005	0,000	0,000	0,002	0,001	0,000	0,000	0,000
Fe3+	0,171	0,118	0,196	0,133	0,116	0,205	0,163	0,185	0,110	0,052	0,127	0,205
Mn2+	0,000	0,000	0,000	0,012	0,000	0,015	0,000	0,001	0,000	0,015	0,000	0,000
Fe2+	1,388	1,448	1,315	1,345	1,322	1,676	1,375	1,322	1,390	1,338	1,320	1,331
Mg	3,342	3,340	3,429	3,433	3,493	3,048	3,385	3,425	3,402	3,531	3,506	3,445
C subtotal	5,001	4,999	5,000	4,999	5,000	5,000	4,999	5,000	5,000	5,000	5,000	5,000
B (ideally 2 apfu)												
Mn2+	0,046	0,033	0,022	0,020	0,053	0,058	0,035	0,026	0,021	0,015	0,035	0,035
Fe2+	0,003	0,001	0,007	0,000	0,000	0,000	0,020	0,000	0,011	0,000	0,001	0,044
Ca	1,749	1,792	1,793	1,823	1,809	1,707	1,753	1,797	1,800	1,893	1,874	1,797
Na	0,203	0,175	0,178	0,156	0,137	0,235	0,192	0,177	0,169	0,092	0,090	0,124
B subtotal	2,001	2,001	2,000	1,999	1,999	2,000	2,000	2,000	2,001	2,000	2,000	2,000
A (from 0 to 1 apfu)												
Ca	0,000	0,000	0,000	0,000	0,000	0,000	0,000	0,000	0,000	0,000	0,000	0,000
Na	0,086	0,071	0,031	0,020	0,038	0,101	0,054	0,030	0,056	0,056	0,073	0,067
K	0,014	0,015	0,011	0,000	0,006	0,007	0,023	0,012	0,003	0,000	0,006	0,006
A subtotal	0,100	0,086	0,042	0,020	0,044	0,108	0,077	0,042	0,059	0,056	0,079	0,073

Tableau 4 : Composition chimique et formule structurale des amphiboles de l'échantillon 2BDL1724.

Échantillon 2BDL1807-3

Analyse en cours.

VERSION PROVISOIRE

Échantillon 2BDL1809-B

Analyse en cours.

	DL1809B											
Species	tremolite	actinolite	tremolite									
Analysis (wt %)												
SiO2	57,57	58,13	58,38	57,56	57,68	57,51	58,09	58,08	57,69	57,64	57,56	57,65
TiO2	0,00	0,11	0,04	0,03	0,00	0,00	0,01	0,00	0,00	0,00	0,00	0,05
Al2O3	0,08	0,06	0,06	0,08	0,38	0,09	0,01	0,09	0,05	0,07	0,05	0,00
Cr2O3	0,12	0,00	0,05	0,04	0,09	0,01	0,08	0,02	0,00	0,01	0,04	0,04
MnO	0,12	0,08	0,12	0,15	0,06	0,11	0,00	0,09	0,02	0,15	0,02	0,12
FeO	3,27	3,26	3,18	3,81	2,82	3,13	2,45	3,59	2,72	3,61	4,35	2,55
MgO	22,53	22,53	22,64	22,41	22,47	22,78	23,18	22,37	23,01	22,55	21,74	22,99
CaO	13,13	13,20	13,35	13,33	13,04	13,29	13,29	12,96	13,37	13,17	13,29	13,42
Na2O	0,32	0,32	0,35	0,32	0,30	0,32	0,23	0,38	0,27	0,24	0,25	0,25
K2O	0,03	0,04	0,00	0,00	0,05	0,08	0,03	0,06	0,04	0,01	0,02	0,00
Initial Total	97,17	97,72	98,16	97,72	96,89	97,30	97,38	97,64	97,17	97,45	97,32	97,06
Formula Assignments												
T (ideally 8 apfu)												
Si	7,956	7,986	7,986	7,933	7,972	7,938	7,974	7,987	7,955	7,940	7,984	7,957
Al	0,013	0,009	0,010	0,013	0,028	0,015	0,002	0,013	0,008	0,012	0,008	0,000
Ti	0,000	0,005	0,004	0,003	0,000	0,000	0,001	0,000	0,000	0,000	0,000	0,006
Fe3+	0,031	0,000	0,000	0,051	0,000	0,048	0,023	0,000	0,034	0,048	0,000	0,021
T subtotal	8,000	8,000	8,000	8,000	8,000	8,001	8,000	8,000	7,997	8,000	7,992	7,984
C (ideally 5 apfu)												
Ti	0,000	0,006	0,000	0,000	0,000	0,000	0,000	0,000	0,000	0,000	0,000	0,000
Al	0,000	0,000	0,000	0,000	0,034	0,000	0,000	0,000	0,002	0,000	0,000	0,000
Cr	0,013	0,000	0,006	0,004	0,010	0,001	0,009	0,002	0,000	0,001	0,004	0,005
Fe3+	0,022	0,013	0,000	0,007	0,020	0,003	0,017	0,050	0,000	0,075	0,000	0,000
Mn2+	0,000	0,006	0,014	0,003	0,001	0,000	0,000	0,000	0,000	0,002	0,000	0,000
Fe2+	0,324	0,362	0,363	0,380	0,305	0,309	0,231	0,360	0,270	0,292	0,500	0,265
Mg	4,640	4,613	4,617	4,605	4,630	4,687	4,743	4,587	4,730	4,630	4,496	4,731
C subtotal	4,999	5,000	5,000	4,999	5,000	5,000	5,000	5,001	5,000	5,000	5,000	5,001
B (ideally 2 apfu)												
Mn2+	0,014	0,004	0,000	0,014	0,006	0,013	0,000	0,011	0,003	0,016	0,003	0,014
Fe2+	0,001	0,000	0,000	0,000	0,000	0,002	0,011	0,003	0,010	0,000	0,005	0,008
Ca	1,944	1,943	1,957	1,969	1,931	1,965	1,955	1,909	1,975	1,944	1,975	1,978
Na	0,041	0,054	0,043	0,017	0,063	0,021	0,034	0,077	0,013	0,040	0,018	0,000
B subtotal	2,000	2,001	2,000	2,000	2,000	2,001	2,000	2,000	2,001	2,000	2,001	2,000
A (from 0 to 1 apfu)												
Ca	0,000	0,000	0,000	0,000	0,000	0,000	0,000	0,000	0,000	0,000	0,000	0,007
Na	0,045	0,031	0,048	0,069	0,018	0,064	0,028	0,025	0,060	0,022	0,049	0,066
K	0,005	0,007	0,000	0,000	0,009	0,014	0,005	0,011	0,007	0,002	0,003	0,000
A subtotal	0,050	0,038	0,048	0,069	0,027	0,078	0,033	0,036	0,067	0,024	0,052	0,073

Tableau 5 : Composition chimique et formule structurale des amphiboles de l'échantillon 2BDL1809-B.

Échantillon 2BDL1868

Analyse en cours.

6.2.2. Analyses par microscopie électronique à balayage

VERSION PROVISOIRE

Échantillon 2BDL1708

Cet échantillon a été prélevé dans le talus de la D80, au sud de l'ancienne mine de Canari, dans des métagabbros alumino-magnésiens foliés à mylonitiques (Foliation : N015 W30) recoupés par des veines fibreuses orientées N125 N75 à N145W75. Il correspond à des fibres arrachées à la paroi d'une veine. Les images acquises au microscope électronique à balayage montrent que cet échantillon est constitué par des fibres à bords généralement parallèles, plus ou moins allongées et épaisses (Figure 59). Une fraction subordonnée de fibres très fines, clairement asbestiformes, est également observée. Les spectres EDS enregistrés sont cohérents avec la nature probable de ces fibres (amphiboles calciques de type actinolite magnésienne et trémolite ; Figure 59).

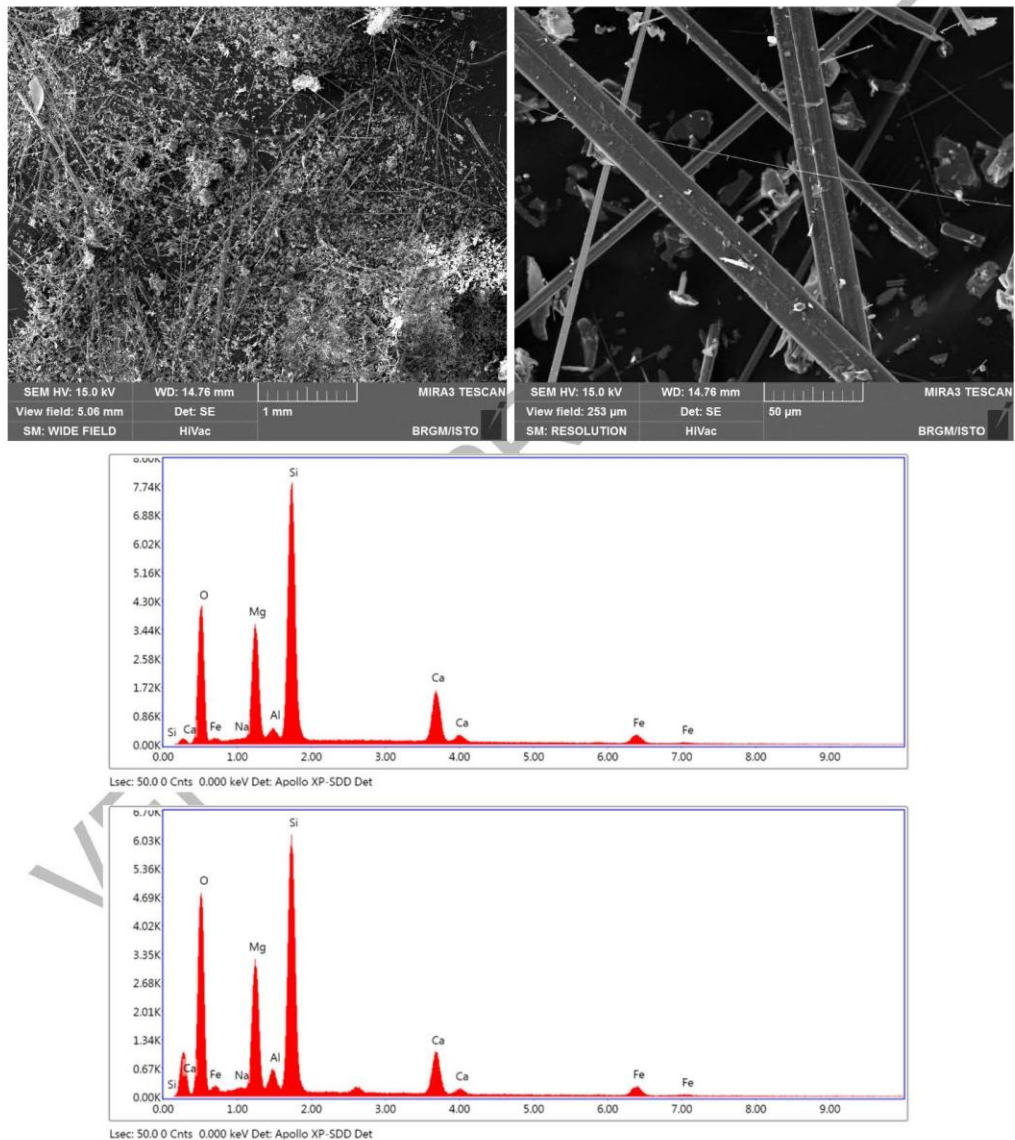


Figure 59 : Images MEB et exemples de spectres obtenus à partir des fibres de l'échantillon 2BDL1708.

Échantillon 2BDL1709

L'échantillon 2BDL1709 a été prélevé dans le talus de la D33, au-dessus d'Abro, dans des serpentinites très fragmentées et riches en occurrences fibreuses. Il correspond à un amas de fibres blanches désolidarisé de sa roche-mère. Les images acquises au microscope électronique à balayage montrent que cet échantillon est entièrement constitué par des faisceaux torsadés, formés par des fibres très fines et clairement asbestiformes (Figure 60). Les spectres EDS enregistrés sont cohérents avec la nature supposée de ces fibres (serpentine fibreuse de type antigorite ou chrysotile ; Figure 60).

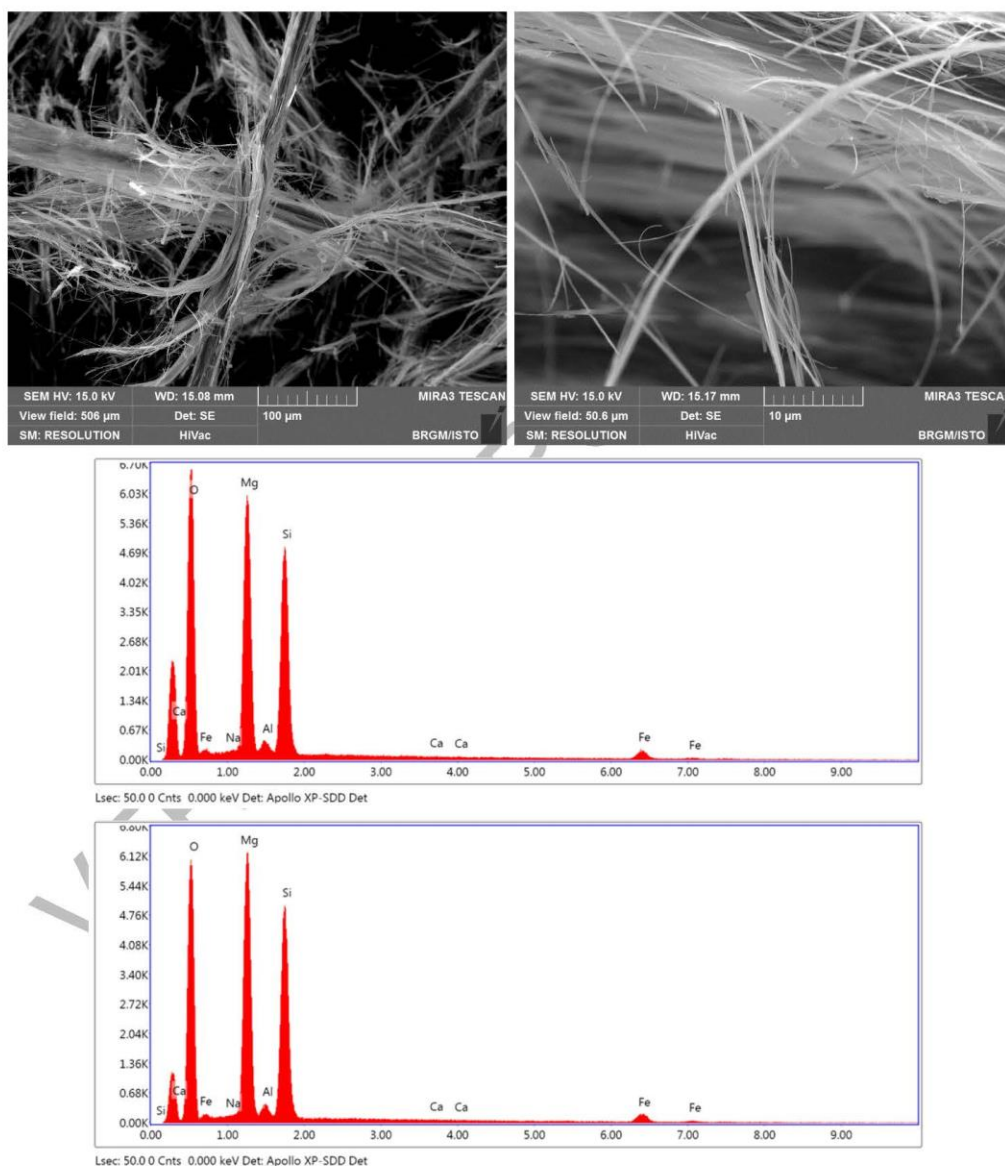


Figure 60 : Images MEB et exemples de spectres obtenus à partir des fibres de l'échantillon 2BDL1709.

Échantillon 2BDL1709-B

L'échantillon 2BDL1709-B a été prélevé dans le même secteur que l'échantillon précédent, dans le talus de la D33, au-dessus d'Abro, dans des serpentinites très fragmentées et riches en occurrences fibreuses. Il correspond à un amas de fibres blanches désolidarisé de sa roche-mère. Les images acquises au microscope électronique à balayage montrent que cet échantillon est également constitué par des faisceaux torsadés, formés par des fibres très fines et clairement asbestiformes (Figure 61). Les spectres EDS enregistrés sont cohérents avec la nature supposée de ces fibres (serpentine fibreuse de type antigorite ou chrysotile ; Figure 61).

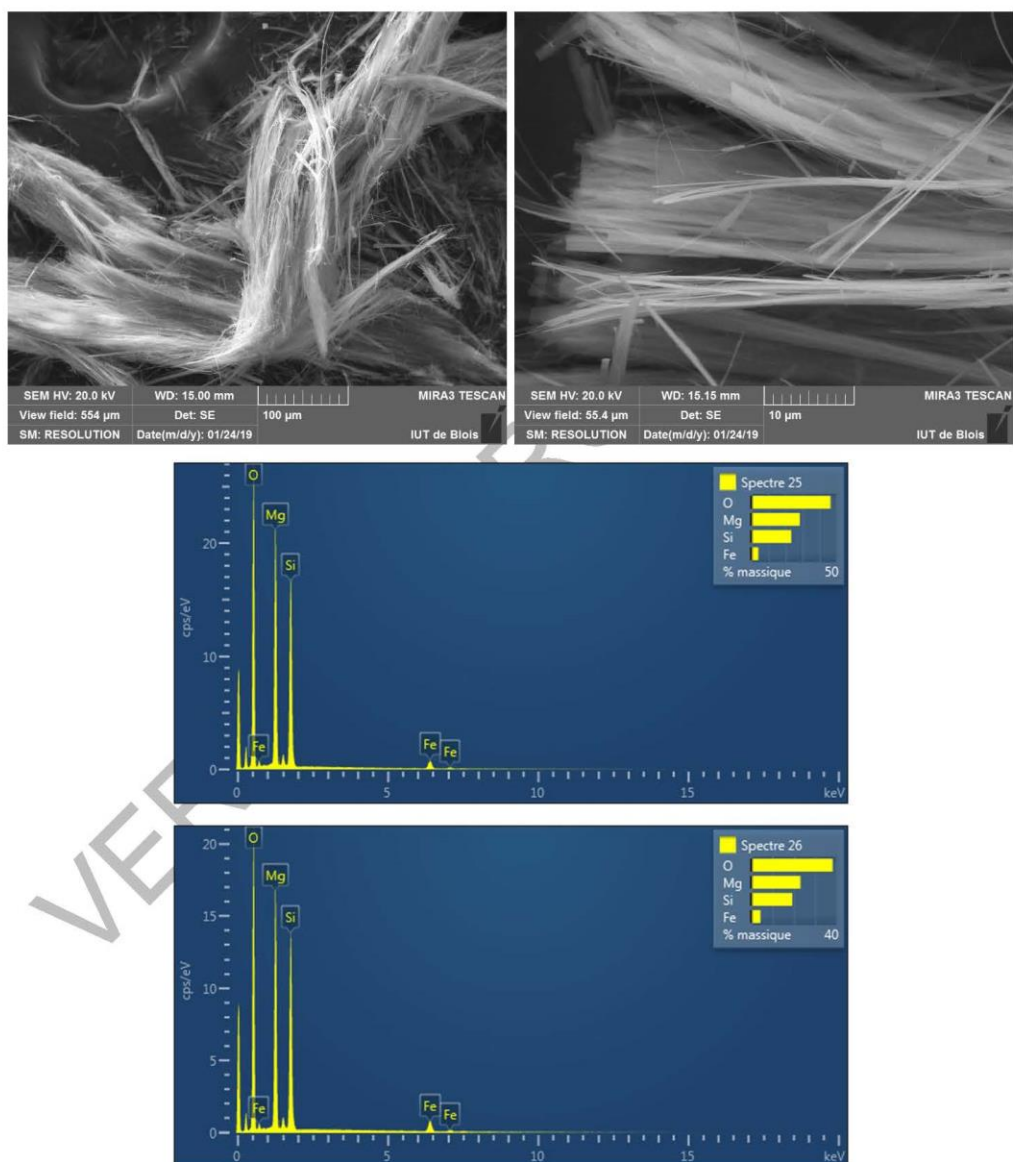


Figure 61 : Images MEB et exemples de spectres obtenus à partir des fibres de l'échantillon 2BDL1709-B.

Échantillon 2BDL1709-C

L'échantillon 2BDL1709-C a été prélevé dans le même secteur que les deux échantillons précédents, dans le talus de la D33, au-dessus d'Abro, dans des serpentinites très fragmentées et riches en occurrences fibreuses. Il correspond à un amas de fibres blanches désolidarisé de sa roche-mère. Les images acquises au microscope électronique à balayage montrent que cet échantillon est constitué par des fibres très allongées à bords parallèles, généralement très fines ($D \ll 3 \mu\text{m}$) et rectilignes mais pouvant être courbes (Figure 62). Les spectres EDS enregistrés sont cohérents avec la nature supposée de ces fibres (amphibole fibreuse de type trémolite ; Figure 62).

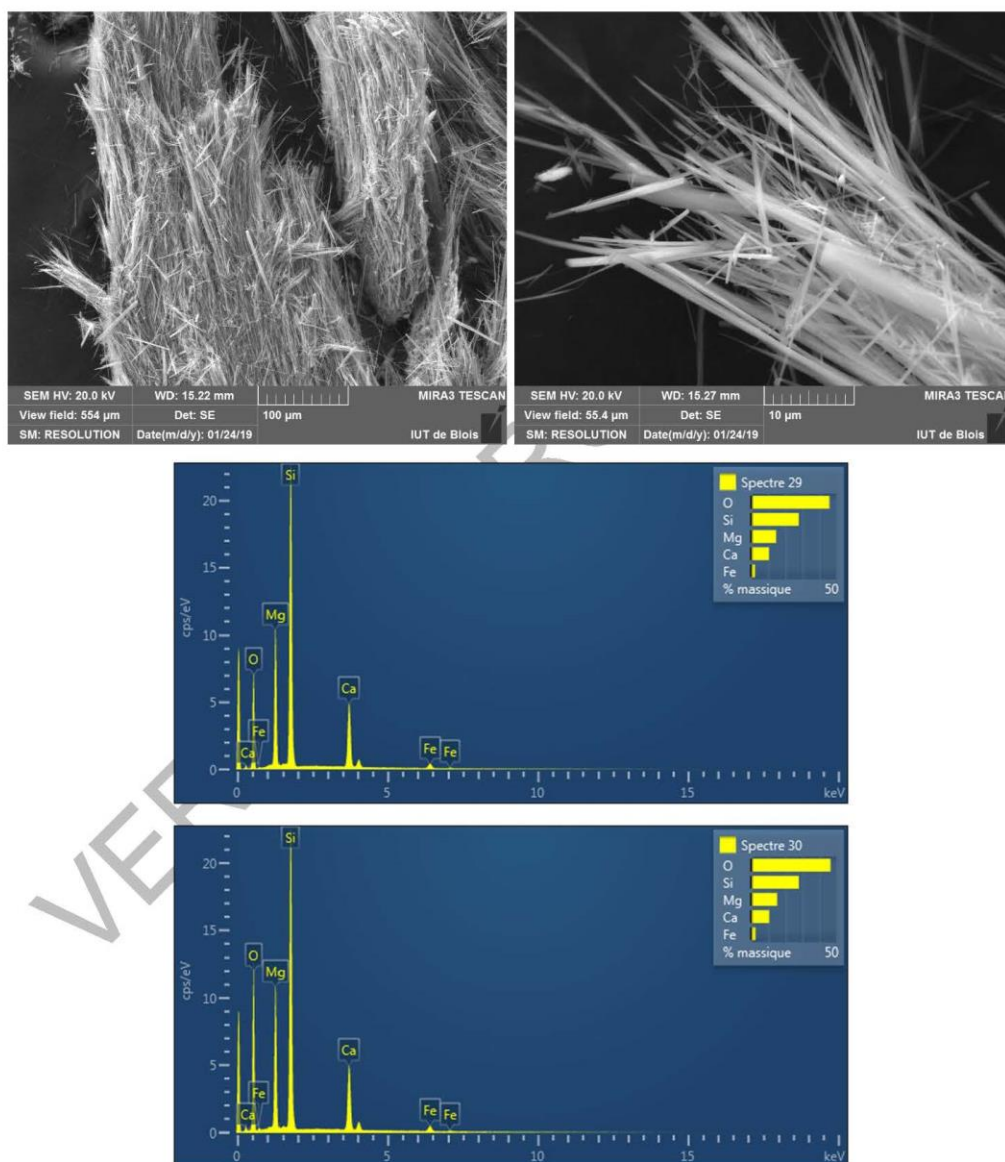


Figure 62 : Images MEB et exemples de spectres obtenus à partir des fibres de l'échantillon 2BDL1709-C.

Échantillon 2BDL1709-D

L'échantillon 2BDL1709-D a été prélevé dans le même secteur que les trois échantillons précédents, dans le talus de la D33, au-dessus d'Abro, dans des serpentinites très fragmentées et riches en occurrences fibreuses. Il correspond à un amas de fibres blanches désolidarisé de sa roche-mère. Les images acquises au microscope électronique à balayage montrent que cet échantillon est constitué par des faisceaux de fibres très allongées à bords parallèles, généralement très fines ($D \ll 3 \mu\text{m}$) et rectilignes mais pouvant être courbes (Figure 63). Les spectres EDS enregistrés sont cohérents avec la nature probable de ces fibres (amphibole fibreuse de type trémolite ; Figure 63).

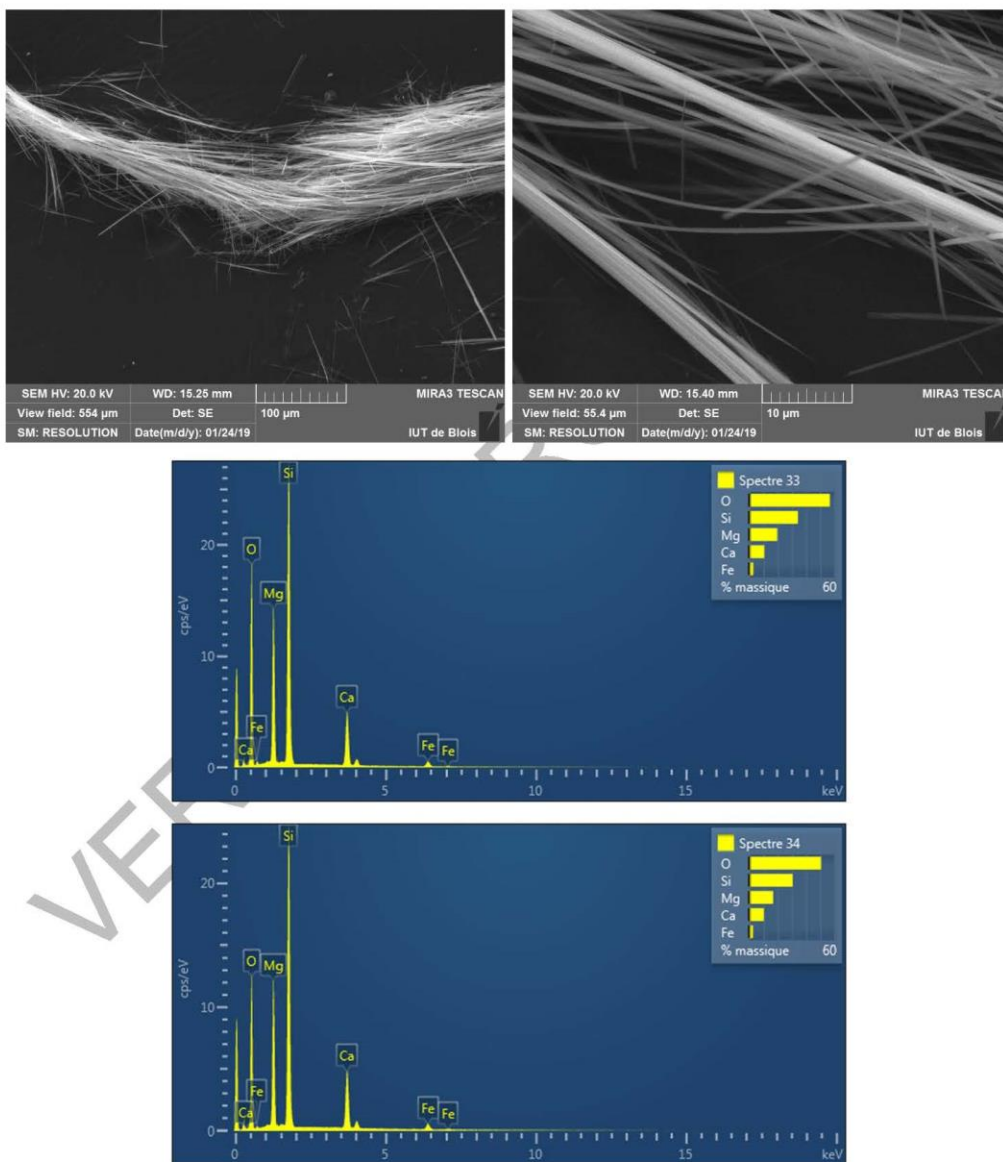


Figure 63 : Images MEB et exemples de spectres obtenus à partir des fibres de l'échantillon 2BDL1709-D.

Échantillon 2BDL1710

L'échantillon 2BDL1710 a été prélevé dans le même secteur que les quatre échantillons précédents, dans le talus de la D33, au-dessus d'Abro, dans des colluvions à éléments de serpentinites et mottes fibreuses dispersées. Il correspond à l'une des mottes observées. Les images acquises au microscope électronique à balayage montrent que cet échantillon est constitué par des particules fibriformes plus ou moins allongées et épaisses, à bords le plus souvent parallèles mais présentant des terminaisons variables (pointues, biseautées, en marches d'escalier...) (Figure 64). Les spectres EDS enregistrés sont cohérents avec la nature probable de ces fibres (amphibole calcique de type trémolite ; Figure 64).

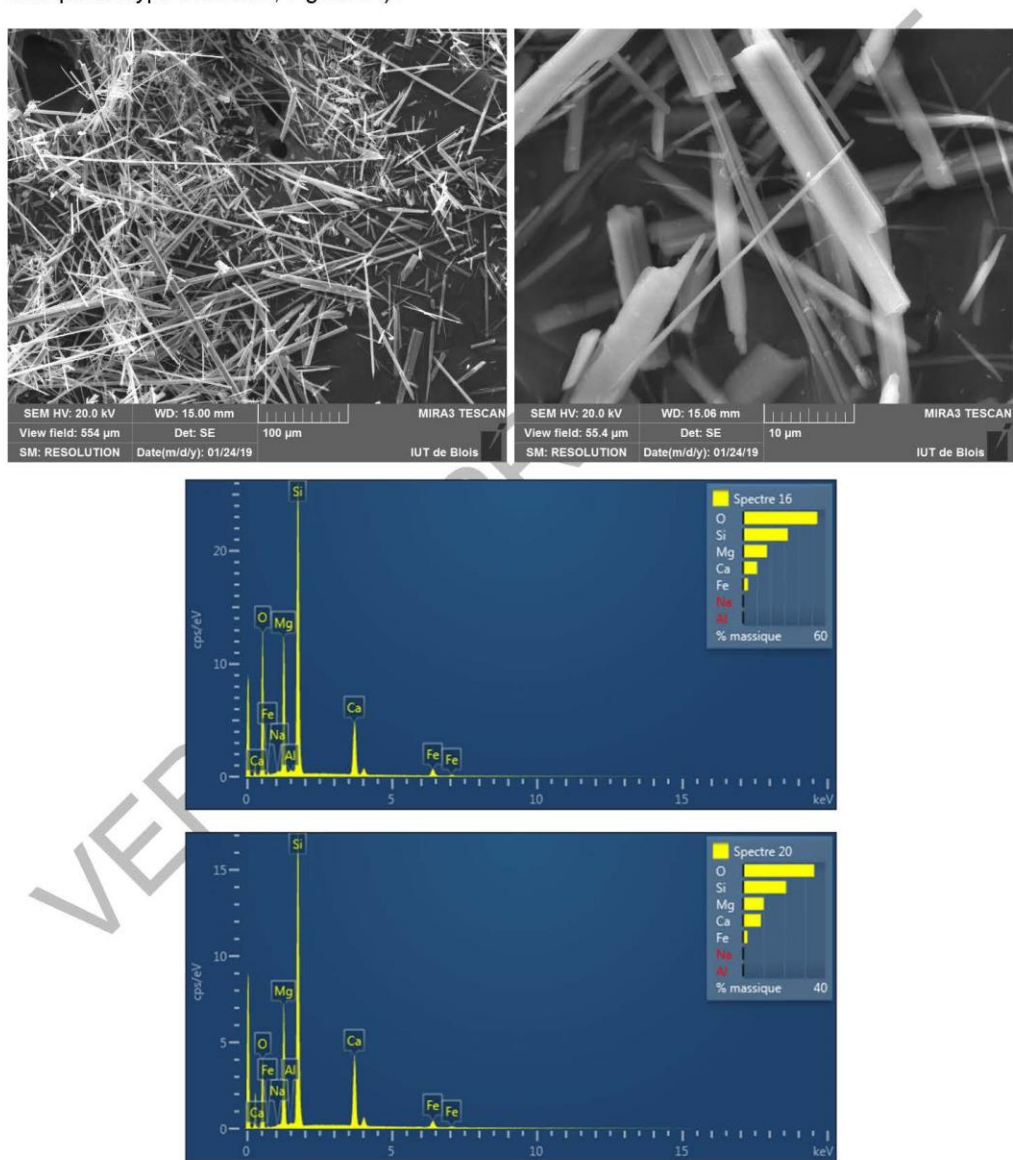


Figure 64 : Images MEB et exemples de spectres obtenus à partir des particules de l'échantillon 2BDL1710.

Échantillon 2BDL1727

Cet échantillon a été prélevé dans le talus de la D80, au sud de Minerviu, dans des metabasaltes foliés (N035 W30) recoupés par des veines d'albite orientées N045 S70 et N100 N90. Il correspond à des fibres arrachées à une paroi de veine. Les images acquises au microscope électronique à balayage confirment la nature fibreuse de cet échantillon qui apparaît uniquement constitué par des faisceaux torsadés de fibres souples extrêmement fines, clairement asbestiformes (Figure 65). Les spectres EDS enregistrés à partir de ces faisceaux sont cohérents avec la nature probable de ces fibres (amphiboles calciques de type actinolite à ferro-actinolite; Figure 65).

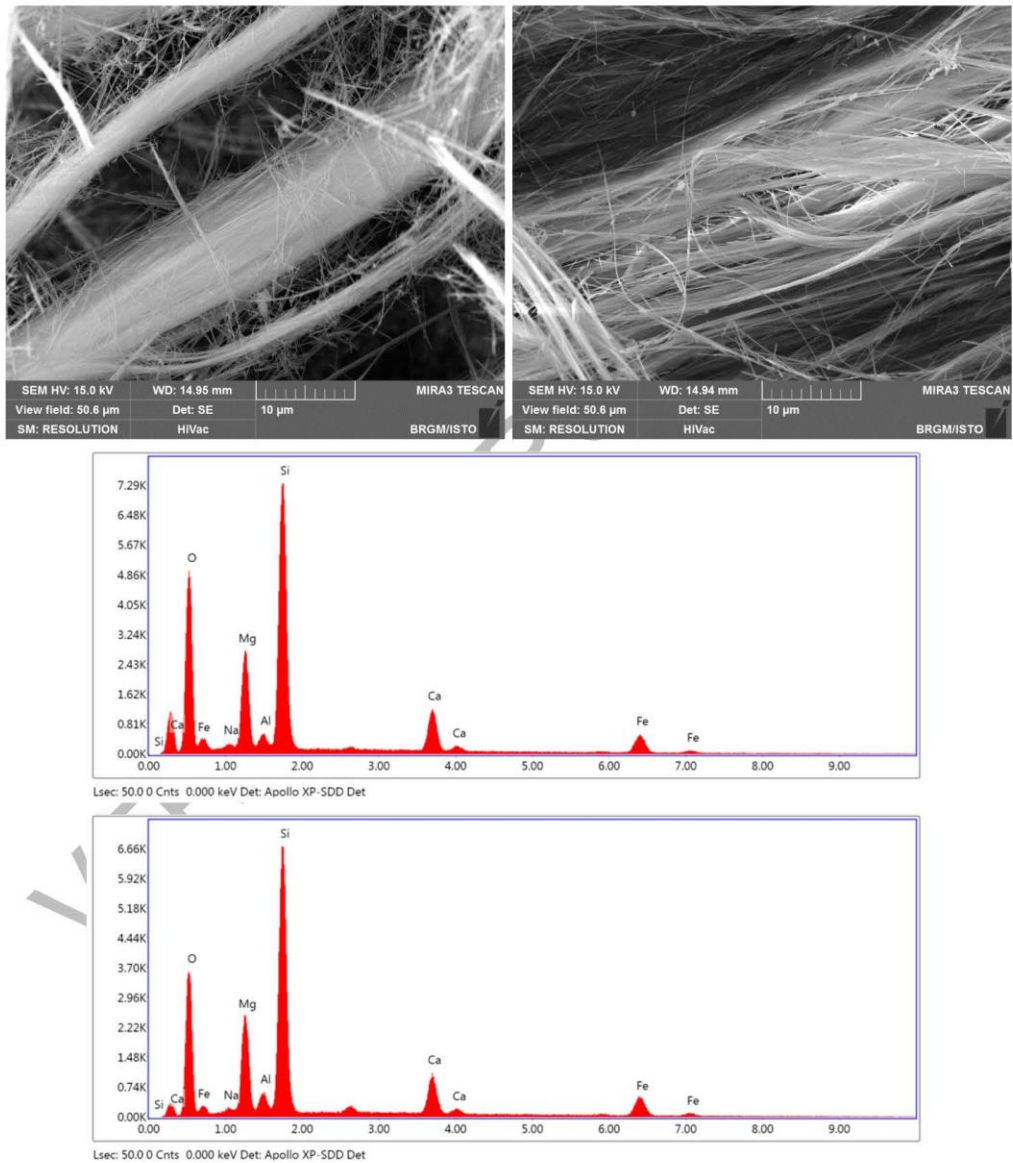


Figure 65 : Images MEB et exemples de spectres obtenus à partir des fibres de l'échantillon 2BDL1727.

Échantillon 2BDL1803-2

Analyse en cours.

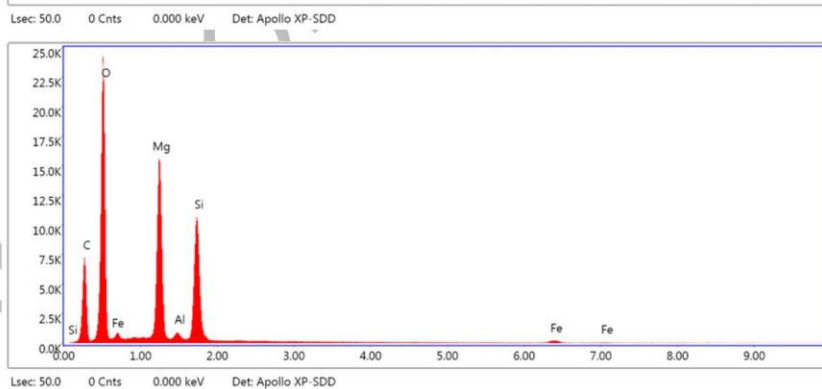
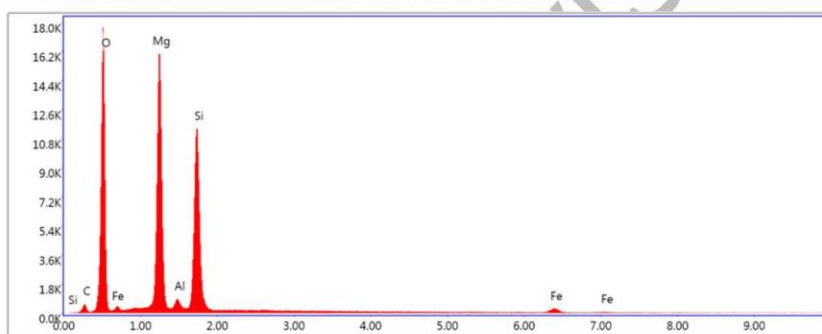
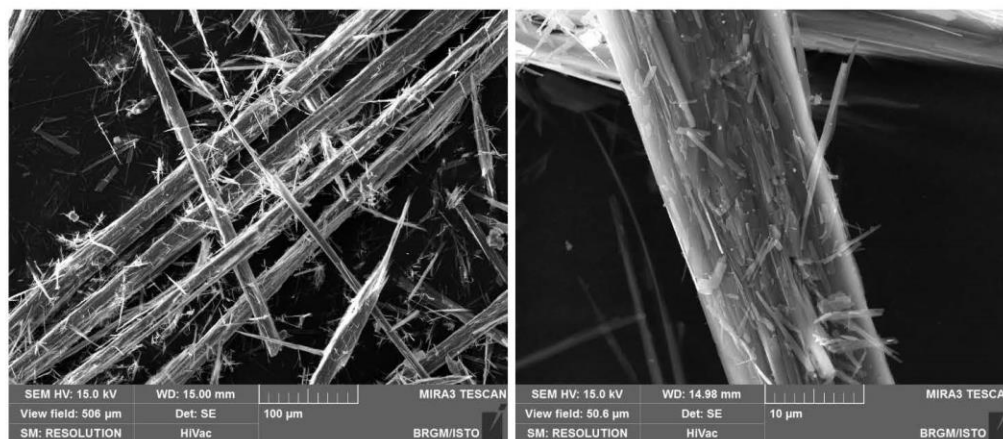


Figure 66 : Images MEB et exemples de spectres obtenus à partir des particules de l'éch. 2BDL1803-2.

Échantillon 2BDL1807(2)

L'échantillon 2BDL1807(2) a été prélevé dans un talus en bord de plage, à la sortie nord de la marine de Canelle, dans des serpentinites mylonitiques à veines de trémolite d'épaisseur pluricentimétrique, plissées (Figure 58). Il correspond à des particules prises dans une veine de serpentine. Les images acquises au microscope électronique à balayage montrent que cet échantillon est constitué par des particules fibriformes aplaties et rectilignes, à bords le plus souvent subparallèles, plus ou moins allongées et épaisses (Figure 67). Les spectres EDS enregistrés sont cohérents avec la nature supposée de ces particules fibreuses (serpentine de type antigorite ; Figure 67). Une fraction de ces particules correspond à des fibres OMS.

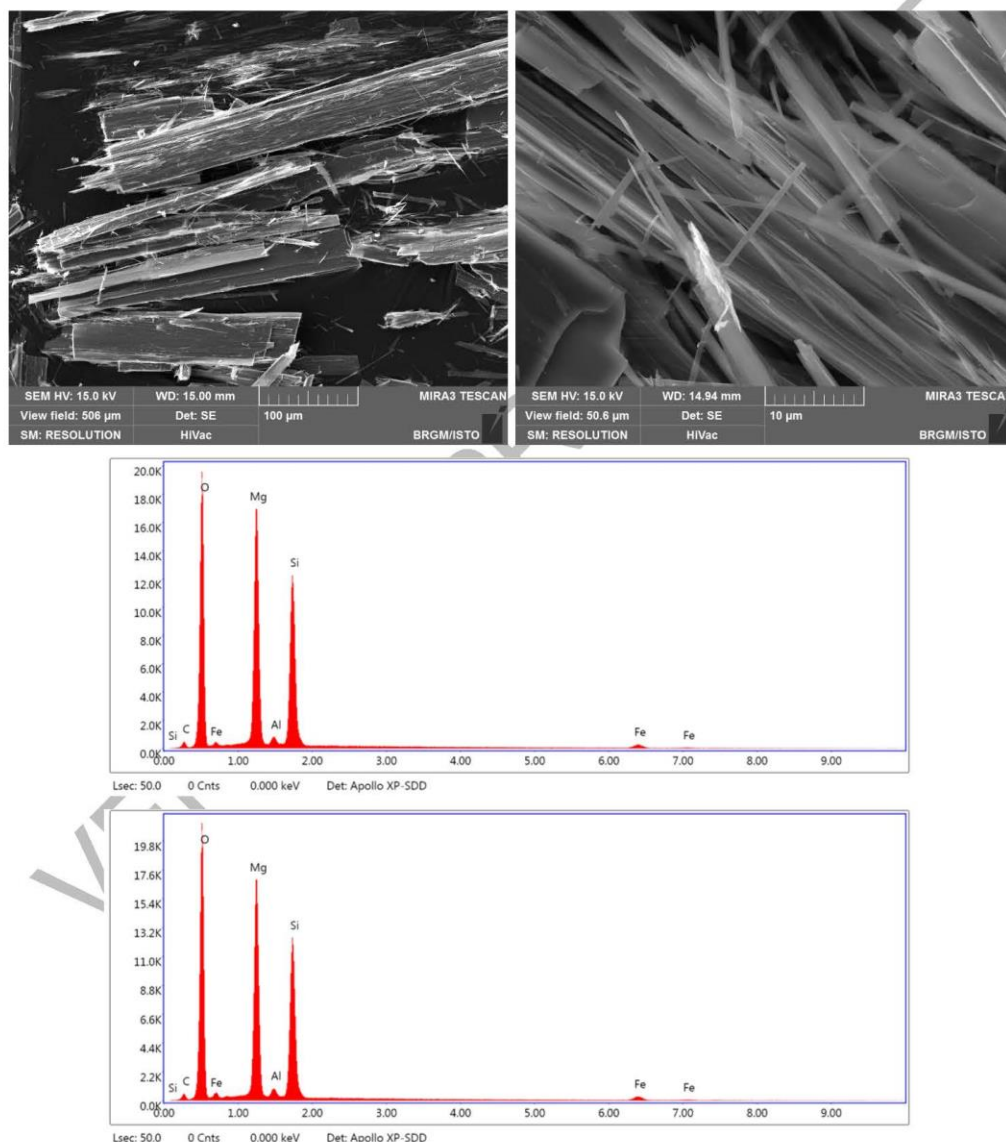


Figure 67 : Images MEB et exemples de spectres obtenus à partir des particules de l'éch. 2BDL1807(2).

Échantillon 2BDL1807-A

L'échantillon 2BDL1807-A a été prélevé dans un talus en bord de plage, à la sortie nord de la marine de Canelle, dans des serpentinites mylonitiques à veines de trémolite d'épaisseur pluricentimétrique, plissées (Figure 58). Il correspond à des fibres d'apparence souple arrachées à une veine altérée. Les images acquises au microscope électronique à balayage montrent que cet échantillon est constitué par des particules fibreuses rectilignes à bords le plus souvent subparallèles, plus ou moins allongées et épaisses (Figure 68). Les spectres EDS enregistrés sont cohérents avec la nature probable de ces particules fibreuses (amphiboles calciques de type actinolite magnésienne à trémolite ; Figure 68).

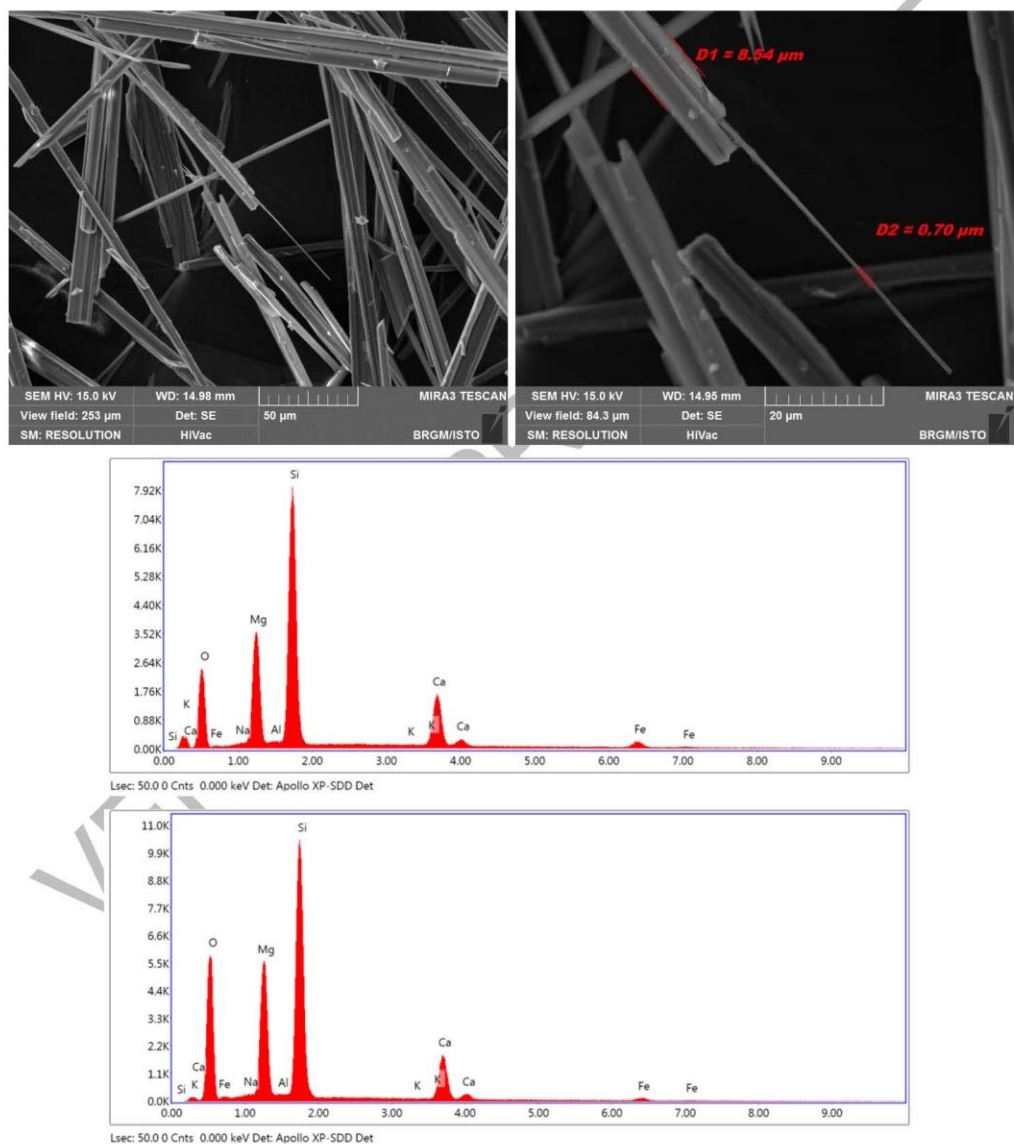


Figure 68 : Images MEB des particules fibreuses correspondant à l'échantillon 2BDL1807-A.

Échantillon 2BDL1833

L'échantillon 2BDL1833 a été prélevé dans le talus de la D33, en contrebas de Canari, dans une zone très écrasée et séparant vraisemblablement des métagabbros et des metabasaltes. Il correspond à un amas de fibres posé à même le sol, désolidarisé de sa roche-mère. Les images acquises au microscope électronique à balayage montrent que cet échantillon est constitué par des particules fibreuses rectilignes à bords le plus souvent subparallèles, plus ou moins allongées et épaisses (Figure 69). Des fibres très fines ($D \ll 3 \mu\text{m}$) et courbes, clairement asbestiformes, sont également présentes. Les spectres EDS enregistrés sont cohérents avec la nature probable de ces particules fibreuses (amphiboles calciques de type actinolite magnésienne à trémolite ; Figure 69).

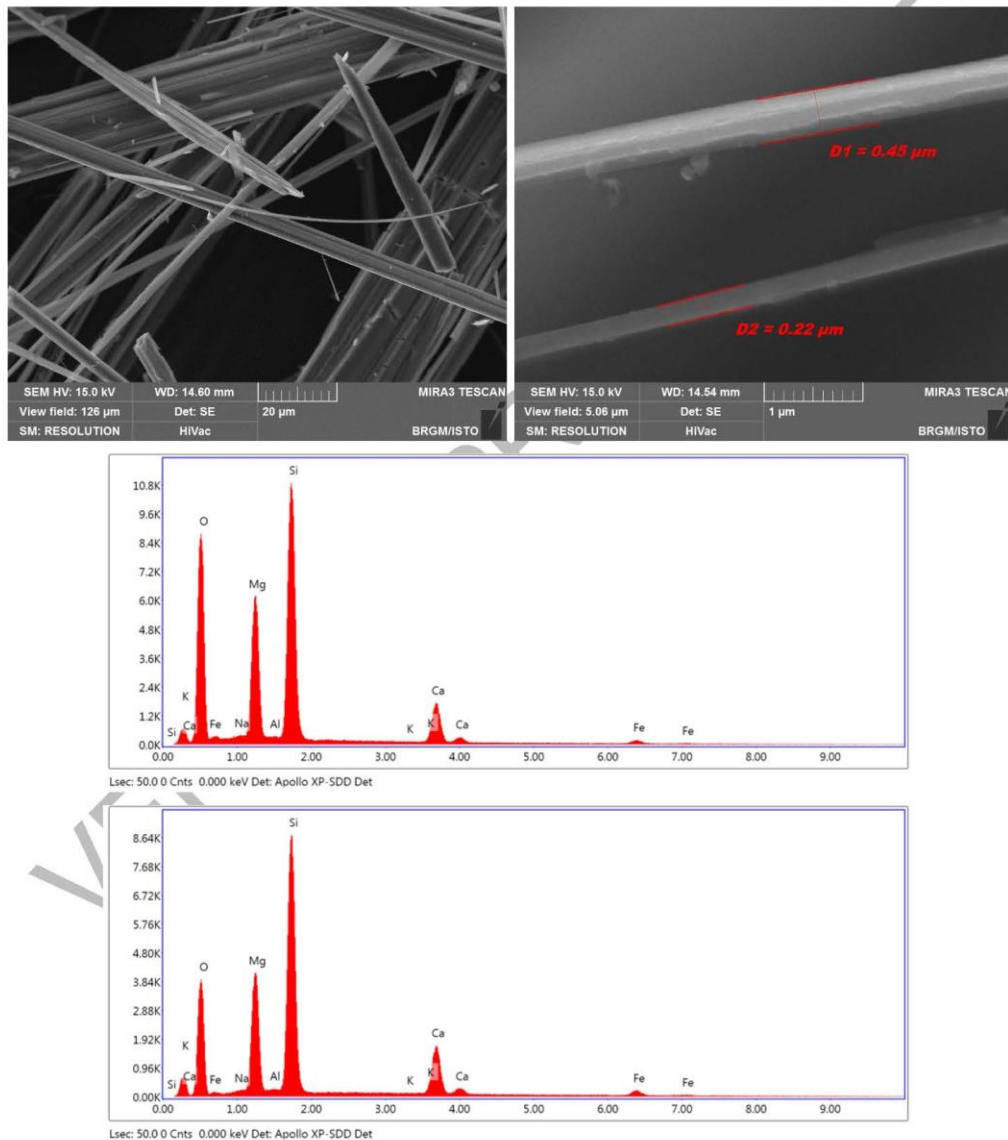


Figure 69 : Images MEB et exemples de spectres obtenus à partir des fibres de l'échantillon 2BDL1833.

Échantillon 2BDL1841

L'échantillon 2BDL1841 a été prélevé dans le village de Canari (Longa), dans un ensemble de metabasaltes foliés (Foliation : N005 W10). Il provient d'un niveau observé autour d'un nodule de glaucophanite à épidote. Les images acquises au microscope électronique à balayage montrent qu'il est constitué par des particules fibriformes hétérométriques, plus ou moins allongées et épaisses (Figure 70). Quelques particules fibreuses de type OMS ont été identifiées mais ces particules correspondent très probablement à des fragments de clivage générés lors de la préparation de l'échantillon. Les spectres EDS enregistrés sont cohérents avec la nature probable de ces particules fibriformes (amphiboles calciques de type actinolite magnésienne à trémolite ; Figure 70).

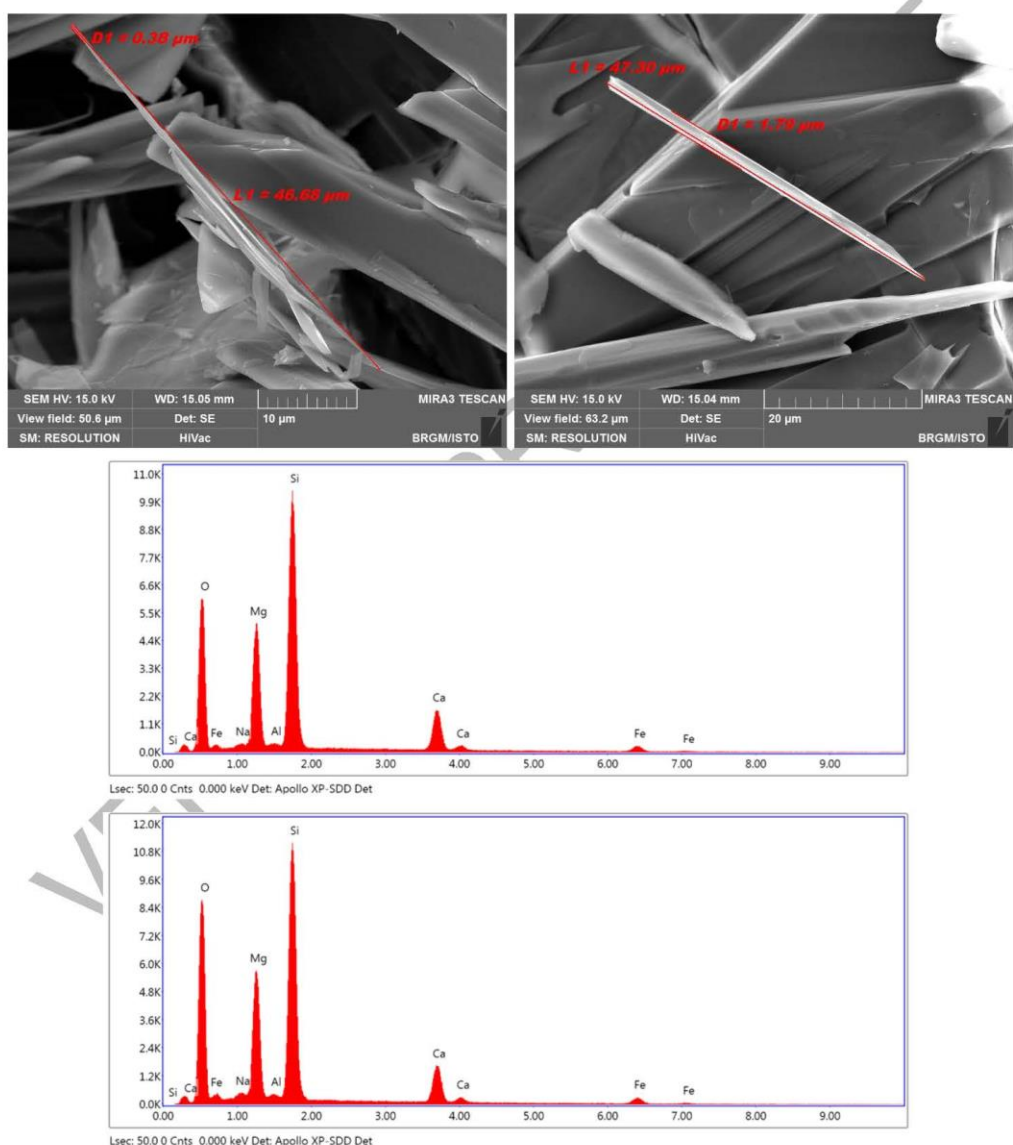


Figure 70 : Images MEB et exemples de spectres obtenus à partir des fibres de l'échantillon 2BDL1841.

6.3. SECTEURS SENSIBLES ET PRECONISATIONS

En cours

VERSION PROVISOIRE

7. Commune de Pietracorbara

Le territoire de la commune de Pietracorbara est à cheval sur les cartes géologiques à 1/50 000 de Luri au nord et de Bastia au sud. D'un point de vue géologique, plusieurs unités affleurent dans l'emprise du territoire de la commune de Pietracorbara. Ces unités correspondent à des serpentinites, à des métagabbros, à des métagabbros et prasinites indifférenciés, à des prasinites, à des quartzites micacés, à des cipolins, à des cipolins et calcschistes et à des schistes et calcschistes.

Des éboulis occupent également des surfaces relativement importantes, en particulier dans la partie occidentale de la commune, au pied du massif du Monte Alticcione.

Carte géologique à 1/50 000	Serpentinites	Métagabbros	Métagabbros et métabasaltés	Prasinites Métabasaltés	Quartzites micacés	Cipolins	Cipolins et calcschistes	Schistes et calcschistes	Eboulis	
Luri	1102	Λ	δθ	-	δ ¹¹	Xm	-	C-S ⁸	ξ ¹ -S ⁸	E
Bastia	1104	Λ	δθ ; δθsm	δθ-ζ ¹¹	ζ ¹¹	ξ ¹ -Xm	C	C-S ⁸	S ⁸ -ξ ¹	E

Figure 71 : Notations utilisées sur les cartes géologiques à 1/50 000 de Luri et de Bastia.

Sur la commune de Pietracorbara, les travaux réalisés ont porté sur :

- les talus de la D80, depuis Saltu Caninu au sud jusqu'à la Tour de Losse au nord ;
- les talus de la D232 de la marine de Pietracorbara à l'intersection avec la D 32 ;
- les talus de la D32 ;
- les talus des routes d'accès aux différents hameaux (Lapedina, Orneto, Giunchi) ;
- la voie d'accès au pylône de la borne 400 depuis la Bocca di San Rocco ;
- les sentiers de randonnée vers le Monte Alticcione et la Bocca di a Serra ;
- les emprises des principales tâches urbaines (Marine de Pietracorbara, Pietracorbara, Lapedina).

Des informations ont également été acquises le long de la ligne de crête reliant la Bocca di San Rocco au Monte Alticcione et dans les alluvions du ruisseau de Pietracorbara.



Figure 72 : Emprise de la commune de Pietracorbara.

7.1. DONNEES ACQUISES SUR LE TERRAIN

7.1.1. Les serpentinites

En cours

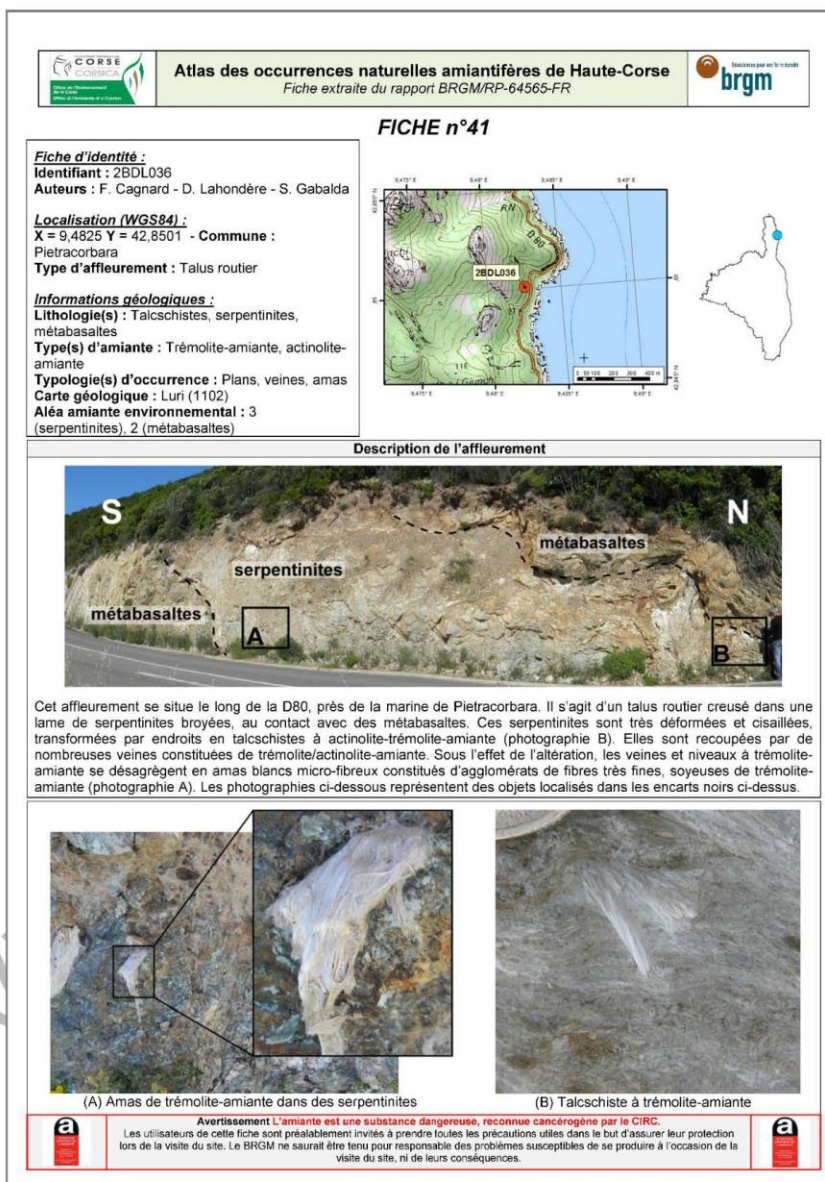


Figure 73 :

7.1.2. Les metabasaltes

En cours



Figure 74 : a & b : 2BDL2000

7.1.3. Les formations métasédimentaires

En cours



Figure 75 : a & b : 2BDL1998 ; c & d : 2BDL1999

7.2. DONNEES ACQUISES EN LABORATOIRE

7.2.1. Analyses par microscopie optique et microsonde électronique

En cours

7.2.2. Analyses par microscopie électronique à balayage

VERSION PROVISOIRE

Échantillon 2BDL1999

L'échantillon 2BDL1999 a été prélevé dans le talus de la D80, au nord de la marine de Pietracorbara, dans une zone de métasédiments à passées boudinées de metabasites, de schistes à actinolite et de serpentinites (Figure 75). Il correspond à des fibres prélevées dans un niveau de serpentinites écrasées. Les images acquises au microscope électronique à balayage montrent que cet échantillon est constitué par des particules fibriformes rectilignes, à bords subparallèles, plus ou moins allongées et épaisses (Figure 76). De rares fibres souples et très fines ($D << 3 \mu\text{m}$) ont également été observées dans la préparation. Les spectres EDS enregistrés sont cohérents avec la nature probable de ces particules fibreuses (amphiboles calciques de type trémolite ; Figure 76).

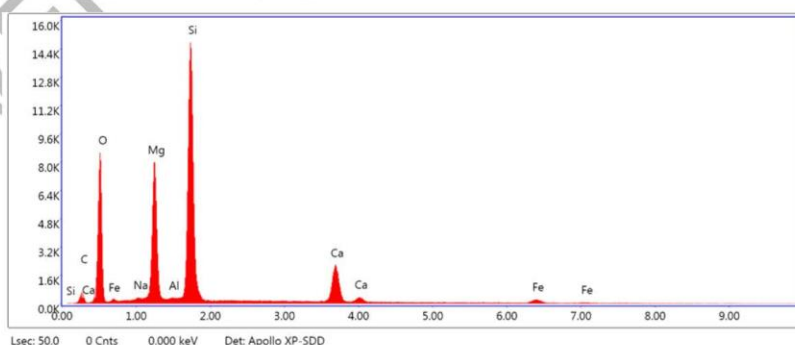
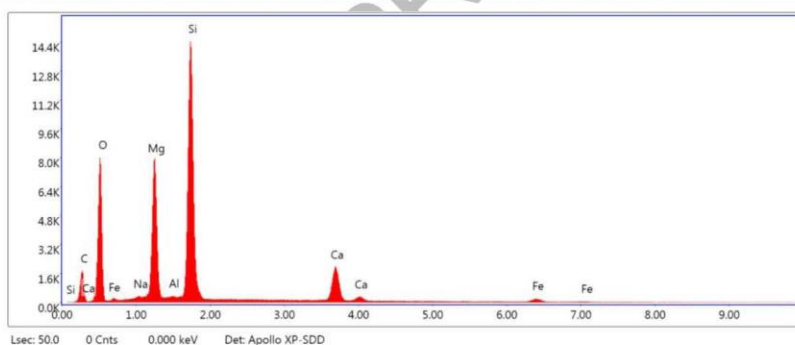
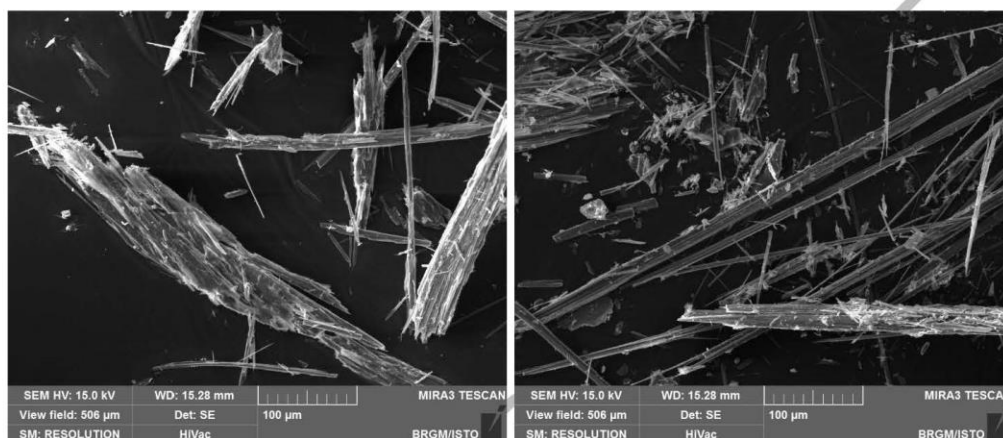


Figure 76 : Images MEB et exemples de spectres obtenus à partir des particules de l'éch. 2BDL1999.

Échantillon 2BDL2000

Cet échantillon a également été prélevé dans le talus de la D80, au nord de la marine de Pietracorbara, dans une zone de métasédiments à passées boudinées de metabasites, de schistes à actinolite et de serpentinites (Figure 74). Il correspond à des fibres prélevées dans un niveau de schistes chloriteux. Les images acquises au microscope électronique à balayage montrent que cet échantillon est constitué par des particules hétérométriques plutôt plates et peu fibreuses (Figure 77). Aucune fibre asbestiforme n'a été observée dans la préparation. Les spectres EDS enregistrés sont cohérents avec la nature probable de ces particules fibreuses (amphiboles calciques de type actinolite magnésienne et/ou trémolite ; Figure 77).

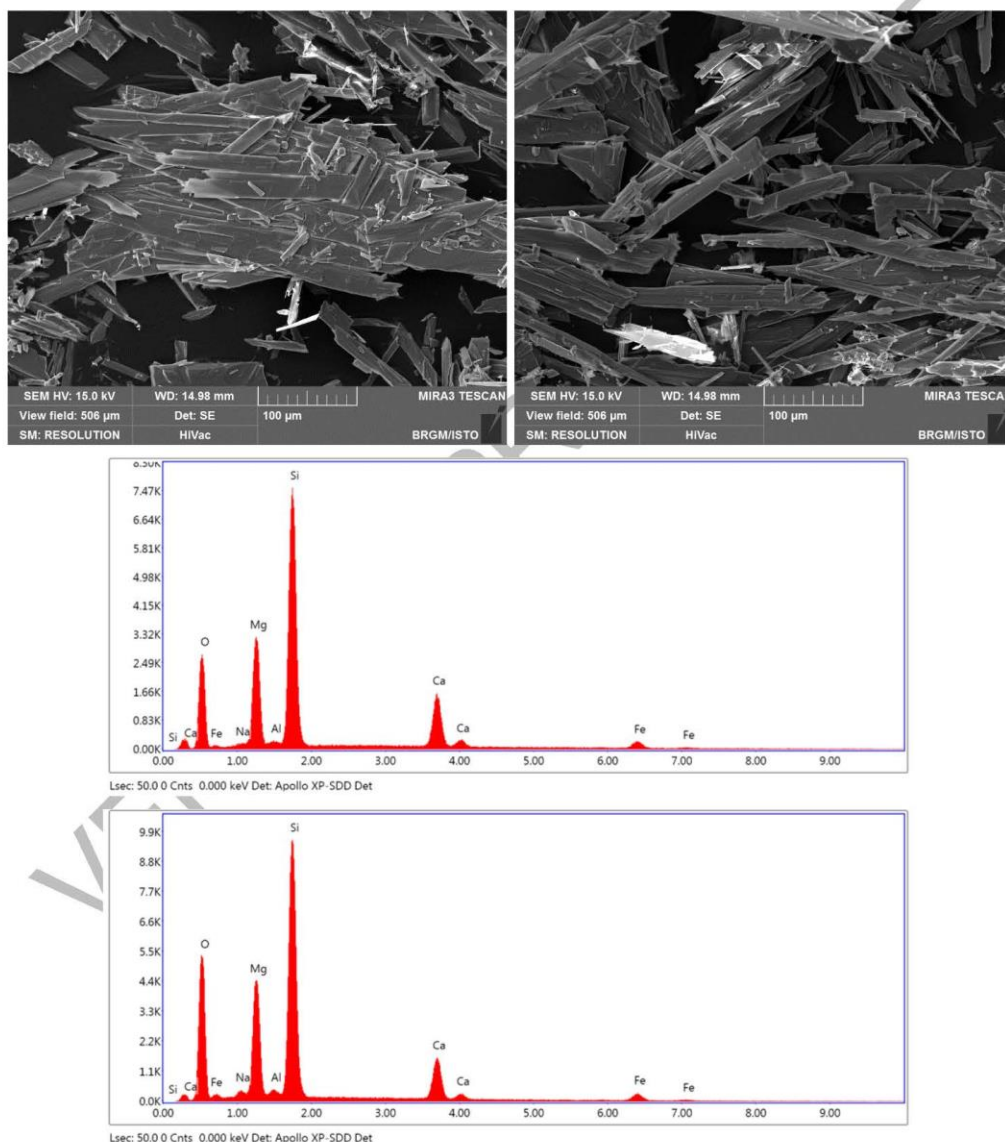


Figure 77 : Images MEB et exemples de spectres obtenus à partir des particules de l'éch. 2BDL2000.

7.3. SECTEURS SENSIBLES ET PRECONISATIONS

Dans la commune de Pietracorbara, les secteurs concernés par la présence de roches et/ou de sols amiantifères sont localisés pour les uns le long de la côte et pour les autres sur les contreforts orientaux du Monte Alticcione. Les éboulis situés au pied de ces mêmes contreforts doivent également être considérés comme des matériaux naturels potentiellement amiantifères, de même que les alluvions déposées par le ruisseau de Pietracorbara.

En cours

VERSION PROVISOIRE

8. Commune d'Ogliastro

Le territoire de la commune d'Ogliastro est compris dans l'emprise de la carte géologique à 1/50 000 de Bastia. D'un point de vue géologique, les unités géologiques qui affleurent dans l'emprise du territoire communal correspondent à des serpentinites, à des métagabbros (localement à smaragdite), à des métagabbros et prasinites indifférenciés, à des metabasaltes / prasinites et à des schistes et calcschistes.

Carte géologique à 1/50 000		Serpentinites	Métagabbros	Métagabbros et metabasaltes	Prasinites / Métabasaltes	Schistes et calcschistes	Eboulis
Saint-Florent	1103	Λ	θS ; ψS	-	ΣS	S-S ^δ	E-C
Bastia	1104	Λ	-	δθ-ζ ¹¹	ζ ¹¹	S ^δ -ξ ¹	E

Figure 78 : Notations utilisées sur les cartes géologiques à 1/50 000 de Saint-Florent et de Bastia.

Sur la commune d'Ogliastro, les travaux réalisés ont porté sur :

- les talus de la D80, au sud et au nord d'Albo ;
- les talus de la D233 ;
- la voie d'accès aux villages d'Albo et d'Ogliastro ;
- les sentiers de randonnée ;
- les emprises des principales tâches urbaines (Marine d'Albo, Stazzona, Ogliastro).

Des informations complémentaires ont également été acquises dans les alluvions de la rivière d'Olcani et au sud d'Albo, le long de la côte (sentier).

La piste d'accès à l'ancienne mine d'amiante de Canari n'a pas donné lieu à des investigations spécifiques dans le cadre de cette étude.

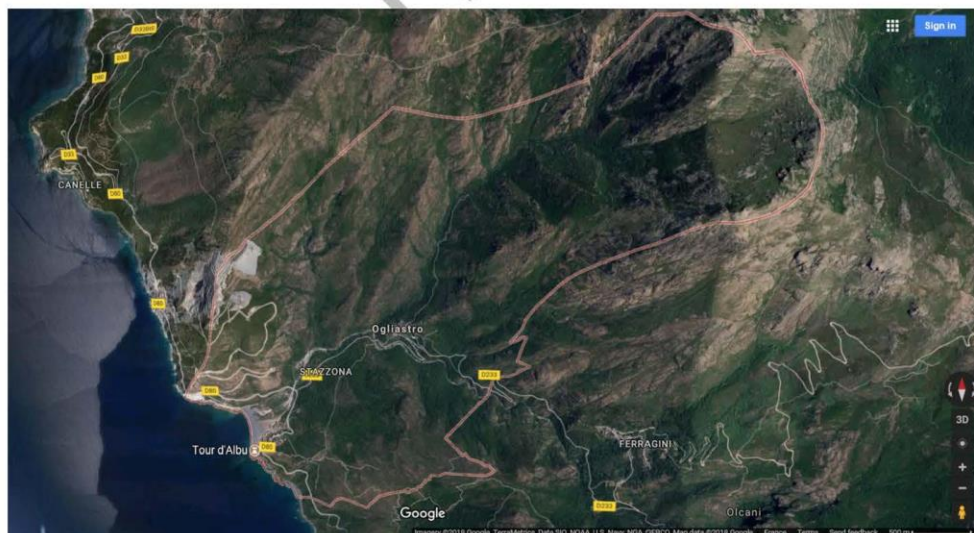


Figure 79 : Emprise de la commune d'Ogliastro.

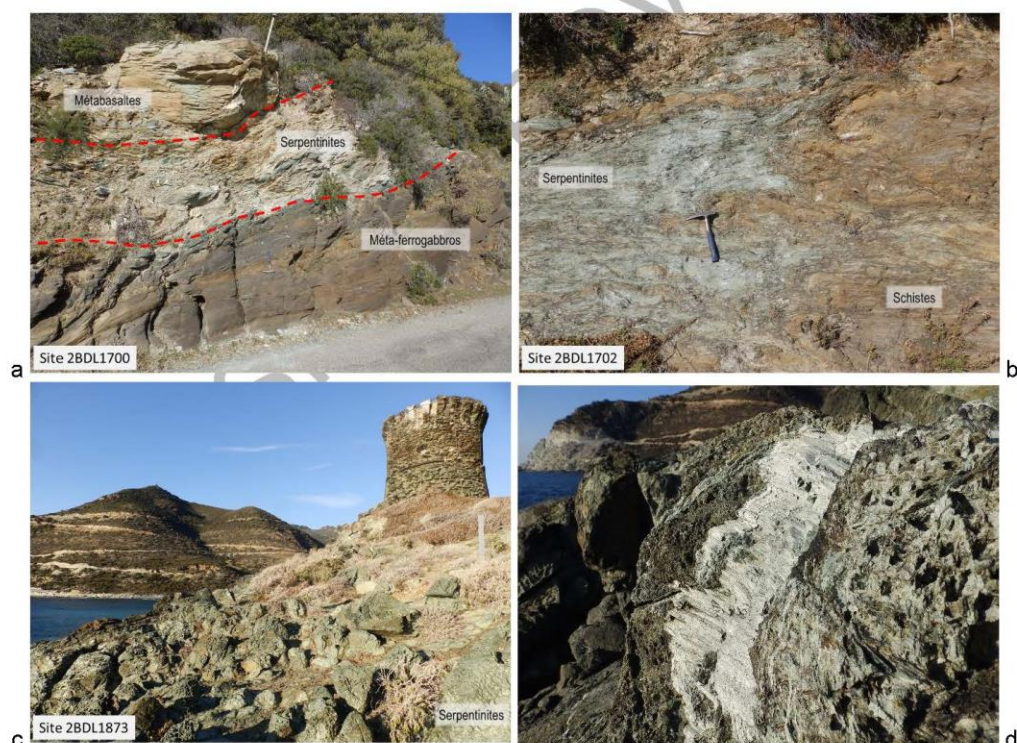
8.1. DONNEES ACQUISES SUR LE TERRAIN

8.1.1. Les serpentinites

Les serpentinites couvrent des surfaces importantes sur l'ensemble du territoire communal. Les affleurements de serpentinites répertoriés sur la carte géologique à 1/50 000 de Saint-Florent, le long de la D80, sont localisés à l'est et au sud d'Albo. Les relevés détaillés faits dans le cadre de cette étude ont conduit à l'identification de nouveaux affleurements.

Les nouveaux affleurements identifiés constituent en particulier des intercalations plus ou moins épaisses et continues au sein des métagabbros alumino-magnésiens. De telles intercalations ont été repérées entre la marine d'Albo et Punta Bianca, dans le talus de la D80. On notera également que des lames de serpentinites mylonitiques sont fréquemment intercalées dans la pile tectonique. C'est par exemple le cas au niveau du contact entre les méta-ferrogabbros éclogitiques et les metabasaltes prasinitiques du point 2BDL1700 (Figure 81) ou au niveau du contact entre les schistes et les métagabbros du point 2BDL1702. Ces serpentinites mylonitiques sont très généralement riches en occurrences fibreuses.

Un autre affleurement concerne la tour d'Albo qui est construite sur des serpentinites et non pas sur des metabasaltes (2BDL1873, 2BDL1874) (Figure 80). Ces serpentinites sont recoupées par des veines à serpentine fibro-lamellaire d'apparence rigide (Figure 80c, d) ainsi que par des veines d'épaisseur pluridécimétrique à cristallisations en gerbes fibroradiées (Figure 80e, f).



Reconnaissance de zones naturelles amiantifères (Cap Corse)



Figure 80 : Exemples d'affleurements de serpentinites et d'occurrences fibreuses (a : 2BDL 1700 ; b : 2BDL 1702 ; c & d : 2BDL 1873 ; e & f : 2BDL 1875 ; g & h : 2BDL 1992).

8.1.2. Les métagabbros

En cours





Figure 81 : Affleurements de métagabbros ferro-titanés du secteur d'Albo (haut : point 2BDL1700 ; bas : point 2BDL1874).

8.1.3. Les metabasaltes

En cours

8.1.4. Les formations sédimentaires

En cours



Figure 82 : a & b : Contact entre des prasinites (bas) et des schistes carbonatés (haut) (2BDL1990) ;

8.2. DONNEES ACQUISES EN LABORATOIRE

Plusieurs échantillons ont fait l'objet d'analyses.

8.2.1. Analyses par microscopie optique et microsonde électronique

Échantillon 2BDL1700

Analyse en cours.

Reconnaissance de zones naturelles amiantifères (Cap Corse)

Species	2BDL1700											
	ferro-ferri-hornblende	ferro-ferri-winchite	actinolite	ferro-ferri-winchite	ferro-ferri-hornblende	ferro-ferri-hornblende	ferro-ferri-winchite	ferro-winchite	ferro-ferri-hornblende	ferro-actinolite	ferro-ferri-hornblende	ferro-actinolite
Analysis (wt %)												
SiO2	50,41	51,73	51,94	51,35	51,70	48,78	50,28	52,32	50,01	51,91	50,00	51,77
TiO2	0,07	0,08	0,00	0,00	0,05	0,12	0,01	0,00	0,02	0,01	0,04	0,04
Al2O3	4,30	3,81	2,25	3,42	2,89	5,45	4,59	3,24	4,51	1,80	4,35	2,18
Cr2O3	0,00	0,00	0,00	0,00	0,00	0,00	0,00	0,01	0,00	0,00	0,00	0,00
MnO	0,07	0,10	0,25	0,17	0,14	0,14	0,10	0,11	0,05	0,06	0,12	0,14
FeO	23,29	23,01	21,17	22,87	22,33	23,44	23,23	21,45	22,76	20,52	22,74	20,71
MgO	8,84	8,51	10,74	9,04	9,48	8,25	8,48	9,21	9,00	10,16	8,76	10,21
CaO	9,00	7,46	9,99	7,80	9,02	9,02	7,64	8,24	9,29	10,75	9,05	10,09
Na2O	2,34	3,30	1,70	2,90	2,40	2,68	2,79	2,59	2,49	1,42	2,42	1,60
K2O	0,24	0,15	0,10	0,19	0,16	0,41	0,18	0,10	0,28	0,11	0,29	0,13
Initial Total	98,57	98,14	98,13	97,74	98,17	98,28	97,30	97,27	98,39	96,73	97,76	96,87
Assign ions to sets:												
T set (ideally 8 apfu)												
Si	7,494	7,681	7,688	7,653	7,686	7,345	7,529	7,787	7,459	7,825	7,500	7,769
Al	0,506	0,319	0,312	0,347	0,314	0,655	0,471	0,213	0,541	0,175	0,500	0,231
Ti	0,000	0,000	0,000	0,000	0,000	0,000	0,000	0,000	0,000	0,000	0,000	0,000
Fe3+	0,000	0,000	0,000	0,000	0,000	0,000	0,000	0,000	0,000	0,000	0,000	0,000
T subtotal	8,000	8,000	8,000	8,000	8,000	8,000	8,000	8,000	8,000	8,000	8,000	8,000
C set (ideally 5 apfu)												
Ti	0,008	0,008	0,000	0,000	0,006	0,013	0,001	0,000	0,002	0,001	0,004	0,005
Al	0,248	0,348	0,080	0,253	0,192	0,311	0,339	0,355	0,253	0,144	0,269	0,154
Cr	0,000	0,000	0,000	0,000	0,000	0,000	0,000	0,001	0,000	0,000	0,000	0,000
Mn3+	0,000	0,000	0,000	0,000	0,000	0,000	0,000	0,000	0,000	0,000	0,000	0,000
Fe3+	0,415	0,383	0,353	0,463	0,326	0,253	0,527	0,294	0,346	0,079	0,352	0,211
Mn2+	0,000	0,000	0,000	0,000	0,000	0,000	0,000	0,000	0,000	0,000	0,000	0,000
Fe2+	2,369	2,377	2,197	2,276	2,375	2,571	2,241	2,306	2,389	2,493	2,416	2,346
Mg	1,959	1,884	2,370	2,008	2,101	1,851	1,892	2,044	2,000	2,283	1,959	2,284
C subtotal	5,000	5,000	5,000	5,000	5,000	5,000	5,000	5,000	5,000	5,000	5,000	5,000
B set (ideally 2 apfu)												
Mn2+	0,008	0,012	0,031	0,022	0,018	0,018	0,012	0,014	0,006	0,008	0,015	0,018
Fe2+	0,111	0,098	0,070	0,112	0,076	0,128	0,140	0,070	0,093	0,015	0,086	0,042
Mg	0,000	0,000	0,000	0,000	0,000	0,000	0,000	0,000	0,000	0,000	0,000	0,000
Ca	1,434	1,187	1,585	1,245	1,437	1,455	1,226	1,315	1,484	1,736	1,455	1,622
Na	0,447	0,703	0,314	0,621	0,470	0,399	0,621	0,601	0,417	0,242	0,444	0,318
B subtotal	2,000	2,000	2,000	2,000	2,000	2,000	2,000	2,000	2,000	2,000	2,000	2,000
A set (from 0 to 1 apfu)												
Ca	0,000	0,000	0,000	0,000	0,000	0,000	0,000	0,000	0,000	0,000	0,000	0,000
Na	0,228	0,247	0,174	0,216	0,223	0,384	0,189	0,145	0,303	0,172	0,258	0,149
K	0,045	0,028	0,019	0,036	0,031	0,079	0,035	0,019	0,052	0,021	0,056	0,025
A subtotal	0,273	0,275	0,193	0,252	0,254	0,463	0,224	0,164	0,355	0,193	0,314	0,174

Tableau 6 : Composition chimique et formule structurale des amphiboles de l'échantillon 2BDL1700.

Échantillon 2BDL1874

Analyse en cours.

Species	DL1874											
	tremolite	tremolite	actinolite	actinolite	actinolite	tremolite	actinolite	actinolite	actinolite	actinolite	actinolite	actinolite
Analysis (wt %)												
SiO2	57,73	58,20	58,06	56,88	57,43	57,71	58,08	57,31	57,49	57,62	57,39	57,53
TiO2	0,00	0,03	0,08	0,00	0,05	0,06	0,10	0,06	0,01	0,00	0,05	0,10
Al2O3	0,07	0,03	0,52	0,12	0,56	0,36	0,55	0,84	0,66	0,60	0,95	0,54
Cr2O3	0,02	0,01	0,05	0,05	0,06	0,04	0,06	0,17	0,12	0,07	0,11	0,07
MnO	0,18	0,04	0,14	0,25	0,29	0,01	0,23	0,14	0,19	0,19	0,12	0,14
FeO	4,42	4,25	5,07	6,05	4,68	4,39	5,03	4,36	5,41	4,76	4,70	5,01
MgO	22,04	22,29	21,46	20,88	21,13	21,91	21,22	21,29	20,94	21,32	21,04	21,52
CaO	12,12	12,65	12,23	12,43	11,93	12,35	12,21	12,10	12,11	12,50	12,03	12,28
Na2O	1,01	0,71	0,96	0,53	1,12	0,81	0,89	1,05	1,06	0,79	0,98	0,99
K2O	0,19	0,05	0,10	0,08	0,11	0,14	0,02	0,15	0,14	0,13	0,04	0,11
Initial Total	97,79	98,26	98,66	97,28	97,36	97,77	98,39	97,48	98,14	97,98	97,40	98,27
Formula Assignments												
T (ideally 8 apfu)												
Si	7,959	7,972	7,950	7,929	7,966	7,951	7,971	7,934	7,939	7,950	7,946	7,916
Al	0,012	0,005	0,050	0,019	0,034	0,049	0,029	0,066	0,061	0,050	0,054	0,084
Ti	0,000	0,003	0,000	0,000	0,000	0,000	0,000	0,000	0,000	0,000	0,000	0,000
Fe3+	0,030	0,020	0,000	0,052	0,000	0,000	0,000	0,000	0,000	0,000	0,000	0,000
T subtotal	8,001	8,000	8,000	8,000	8,000	8,000	8,000	8,000	8,000	8,000	8,000	8,000
C (ideally 5 apfu)												
Ti	0,000	0,000	0,008	0,000	0,006	0,006	0,010	0,006	0,001	0,000	0,005	0,010
Al	0,000	0,000	0,034	0,000	0,058	0,009	0,059	0,071	0,046	0,048	0,101	0,003
Cr	0,003	0,001	0,005	0,006	0,007	0,004	0,007	0,018	0,014	0,008	0,011	0,007
Fe3+	0,089	0,065	0,087	0,136	0,060	0,089	0,072	0,042	0,067	0,041	0,060	0,096
Mn2+	0,000	0,000	0,000	0,001	0,017	0,000	0,006	0,005	0,003	0,011	0,000	0,000
Fe2+	0,379	0,382	0,485	0,518	0,483	0,393	0,505	0,463	0,558	0,508	0,482	0,469
Mg	4,530	4,551	4,382	4,339	4,369	4,499	4,340	4,394	4,311	4,385	4,341	4,414
C subtotal	5,001	4,999	5,001	5,000	5,000	5,000	4,999	4,999	5,000	5,001	5,000	4,999
B (ideally 2 apfu)												
Mn2+	0,021	0,005	0,016	0,028	0,017	0,001	0,020	0,012	0,019	0,012	0,014	0,016
Fe2+	0,012	0,020	0,009	0,000	0,000	0,024	0,000	0,000	0,000	0,000	0,003	0,011
Ca	1,791	1,856	1,794	1,857	1,773	1,823	1,795	1,794	1,792	1,848	1,785	1,811
Na	0,176	0,119	0,182	0,115	0,210	0,152	0,185	0,194	0,189	0,140	0,198	0,162
B subtotal	2,000	2,000	2,001	2,000	2,000	2,000	2,000	2,000	2,000	2,000	2,000	2,000
A (from 0 to 1 apfu)												
Ca	0,000	0,000	0,000	0,000	0,000	0,000	0,000	0,000	0,000	0,000	0,000	0,000
Na	0,093	0,068	0,073	0,029	0,090	0,063	0,051	0,089	0,096	0,071	0,065	0,101
K	0,033	0,009	0,017	0,015	0,019	0,024	0,004	0,026	0,025	0,023	0,007	0,019
A subtotal	0,126	0,077	0,090	0,044	0,109	0,087	0,055	0,115	0,121	0,094	0,072	0,120

Tableau 7 : Compositions chimiques des amphiboles analysées dans l'échantillon 2BDL1874.

Reconnaissance de zones naturelles amiantifères (Cap Corse)

Échantillon 2BDL1874-C

Analyse en cours.

VERSION PROVISOIRE

Échantillon 2BDL1992-B

Analyse en cours.

8.2.2. Analyses au microscope électronique à balayage

VERSION PROVISOIRE

Échantillon 2BDL1700

L'échantillon 2BDL1700 a été prélevé dans le talus de la D80, au sud d'Albo, au niveau d'un affleurement de métagabbros ferro-titanés (Figure 81). Il correspond à des fibres dans une veine d'épaisseur centimétrique recoupant les métagabbros. Les images acquises au microscope électronique à balayage montrent que cet échantillon est constitué par des particules fibriformes hétérométriques, plus ou moins allongées et épaisses (Figure 83). Quelques particules fibreuses de type OMS ont été identifiées mais ces particules correspondent très probablement à des fragments de clivage générés lors de la préparation de l'échantillon. Les spectres EDS enregistrés sont cohérents avec la nature supposée de ces fibres (amphibole de type ferro-actinolite s.l. ; Figure 83).

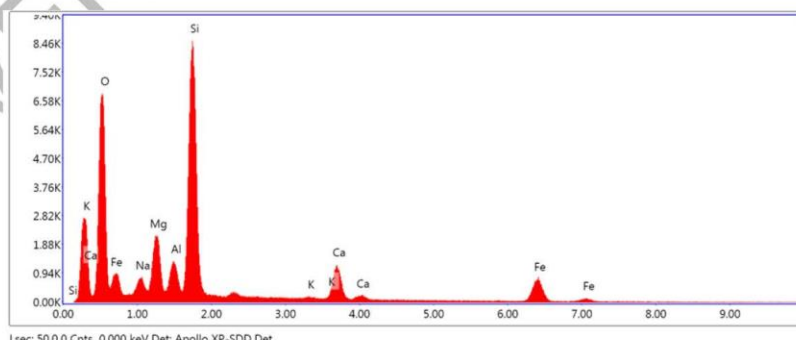
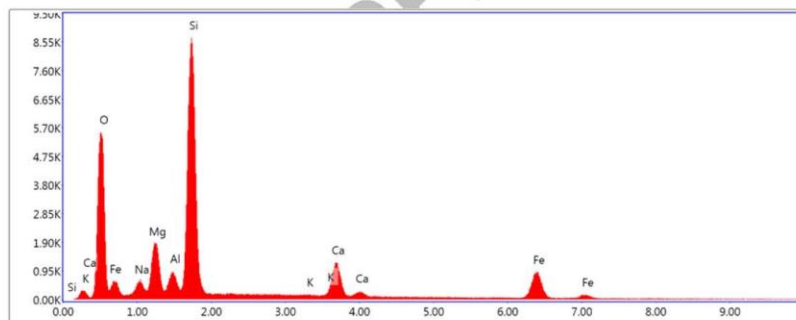
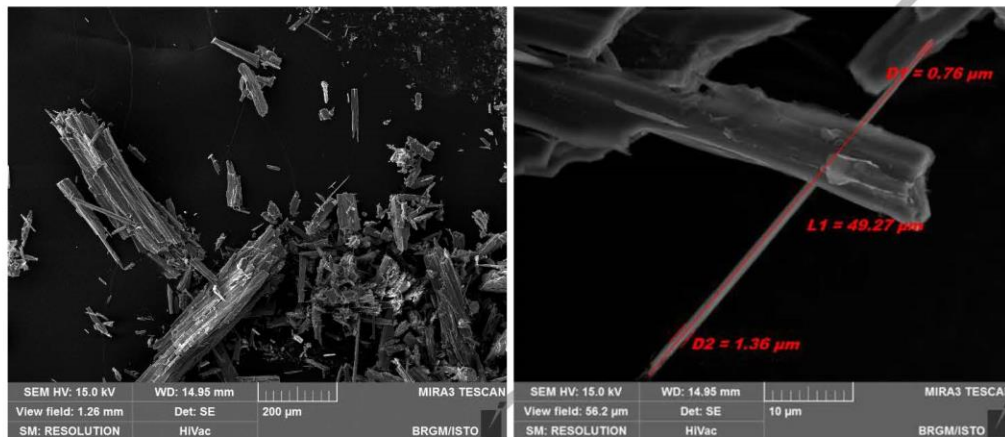


Figure 83 : Images MEB et exemples de spectres obtenus à partir des particules de l'éch. 2BDL1700.

Échantillon 2BDL1706

L'échantillon 2BDL1706 a été prélevé dans le talus de la D80, au nord d'Albo, dans des métagabbros aluminos-magnésiens foliés (Foliation : N025 W20), recoupés par des veines fibreuses N035 E90. Il correspond à des fibres alignées, disposées à plat dans les plans de la foliation (fibres synfoliales). Les images acquises au microscope électronique à balayage montrent que cet échantillon est constitué par des particules fibriformes hétérométriques, plus ou moins allongées et épaisses (Figure 84). Ces particules non asbestiformes correspondent à des fragments de clivage générés lors de la préparation de l'échantillon. Les spectres EDS enregistrés sont cohérents avec la nature probable de ces fibres (amphiboles calciques de type actinolite ; Figure 84).

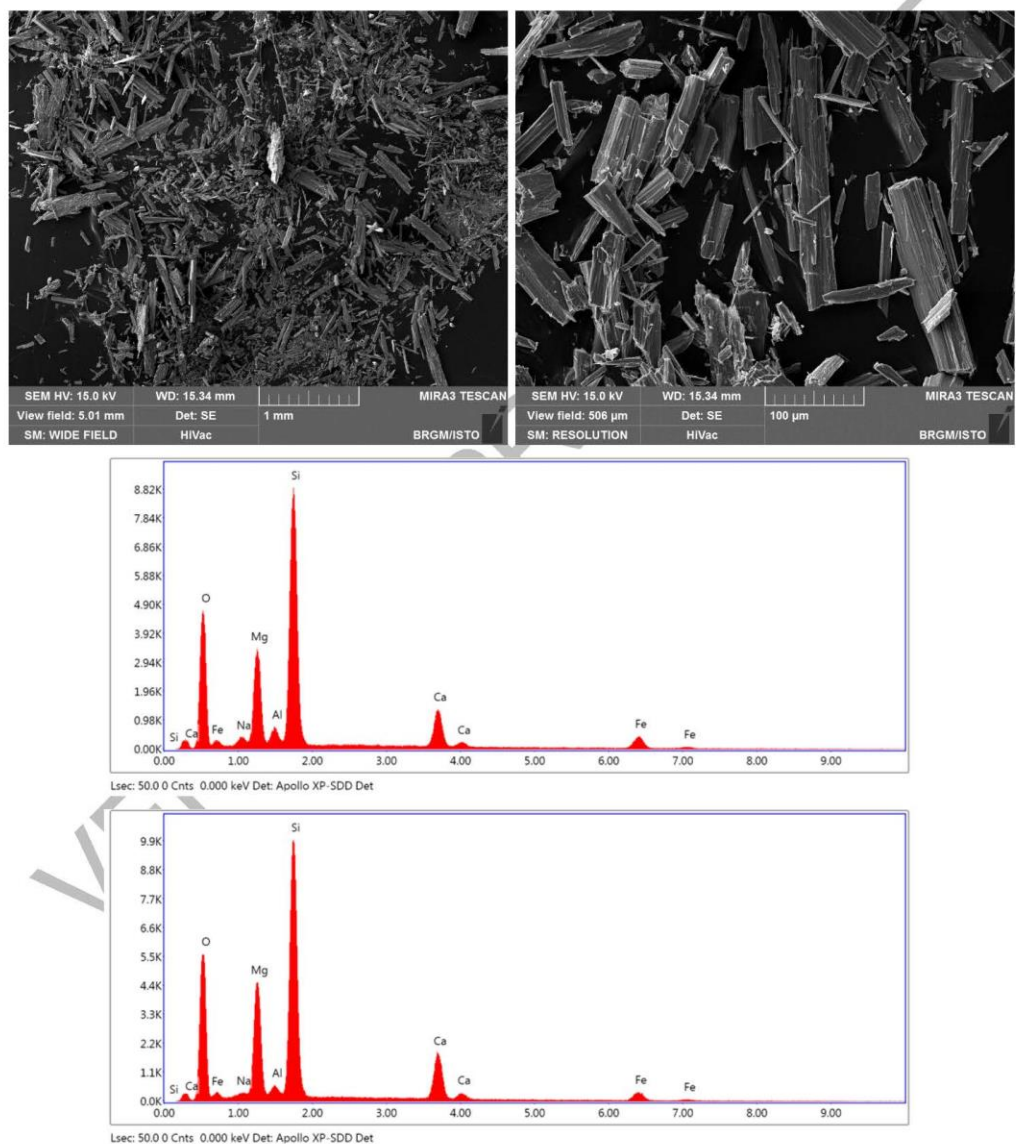


Figure 84 : Images MEB et exemples de spectres obtenus à partir des particules de l'éch. 2BDL1706.

Échantillon 2BDL1873

L'échantillon 2BDL1873 a été prélevé dans les serpentinites de la tour d'Albo (Figure 80). Il correspond à des particules fibreuses issues d'une épaisse veine de serpentine recoupant les serpentinites (Figure 80). Les images acquises au microscope électronique à balayage montrent que cet échantillon est constitué par des particules fibriformes très irrégulières et hétérométriques, plus ou moins allongées et épaisses (Figure 85). Une fraction subordonnée de ces particules correspond à des fibres de type OMS. Les spectres EDS enregistrés sont cohérents avec la nature probable de ces particules (serpentine de type antigorite ; Figure 85).

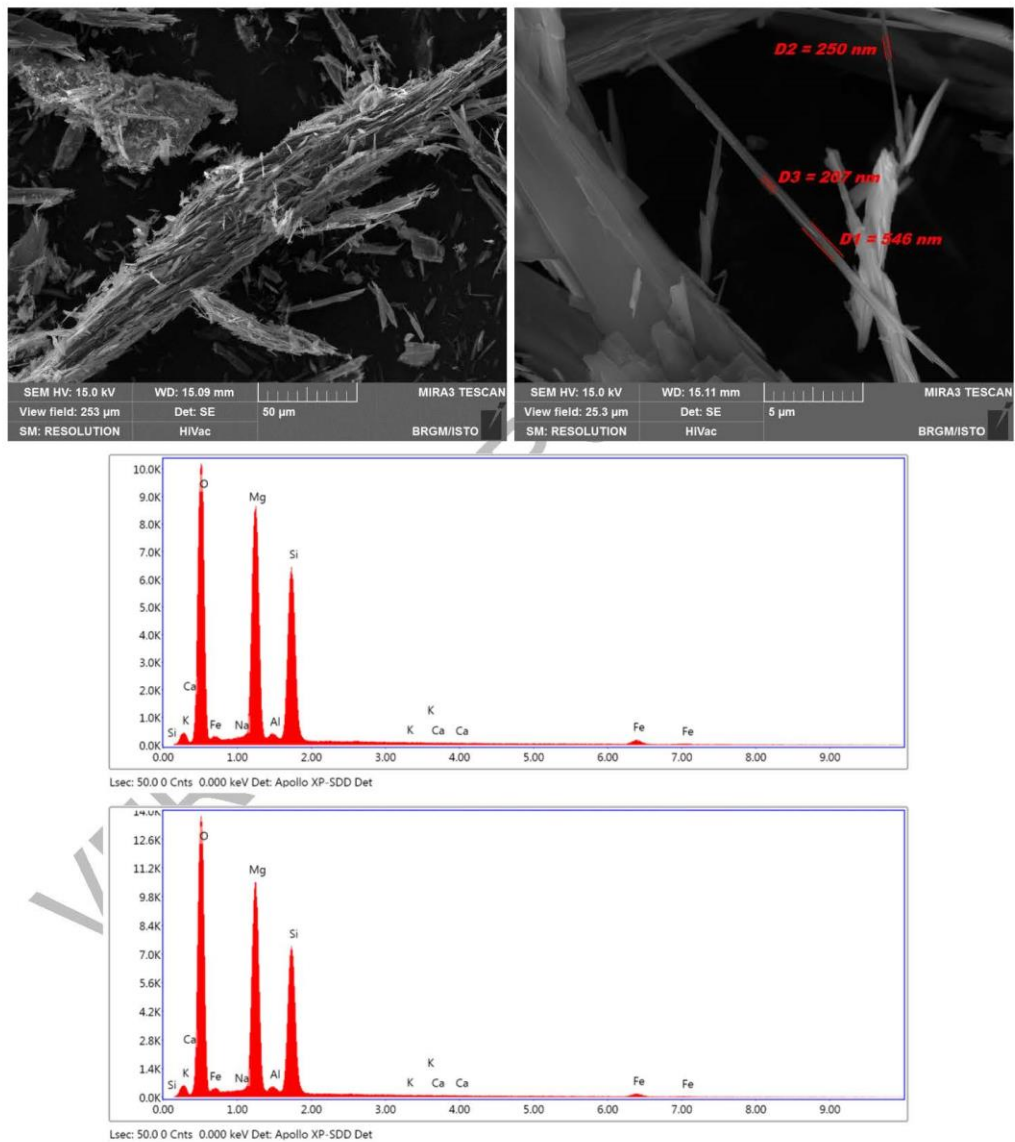


Figure 85 : Images MEB et exemples de spectres obtenus à partir des particules de l'éch. 2BDL1873.

Échantillon 2BDL1874-B

Cet échantillon a été prélevé dans les affleurements de métagabbros ferro-titanés situés immédiatement au sud de la tour d'Albo, au niveau d'une petite crique (Figure 81). Il correspond à des fibres prélevées au niveau d'une veine d'épaisseur centimétrique recoupant les métagabbros. Les images acquises au microscope électronique à balayage montrent que cet échantillon est constitué par des fibres très allongées à bords parallèles, généralement très fines ($D << 3 \mu\text{m}$) et courbes (notamment les plus fines ; Figure 86). Les spectres EDS enregistrés sont cohérents avec la nature supposée de ces fibres (amphibole asbestiforme de type ferro-actinolite s.l. ; Figure 86).

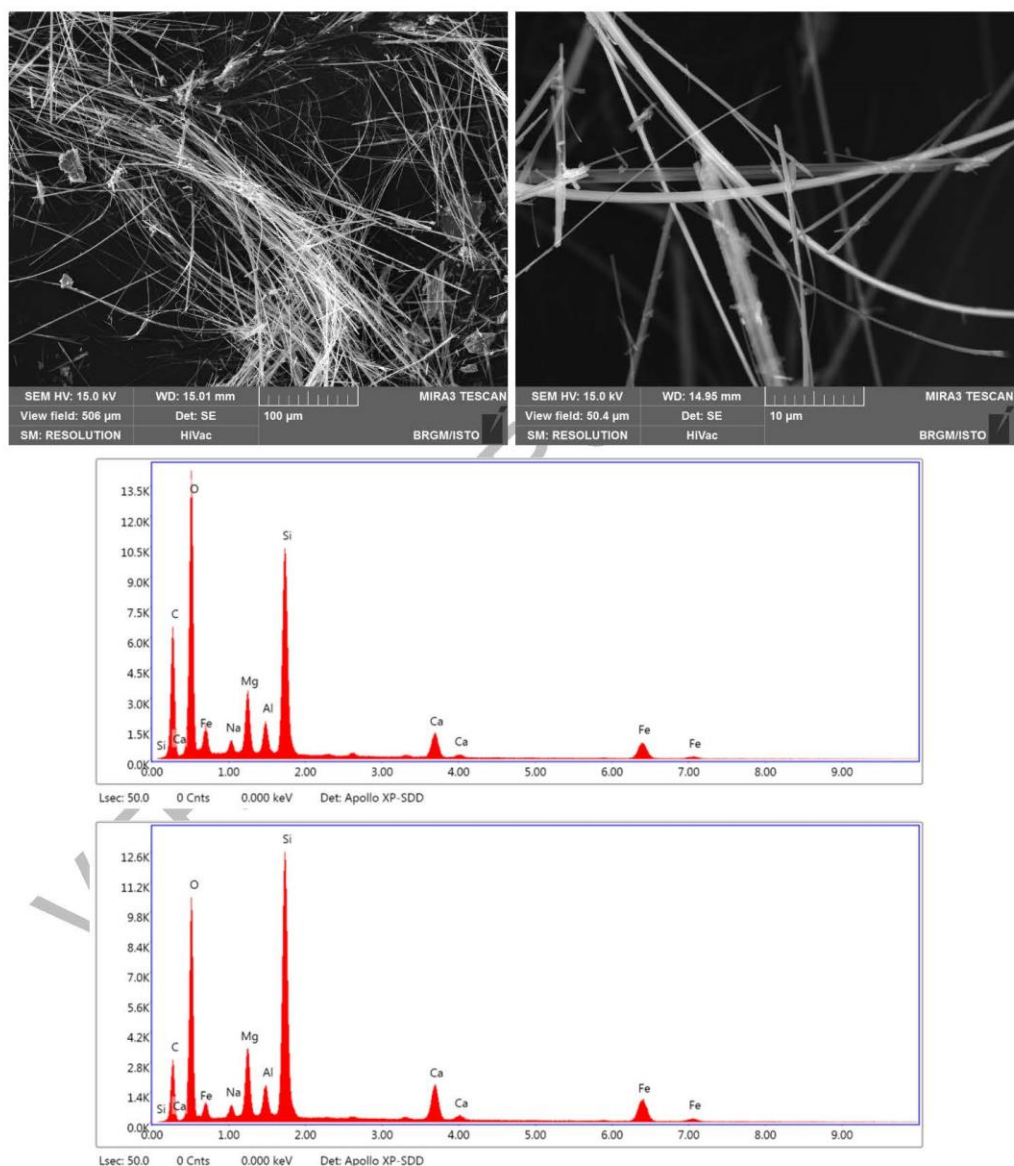


Figure 86 : Images MEB et exemples de spectres obtenus à partir des fibres de l'échantillon 2BDL1874-B.

Échantillon 2BDL1874-D

Cet échantillon a été prélevé au niveau des affleurements de métagabbros ferro-titanés situés immédiatement au sud de la tour d'Albo, au niveau d'une petite crique (Figure 81). Il correspond à des fibres prélevées dans une passée de talcschistes à grandes amphiboles. Les images acquises au microscope électronique à balayage montrent que cet échantillon est constitué par des particules fibriformes hétérométriques, plus ou moins allongées et le plus souvent épaisses ($D > 3 \mu\text{m}$) (Figure 87). Ces particules correspondent à des fragments de clivage. Les spectres EDS enregistrés sont cohérents avec la nature supposée de ces particules (amphibole de type actinolite ; Figure 87).

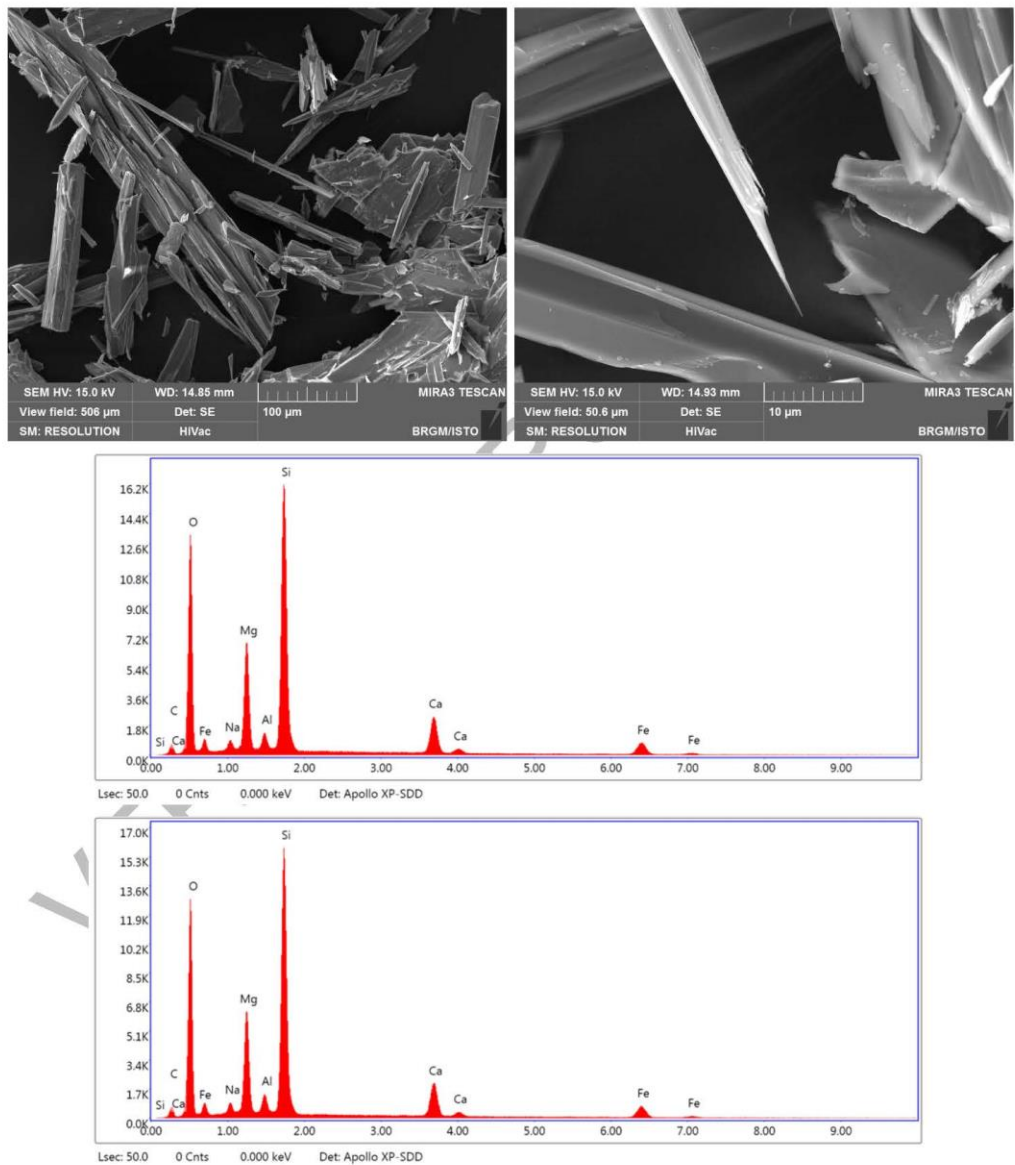


Figure 87 : Images MEB et exemples de spectres obtenus à partir des particules de l'éch. 2BDL1874-D.

Échantillon 2BDL1992-A (veine fibreuse recoupant des serpentinites mylonitiques)

Cet échantillon a été prélevé dans un talus en bord de plage, au sud d'Albo, dans des serpentinites mylonitiques particulièrement riches en occurrences fibreuses. Il correspond à des fibres prélevées au niveau d'une veine à amphibole d'épaisseur centimétrique recoupant les serpentinites. Les images acquises au microscope électronique à balayage montrent que cet échantillon est constitué par des particules fibreuses très allongées, à bords le plus souvent parallèles, plus ou moins épaisses (Figure 88). Une fraction subordonnée de ces fibres possède une morphologie très clairement asbestiforme. Les spectres EDS enregistrés sont cohérents avec la nature probable de ces fibres (amphiboles calciques de type antigorite ; Figure 88).

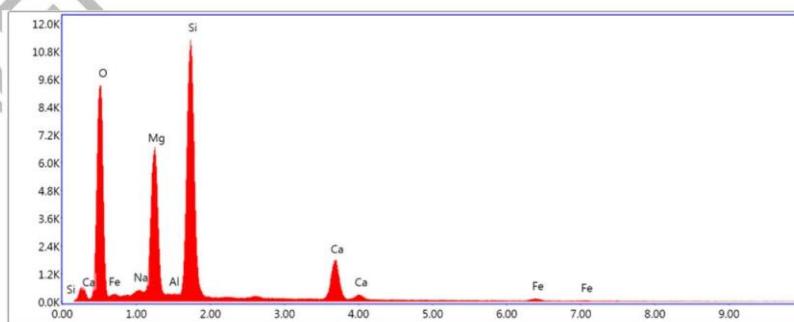
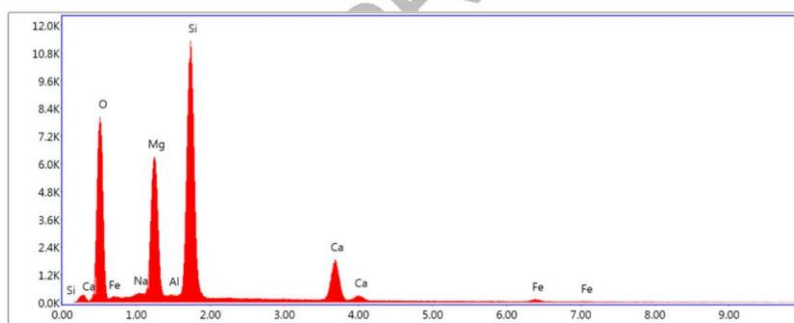
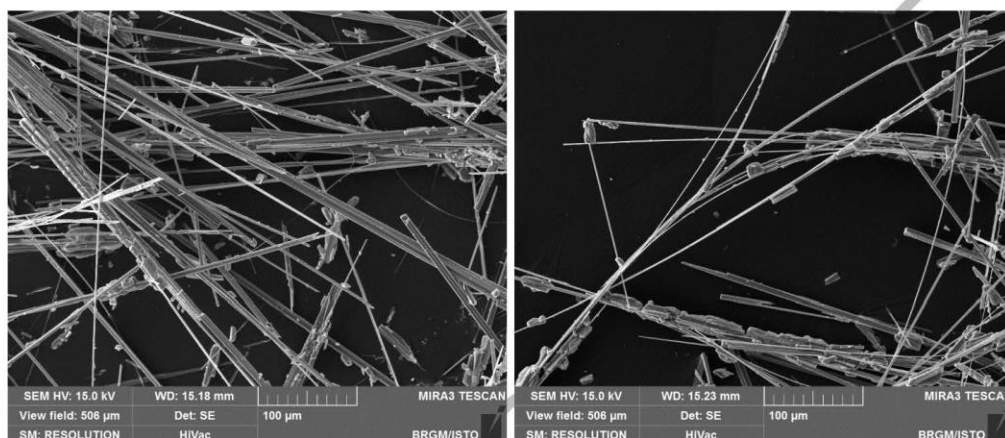


Figure 88 : Images MEB et exemples de spectres obtenus à partir des particules de l'éch. 2BDL1992-A.

Échantillon 2BDL1992-B

Cet échantillon a été prélevé dans un talus en bord de plage, au sud d'Albo, dans des serpentinites mylonitiques particulièrement riches en occurrences fibreuses. Il correspond à des fibres prélevées au niveau d'une veine de serpentine d'épaisseur centimétrique recoupant les serpentinites. Les images acquises au microscope électronique à balayage montrent que cet échantillon est constitué par des particules fibriformes très irrégulières et hétérométriques, plus ou moins allongées et épaisses (Figure 89). Une fraction très subordonnée de ces particules correspond à des fibres de type OMS et certaines d'entre-elles apparaissent souples. Les spectres EDS enregistrés sont cohérents avec la nature probable de ces particules (serpentine de type antigorite ; Figure 89).

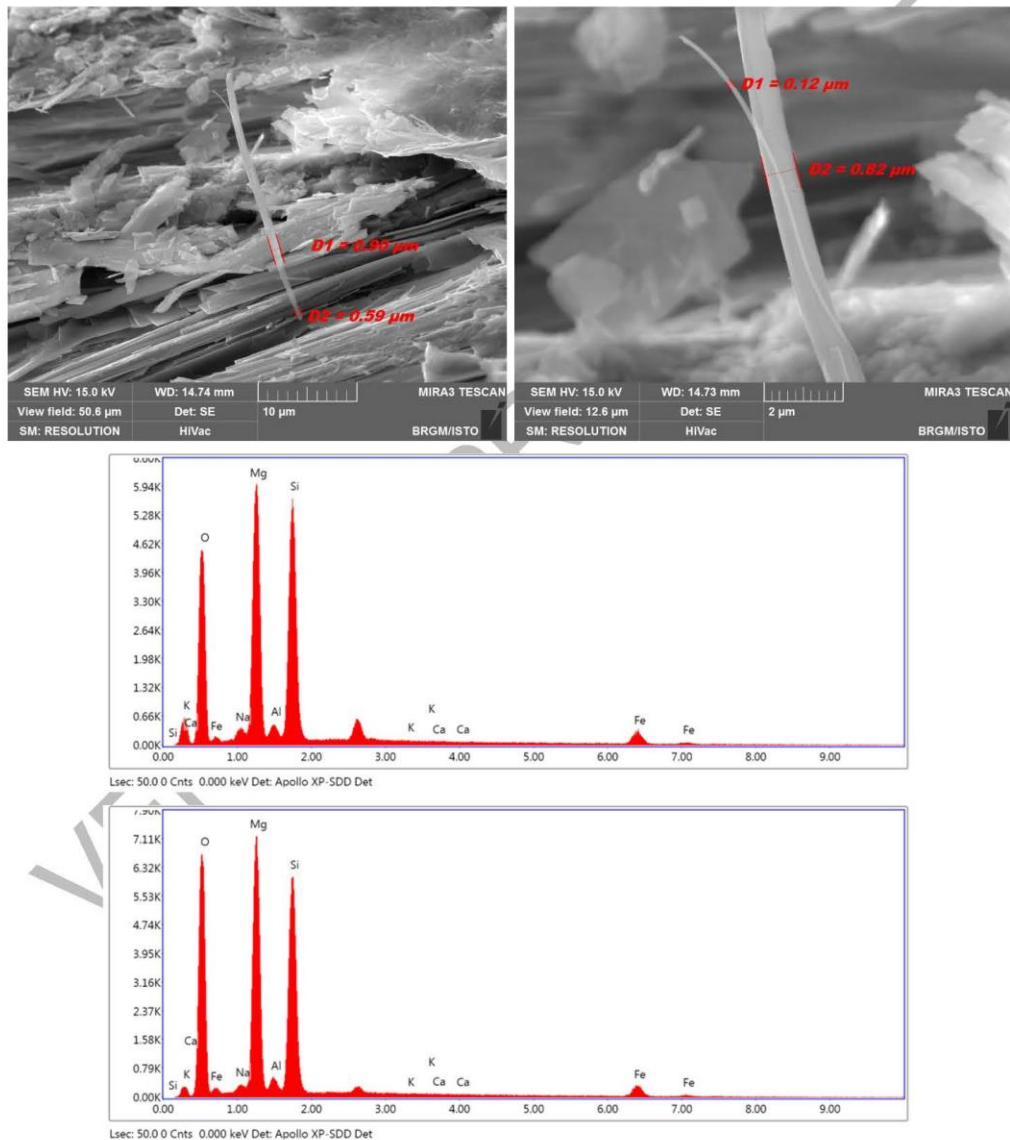


Figure 89 : Images MEB et exemples de spectres obtenus à partir des particules de l'éch. 2BDL1992-B.

8.3. SECTEURS SENSIBLES ET PRECONISATIONS

En cours

Secteur de San Michele (talus de la D 80 : Figure 90).

Talus de la plage (San Michele : Figure 80).



Figure 90 : a & b : Secteur de San Michele (2BDL1986) ;

9. Commune de Sisco

Le territoire de la commune de Sisco est à cheval sur les cartes géologiques à 1/50 000 de Saint-Florent à l'ouest et de Bastia à l'est.

D'un point de vue géologique, les unités géologiques qui affleurent dans l'emprise du territoire communal correspondent à des serpentinites, à des métagabbros et prasinites indifférenciés, à des metabasaltes / prasinites, à des cipolins, à des cipolins et calcschistes et à des schistes et calcschistes. Un affleurement de lamprophyre hyperalcalin potassique est connu en rive droite du ruisseau de Sisco, au sud-ouest de la Marine de Sisco.

Les travaux réalisés dans la commune de Sisco ont porté sur :

- les talus de la D80, entre le sémaphore de Sacro au sud et Saltu Caninu au nord ;
- les talus de la D32 entre la Marine de Sisco et la limite de la commune au nord ;
- la piste d'accès à la Bocca di San Guivanni ;
- les voies d'accès aux hameaux de Crosciano, Turrezza, Busseto, Pietraniana ;
- la voie d'accès aux pylônes de la butte 159 (au dessus de la Marine de Sisco) ;
- les chemins de randonnée vers la Cima di e Follicie et le Monte Stello ;
- les tâches urbaines (Sisco, Marine de Sisco, Crosciano, Turrezza).

Des informations complémentaires ont également été acquises dans les alluvions du ruisseau de Sisco.

Par ailleurs, les éboulis couvrent des surfaces particulièrement importantes dans la partie occidentale de la commune, au pied de la ligne de crête principale du Cap Corse (Monte Cagnolu, Monte di a Cibiolla).



Figure 91 : Emprise de la commune de Sisco.

9.1. DONNEES ACQUISES SUR LE TERRAIN

9.1.1. Les serpentinites

Les serpentinites affleurent uniquement dans la partie occidentale du territoire communal, dans les contreforts de la Cima di e Follicie et au-dessus du village de Sisco où deux petits affleurements sont représentés sur la carte géologique à l'échelle 1/50 000 de Bastia (Lahondère et al., 1983).

Les serpentinites affleurant dans le massif de la Cima di e Follicie ont été observées dans le cadre d'une précédente mission (point 2BDL1209 ; Figure 92). Elles contiennent régulièrement des occurrences amiantifères qui constituent en particulier des amas désolidarisés de fibres blanches à même le sol. Ces serpentinites constituent par ailleurs le prolongement des serpentinites du Monte Alticcione dans lesquelles les occurrences d'amiante sont omniprésentes.

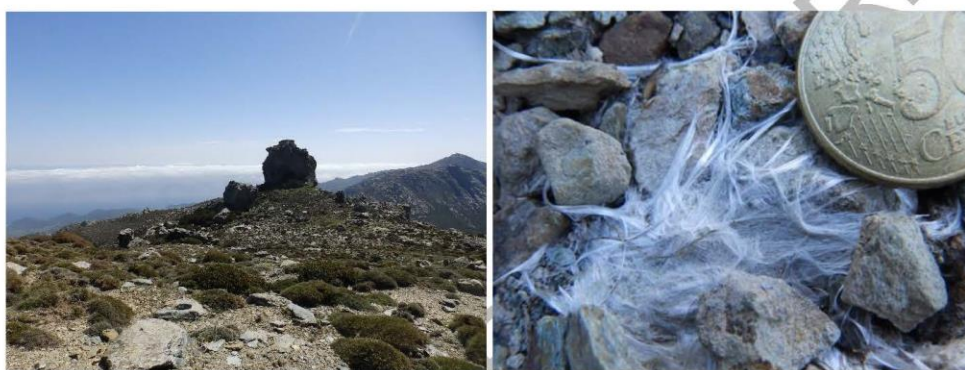


Figure 92 : Affleurements de serpentinites amiantifères (secteur du rocher de Pruberzulu).

9.1.2. Les métagabbros et les metabasaltes

Des métagabbros et des metabasaltes (prasinites) indifférenciés affleurent dans la partie la plus occidentale de la commune, entre Bocca di San Guivanni et la Cima di e Follicie. D'un point de vue cartographique, ces métagabbros et metabasaltes sont très étroitement associés aux serpentinites de la Cima di e Follicie.

Des metabasaltes affleurent également largement le long de la côte, entre la tour ruinée de Sacro au sud et Saltu Caninu au nord. Ils sont recoupés sur plusieurs kilomètres par la D80 et affleurent très largement dans les talus, associés à des calcaires marmoréens.

9.2. DONNEES ACQUISES EN LABORATOIRE

9.2.1. Analyses par microscopie optique et microsonde électronique

En cours

9.2.2. Analyses par microscopie électronique à balayage

En cours

9.3. SECTEURS SENSIBLES ET PRECONISATIONS

En cours

VERSION PROVISOIRE

10. Commune d'Olcani

Le territoire de la commune d'Olcani est pour sa quasi-totalité compris dans l'emprise de la carte géologique à 1/50 000 de Bastia.

D'un point de vue géologique, les unités géologiques qui affleurent dans l'emprise du territoire communal correspondent à des serpentinites, à des métagabbros, à des métagabbros et prasinites indifférenciés, à des prasinites et à des schistes et calcschistes.

Les travaux réalisés dans la commune d'Olcani ont porté sur :

- les talus de la D233 ;
- la piste d'accès à la Bocca di San Guivanni ;
- les chemins de randonnée vers la Bocca di Puratellu et la Bocca di Sellola ;
- la tâche urbaine correspondant au village d'Olcani.

Des informations complémentaires ont également été acquises le long de la crête reliant le Monte Stello au sud à la Cima di e Follicie au nord.



Figure 93 : Emprise de la commune d'Olcani.

10.1. DONNEES ACQUISES SUR LE TERRAIN

10.1.1. Les serpentinites

Sur la carte géologique à l'échelle 1/50 000 de Bastia, la présence de serpentinites à l'affleurement est signalée en plusieurs points, notamment en rive gauche du ruisseau de Viola et dans le secteur de la Bocca di San Guivanni.

Les données acquises dans le cadre de la présente étude ont permis d'expertiser ces différents affleurements.

Reconnaissance de zones naturelles amiantifères (Cap Corse)

Les serpentinites du secteur de la Bocca di San Guivanni ont été recoupées en différents points, le long de la piste d'accès au col (2BDL2204, 2BDL2207 à 2BDL2210, 2BDL2213, 2BDL2218 à 2BDL2219) (Figure 94). Ces serpentinites sont très déformées, localement mylonitiques, et étroitement associées à des schistes à actinolite. Elles englobent fréquemment des corps de metabasaltes et de métagabbros. Ces différents affleurements soulignent vraisemblablement un (ou plusieurs) contact(s) tectonique(s) au sein de l'édifice structural. Le caractère amiantifère de ces serpentinites est partout avéré.



Figure 94 : Affleurements de serpentinites amiantifères et de schistes à actinolite recoupés par la piste de Bocca San Guivanni (a & b : 2BDL2207 ; c : 2BDL2208 ; d : 2BDL2210 ; e & f : 2BDL2217).

Des serpentinites sont également recoupées par la D233, en limite du territoire communal.

10.1.2. Les metabasaltes

Les metabasaltes affleurent largement dans l'emprise du territoire communal. Ils sont recoupés par la D233 et affleurent également ponctuellement dans le talus de la piste de Bocca San Guivanni. La crête située entre la Bocca San Guivanni au nord et les contreforts du Monte Stello au sud est armée par des affleurements de metabasaltes et de métagabbros difficilement séparables d'un point de vue cartographique. Ces roches basiques ont été observées en plusieurs points (2BDL2220 à 2BDL2224). Elles sont caractérisées par la présence de nodules verdâtres pouvant correspondre à des nodules d'omphacite (Figure 95a). Ces nodules, plus compétents, sont recoupés par des veines fibreuses d'épaisseur centimétrique à pluricentimétrique (Figure 95b).



Figure 95 : a & b : 2BDL2223

10.2. DONNEES ACQUISES EN LABORATOIRE

10.2.1. Analyses par microscopie optique et microsonde électronique

Sans objet

10.2.2. Analyses au microscope électronique à balayage

Échantillon 2BDL2218-A

Analyse en cours.

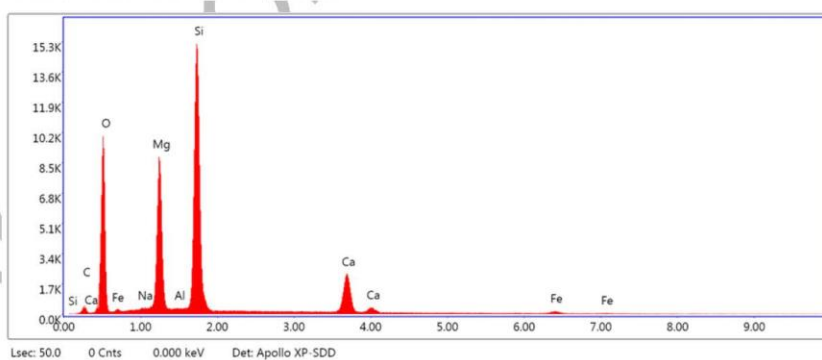
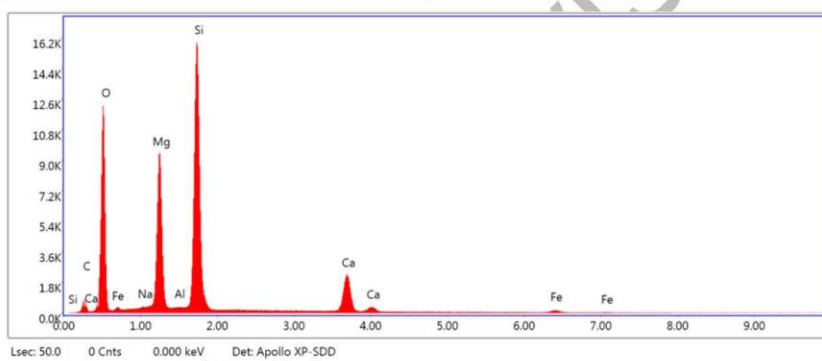
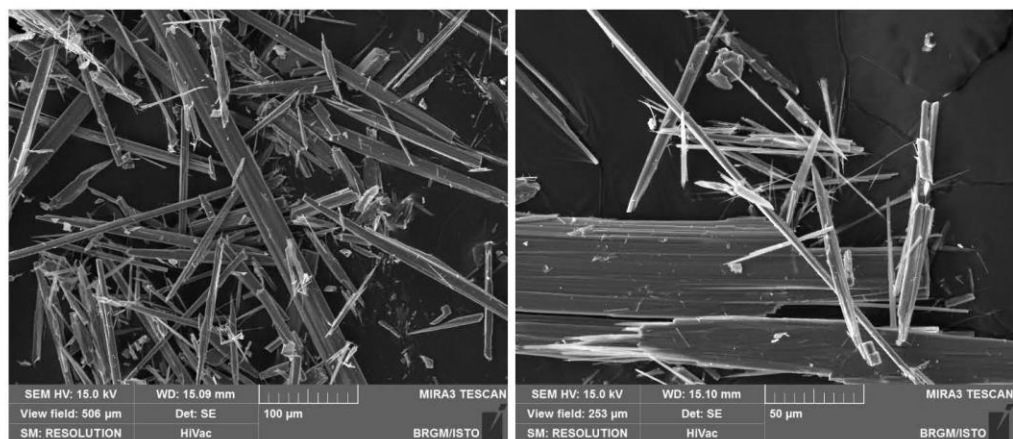


Figure 96 : Images MEB et exemples de spectres obtenus à partir des particules de l'éch. 2BDL2218-A.

Échantillon 2BDL2222

Analyse en cours.

Figure 97 :

VERSION PROVISOIRE

10.3. SECTEURS SENSIBLES ET PRECONISATIONS

En cours

VERSION PROVISOIRE

11. Commune de Nonza

Le territoire de la commune de Nonza est à cheval sur les cartes géologiques à 1/50 000 de Saint-Florent à l'ouest et de Bastia à l'est.

D'un point de vue géologique, les unités géologiques qui affleurent dans l'emprise du territoire communal correspondent à des serpentinites, à des métagabbros (localement à smaragdite), à des glaucophanites à grenat, à des metabasaltes / prasinites et à des schistes et calcschistes.

Les travaux réalisés dans la commune de Nonza ont porté sur :

- les talus de la D80, entre Negru au sud et le secteur de Barcataggio au nord ;
- les talus de la D433 (route vers Olmeta-di-Capocorso) ;
- la piste d'accès à Porticciolo ;
- les chemins de randonnée vers Bocca di Sellola¹, Bocca di Violu et le col de Negru ;
- le trait de côte ;
- la tâche urbaine de Nonza.

Par ailleurs, les éboulis couvrent des surfaces particulièrement importantes dans la partie septentrionale de la commune.



Figure 98 : Emprise de la commune de Nonza.

¹ Il existe deux cols qui portent ce nom, le premier entre Nonza et Olcani et le second sur la commune d'Olmeta-di-Capocorso.

11.1. DONNEES ACQUISES SUR LE TERRAIN

11.1.1. Les serpentinites

Les serpentinites couvrent des surfaces importantes sur le territoire investigué et des affleurements de serpentinites sont longuement recoupés par la D 80 (Figure 99).



Figure 99 : Exemples d'affleurements de serpentinites et d'occurrences fibreuses associées (a & b : point 2BDL1906 ; c : point 2BDL1916 ; d : 2BDL1978 ; e & f : point 2BDL1976).

11.1.2. Les metabasaltes

En cours



a
Figure 100 : Affleurements de metabasaltes (2BDL1946)

11.1.3. Les metasédiments

En cours

Des metasédiments carbonatés ont été observés au pied de la falaise de la Nonza (Figure 101).





Figure 101 : a & b : Métasédiments observés au pied de la falaise de Nonza (2BDL 1924) ; c & d : Métacarbonates observés dans le secteur de la Chapelle Santa Maria (2BDL 1934, 2BDL 1936)

11.1.4. Les colluvions

Les éboulis et les colluvions couvrent également des surfaces importantes. L'épaisseur de ces formations superficielles est très variable d'un point à un autre. Ils sont très souvent constitués par des fragments hétérométriques de serpentinites et de metabasaltes (2BDL1907 : Figure 102a).



Figure 102 : Importance des colluvions observées dans le talus de la D80, à la sortie nord de Nonza (a : point 2BDL 1907) et en bord de mer, au sud de Nonza (b : point 2BDL 1894).

11.1.5. Les alluvions



Figure 103 : Alluvions à éléments de métagabbros et de serpentinites noires (ruisseau de Violu).

11.2. DONNEES ACQUISES EN LABORATOIRE

11.2.1. Analyses au microscope optique et microsonde électronique

Sans objet.

11.2.2. Analyses au microscope électronique à balayage

Échantillon 2BDL1906

L'échantillon 2BDL1906 a été prélevé dans le talus de la D80, à la sortie nord de Nonza, dans des serpentinites recoupées par des veines de serpentine orientées N060 S60 pouvant atteindre 6 à 7 cm d'épaisseur (Figure 99b). Les images acquises au microscope électronique à balayage montrent que cet échantillon est constitué par des particules fibriformes de serpentine, rectilignes, plus ou moins allongées et épaisses (Figure 104). Certaines de ces particules correspondent à des fibres au sens de l'OMS (fragments de clivage probables). Les spectres EDS enregistrés sont cohérents avec la nature supposée de ces particules (serpentine de type antigorite ; Figure 104).

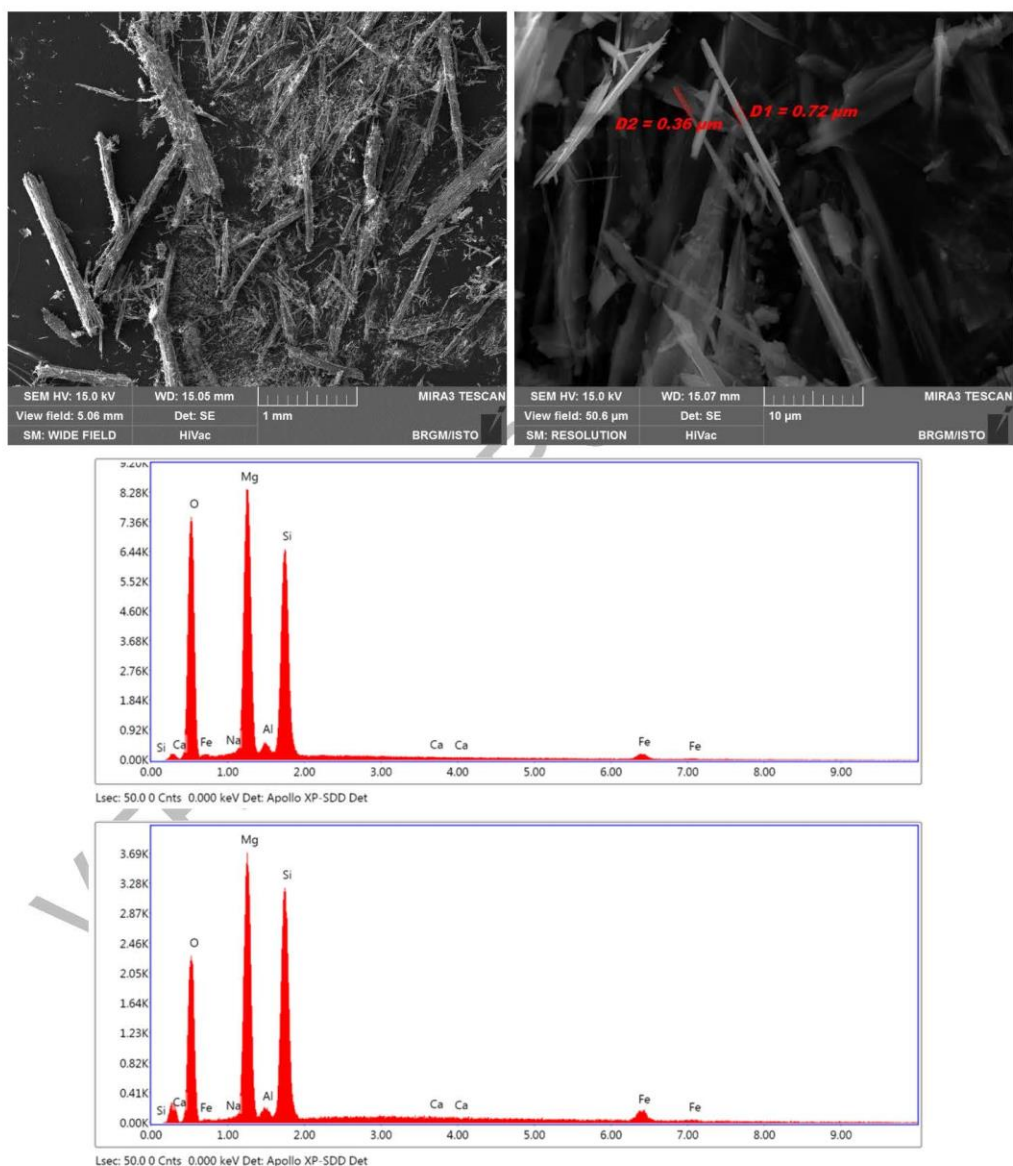


Figure 104 : Images MEB et exemples de spectres obtenus à partir des particules de l'éch. 2BDL1906.

Échantillon 2BDL1916

L'échantillon 2BDL1916 a été prélevé dans le talus de la petite route qui descend depuis la D80 vers Porticcio, dans des serpentinites recoupées par des veines à amphibole à texture fibroradiée. Ces veines sont de même nature que celles observées plus au nord (Albo, Canelle). L'échantillon correspond à un amas de fibres blanches d'apparence souple (Figure 99c). Les images acquises au microscope électronique à balayage montrent la présence de particules fibreuses rectilignes à bords subparallèles, plus ou moins allongées et épaisses (Figure 105). Quelques particules, très subordonnées, correspondent à des fibres au sens de l'OMS. Les spectres EDS enregistrés sont cohérents avec la nature probable de ces fibres (amphiboles de type trémolite ; Figure 105).

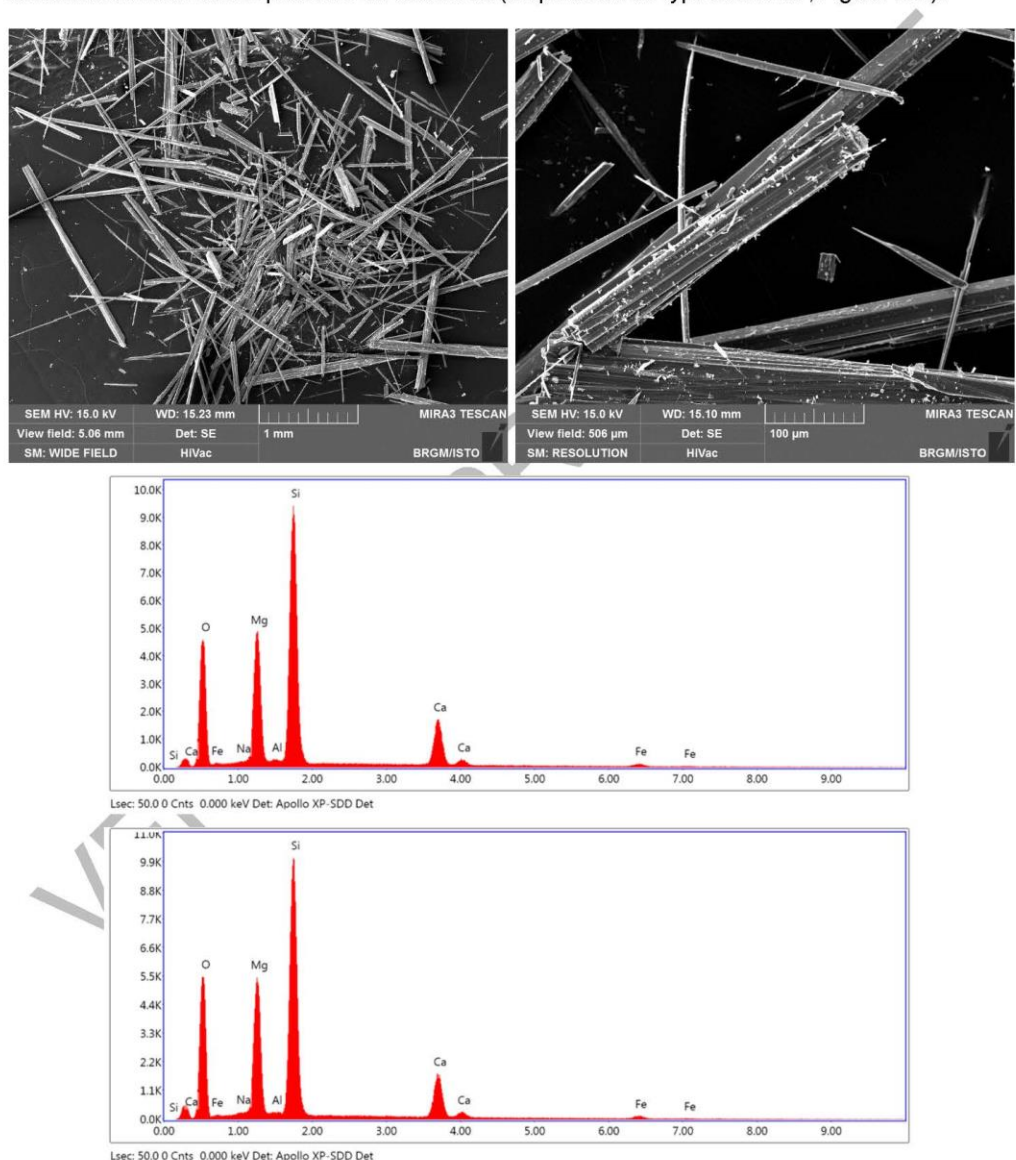


Figure 105 : Images MEB et exemples de spectres obtenus à partir des particules de l'éch. 2BDL1916.

Échantillon 2BDL1976

Cet échantillon a été prélevé dans le talus de la D433, juste avant l'embranchement avec la D80, dans une zone caractérisée par la présence de corps de metabasaltes enveloppés dans des serpentinites mylonitiques très riches en occurrences fibreuses (Figure 99). Il correspond à des fibres extraites de l'une de ces occurrences. Les images acquises au microscope électronique à balayage montrent que cet échantillon est majoritairement constitué par des particules fibreuses rectilignes, plus ou moins allongées et épaisses (Figure 106). Une fraction importante de ces particules correspond à des fibres de type OMS. Quelques fibres souples, très fines et clairement asbestiformes, sont également observées. Les spectres EDS enregistrés sont cohérents avec la nature probable de ces fibres (amphiboles calciques de type trémolite ; Figure 106).

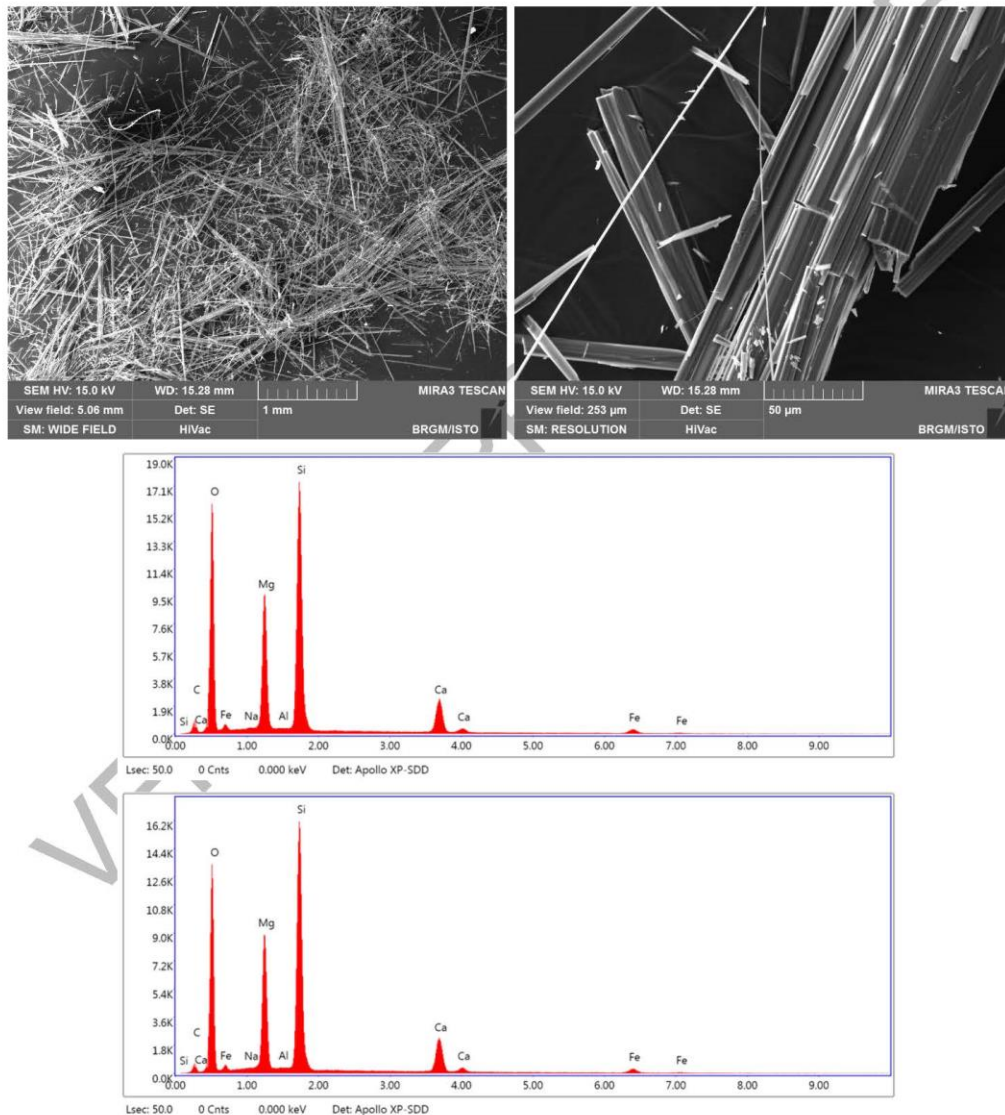


Figure 106 : Images MEB et exemples de spectres obtenus à partir des fibres de l'échantillon 2BDL1976.

11.3. SECTEURS SENSIBLES ET PRECONISATIONS

En cours

Croisement de la D 433 et de la D 80 (Figure 107a, b).

Talus de la D 80, entre le ruisseau de Salto et l'entrée sud du village de Nonza (Figure 107c à f).



Figure 107 : a & b : Talus de la D80 (2BDL1977) ;
c & d : Talus de la D80 (2BDL1981) ;

12. Commune d'Olneta-di-Capocorso

Le territoire de la commune d'Olneta-di-Capocorso est à cheval sur les cartes géologiques à 1/50 000 de Saint-Florent à l'ouest et de Bastia à l'est.

D'un point de vue géologique, les unités géologiques qui affleurent dans l'emprise du territoire communal correspondent à des serpentinites, à des métagabbros (localement à smaragdite), à des glaucophanites à grenat, à des metabasaltes / prasinites et à des schistes et calcschistes.

Les travaux réalisés dans la commune d'Olneta-di-Capocorso ont porté sur :

- les talus de la D80, entre Pietra Perjura au sud et Negru au nord ;
- les talus de la D433 (route vers Olneta-di-Capocorso) ;
- la piste d'accès à Bocca di Sellola ;
- les chemins de randonnée reliant Negru à Olneta-di-Capocorso et les ruines de la chapelle San Jacintu ;
- le trait de côte (quand accessible) ;
- les tâches urbaines de Negru et d'Olneta-di-Capocorso.

Des informations complémentaires ont été acquises le long de la ligne de crête reliant le Monte Pinzutu à Bocca d'Antigliu.

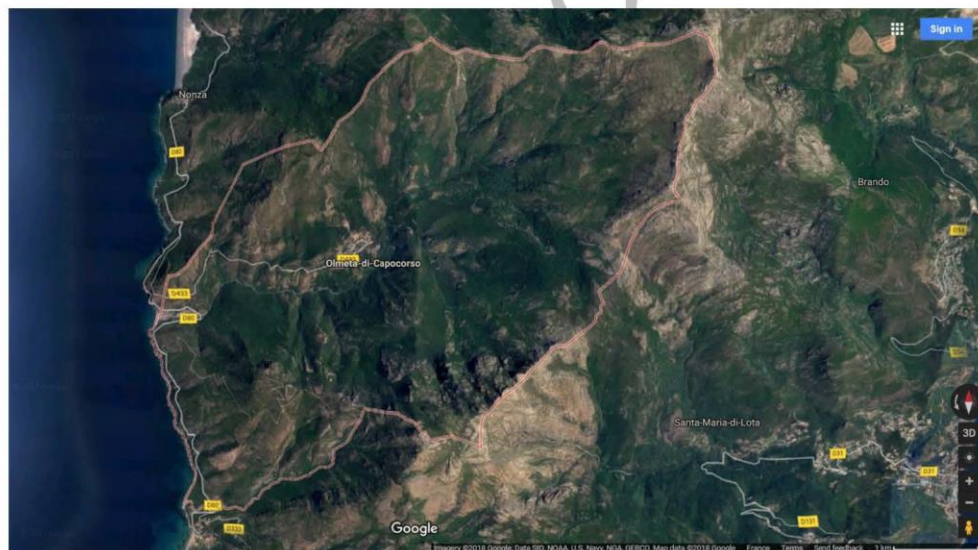


Figure 108 : Emprise de la commune d'Olneta-di-Capocorso.

12.1. DONNEES ACQUISES SUR LE TERRAIN

12.1.1. Les serpentinites

En cours



Figure 109 : Exemples d'affleurements de serpentinites et d'occurrences fibreuses associées (a & b : 2BDL1966 ; c & d : 2BDL1967 ; e & f : 2BDL1974).

12.1.2. Les metabasaltes

Des affleurements de metabasaltes foliés (Foliation : N140 W40) et recoupés par la D433 offrent de très bonnes conditions d'observation, entre les points 2BDL1968 et 2BDL1970 (~). Ces mêmes metabasaltes sont recoupés par le sentier qui relie Olmeta di Capocorso à Nonza (2BDL1957 à 2BDL1962).

Reconnaissance de zones naturelles amiantifères (Cap Corse)



Figure 110 : a : Contact entre des serpentinites (bas) et des metabasaltes (haut) (2BDL1958) ;
b : Métabasaltes du Monte Stavu ;

12.1.3. Les colluvions et les éboulis

En cours

Sans doute des surfaces importantes dans le village d'Olmata (2BDL1963 : Figure 111a, b)



Figure 111 : Colluvions terreuses à éléments de serpentinites, observées dans le secteur d'Olmata di Capocorso (point 2BDL1963 : a & b) et dans le talus de la D80 (

12.1.4. Les alluvions

En cours

12.2. DONNEES ACQUISES EN LABORATOIRE

12.2.1. Analyses par microscopie optique et microsonde électronique

En cours

12.2.2. Analyses par microscopie électronique à balayage

Échantillon 2BDL1967

Cet échantillon a été prélevé dans le talus de la D433, à l'ouest d'Olmata di Capocorso, dans les serpentinites du massif de Guadellone. Il correspond à des fibres isolées prélevées sur une surface lustrée. Les images acquises au microscope électronique à balayage montrent que cet échantillon est entièrement constitué par des faisceaux torsadés, formés par des fibres très fines et clairement asbestiformes (Figure 112). Les spectres EDS enregistrés sont cohérents avec la nature probable de ces fibres (serpentine fibreuse de type chrysotile ; Figure 112).

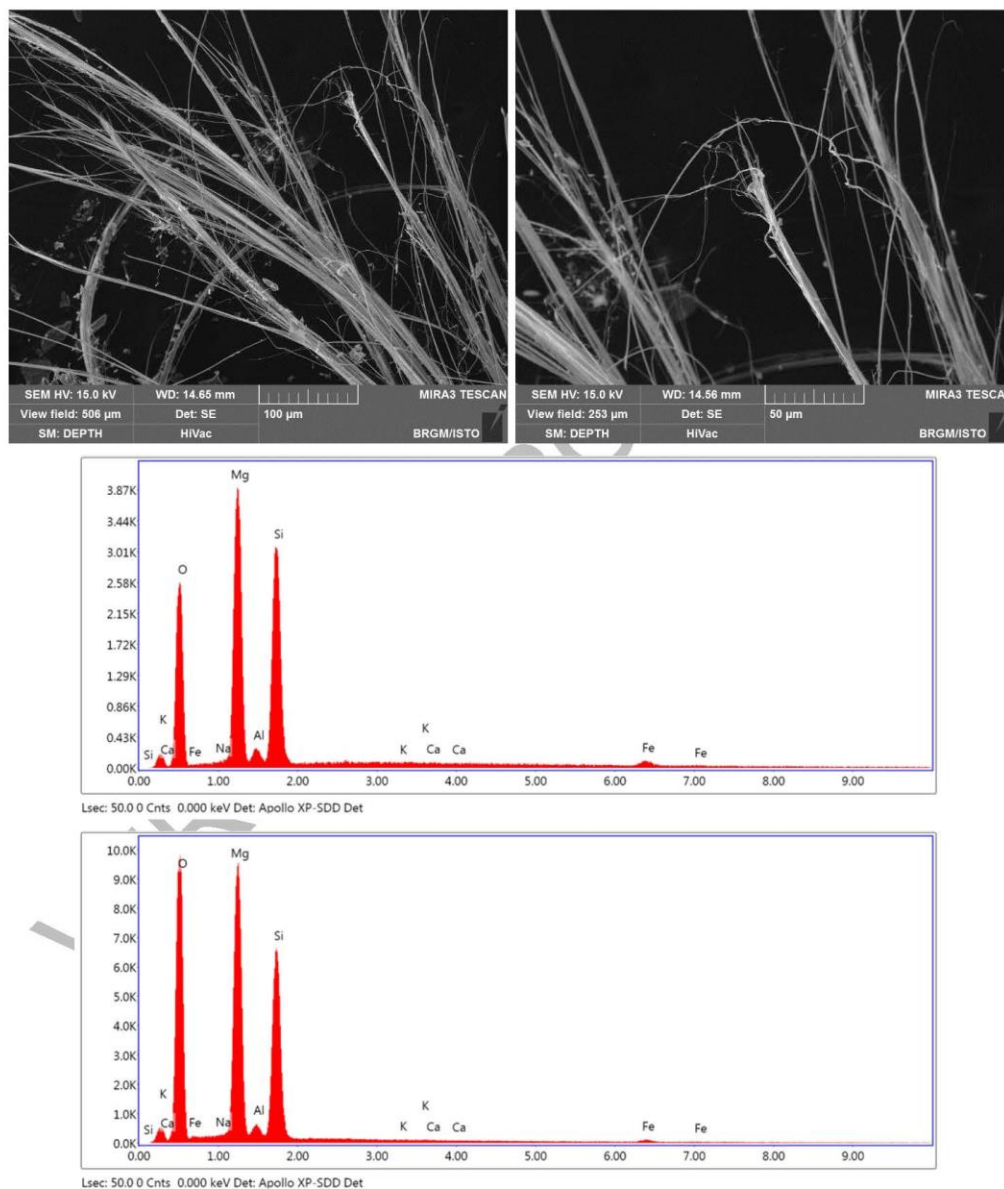


Figure 112 : Images MEB et exemples de spectres obtenus à partir des fibres de l'échantillon 2BDL1967.

Échantillon 2BDL1974

Cet échantillon a également été prélevé dans le talus de la D433, à l'ouest d'Ometa di Capocorso, dans les serpentinites de la Pointe de Negru. Il correspond à des fibres isolées extraites d'une occurrence fibreuse très altérée (de type « bois mort »). Les images acquises au microscope électronique à balayage montrent que cet échantillon est entièrement constitué par des faisceaux torsadés, formés par des fibres très fines et clairement asbestiformes (Figure 113). Les spectres EDS enregistrés sont cohérents avec la nature probable de ces fibres (serpentine fibreuse de type chrysotile ; Figure 113).

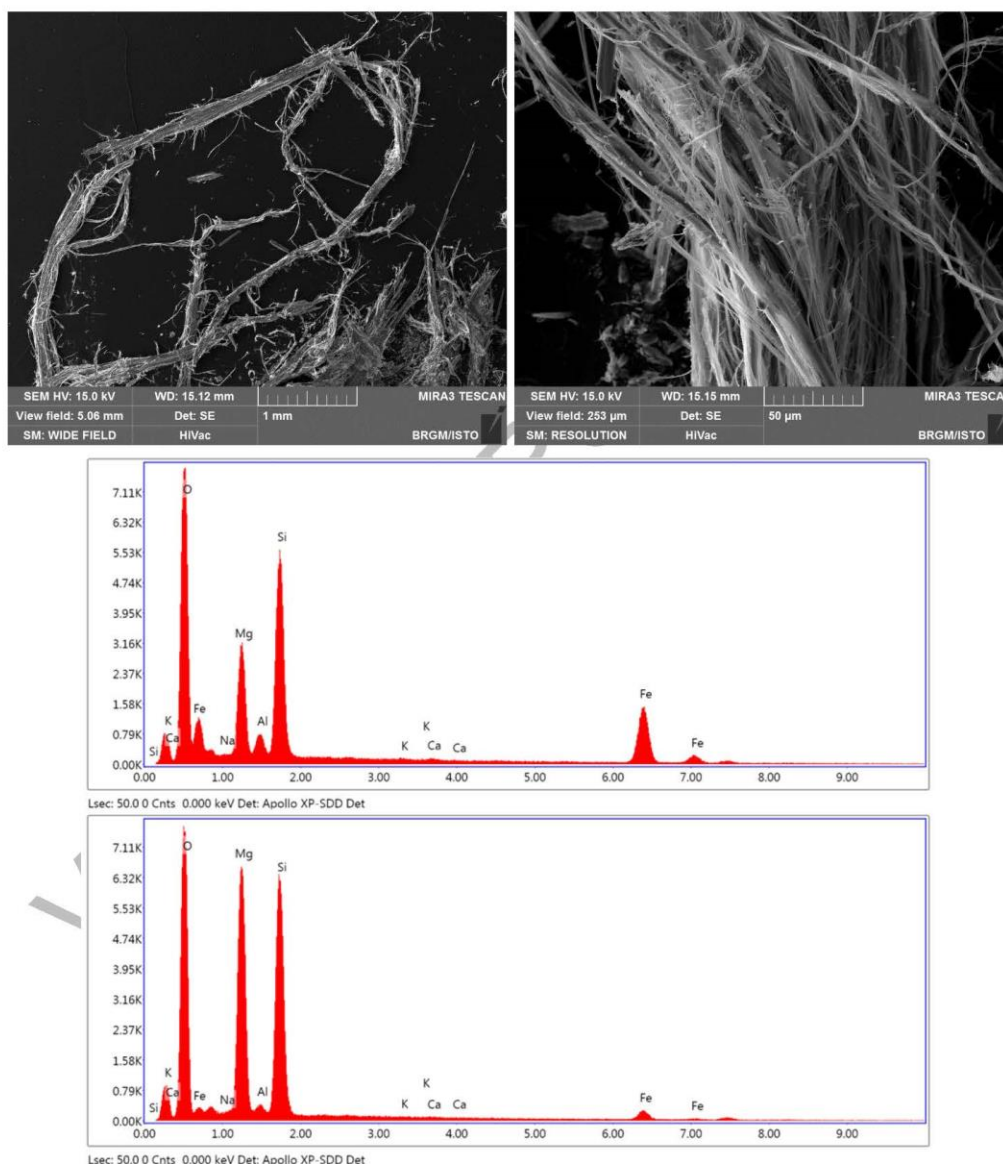


Figure 113 : Images MEB et exemples de spectres obtenus à partir des fibres de l'échantillon 2BDL1974.

Échantillon 2BDL1975

Cet échantillon a également été prélevé dans le talus de la D433, à l'ouest d'Olmata di Capocorso, dans les serpentinites de la Pointe de Negru. Il correspond à des fibres isolées extraites d'une veine fibreuse très altérée. Les images acquises au microscope électronique à balayage montrent que cet échantillon est entièrement constitué par des faisceaux torsadés, formés par des fibres très fines et clairement asbestiformes (Figure 114). Les spectres EDS enregistrés sont cohérents avec la nature probable de ces fibres (serpentine fibreuse de type chrysotile ; Figure 114).

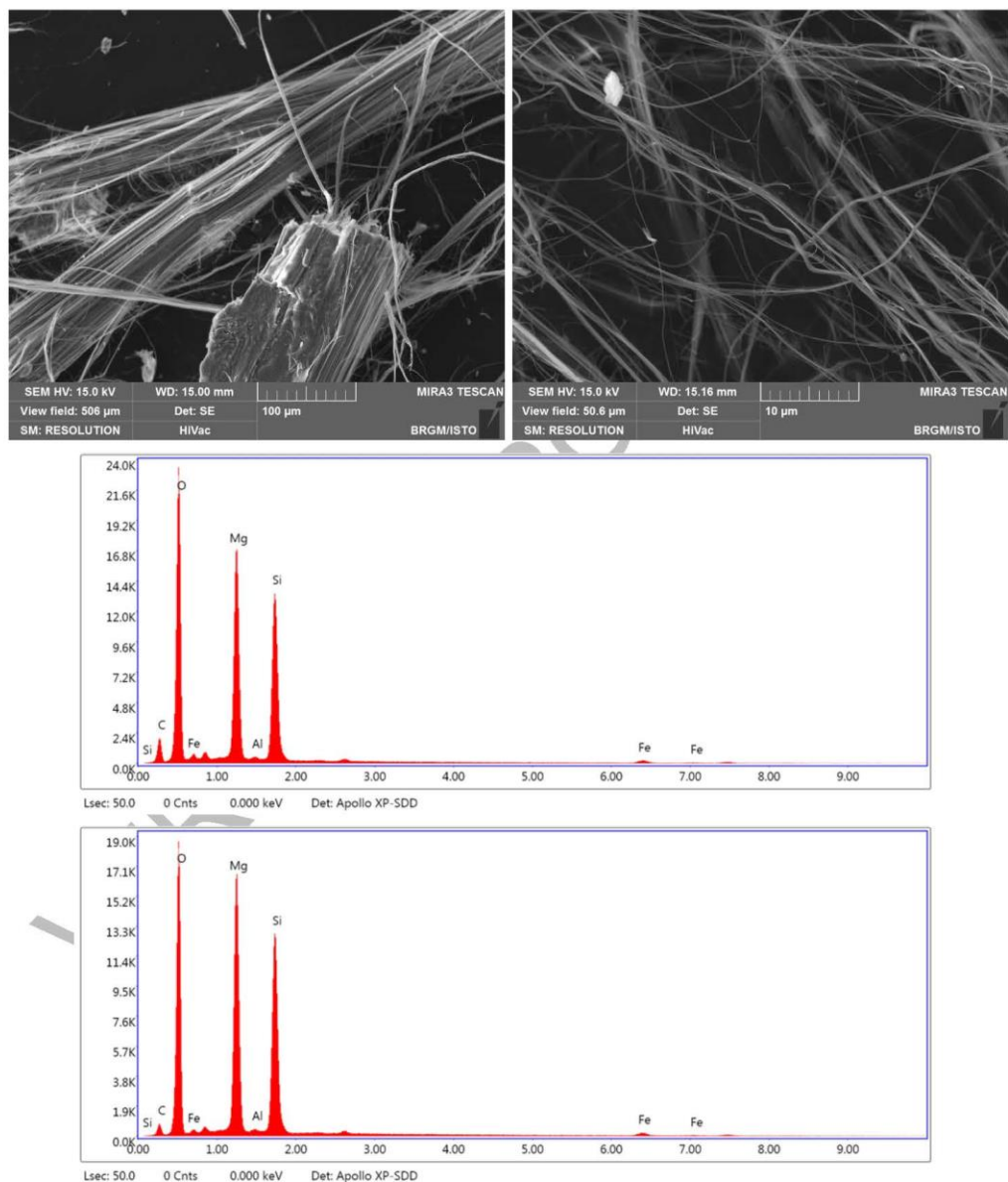


Figure 114 : Images MEB et exemples de spectres obtenus à partir des fibres de l'échantillon 2BDL1975.

12.3. SECTEURS SENSIBLES ET PRECONISATIONS

En cours

VERSION PROVISOIRE

13. Commune de Farinole

Le territoire de la commune de Farinole est également à cheval sur les cartes géologiques à 1/50 000 de Saint-Florent à l'ouest et de Bastia à l'est.

D'un point de vue géologique, les unités géologiques qui affleurent dans l'emprise du territoire communal correspondent à des serpentinites, à des métagabbros (localement à smaragdite), à des glaucophanites à grenat, à des metabasaltes / prasinites et à des schistes et calcschistes.

Les travaux réalisés dans la commune de Farinole ont porté sur :

- les talus de la D80 (uniquement dans le secteur Pescatoja²) ;
- les talus de la D233 ;
- la route reliant la Marine de Farinole au hameau de Bracolaccia ;
- le chemin d'accès aux ruines de l'ancien couvent ;
- le sentier de randonnée vers Bocca di San Leonardo ;
- les tâches urbaines (Bracolaccia, Sparagaggio).

Les alluvions présents dans le ruisseau de Farinole ont également fait l'objet d'observations.

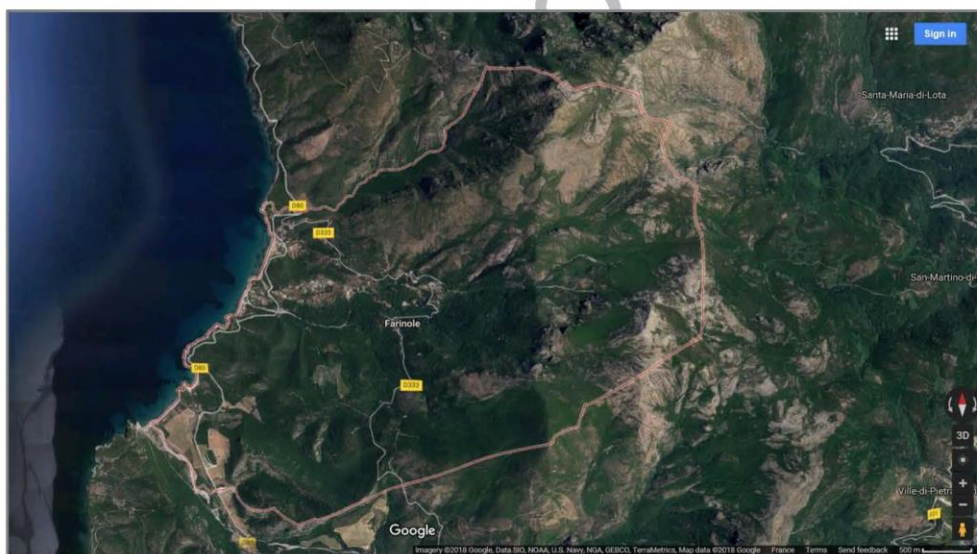


Figure 115 : Emprise de la commune de Farinole.

² Au sud de Pescatoja, la D 80 ne recoupe que des formations calcaires miocènes sans potentiel amiantifère.

13.1. DONNEES ACQUISES SUR LE TERRAIN

13.1.1. Les serpentinites

Les serpentinites couvrent des surfaces importantes sur l'ensemble du territoire communal de Farinole. Ces serpentinites occupent en particulier toute la crête de Reninca, au nord du hameau de Bracolaccia (2BDL2040 à 2BDL2044, 2BDL2052). Au niveau du point 2BDL2052, ces serpentinites ont fait l'objet d'une petite exploitation (Figure 116b). Des serpentinites affleurent également dans la partie méridionale du territoire communal, au sud de Sparagaggio où elles sont régulièrement recoupées par la D333 (2BDL2032, 2BDL2038, 2BDL2039) (Figure 116).

Les serpentinites affleurent également entre les hameaux de Sparagaggio et de Bracolaccia, dans le secteur de Poggio et el long du sentier menant à la Bocca di San Leonardo.



Figure 116 : Exemples d'affleurements de serpentinites. a : Entrée de l'ancienne mine de magnétite (2BDL2044) ; b : Ancienne carrière (2BDL2052) ; c & d : Contact entre des métagabbros et des serpentinites amiantifères et occurrence fibreuse observée (2BDL2039) ;

13.1.2. Les métagabbros

Des affleurements de métagabbros clairs (Al-Mg) sont recoupés par la D333 au sud de Sparagaggio (2BDL2030, 2BDL2031, 2BDL2034). Ces métagabbros sont très déformés (foliation mylonitique) et s'apparentent aux métagabbros de Giottani dans lesquels les occurrences d'actinolite-amiante sont ubiquistes. Ce type de métagabbro affleure également ponctuellement dans le talus de la route d'accès au hameau de Poggio (2BDL2233).

Au nord du hameau de Bracolaccia, une lame de métagabbros ferro-titanés éclogitiques est intercalée entre des serpentinites au nord et les formations de l'écaille de Farinole – Monte Pinatelle (cf. infra).

13.1.3. Les métasédiments

Le hameau de Sparagaggio est construit pour partie sur une crête constituée par des métasédiments carbonatés très redressés (2BDL2035 à 2BDL2037). Au niveau du point 2BDL2037, ces métasédiments surmontent des schistes prasinitiques associés à des passées de métaquartzites vraisemblablement calcaires (Figure 117b).

Des affleurements de schistes à niveaux de calcaires marmoréens affleurent également dans le hameau de Poggio (2BDL2235, 2BDL2236).



Figure 117 : Affleurements de métasédiments de Sparagaggio (a : 2BDL2036 ; b : 2BDL2037).

13.1.4. L'écaille de Farinole – Monte Pinatelle

L'écaille de Farinole – Monte Pinatelle constitue une lame qui traverse l'ensemble du territoire de la commune de Farinole depuis le secteur de Scogliu di Farinole à l'ouest jusqu'au Monte Pinatelle à l'est. Cette écaille constitue un témoin de l'ancienne marge continentale, aujourd'hui inséré au sein des formations ophiolitiques (Lahondère, 1996).

Les formations rattachées à cette écaille sont recoupées par la D333 à la sortie nord de Bracolaccia et par le sentier qui rejoint la Bocca di San Leonardo.

Le long de la D333, les affleurements correspondent principalement à des orthogneiss (Foliation N095 S25 à N105 S20) et à des micaschistes à phengite + glaucophane (Figure 118a). Les orthogneiss affleurent également au pied du hameau de Bracolaccia, toujours associés à des micaschistes phengitiques.

Au niveau de l'intersection entre la D80 et la D333 (Scogliu di Farinole), les micaschistes de l'écaille de Farinole – Monte Pinatelle sont en contact avec des métagabbros ophiolitiques au niveau d'une zone faillée dans laquelle les roches sont cataclastiques et très altérées (Figure 118b).

À l'est de Bracolaccia, le sentier vers Bocca di San Leonardo recoupe des micaschistes phengitiques à plusieurs endroits (2BDL2237 à 2BDL2240, 2BDL2242 à 2BDL2243, 2BDL2245, 2BDL2249). Ces micaschistes reposent tectoniquement sur la dalle du Monte Pinatelle, constituée d'orthogneiss éclogitiques plissés à niveaux d'omphacite boudinés et plissés représentant d'anciennes enclaves ou d'anciens filons basiques (Figure 118d à f).



Figure 118 :Exemples d'affleurements rattachés à l'échelle de Farinole – Monte Pinatelle (a : 2BDL2046 ; b : 2BDL2047 ; c : 2BDL2054 ; d à f : 2BDL2255). Cf. explications dans le texte.

13.1.5. Les colluvions et les éboulis

Les éboulis et les colluvions couvrent également des surfaces importantes dans le territoire investigué, notamment dans l'angle nord-ouest de la commune, en rive droite du ruisseau de Farinole.



Figure 119 : a : Contact entre des éboulis à blocs de serpentinites et de métagabbros et les formations miocènes (2BDL2026) ; b : Petit affleurement de serpentinites mylonitiques surmonté par des colluvions à éléments de métagabbros et de serpentinites (2BDL2059) ; c & d : Eboulis à fragments et blocs de serpentinites amiantifères entaillé par un ruisseau (2BDL2252).

13.1.6. Les alluvions

En cours

13.2. DONNEES ACQUISES EN LABORATOIRE

13.2.1. Analyses par microscopie optique et microsonde électronique

En cours

13.2.2. Analyses par microscopie électronique à balayage

Reconnaissance de zones naturelles amiantifères (Cap Corse)

Échantillon 2BDL2038

Analyse en cours.

Figure 120 :

VERSION PROVISOIRE

Échantillon 2BDL2039

Analyse en cours

Figure 121 :

VERSION PROVISOIRE

Échantillon 2BDL2052

Cet échantillon a été prélevé à proximité de la D333, dans une ancienne zone d'extraction ayant servi de décharge sauvage (Figure 116b). Cette zone a été ouverte dans les serpentinites de la crête de Reninca qui barre le territoire communal au nord. L'échantillon correspond à des fibres isolées arrachées d'une surface serpentineuse lustrée. Les images acquises au microscope électronique à balayage montrent que cet échantillon est entièrement constitué par des faisceaux torsadés, formés par des fibres très fines et clairement asbestiformes (Figure 122). Les spectres EDS enregistrés sont cohérents avec la nature probable de ces fibres (serpentine de type chrysotile ; Figure 122).

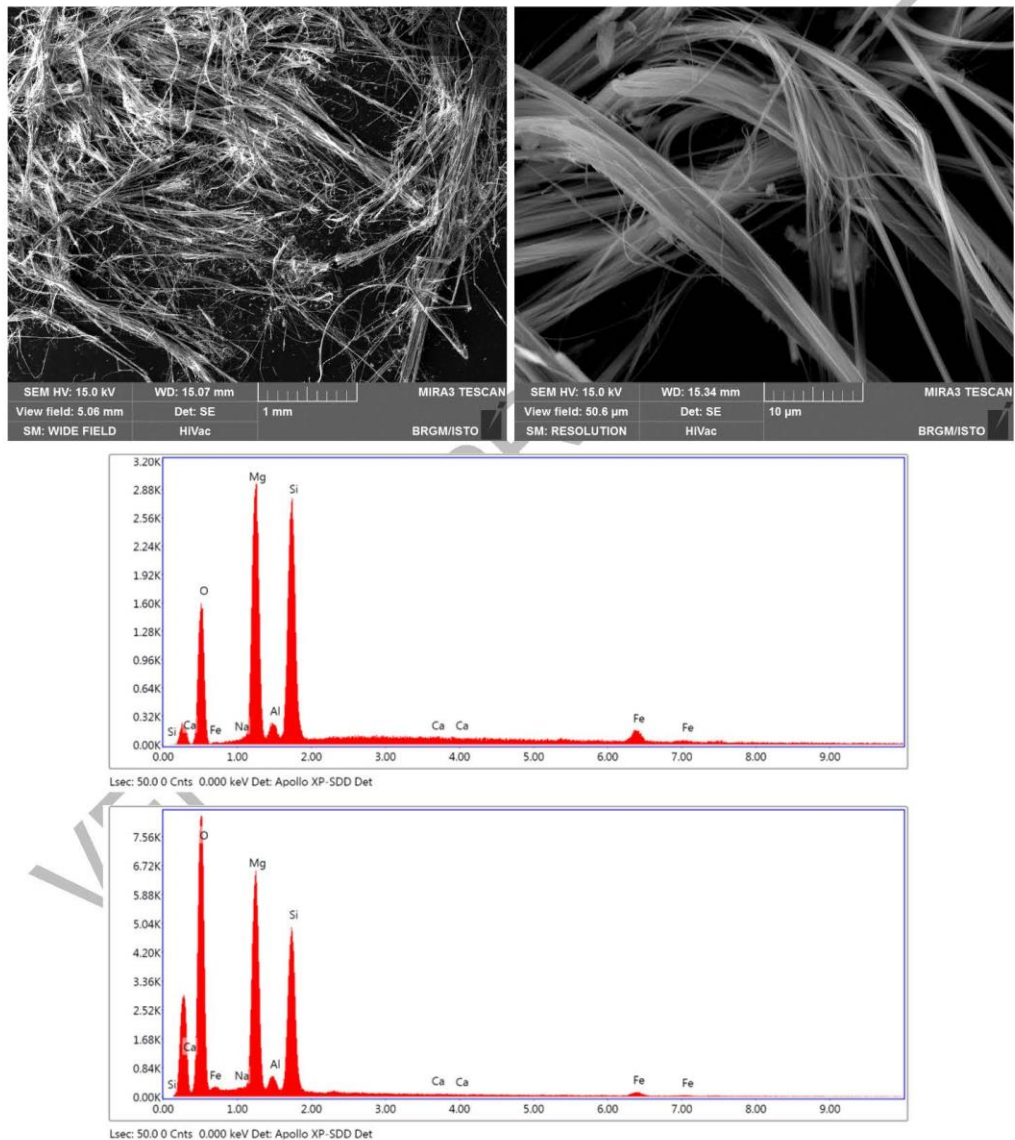


Figure 122 : Images MEB et exemples de spectres obtenus à partir des fibres de l'échantillon 2BDL2052.

Échantillon 2BDL2060

Analyse en cours.

Figure 123 :

VERSION PROVISOIRE

13.3. SECTEURS SENSIBLES ET PRECONISATIONS

En cours

Talus de la D80 entre le point 2BDL2026 et la limite nord de la commune

Talus de la D333 entre :

- la limite sud de la commune et le point 2BDL2033 (au moins),
- entre les points 2BDL2038 et l'intersection vers Poggio,
- entre la sortie nord de Bracolaccia et...

Route d'accès au hameau de Poggio

Sentier vers la mine de Fer

VERSION PROVISOIRE



Géosciences pour une Terre durable

brgm

Centre scientifique et technique

3, avenue Claude-Guillemin
BP 36009

45060 – Orléans Cedex 2 – France

Tél. : 02 38 64 34 34 - www.brgm.fr

Direction régionale du BRGM en Corse

Immeuble Agostini
Zone industrielle de Furiani

20600 – Bastia – France

Tél. : 04 95 58 04 33